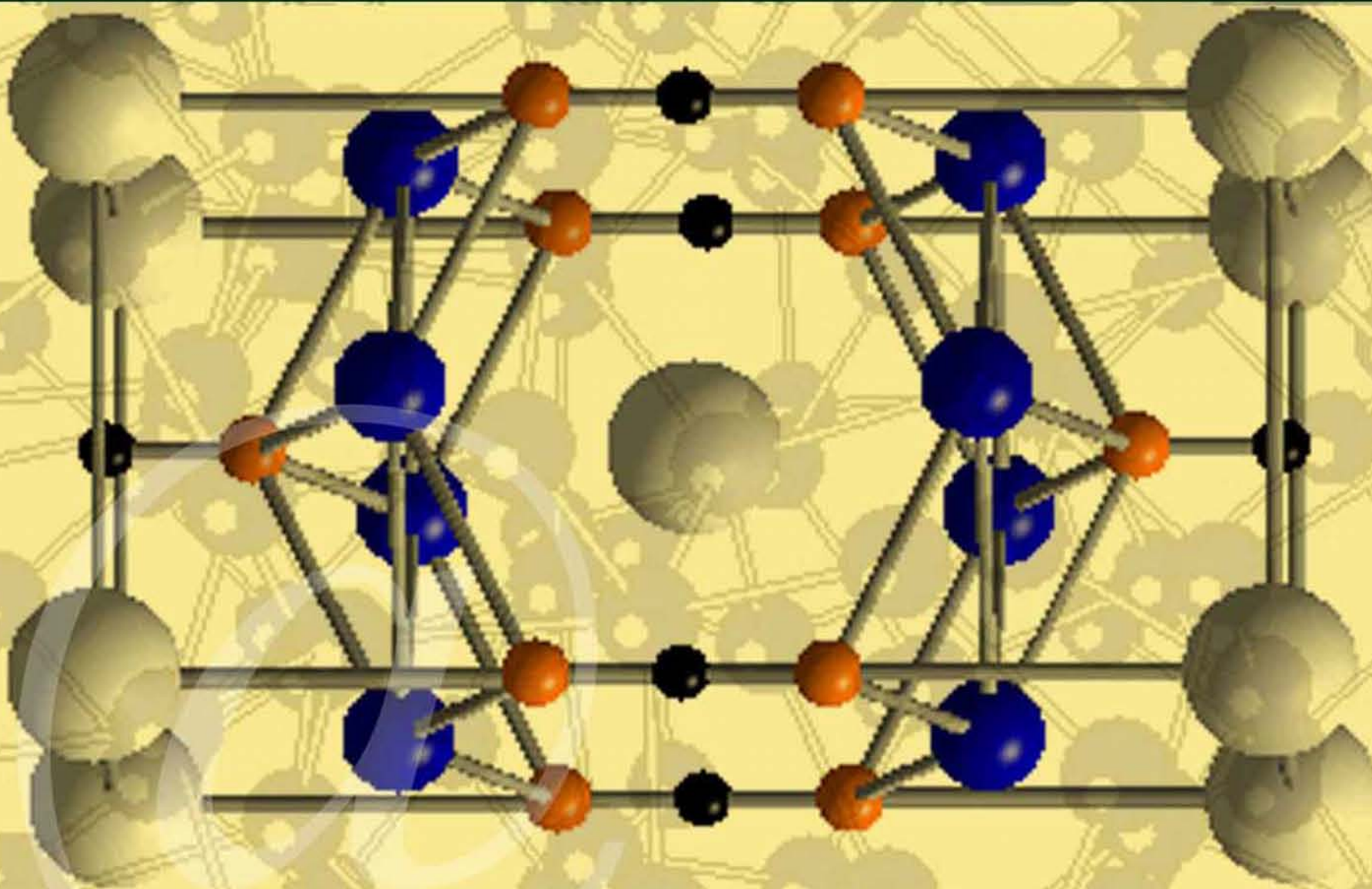


فيزياء الجوامد

(الجزء الثالث)



www.kotobarabia.com



د. عبد الفتاح أحمد الشاذلي

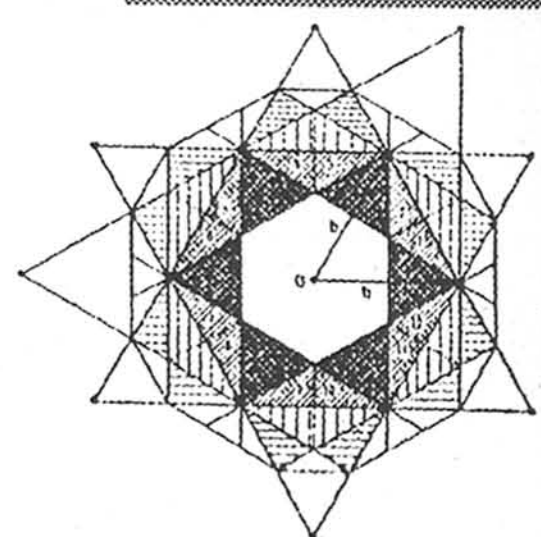
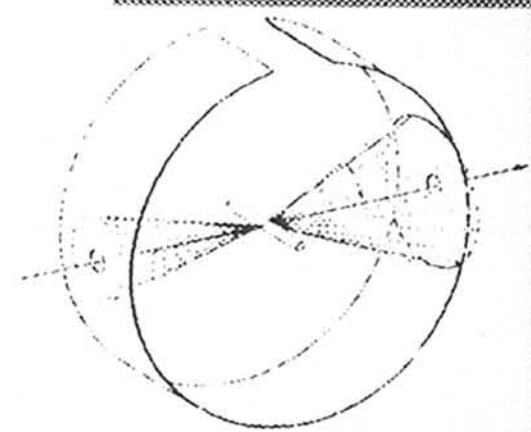
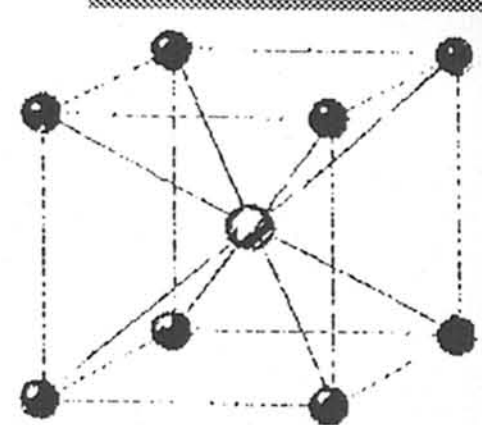
فيزياء الجوامد

الجزء الثالث

د. عبد الفتاح أحمد الشاذلي

أستاذ متفرغ بقسم الفيزياء

كلية التربية - جامعة عين شمس



طبقا لقوانين الملكية الفكرية

جميع حقوق النشر و التوزيع الالكتروني
لهذا المصنف محفوظة لكتب عربية. يحظر
نقل أو إعادة نسخ أو إعادة بيع أى جزء من
هذا المصنف و بثه الكترونيا (عبر الانترنت أو
للمكتبات الالكترونية أو الأقراص المدمجة أو أى
وسيلة أخرى) دون الحصول على إذن كتابي من
كتب عربية. حقوق الطبع الورقى محفوظة
للمؤلف أو ناشره طبقا للاتفاقيات السارية.

بسم الله الرحمن الرحيم

" الحمد لله والصلاة والسلام على رسول الله وبعد "

فهذا هو الجزء الثالث من كتاب فيزياء الجوامد نقدمه
لأبنائنا الطلاب في المرحلة الجامعية ويتضمن :

☐ الخصائص المغناطيسية للجوامد

☐ ظواهر التلامس

☐ الظاهرة الكهروحرارية الخصائص الجلفانوسكوبية

☐ الخصائص الضوئية للجوامد

متمنين لطلابنا التفوق العلمى الذى ينشدونه ،،،

والله الموفق ،،،

المؤلف

الباب الأول

الخصائص المغناطيسية

للجوامد

الباب الأول

الخصائص المغناطيسية للجوامد

Magnetic properties of solids

(١-١) المجال المغناطيسية في المواد المغناطيسية :

إذا وضعنا جسماً متجانساً حجمه V في مجال مغناطيسي منتظم شدته H وحثه المغناطيسي $\beta_0 = \mu_0 H$ وعندما يتأثر الجسم بالمغناطيس فإنه يتمغنط ليصبح له عزم مغناطيسي M .

والنسبة بين العزم المغناطيسي وحجم الجسم تسمى شدة

التمغنط J_m

$$(١) \quad J_m = M/V$$

وعند لا تكون شدة التمغنط منتظمة تصبح

$$(٢) \quad J_m = \frac{dM}{dV}$$

وشدة التمغنط كمية متجهة ويكون اتجاهها في الأجسام المغناطيسية المنتظمة في اتجاه أو عكس اتجاه المجال H . والوحدة التي يقدر بها العزم المغناطيسي في النظام الدولي للقياس هي أمبير . م^٢ ولشدة التمغنط أمبير/م .

والنسبة بين شدة التمغنط J_m وشدة المجال المغناطيسي H

تسمى قابلية التمغنط χ .

$$(٣) \quad \chi = \frac{J_m}{H}$$

ومن السهل أن نتبين أن χ كمية بدون أبعاد.

ومن المعادلة (١-٣) نحصل على

$$(٤) \quad J_m = \chi \cdot H$$

وإذا وضع جسم متغنت في مجال خارجي فإنه يكون مجاله الخاص الذي يكون اتجاهه في المواد المغناطيسية موازياً أو في عكس اتجاه المجال الخارجي وإذا رمزنا للحث المغناطيس للمجال الخارجي بالرمز B_0 وللحث المغناطيسي للمجال بالرمز B_1 ولمرحلة الحث المغناطيسي بالرمز B نجد أن :

$$(٥) \quad B = B_0 + B_1$$

وتوضح التجارب أن B_1

$$(٦) \quad B_1 = \mu_0 J_m = \chi B_0$$

حيث B تساوى

$$(٧) \quad B = (1 + \chi) (B_0)$$

ويسمى المقدار

$$(٨) \quad \mu = 1 + \chi$$

بالنفاذية المغناطيسية

ومن المعادلة (٨) نجد أن :

$$(٩) \quad \chi = \mu - 1$$

بالتعويض من (٨) في (٧) نحصل على :

$$(١٠) \quad B = \mu B_0 = \mu \mu_0 H$$

والوحدة التي تقاس بها شدة المجال H في النظام الدولي هي

أمبير/م والوحدة التي يقاس بها الحث والمغناطيس B هي تسلا (T)

(٢-١) الخصائص المغناطيسية للجوامد :

يمكن تقسيم جميع المواد إلى ثلاث مجموعات كبيرة تبعاً للقيمة المطلقة وتبعاً لإشارة قابلية التمعنط لها وهذه الأقسام الثلاثة كما يوضحها الجدول (١) هي الديامغناطيسية والبارامغناطيسية والحديدومغناطيسية .

جدول (١)

ديا مغناطيسية $\chi = \mu - 1$	بارا مغناطيسية $\chi = \mu - 1$	حديد ومغناطيسية $\chi = \mu - 1$
Bi $- 18 \times 10^{-5}$	CaO 580×10^{-5}	Fe 1000
Cu $- 0.9 \times 10^{-5}$	FeCl ₂ 360×10^{-5}	Co 240
Ge $- 0.8 \times 10^{-5}$	NiSO ₄ 120×10^{-5}	Ni 150
Si $- 0.3 \times 10^{-5}$	Pt 26×10^{-5}	

(١) المواد الديامغناطيسية والمواد البارامغناطيسية :

تكون χ سالبة للمواد الديامغناطيسية (مقدار χ أصغر من الواحد) وهي لا تتوقف على شدة المجال المغناطيس الخارجى ولا تتوقف على درجة الحرارة .

مثل هذه المواد تتمغنط فى عكس اتجاه المجال الخارجى وبسبب ذلك تتحرك من المناطق التى تكون فيها شدة المجال كبيرة إلى المناطق التى تكون فيها شدة المجال ضعيفة .

والمواد البارامغناطيسية تكون χ مقدار χ أصغر من واحد لكن على النقيض من المواد الديامغناطيسية تكون χ موجبة. وتتمغنط مثل هذه المواد فى نفس اتجاه المجال الخارجى لذلك فإنها تتجذب إلى

المناطق التى تكون فيها H نهاية عظمى ويوضح الشكل (١ أ) توقف J_m على شدة المجال للمواد الديامغناطيسية (١) وللمواد البارامغناطيسية (٢) فى الحالتين تتناسب J_m طردياً مع H ويتخذ هذا دليلاً على عدم توقف χ على H . ومع ذلك يلاحظ فقط فى المواد البارامغناطيسية فى المجالات الضعيفة نسبياً عند درجات الحرارة المرتفعة وفى المجالات القوية عند درجات الحرارة المنخفضة فإن الرسم البيانى $J_m(H)$ تقترب من القيمة الحدية G_s المناظرة لحالة التشبع المغناطيس للمواد البارامغناطيسية ، الشكل (١ ب) فضلاً عن أى χ للمواد البارامغناطيسية تتوقف على درجة الحرارة هذه العلاقة الذى تمت دراستها لأول مرة بواسطة بيير كيورى Pierre Curie الذى بين أن :

$$(١١) \quad \chi = C / T$$

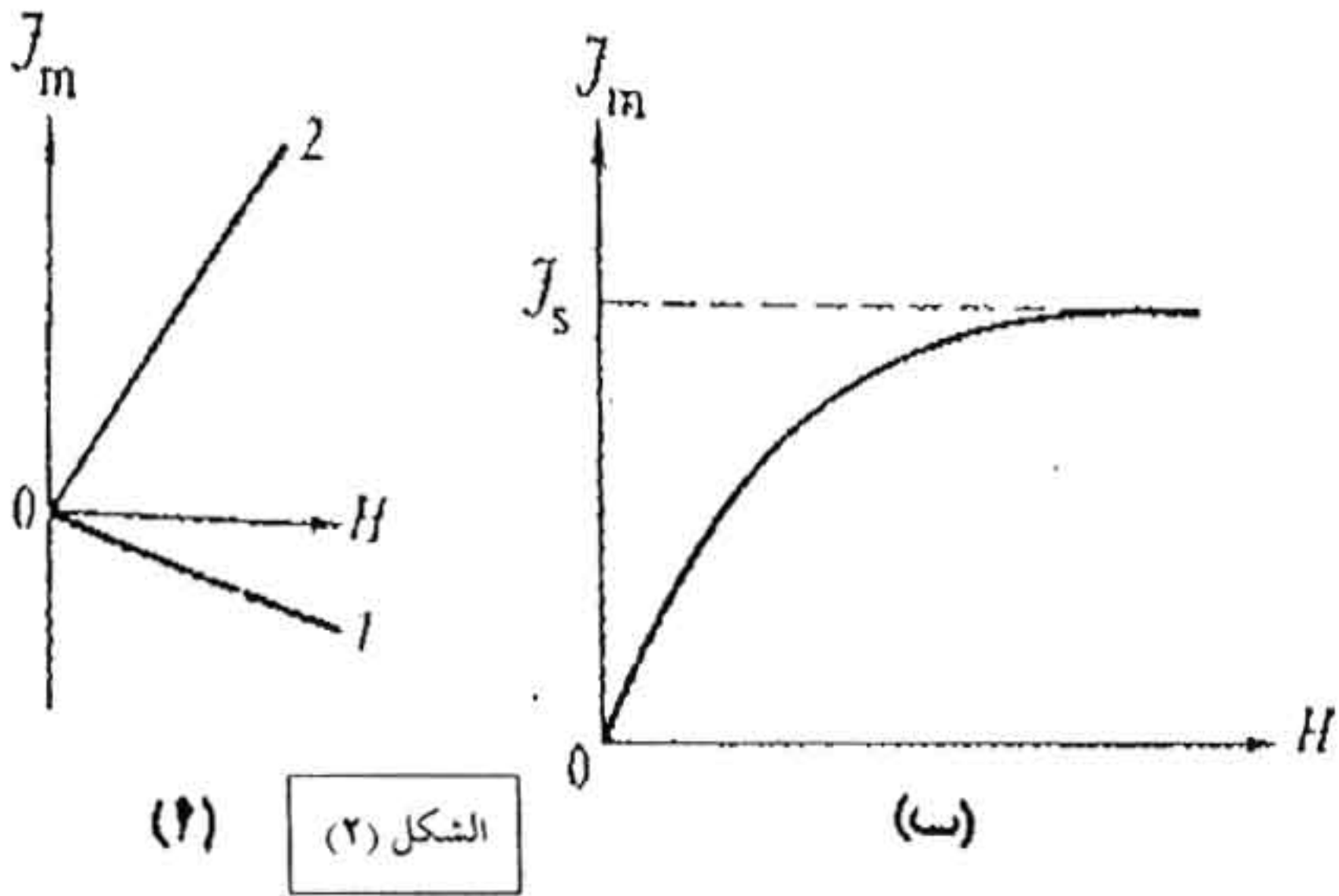
حيث T هى درجة الحرارة المطلقة للمادة البارامغناطيسية و C ثابت يتوقف على طبيعتها ويعرف باسم ثابت كيورى والعلاقة (١١) تسمى قانون كيورى

(٢) المواد الحديدومغناطيسية :

يعد الحديد نموذجاً مثالياً للمواد الحديدو مغناطيسية،تكون أيضاً χ موجبة لكنها أكبر كثيراً من تلك للمواد البارامغناطيسية. فضلاً عن أن χ تتوقف على H وبجانب الحديد تشمل هذه المجموعة أيضاً الليكل والكوبلت والجادولينيوم والريسبروزيم والهولوميوم والايريبيون وبعض السبائك.

وتمت دراسة القواعد المتحكممة فى شدة التـمـغـنـط بواسطة استوليتوف Stoletov ويوضح الشكل (١٢) العلاقة بين B ، شدة المجال H والشكل (٢-ب) العلاقة بين شدة التـمـغـنـط J_m وشدة المجال H والشكل (٢-ب) العلاقة بين قابلية التـمـغـنـط χ و المنحنى وشدة المجال H للحديد المطاوع .

ومن الشكل يتضح أن B تزداد أول الأمر مع زيادة المجال المـمـغـنـط وأن J_m تزداد بشدة لكن معدل الزيادة يقل عند قيمة لشدة المجال H_s قريبة من النهاية العظمى لشدة التـمـغـنـط G_s وأى زيادة قليلة فى الحث المغناطيس ترجع إلى الزيادة فى H . تناظر هذه

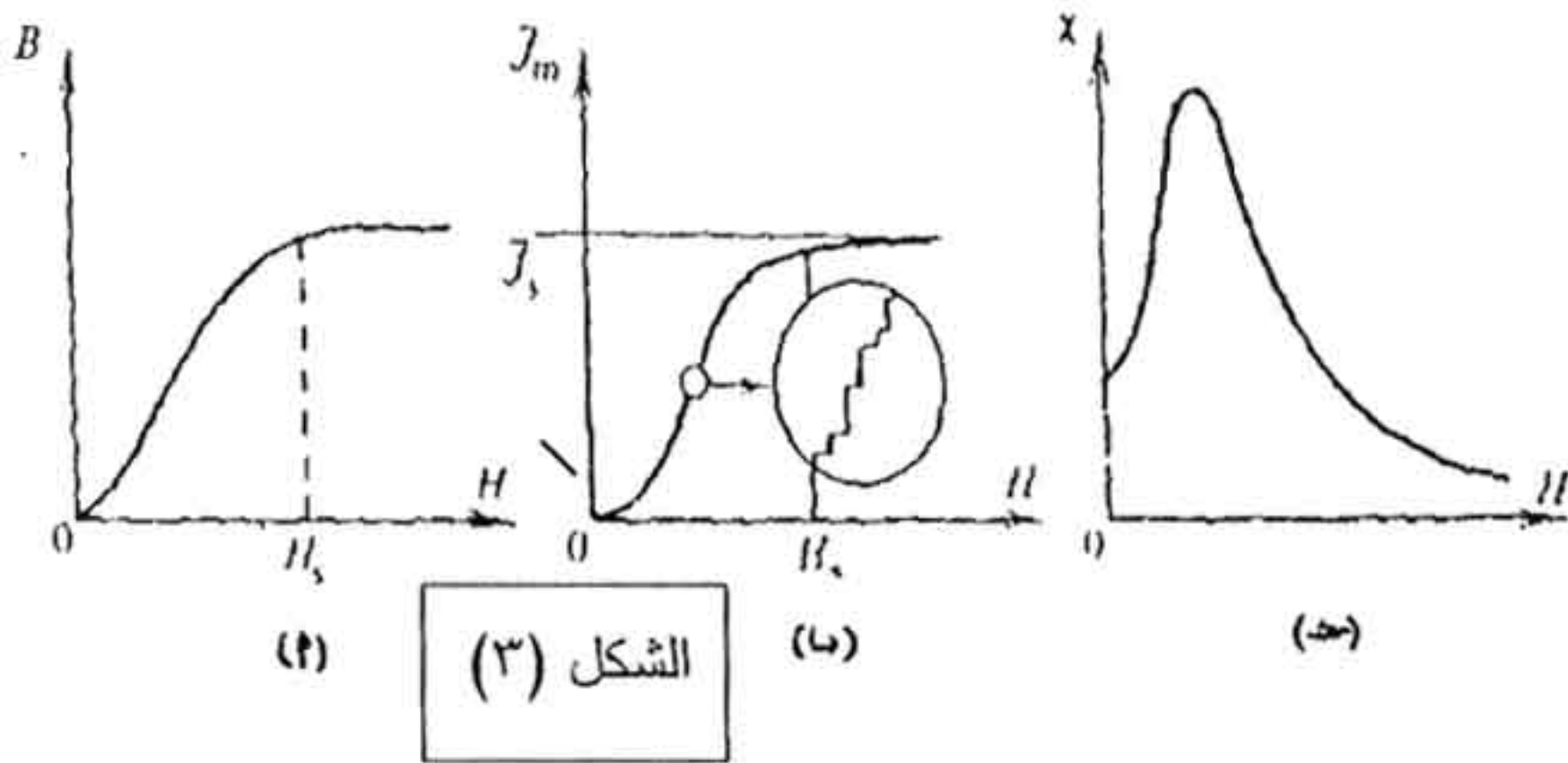


الحالة ما يسمى التشبع التـقـنـى للمواد الحديد ومغناطيسية عند هذه الحالة

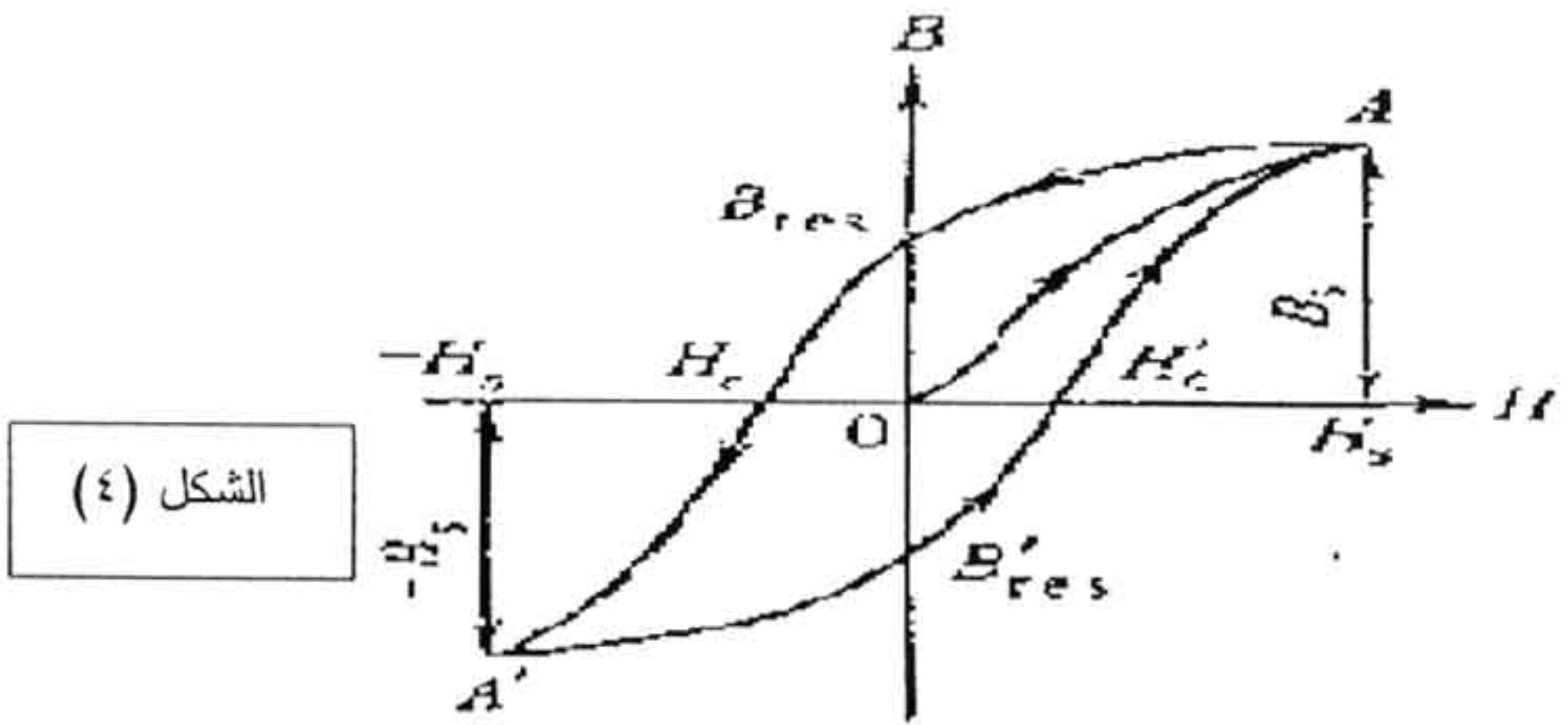
$$\chi \longrightarrow 0$$

وتوضح دراسة منحنى شدة التـمـغـنـط أنه مع زيادة H تزداد J_m تدريجياً على خطوات يظهر هذا بوضوح فى منطقة الارتفاع الحاد لمنحنى شدة التـمـغـنـط ، ويوضح الشـكـل (٢ب) قطاعاً مكبراً فى منحنى شدة التـمـغـنـط (محاطاً بدائرة) يتكون هذا القطاع من عدد كبير من الخطوات تناظر قفزات مستقلة تصاحب تغير J_m مع الزيادة المستمرة فى H وتم اكتشاف الطبيعة المتدرجة لعملية التـمـغـنـط بواسطة بارك هاوزن H..Park Hausen وتسمى ظاهرة بارك هاوزن .

ويوضح الشكل (٣) رسماً بيانياً لدورة كاملة لإعادة التـمـغـنـط



لمادة حديدو مغناطيسية ويتضح من الشكل (٣) أنه خلال عملية إعادة التـمـغـنـط يتخلف التغير فى B خلف التغير فى H . وعندما تكون H = صفر فإن B لا تساوى الصفر إذ أنها تحتفظ بقيمة B_{res} . تخلف B عن H يسمى التخلف المغناطيسى وتسمى B_{res} الحث المغناطيسى المتبقى والتخلص منه يتطلب مجالاً مزيلاً للتـمـغـنـط H_c يعرف بالقوة المغناطيسية القهرية Coersive وللمنحنى المقـفـول



يعرف باسم المنحنى الانشوطى للتخلف المغناطيسى Hysteresis loop تتناسب مساحته طردياً مع الشغل المبذول لإزالة تمغنط وحدة الحجم من مادة حديدو مغناطيسية . فى عملية إزالة التمغنط يتحول هذا الشغل بالكامل إلى حرارة ، لذلك ترتفع درجة حرارة المادة الحديدو مغناطيسية عند إزالة تمغنطها عدة مرات على التوالى وزيادة هذه الظاهرة تتطلب زيادة مساحة المنحنى الانشوطى للتخلف المغناطيسى.

وتصنف الحديد ومغناطيسية إلى مواد غير قاسية (Soft) ومواد قاسية (Hard) تتميز بأن لها قوة مغناطيسية قهرية كبيرة والمواد المغناطيسية غير القاسية المستخدمة فى صناعة قلوب الموتورات الكهربائية (المحركات الكهربائية) وغيرها من الأدوات تكون ذات قوة مغناطيسية قهرية منخفضة ونفاذية عالية. وأحسن سبائك هذا النوع على سبيل المثال (سبيكة السوبرم) تكون نفاذيتها المغناطيسية مرتفعة (10^5) والحث المغناطيسى للتشبع $B_s \approx 1$ تسلا والقوة المغناطيسية القهرية $H_c = 0.32$ أمبير/م ومساحة المنحنى الانشوطى

للتخلف المغناطيسي لها صغيرة جداً كما أن الفقد في إزالة التـمغنـط يكون أقل من نظيره للحديد المطاوع بمثابة مرة وتتميز المواد المغناطيسية القاسية بأن لها قوة مغناطيسية قهرية كبيرة كما تتميز بشدة تمغنط متبقية عالية فعلى سبيل المثال يكون لسبيكة مجنيكو المستخدمة في صناعة المغناطيسات الدائمة $H_C = 5$, $B_{res} = 1.35$ 10^5 A / m x تسلا .

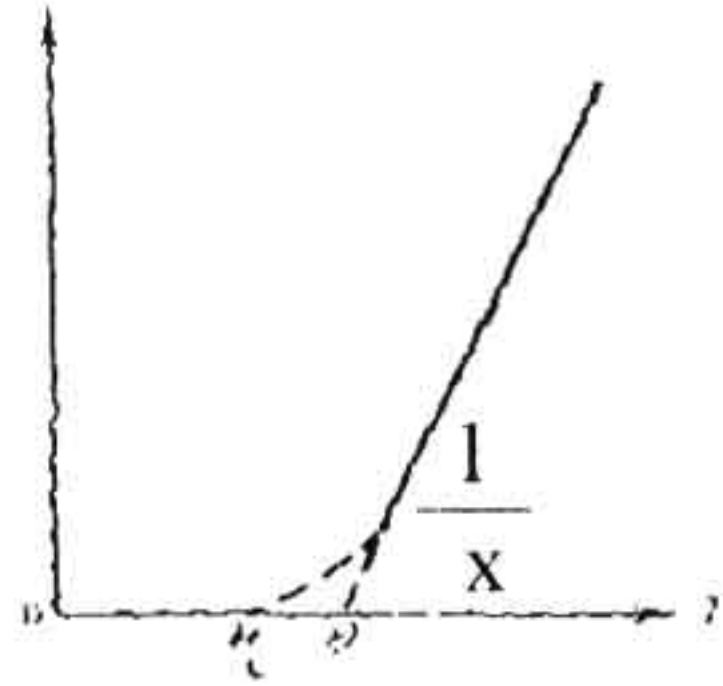
وعند تسخين المواد الحديـدو مغناطيسية تصبح خصائصها المغناطيسية أقل وضوحاً حيث يوجد انخفاض في قيم كل من J_m , μ , إلى آخره ولكل مادة حديدو مغناطيسية توجد درجة حرارة θ_c عندها تفقد المادة خصائصها الحديـدو مغناطيسية . وتعرف هذه الدرجة باسم نقطة كيوري للمواد الحديـدو مغناطيسية ونقاط كيوري لبعض المواد الحديـدو مغناطيسية هي :

سبيكة بيرم 30%	نيكل	حديد	كوبلت	
70	360	770	1150	θ_c

وتتحول المواد الحديد ومغناطيسية χ إلى فوق θ_c مواد بارامغناطيسية بعلاقتها الخطية المميزة .

$$T = f \frac{1}{x}$$

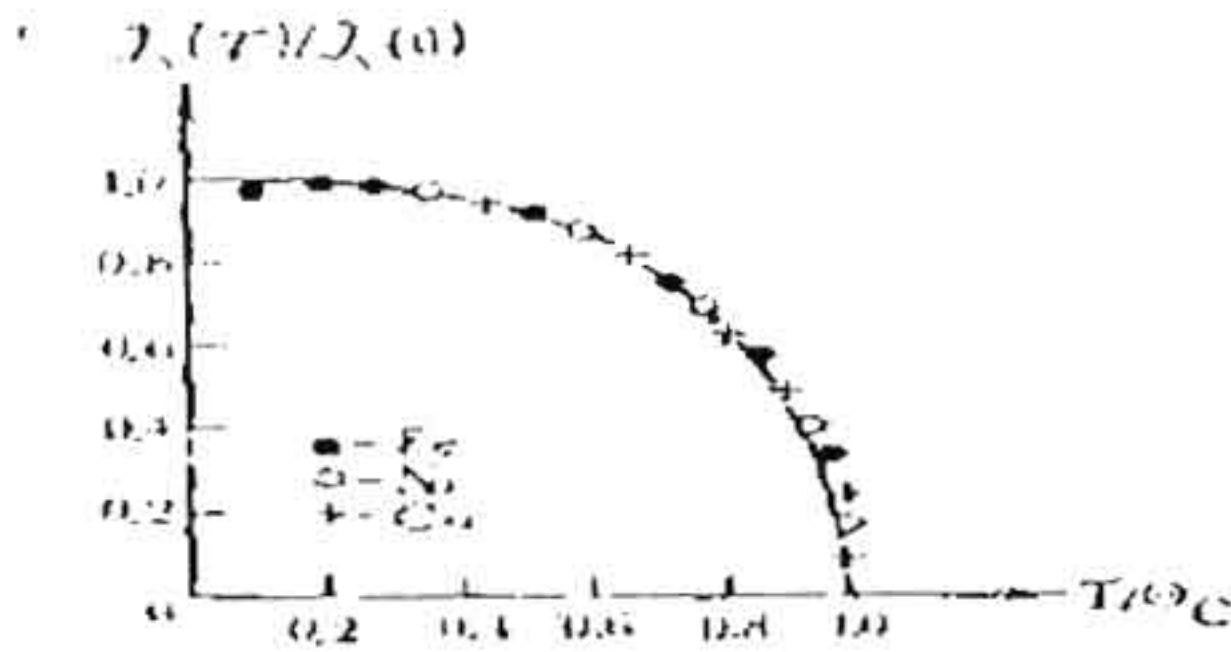
الشكل (٤)



كما في الشكل (٤) الذي يمكن تمثيله بالعلاقة التالية التي تعرف باسم قانون كيوري-فايس Curie-veiss

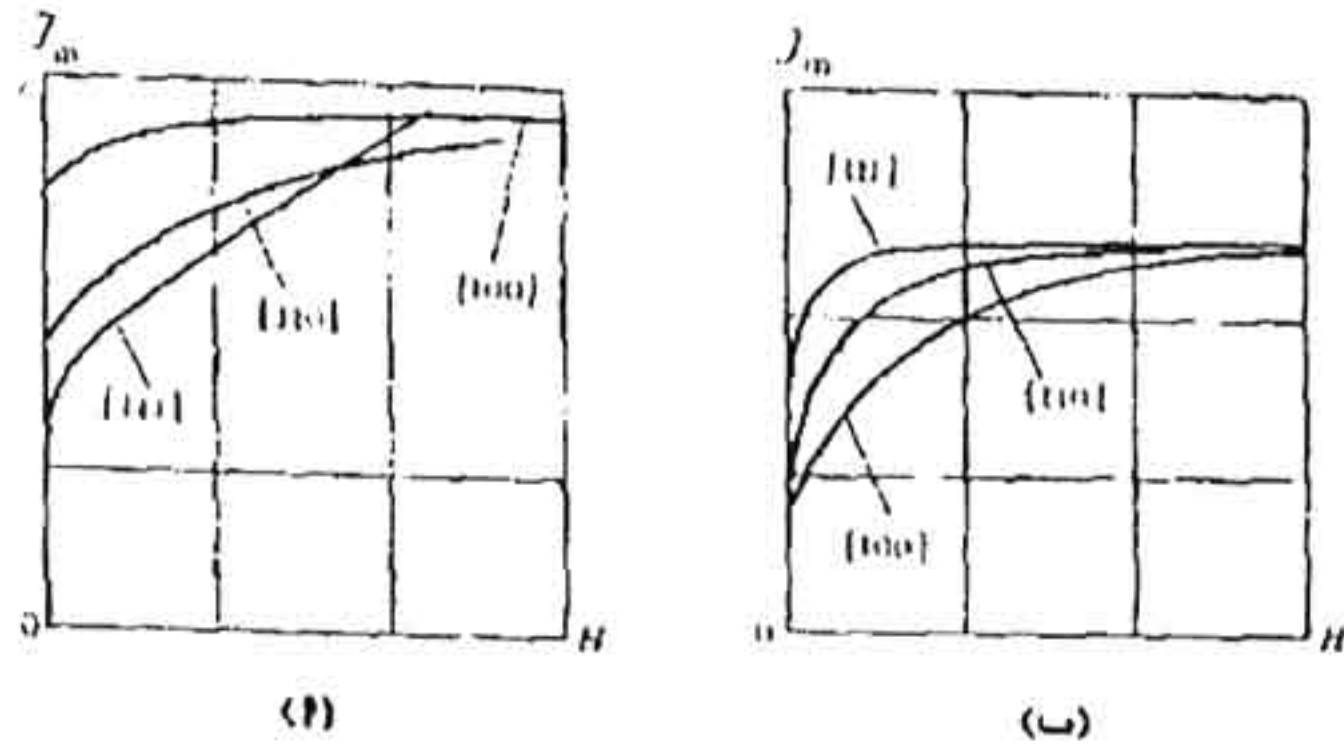
$$(١٢) \quad \chi = \frac{C}{[T - \theta]}$$

حيث C ثابت كيوري ، θ نقطة كيوري للمواد البارامغناطيسية (وهي أعلى قليلاً من θ_c)



الشكل (٥)

ويوضح الشكل (٥) علاقة النهاية العظمى لشدة تمغنط كل من الحديد والنيكل والكوبلت لدرجة الحرارة والنسبة T/θ_C ممثلة بيانياً على طول الإحداثي X والنسبة $G_s(T)/G_s(0)$ على طول الإحداثي Y . في حالة الإحداثيات النسبية هذه توصف علاقة شدة



شكل (٦)

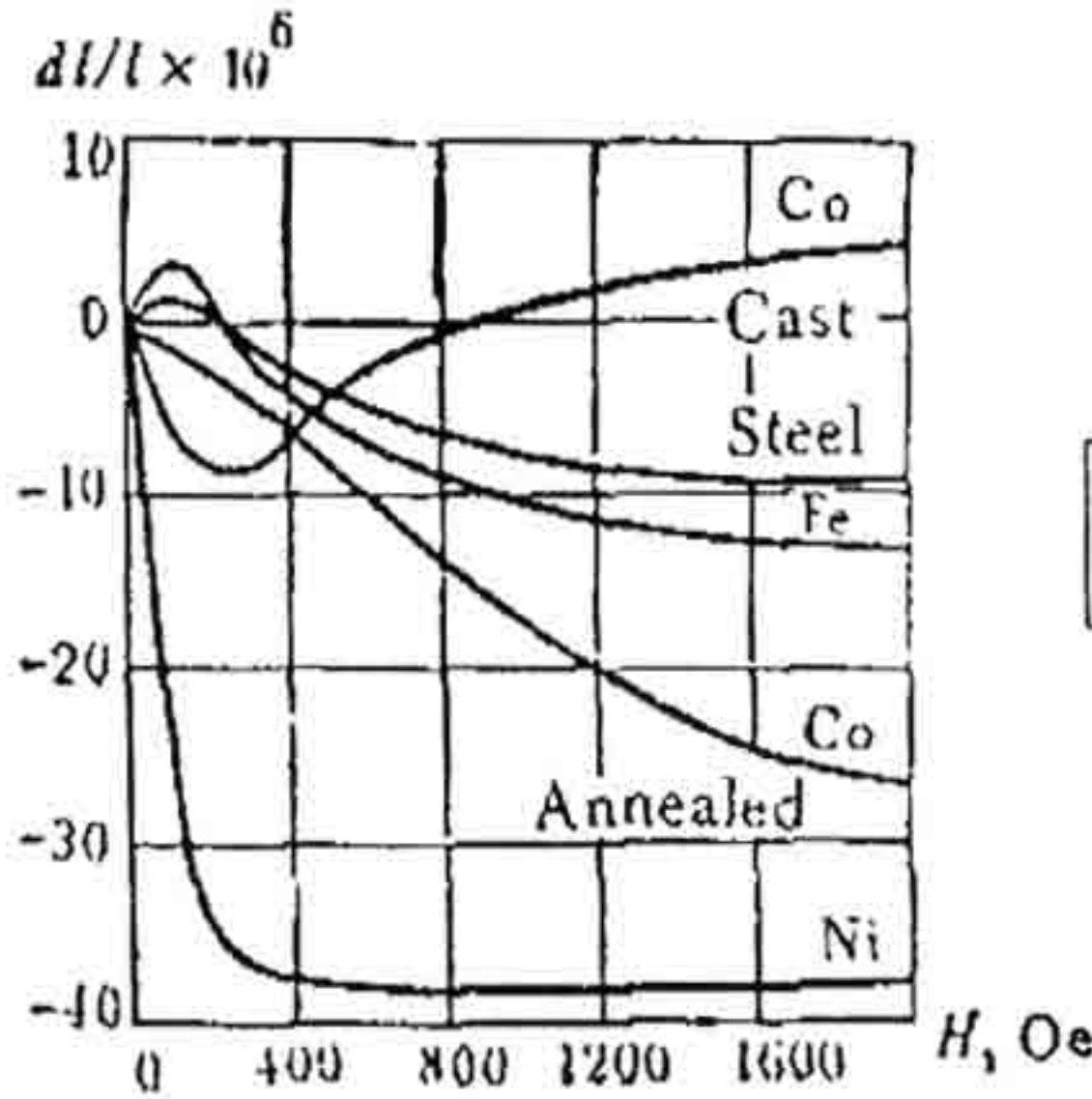
التمغنط ودرجة الحرارة بنفس المنحنى لجميع المواد الحديد ومغناطيسية ومع ارتفاع درجة الحرارة تنخفض شدة التمكنط حتى تصبح عملياً تساوى الصفر عند نقطة Q وتتميز البلورة الأحادية من مادة حديدو مغناطيسية بشدة التمكنط غير المتماثلة ويوضح الشكل (٦) منحنيات شدة التمكنط لبلورات الحديد (المنحنى أ) والنيكل (المنحنى ب) المقطوعة في الاتجاهات $[111]$ ، $[110]$ ، $[100]$ ومن الشكل (٦) نتبين وجود اتجاهات في البلورة الأحادية يكون من السهل فيها مغنطة البلورة والحصول على حالة التشبع المغناطيسي عند قيم منخفضة نسبياً لشدة المجال المغناطيس وتسمى هذه الاتجاهات باتجاهات التمكنط السهلة للحديد يكون الاتجاه هو $[100]$ وللنيكل

الاتجاه [111] ويكون من الصعب في كثير من الحالات مغنطة الحديد في الاتجاه [110] و [111] كما يكون من الصعب مغنطة النيكل في الاتجاه [110] و [100] حيث يتطلب هذا شدة مجال مغناطيسى قوى للاحتفاظ بحالة التشبع المغناطيس وتسمى هذه الاتجاهات الاتجاهات الصعبة لشدة التمكن والتكامل .

$$W_m = \frac{\int_0^{\infty} J_m \mu_0 H J_m}{0} \quad (13)$$

الماخوذ على امتداد منحنى شدة التمكن يمثل الشغل المبذول المغنطة البلورة في اتجاه معين يتحول هذا الشغل إلى طاقة حرة للبلورة الممغنطة ويمكن أن نرى من الشكل (١-٦) أن أقل طاقة حرة هي تلك التى للبلورة الممغنطة فى حالة الاتجاه السهل وتكون أكبر ما يمكن للبلورات الممغنطة فى الاتجاهات الصعبة .

ويصاحب مغنطة المواد الحديدو مغناطيسية تغير فى أبعادها وشكلها وتعرف هذه الظاهرة باسم التخصر المغناطيس magnetostriction ويوضح الشكل (١-٧) التغير النسبى فى طول قضبان من النيكل وأخرى من الكوبلت المملدن وسبيكة نيكل وأخرى من الحديد وأخرى من الصلب تتمغنط فى مجالات تزداد شدتها تدريجياً والانكماش النسبى الأعظم يكون للنيكل تقريباً $\approx 0.004\%$. 0 بينما يزداد طول قضبان الحديد والصلب قليلاً فى المجالات الضعيفة على نقىض ما يحدث فى المجالات القوية وعلى عكس ذلك تنكمش



شكل (٧)

قضبان سبائك الكوبلت فى المجالات الضعيفة وتزداد أطوالها فى المجالات القوية . متمشياً مع مبدأ شاتيليه Le Chatelier مع التأثير الذى يقاوم فيه نظام تأثير العوامل الخارجية التى تحاول تغيير حالته فإن التشوه الميكانيكى للأجسام الحديدو مغناطيسية الناتج عن تغير فى شكلها وأبعادها سوف يؤثر على شدة تمغنط تلك الأجسام بالتحديد إذا الكمش الجسم الممغنط فى اتجاه معين فإن استخدام جهد ضاغط فى هذا الاتجاه سوف يدعم شدة التمغنط وأن استخدام الإجهاد الموسع تجعل شدة التمغنط أكثر صعوبة .

وتغير الخصائص المغناطيسية للأجسام الحديدو مغناطيسية المتوترة تسمى الظاهرة التأثير المغناطيسي المرونى magneto

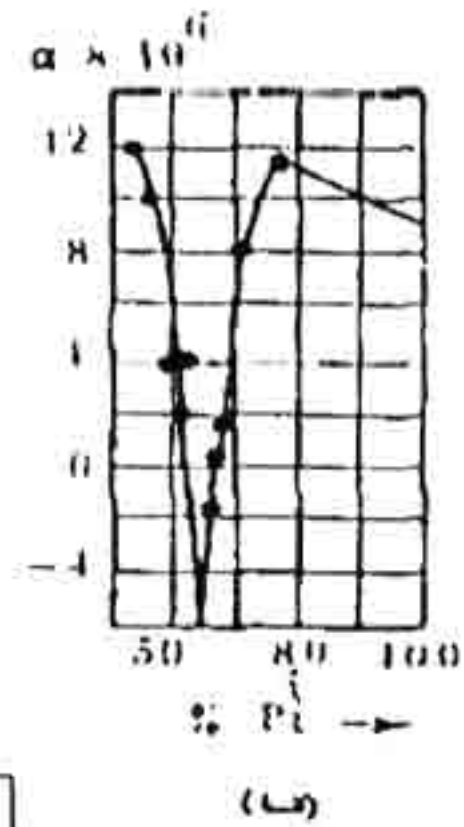
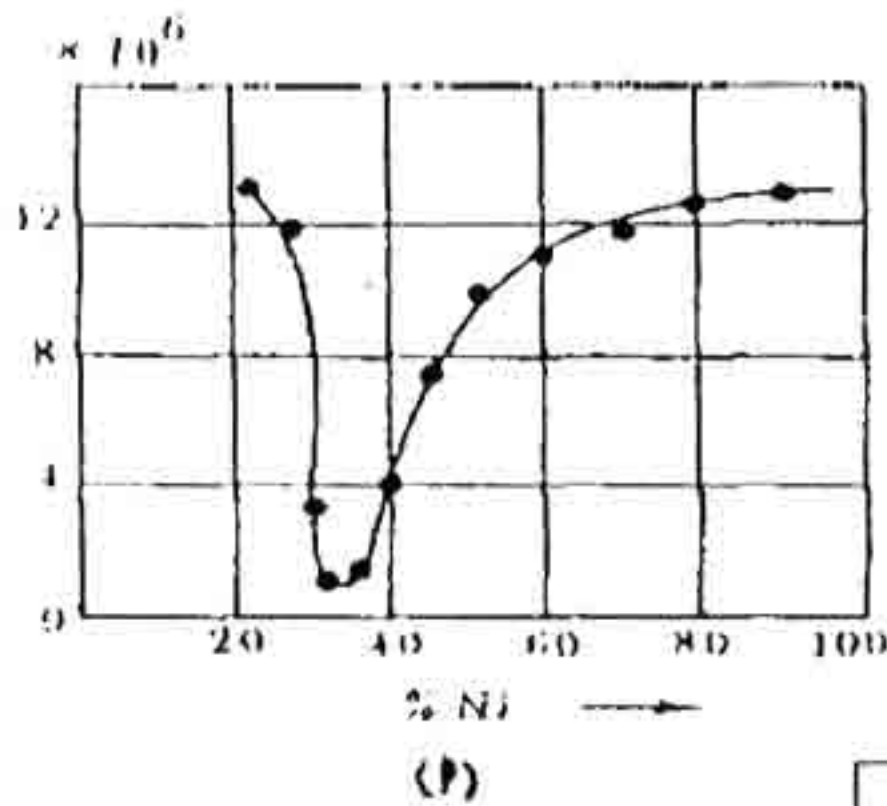
elastic effect والمواد الحديدو مغناطيسية الحساسة إلى الإجهادات الداخلية الناتجة عن التشوه يمكن إستخدامها في هذه الخاصية بفرض قياس الانفعال .

وعندما تتمغنط مادة حديدو مغناطيسية في مجال مغناطيسي متردد فإن أبعادها تتغير مع التردد بمقدار يساوى ضعف تلك في حالة المجال. وتستخدم هذه الخاصية في الذبذبات المتحصرة مغناطيسياً قادرة على توليد اهتزازات فوق سمعية لترددات تصل إلى عدة ميغا هرتز مثل هذه الذبذبات تستخدم في النبائط فوق السمعية المستخدمة في وسائل تنظيف الأجسام الجامدة كما تستخدم في أجهزة السونار المستخدمة في قياس أعماق الممرات المائية وفي كثير من النبائط الأخرى والأجهزة . ولعل المشكلة المثيرة للاهتمام هي تلك الناتجة عن التمدد الحرارى للأجسام الحديدو مغناطيسية . فالتمدد الحرارى للجوامد يرجع إلى لا توافقيه اهتزازات الجسيمات حول مواضع سكونها وبالنسبة للجوامد الذا مغناطيسية والمغناطيسية تعدد اللا توافقيه السبب الوحيد في تغير الأبعاد بالحرارة. ومثل هذه الأجسام تكون تمددها دائماً مصحوباً بارتفاع في درجة الحرارة . وإذا رمزنا لمعامل التمدد الطولى الناتج عن لا توافقيه الاهتزازات الذرية بالرمز

α_1 فإن حالة المواد الحديدو مغناطيسية لا تكون سهلة بدرجة كافية . فأي تغير في درجة حرارتها يكون مصحوباً بتغير في شدات تمغنطها وبالتالي في أبعادها. ولقد افترض اكولوف Akulov المصطلح التخصير الحرارى Thermostriction لهذه الظاهرة ولنرمز لمعامل التمدد الطولى الناتج عن التخصير الحرارى ويكون

معامل التمدد الحرارى الكلى لمادة حديدو مغناطيسية هو $\alpha = \alpha_1 + \alpha_2$ و α_2 ويكون المعامل α_1 موجباً بينما يكون المعامل α_2 موجباً أحياناً وسالباً أحياناً أخرى . ولهذا فإن معامل التمدد الحرارى الكلى لمادة حديدو مغناطيسية قد يكون موجباً وقد يساوى الصفر وقد يكون سالباً. وعلى سبيل المثال فإن مجموع المواد الحديدو مغناطيسية التى يكون معامل التمدد الطولى الحرارى لها سالباً تشتمل على سبائك الأنفار (سبائك أساسها الحديد) ويوضح الشكل (٨) علاقة معامل التمدد الحرارى بدرجة الحرارة لكل من سبائك الحديد-نيكل (بالمنحنى A) والحديد - بلاتين (المنحنى B) على تركيبها فقيمة α للسبائك التى تحتوى على حوالى 36 % نيكل تكون أقل بمقدار 10 مرات عن قيمة α للنيكل النقى أو الحديد النقى وقيمة α للسبيكة المحتوية على 56 % بلاتين سالبة ومثل هذه السبيكة لا تتمدد بالتسخين بل أنها تنكمش بالتسخين .

وسبائك الأنفار تستخدم على نطاق واسع فى صناعة الموازين



الشكل (٨)

والمقاييس وأجهزة الملاحة الجوية وصناعة المصابيح الكهربائية وصمامات الراديو اعتماداً على الأغراض العملية يمكن استخدام السبائك التي تكون معامل التمدد الحراري لها صغيراً جداً أو يساوي الصفر أو حتى سالباً .

(١-٣) الخصائص المغناطيسية للذرات :

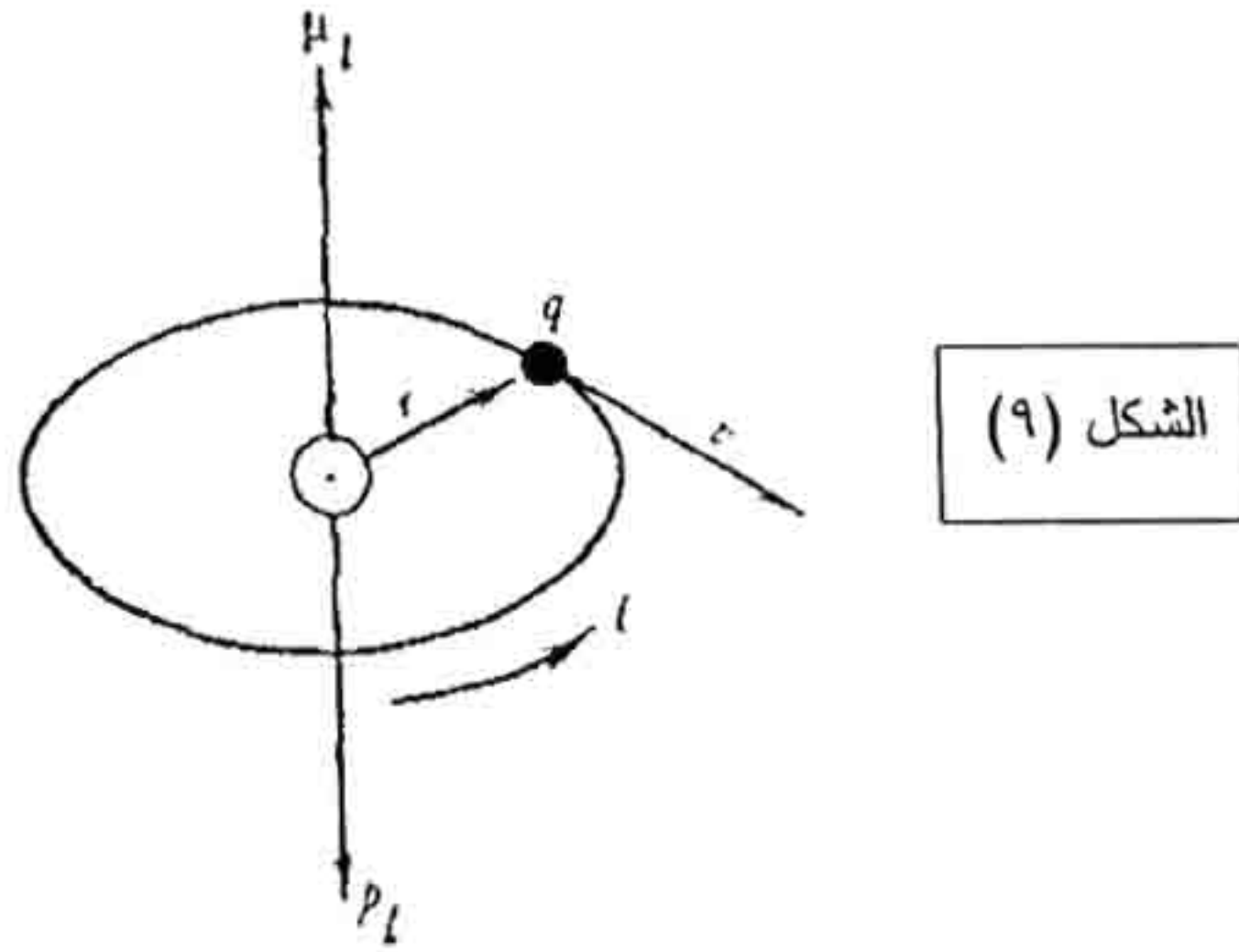
(١) العزم المغناطيسي المداري للذرة

The orbital magnetic moment of an atom

تتكون ذرة كل عنصر من نواة موجبة الشحنة وغلاف الكترول. ويمكن تفسير الكثير من الظواهر المغناطيسية بالاستعانة بنظرية بور Bohr التي تفترض أن الإلكترونات في الغلاف تتحرك في مدارات محددة. سيولد كل إلكترون في مساره المقفل تيار كهربيا $I = q\gamma$ (γ هي عدد دورات الإلكترون في مداره في الثانية و q شحنته) . ويكون العزم المغناطيسي للتيار هو $M = IS = -e\gamma s$ (s هي مسافة المدار) . ونظراً لأن $V = V/2\pi r$ ، $S = \pi r^2$ هي سرعة الإلكترون الخطية في المدار (ومن هذا نجد: -

$$M = \mu_l = ve r / 2 \quad (١٤)$$

ويطلق على العزم المغناطيسي للإلكترون الناتج عن حركته حول النواة ١ سم " العزم المغناطيسي المداري " ولنرمز بالرمز μ_l . ويكون هذا العزم عمودا على مستوى المدار كما تتطلبه قاعدة البريمة اليمنى الشكل (٩) .



وتكون كمية التحرك الداوي للإلكترون هي :

$$(١٥) \quad P_l = mVr$$

حيث m كتلة الإلكترون. وتكون مضادة للعزم المغناطيسي μ_l وبمقارنه العلاقتين (١٤) ، (١٥) نجد :

$$(١٦) \quad \mu_l = - \frac{e}{2m} P_l$$

ويطلق على العلاقة التالية اسم النسبة الجيرومغناطيسية δ_l =

$$(١٧) \quad \delta_l = \frac{\mu_l}{P_l} = \frac{e}{2m}$$

وتتبعاً لمتطلبات ميكانيكا الكم ، تكون P_l ومسقطها P_{lH} على اتجاه المجال المغناطيسي H يكون لها فقط مقادير محددة هي:

$$(18) \quad P_L = h \sqrt{l(l+1)}$$

$$(19) \quad , P_{lH} = m_l h$$

حيث l عدد الكم المداري الذي يكون له فقط القيم التالية :

$$(18) \quad l = 0, 1, 2, \dots, n$$

حيث n عدد الكم الرئيسي m_l عدد الكم المغناطيسي ويأخذ فقط القيم التالية :

$$(19) \quad m_l = -l, -(l-1) \dots 0, \dots, +1$$

أو $(2l+1)$

لذلك يأخذ للعزم المغناطيسي μ_l ومسقطه μ_{lH} على اتجاه H فقط القيم المحددة التالية:

$$(20) \quad \mu_l = -\frac{q}{2m} h \sqrt{l(l+1)} = -\mu_B \sqrt{l(l+1)}$$

$$(21) \quad \mu_{lH} = -m_l \mu_B$$

حيث :

$$(22) \quad \mu_B = -\frac{qh}{2m} = 9.27 \times 10^{-24} \text{ A.m}^2$$

وهو ما يسمى بور ماجنيتون Bohs magneton وهو

كم العزم المغناطيسي ويستخدم كوحدة لقياس العزوم المغناطيسية للذرات .

وفى الذرة المعقدة التى يحتوى غلافها الإلكترونى على عدة الإلكترونات ، يتم إيجاد العزم المغناطيسى المدارى الكلى بإضافة عزوم الإلكترونات تمثيا مع قواعد التمثيل الفراغى الكمى spare quantization ويكون عزم الأغلفة الإلكترونية المقفلة منعما (يساوى الصفر) . فقط يكون للذرات التى تكون أغلفتها الإلكترونية ممثلة جزئيا عزوم مغناطيسية مدارية . ومع ذلك فالذرات التى يمتلئ غلافها الذى يقع تحت الغلاف الخارجى جزئيا وكان التأثير المتبادل بين ذرات الحالة الجامدة قويا ، تتجمد العزوم المغناطيسية لها وبالتالي لا تسهم فى عملية تمغنط الجسم . وأقرب مثال لسلوك العزوم المغناطيسية المدارية هو سلوك الإلكترونات التى تملأ جزئيا الغلاف 3d للعناصر التى تنتمى إلى مجموعة الحديد .

(٢) العزم المغناطيسى المغزلى لذرة

The spin magnetic moment of atom

وبعبارة عن كمية التحرك الزاوى المدارى يكون للإلكترون عزم مغناطيسى مغزلى P_s ويتبين من العلاقة :

$$P_s = \sqrt{3h/2} \quad (٢٣)$$

ومسقطه على اتجاه المجال هو :

$$P_{sH} = \pm h/2 \quad (٢٤)$$

ويكون للإلكترون عزم مغناطيسى مغزلى μ_s يرتبط بكمية التحرك الزاوى أمكن تعيين قيمته لأول مرة بواسطة أوتو ستيرن وفالتر جيرلاخ Otlo Stern & Wather Gerlach وتوضح التجارب أن مسقطه يساوى عدديا بور ماجنيتون :

$$(٢٥) \quad \mu_{sH} = \pm \mu_B = \pm \frac{eh}{2m} = - \frac{e}{m} P_{sH}$$

وتعكس الإشارة السالبة الطبيعية السالبة لشحنة الإلكترون . وتكون النسبة الجير ومغناطيسية للعزم المغناطيسية المغزلية للإلكترون هي:

$$(٢٦) \quad \delta_s = \frac{\mu_{sH}}{P_{sH}} = - \frac{e}{m}$$

وتساوى ضعف γ_I للعزم المدارية .

وللذرات عديدة الإلكترونات تجمع P_s لها جمعا اتجاهيا تمشيا مع قواعد التمثيل الفراغى الكمى. ويكون العزم المغناطيسى المغزلى الكلى منعما (يساوى الصفر) كما فى حالة العزم المدارى . ويوضح الجدول (٢) مثالا للنتائج على التشكيل المغزلى للغلاف 3d للذرات الحرة لعناصر مجموعة الحديد .

الجدول (٢) العزم المغزلى الكلى

<i>Sc</i>	<i>Ti</i>	<i>V</i>	<i>Cr</i>	<i>Mn</i>	<i>Fe</i>	<i>Co</i>	<i>Ni</i>
1	2	3	5	5	4	3	2
↓	↓ ↓	↓ ↓ ↓	↓ ↓ ↓ ↓	↓ ↓ ↓ ↓ ↓	↓ ↑ ↓ ↓ ↓	↓ ↑ ↑ ↓ ↓ ↓	↓ ↑ ↓ ↓ ↓ ↓ ↓

ويكون لذرات الكروم والمنجنيز أكبر عزم مغناطيسى مغزلى كلى إذ أن عزوم مغازلها التى تتكافأ مع بعضها البعض تكون أقل ما يمكن ومع ذلك فإن اتجاه المغازل لا يبقى كما كان عادة فى الحالة الجامدة لذلك يكون العزم المغناطيسى المغزلى فى الجامد مختلفا . فعلى سبيل المثال يكون متوسط عدد البور مجنيتون لكل ذرة فى

شبكة الحديد لا يساوى أربعة وإنما يساوى فقط 2..3 وفى الكروم 0.4 وفى الألفا منجنيز 0.5 .

٣ - العزوم المغناطيسية للنواة :

لنواة الذرة أيضا عدد كم مغزلى وعزم مغناطيسى يرتبط به ومقدار العزم المغناطيسى النووى يكون له نفس قيمة العزم المغناطيس المغزلى للإلكترون . ونظرا لأن كتلة النواة أكبر من كتلة الإلكترون بمقدار 10^3 فإن العزم المغناطيسى النووى ، تمشيا مع المعادلة (٢٥) يكون أقل من العزم المغناطيسى للإلكترون بثلاث رتب. لهذا يمكن إهمال تأثير العزوم المغناطيسية النووية على الخصائص المغناطيسية للأجسام. ويعنى هذا أن تلك ليس لها أى دور على الإطلاق ، إلا أنه فى بعض الظواهر . يكون لها دور مهم .

٤ - العزم المغناطيسى الكلى لذرة :

العزم المغناطيس الكلى للغلاف الإلكترونى للذرة يتعين كما يلى . باستخدام قواعد التمثيل الفراغى الكمى يمكن إيجاد كمية التحرك الزاوى المدارى الكلى $P_L = \sum_i P_{Li}$ حيث P_{Li} هو كمية التحرك الزاوى المدارى للإلكترون (i) وتتعين القيمة العددية P_L لكمية التحرك الزاوى المدارى الكلى بدلالة عدد الكم L

$$P_L = h \sqrt{L(L+1)} \quad (٢٧)$$

العدد L يمكن أن يكون عدداً صحيحاً يقع بين قيمتين عظمى وصغرى للمجموع الجبرى $\sum_i l_i$ لأعداد الكم المدارية l_i

للإلكترونات المنفردة ويمكن أيضا إيجاد كمية التحرك الزاوى للمغازل الذرية P_s من العلاقة:

$$(28) \quad P_s = h \sqrt{S(S+1)}$$

حيث S هو عدد الكم المغزلى إلكترون (i) الذى يتخذ فيما تقع بين قيمتين عظمى وصغرى للمجموع الجبرى $\sum_i S_i$ لأعداد الكم المغزلية للإلكترونات المنفردة ويكون الفرق بين القيم المتتالية للمقدار S مساويا للوحدة .

وفى النهاية يمكن إيجاد كمية التحرك الذرية الكلية P_r مساوية للمجموع الجبرى الاتجاهى لكل من P_s, P_L وتتعين القيمة العددية للمقدار P_r بدلالة عدد الكم J .

$$(29) \quad P_r = h \sqrt{J(J+1)}$$

ويمكن للمقدار J أن يتخذ مجموعات القيم التالية:

$$J = L + S, L + S - 1, \dots, L - S \quad L > S$$

وعندما تكون $S > L$ $J = S + L, S + L - 1, \dots, S - L$ (30)

وتكون الاتجاهات المسموحة للمقدار P_r فى مجال خارجى لتلك الاتجاهات التى تكون مساقطها فى اتجاه المجال هى مضاعفات للمقدار h .

$$(31) \quad P_{JH} = \sqrt{M_J h}$$

حيث m_J هو عدد الكم المغناطيسى الذى يساوى $2J + 1$ فى جميع الحالات حيث :

$$(32) \quad m_J = -J, -(J-1), \dots, 0, 1, 2, \dots, J$$

يكون العزم المغناطيسى الذرى الكلى المناظر الكلى P_r هو

$$(٣٣) \quad M_J = -g \mu_B \sqrt{J(J+1)}$$

ومساقطه فى اتجاه المجال H يساوى

$$(٣٤) \quad M_{JH} = -m_J g \mu_B$$

حيث g معامل لاندى Lande factor أو معامل الانشقاق المغناطيسى الناتج عن الفرق فى النسب الجيرومغناطيسية بين العزوم المدارية والعزوم المغزلية المكونة للعزم المغناطيسى الذرى الكلى وتتعين قيمة معامل لاندى g من العلاقة:

$$(٣٥) \quad g = 1 + \frac{J(J+1)+S(S+1)-L(L+1)}{2J(J+1)}$$

عندما تكون L تساوى Zero أى فى حالة التمغنط بالعزوم المغناطيسية المغزلية تكون $g = 2$ عندما تكون S تساوى Zero ترجع المغنطة إلى الحركة المدارية ، $g = 1$

وغالبا لا يدل مصطلح العزم المغناطيس الذرى فقط على (٣٣) لكن يدل على القيمة العظمى للمسقط M_{JH} . فعلى سبيل المثال لذرة الهيدروجين فى المنسوب الأرضى ($L=0, S=\frac{1}{2}, g=2$) يتميز بأن $J=\frac{1}{2}$

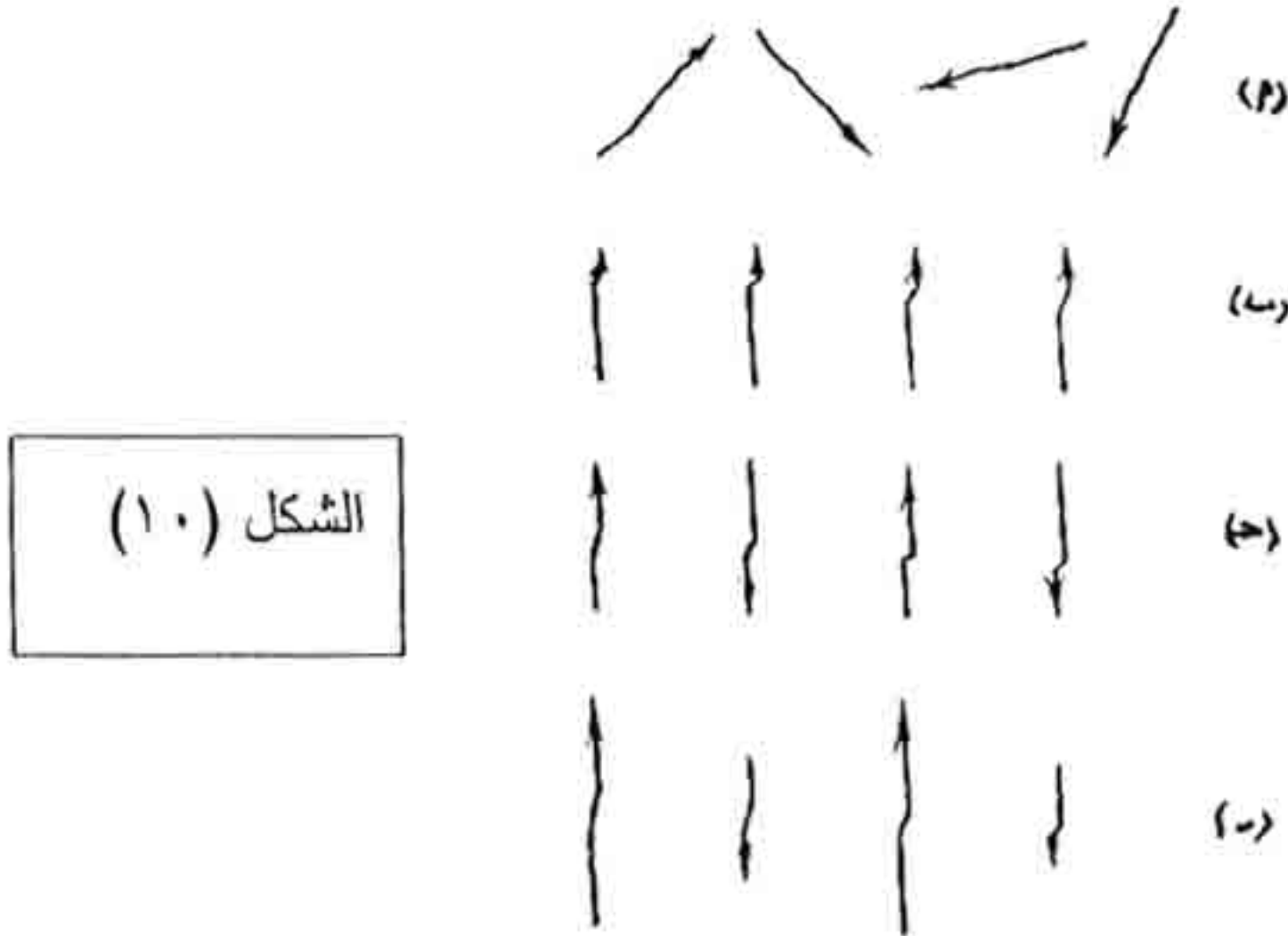
ويكون العزم المغناطيسى مساويا للمقدار μ_B لذرة حديد حرة تتجمد فيها العزوم المغناطيسية المدارية $M_a = 4\mu_B, g=2, J=S=2$ ولجميع الذرات والأيونات ذات الأغلفة المغلقة تكون $J=0, L=0, S=0$ لهذا فإن العزوم المغناطيسية لمثل هذه الذرات والأيونات تكون منعدمة (تساوى صفر) أو يرجع وجود البارا مغناطيسية إلى وجود ذرات ذات أغلفة

ممثلة جزئيا إذ أنه نتجا لمبدأ الاستبعاد لباولي قد لا يكون هناك أكثر من إلكترونى إعداد الكم المغزلية لها متضادة فى أحد المناسب ويكون العزم المغزلى الكلى لتلك الإلكترونات منعما مثل هذه الإلكترونات تتوزع فى أزواج وإذا احتوت ذرة أو أيون على عدد فردى من الإلكترونات فإن أحد هذه الإلكترونات ويظل منفردا ولا ينتمى لى زوج وعندئذ سيكون للذرة عزم مغناطيسى دائم . وإذا احتوت الذرة عددا زوجيا من الإلكترونات نتوقع حالتين أما أن تكون كل الإلكترونات موزعة فى أزواج فيكون العزم المغزلى الكلى منعما أو أن يكون هناك الكربونات أو أكثر فى حالة منفردة لا تكون أزواجا فيكون للذرة عزم مغناطيس دائم فعلى سبيل المثال Ag, Na, K, H ذات أعداد فردية من الإلكترونات أحدهما سيكون منفردا، بينما تحتوى ذرات He, Mg, Be, C على إعدادا زوجية من الإلكترونات جميعها سيكون موزعا فى أزواج وتحتوى الأكسجين على عدد زوجى من الإلكترونات لكن إلكترونين منهما يظلان منفردين وتكون العزوم المغناطيسية لعدة جزئيات منعمة لأن بعضها منها يحتوى على إلكترونات منفردة كما فى حالة المجموعات الذرية الحرة radical التى تلعب دورا مهما فى العديد من التفاعلات الكيميائية لأمثلتها مجموعات الهيدروكسيل (OH) والمثيل الحر (CH_3) والإيثيل الحر (C_2H_5) فوجود الإلكترونات المنفردة فى جزئياتها وفى المجموعات الذرية الحرة يجعلها مواد مغناطيسية .

تصنيف المواد المغناطيسية:

عند إضافة العزوم المدارية والمغناطيسية يمكن أن تتكافى تماماً وعندئذ ينعدم العزم الذرى الكلى وإذا لم يتم التكافؤ سيكون للذرة عزماً مغناطيسياً دائماً . وتبعاً لذلك تختلف الخصائص المغناطيسية للأجسام .

فالمواد التى لا يكون لذراتها عزوم مغناطيسية دائمة هى المواد الديا مغناطيسية والمواد التى يكون لذراتها عزوم مغناطيسية دائمة أما أن تكون مواد بارا مغناطيسية أو حديدو مغناطيسية أو حديد ومغناطيسية مضادة أو فيرايت. فإذا كان التأثير المتبادل بين العزوم المغناطيسية الذرية منعدماً أو ضعيفاً ستكون المادة بارا مغناطيسية



الشكل (١٠)

الشكل (١٠ أ).

وإذا كانت العزوم المغناطيسية المتجاورة تميل إلى أن تصف بعضها لتصبح متوازنة ذات اتجاه واحد تكون المادة حديد ومغناطيسية الشكل (١٠ ب) وإذا كانت العزوم المغناطيسية المتجاورة تميل إلى أن تصف نفسها متوازنة باتجاهين متضادين غير أنها تكون متضادة تكون المادة حديد ومغناطيسية مضادة ، الشكل (١٠ ج) أو فى النهاية إذا كانت العزوم المغناطيسية المتجاورة تميل إلى نصف نفسها متوازية وفى اتجاهات متضادة لكن مقاديرها ليست متساوية تكون المادة فيرايت الشكل (١٠ د).

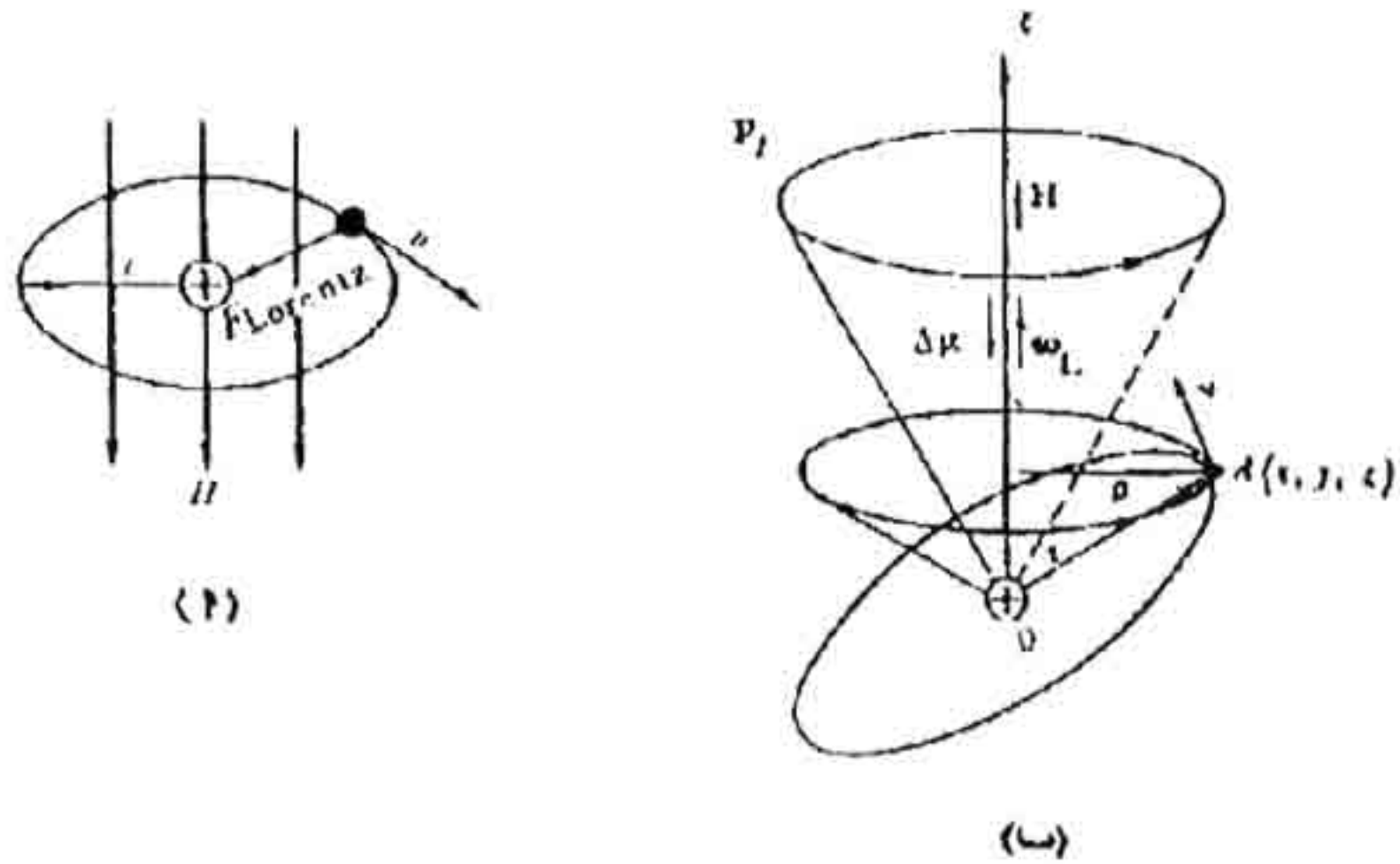
(١-٤) منشأ الديا مغناطيسية Origin of diamagnetism

ترجع الديامغناطيسية إلى تغير فى الحركة المدارية للإلكترون تحت تأثير مجال مغناطيسى خارجى. وهو أمر شائع لجميع المواد إلا أنه غالبا يحتجب بالبار مغناطيسية والحديدو مغناطيسية القوية . وتظهر الديا مغناطيسية بوضوح فى المواد التى تكون عزومها المغناطيسية الذرية الكلية منعدمة .

(١) ترنج المدارات الإلكترونية فى مجال مغناطيسى

Precession of electron orbits in a magnetic field

لنأخذ حركة إلكترون في مدار نصف قطره r كما في



الشكل (١١)

الشكل (١١) وفي حالة عدم وجود مجال خارجي H تكون القوة الجاذبة المركزية المؤثرة على الإلكترون هي F_{cp}

$$W_0, \text{ السرعة اللحظية, } v_0) = mV_0^2/r = mW_0^2r$$

السرعة الزاوية لحركة الإلكترون) وعندما يؤثر مجال مغناطيسي H

عموديا على مستوى المداري يتأثر الإلكترون بقوة لورنتز $F_L =$

Lorentz force $eV_0 B_0$ اتجاهها على طول نصف قطر

المدار (B الحث الكهرومغناطيسي) وعندئذ تكون القوة الجاذبة

المركزية هي :

$$F = F_{cp} + F_L, \text{ أو } mW^2r = mW_0^2r + eW_0rB_0$$

ومنها نحصل على : -

$$\begin{aligned} mr(W^2 - W_0^2) - mr(W - W_0)(W + W_0) &\approx 2mrW_0W_L \\ (36) \quad &= q w_0 r B_0 \end{aligned}$$

حيث

$$(37) \quad W_L = W - W_0 = \frac{q}{2m} B_0 = \frac{q}{2m} \mu_0 H$$

وهو ما يعرف باسم التردد الزاوى للارمور ω_{mer} angalev frequency لهذا يغير المجال المغناطيسى التردد الزاوى للإلكترون المدارى. ويمكن أن نتبين من المعادلة (37) أن هذا التغير متماثل لجميع الإلكترونات فى المادة بغض النظر عما يكون عليه نصف قطر مداراتها أو سرعتها اللحظية. وتطبق اتجاهات W_L على اتجاهات B_0 وبصفة عامة عندما لا يكون المجال H عموديا على مستوى المدار فإن تأثير ذلك يظهر فى إثارة ترنج المدار حول اتجاه المجال، الشكل (١١ ب) يتخذ العمود P_L على مستوى المدار مخروطا حول المجال H وتوضح الحسابات أن السرعة الزاوية لمثل هذا الترسخ تتعين من العلاقة (37).

(٢) العزم المغناطيسى المحتث لذرة قابلية تمغنط المواد الدايا مغناطيسية:

ينتج عن ترنج المدار الإلكترونى حركة إضافية للإلكترون حول المجال H .

وتتراكب هذه الحركة مع الحركة المدارية والفعل المغناطيسى أو التأثير المغناطيسى لهذه الحركة الإضافية يكافئ ذلك للتيار المقفل.

$$\frac{W_L}{2\pi}$$

$$(٣٨) \quad \Delta I = -q \gamma_L = -q \quad = - \frac{q^2}{4\pi m} B_0$$

حيث لها تردد الترنح الذى يرتبط بالتردد الزاوى بواسطة العلاقة $\omega_L = 2\pi\gamma_L$ وتظهر الإشارة السالبة فى العلاقة (٣٨) نتيجة للشحنة السالبة للإلكترون .

والعزم المغناطيسى للتيار الأولى ΔI هو :

$$(٣٩) \quad \Delta \mu = \Delta I S = - \frac{q^2 S}{4\pi m} B_0$$

حيث S المساحة التى يحددها مسار الإلكترون المترنح حول المجال H وتوضح الحسابات أن $S = 2\pi r^2 / 3$ حيث r^2 متوسط مربع بعد الإلكترون عن النواة لهذا : -

$$(٤٠) \quad \Delta \mu = - \frac{q^2 \overline{r^2}}{6 m} B_0 = - \frac{q^2 \overline{r^2}}{6 m} \mu_0 H$$

ومن هذه المعادلة نتبين أن كل إلكترون فى مجال مغناطيسى يتطلب عزما إضافيا يسمى العزم المغناطيسى المحث يكون اتجاهه مضادا لاتجاه H . ظهور هذا العزم هو سبب مغنطة الجسم فى اتجاه مضاد لاتجاه المجال وهو ما يميز الديا مغناطيسية .

ويمكن إيجاد العزم المغناطيسى لذرة تحتوى على Z من الإلكترونات بإضافة عزوم الإلكترونات الفردية :

$$(٤١) \quad \Delta M = \frac{q^2 B_0}{6 m} \sum_i \overline{r_i^2}$$

حيث r_i^2 متوسط مربع بعد الإلكترون i عن النواة. ويمكن استبدال r_i^2 بحاصل الضرب Za^2 حيث a^2 متوسط مربع بعد جميع الإلكترونات عن النواة عندئذ

$$(٤٢) \quad \Delta M = - \frac{Z \overline{a^2} q^2}{6m} B_0$$

وبضرب العلاقة (١-٤٢) في عدد الذرات في كل وحدة حجوم n نحصل على شدة التماغنط J_m

$$(٤٣) \quad J_m = n \Delta M = - \frac{Z q^2 n \overline{a^2}}{6m} B_0 = - \frac{Z q^2 n \overline{a^2}}{6m} \mu_0 H$$

وقابلية التماغنط χ

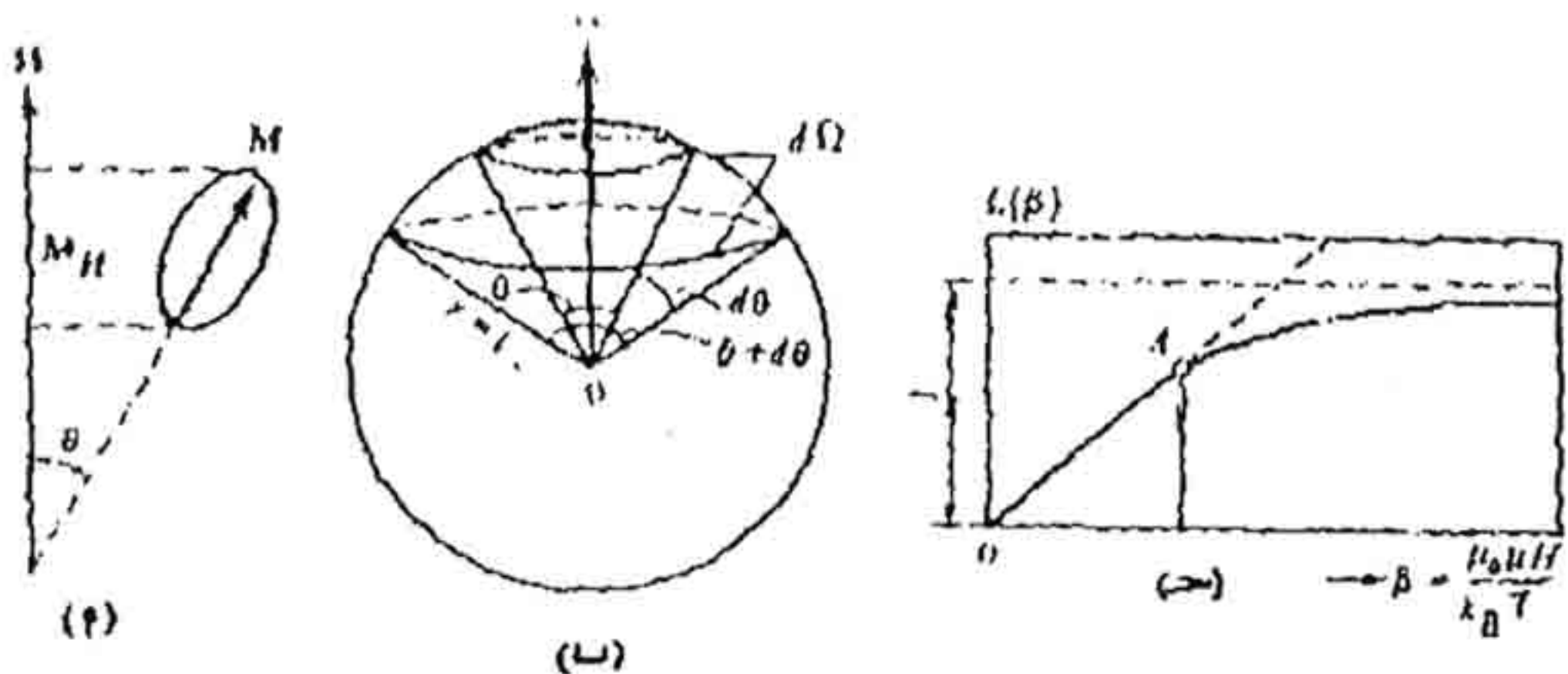
$$(٤٤) \quad \chi = J_m/H = - \frac{\mu_0 Z q^2 n \overline{a^2}}{6m}$$

وبفرض أن $a = 10^{-10} \text{ m}$ ، $n \approx 5 \times 10^{28}$ لكل متر مكعب نحصل على $\chi \approx 10^{-6} Z$ في اتفاق جيد من نتائج الجدول (١) فضلا عن ذلك، يتضح من المعادلة (٤٤) أن قابلية التماغنط للمواد الدايا مغناطيسية لا تتوقف على كل من درجة الحرارة أو شدة المجال المغناطيسي H وتزداد بزيادة العدد الذري Z للعنصر في اتفاق تام مع التجربة .

(١-٥) منشأ البارامغناطيسية Origin of paramagnetion

(١) نظرية لانجفين الكلاسيكية للبارامغناطيسية

Langavin's classical Theory paramagnetism



الشكل (١٢)

تعتمد النظرية الكلاسيكية التي اقترحها باول لانجفين على فكرة أن ذرات المواد البارامغناطيسية يكون لها عزوم مغناطيسية دائمة M حيث تتكون ثنائيات قطب مغناطيسية دائمة وأن التأثير المتبادل بين ثنائيات القطب هذه يمكن إهماله. وتكون طاقة ثنائي القطب في مجال مغناطيسي H هي :

$$(٤٥) \quad U_m = - M \mu_0 H \cos \theta$$

حيث θ الزاوية بين H و M الشكل (١٢) لذلك تميل كل ثنائيات القطب إلى توجيه نفسها في اتجاه المجال الخارجى ، ويعوق هذه العملية الاهتزازات الحرارية . ويتكون العزم المغناطيسى الكلى للمادة من مساقط العزوم المغناطيسية للذرات المنفردة على اتجاه المجال H ونظرا لأن مقدار تلك المساقط هو $M_H = M \cos \theta$ فإن مشكلة الحسابات الكمية للقيمة المتوسطة للمقدار M_H المناظرة لحالة الاتزان تنحصر فى التأثير الاتجاهى للمجال والتأثير الاتجاهى (النوضى) للحركة الحرارية . وبمجرد حل هذه المشكلة بواسطة لانجفين بالاستعانة بالطرق الإحصائية الكلاسيكية ، افترض أن توجيه M

بالنسبة للمجال H يمكن أن يكون اختياريا ويمكنه أن يأخذ كل القيم تبعا للزاوية θ .

واحتتمال أن لطيف ثنائى القطب نفسه عند زاوية فى المدى $(\theta, \theta + \Delta\theta)$ مع المجال أى داخل زاوية مجسمه $d\Omega$ الشكل (١٢ ب) يتعين بدالة التوزيع بولتزمان

$$W = C_1 e^{-u_m / K_B T} d\Omega = C_1 \exp \frac{\mu_0 M H \cos \theta}{K_B T} d\Omega$$

حيث C_1 ثابت التسوية : ويتضح من الشكل (١٢ ب) أن :

$$d\Omega = 4 \pi \sin \theta d\theta$$

ولهذا :

$$W = C \exp \left(\frac{\mu_0 M H \cos \theta}{K_B T} \right) \sin \theta d\theta$$

حيث C ثابت جديد :

وتكون القيمة المتوسط للمقدار $M \cos \theta$ هى

$$(٤٦) \overline{M_H} = \overline{M \cos \theta} = \frac{\int_0^\pi \cos \theta \exp(\mu_0 M H \cos \theta / K_B T) \sin \theta d\theta}{\int_0^\pi \exp(\mu_0 M H \cos \theta / K_B T) \sin \theta d\theta}$$

وبحل هذه التكاملات نحصل على :

$$(٤٧) \overline{M_H} = M \left(\frac{e^B + e^{-B}}{e^B - e^{-B}} \frac{1}{\beta} \right) = M \left(\coth \beta - \frac{1}{\beta} \right)$$

حيث :

$$(٤٨) \quad \beta = \frac{M \mu_0 H}{K_B T}$$

وتعطى شدة التمغنط بالعلاقة :

$$(٤٩) \quad J_m = nM_H \overline{=} n_M \left(\text{Coth } \beta - \frac{1}{\beta} \right)$$

حيث أن عدد الذرات في وحدة الحجم وتكون قابلية التماغنط هي

$$(٥٠) \quad \chi = \frac{J_m}{H} = \frac{nM}{H} \left(\text{Coth } \beta - \frac{1}{\beta} \right)$$

ونظراً لأن ثنائيات القطب الذرية التي تقع تحت تأثير المجال نصف نفسها في اتجاهه وهو نفسه اتجاه شدة التماغنط للجسم كامل وهو ما يميز البارامغناطيسية وبفك $\text{Coth } \beta$ في سلسلة قوى:

$$\text{Coth } \beta = \beta^{-1} + \beta/3 - \beta^2/45 + \dots$$

وعندما تكون $\beta \ll 1$ يمكن أن نكتفي بالحدين الأول والثاني من المفكوك وعندئذ نحصل على المعادلة .

$$(٥١) \quad J_m = \frac{nM\beta}{3} = \frac{nM^2}{3K_B T} \mu_0 H, \quad \chi = \frac{\mu_0 nM^2}{3K_B T}$$

وبارتفاق مع التجربة تتناسب J_m طردياً مع H وعكسياً مع T والجزء الثاني من المعادلة (٥١) يعبر عن قانون كيورى :

$$C = \frac{\chi = nM^2 \mu_0}{3K_B} \quad \text{ويكون ثابت كيورى}$$

ولذرات $M = 2\mu$ ثم $H \cong 10^6$ أمبير / م نرى أن $MH\mu_0$ ، J تساوى 10^{-23} ج وعند $300 \text{ K} = T$ ، نرى أن $K_B T$ تساوى 3×10^{-21} عندئذ يتحقق الشرط: $\beta \gg 1$

وفى حالة وجود مجالات قوية وفى درجات الحرارة المنخفضة جداً تكون β أكبر كثيراً من الواحد ولا يحتفظ فى هذه الحالة بالتناسب الطردى بين H , J_m فعندما $\beta \rightarrow \infty$ فإن $\text{Coth } \beta \rightarrow 1$ وتتشبع شدة التمعنط بقيمة النهاية العظمى المناظرة تصبح :

$$J_s = nM \quad (52)$$

ويتضمن التشبع المغناطيس أن تصطف العزوم المغناطيسية لجميع الذرات فى اتجاه المجال وتسمى الدالة $L(\beta) = \text{Coth } \beta - \frac{1}{\beta}$ باسم دالة لانجفين والتمثيل البيانى لها يوضحه الشكل (١٢ ج) .

(٢) أساسيات نظرية الكم للبارا مغناطيسية :

لا تعطى النظرية الكلاسيكية تفسيراً متوافقاً مع الظواهر المغناطيسية كنتيجة لحركة الشحنات الإلكترونية ويتضمن بالضرورة وجود تيارات جزئية معرفة ثبات الحركة الإلكترونية للذرات وهى حقيقة غير مقبولة فى الفيزياء الكلاسيكية .

وافترض أن جميع الاتجاهات للعزوم المغناطيسية تكون ممكنة بالنسبة لـ H والى تعتمد عليها نظرية لانجفين افتراضاً غير صحيح . فهذه الصعوبات ككل أمكن التغلب عليها بنظرية الكم للبارا مغناطيسية جوهر هذه النظرية يتمثل فيما يلى :

يوجد $2J + 1$ طريقة أن تصطف بها العزوم المغناطيسية الذرية M_J فى مجال مغناطيسى (J) هى عدد الكم الذاتى (ويتعين احتمال كل اتجاه من دالة توزيع بولتزمان

$$W = \overline{C} e^{\mu_0} M_{TH} \\ = C e^{\mu_0} M_{JH} / K_B T$$

M_{JH} هي مسقط MJ على H ، والقيمة المتوسطة M_{JH}

$$(53) \quad \overline{M}_{JH} = \frac{\sum_{-J}^{+J} M_{JH} \exp \left(-\frac{\mu_0 M_{JH} H}{K_B T} \right)}{\sum_{-J}^{+J} \exp \left(-\frac{\mu_0 M_{JH} H}{K_B T} \right)} \quad \text{هي :}$$

الفرق بين المعادلة (53) والمعادلة (46) هي أن التكامل تم استبداله بجمع كل الاتجاهات المميزة الذي يمكن أن يصطف فيها M_J ويؤدي حل المعادلة (53) إلى النتيجة التالية :

$$(54) \quad \overline{M}_{JH} = gJ\mu_B B_J(\beta)$$

$$(55) \quad \beta = \frac{Jg\mu_B H \mu_0}{K_B T}$$

$$(56) \quad B_J(\beta) = \frac{2J+1}{2J} \coth \frac{2J+1}{2J} \beta - \frac{1}{2J} \coth \frac{\beta}{2J}$$

وتعرف الدالة $B_J(\beta)$ باسم دالة بريلوا Brillouin function وتعطى شدة المجال وقابلية التمعنط بالمعادلتين

$$(57) \quad J_m = \overline{M_{JHn}} = ngJ\mu_B B_J(\beta)$$

$$(58) \quad \chi = \frac{ngJ\mu_B}{H} B_J(\beta)$$

وعندما تكون $B \ll 1$

$$\beta_J(\beta) = (J+1)/3J$$

$$(59) \quad J_m = \frac{Ng^2\mu^2BJ(J+1)\mu_0H}{3K_B T}, \chi = \frac{nJ(J+1)g^2\mu_B^2\mu_0}{3K_B T}$$

ومن المعادلة (59) وعندما تكون $\beta \ll 1$ تؤدي نظرية الكم إلى علاقة خطية بين J_m , H وعلاقة عكسية بين كل من J_m , X درجة الحرارة وهو ما يتفق مع النظرية .

في المجالات القوية وعند درجات الحرارة المنخفضة $\beta \Rightarrow \infty$ وتحتفظ شدة التماغنط بقيمة التشبع لها :

$$\coth \frac{2J+1}{2J} \longrightarrow 1, \coth \frac{\beta}{2J} \longrightarrow 1, B_J(\beta_1)$$

وعندئذ تكون قيمة J_S كما هي :

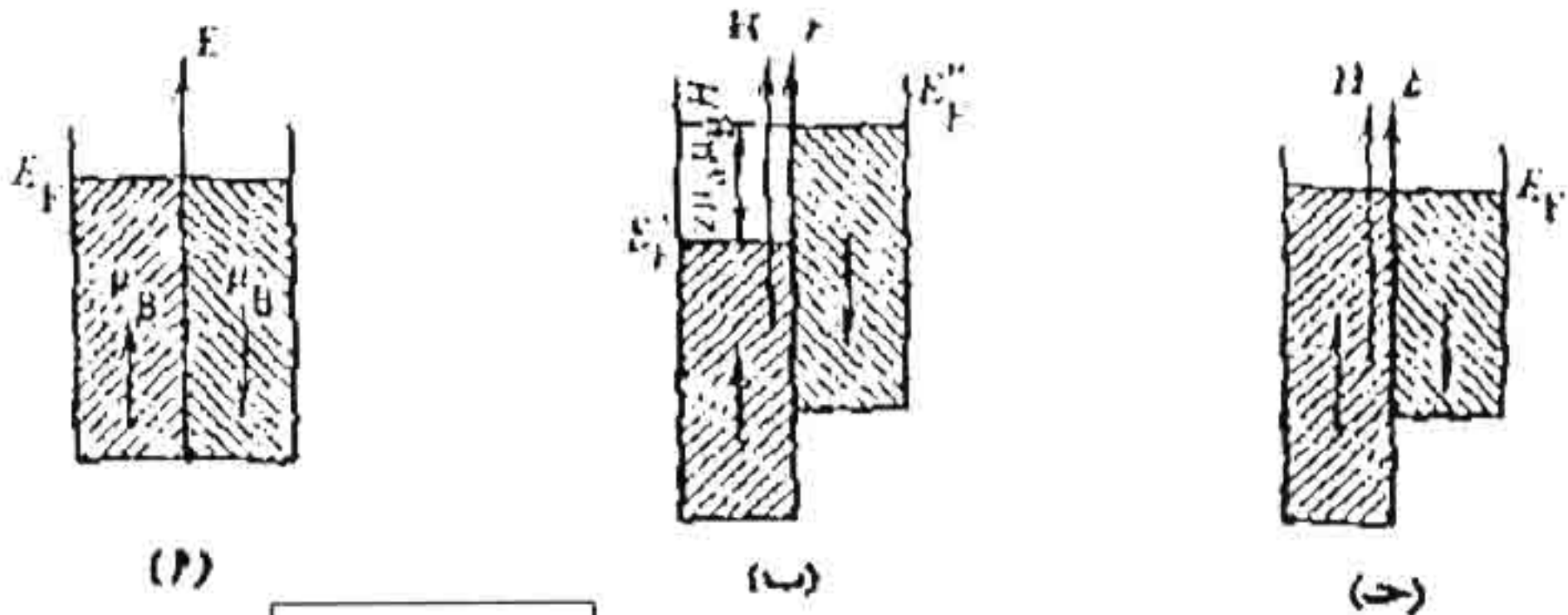
$$(60) \quad J_S = ngJ\mu_B$$

والمواد المستخدمة في الاختبارات العملية لنظرية البارامغناطيسية عبارة عن محاليل وأملاح الهيدرات المتبلرة التي تحتوي على أيونات بدون عزم مغناطيسي وهي على سبيل المثال أيونات عناصر مجموعة الحديد والعناصر الأرضية. ففي المحاليل وفي مركبات الهيدرات المتبلرة تكون الإلكترونات بعيدة عن بعضها بحيث أن التأثير المتبادل بينها يمكن إهماله وهذا شرط ضروري للبارامغناطيسية وتتفق النتائج التجريبية لهذه المركبات اتفاقاً ملحوظاً مع النظرية .

(٣) بارامغناطيسية الغاز الإلكتروني :

تبعاً للعلاقة (٥١) ، (٥٩) تتناسب قابلية التماغنط البارامغناطيسية تناسباً عكسياً مع درجة الحرارة المطلقة. ومع ذلك تم اكتشاف بعض الفلزات لا تتوقف فيها البارامغناطيسية على درجة الحرارة. وأوضح باولي Pauli أن هذا يرجع إلى بارامغناطيسية الإلكترونات الحرة التي تكون الغاز الإلكتروني.

ويوضح الشكل (١٣ أ) نطاق التوصيل في فلز ويكون الرسم التخطيطي لها على هيئة نصفى نطاق يحتويان على الإلكترونات كمية التحرك المغزلى لها متضادتان $\mu_S = \mu_B$ وعندما تكون $H = 0$ يكون عدد الإلكترونات فى النصف الأول مساوياً عدد الإلكترونات فى النصف الثانى ويكون العزم المغناطيسى الكلى للغاز الإلكتروني مساوياً الصفر. وعندما يؤثر المجال H يكتسب كل إلكترون فى النصف الأيسر لنطاق الطاقة مقدارا من الطاقة $U_m = -\mu_0 \mu_3 H$



الشكل (١٣)

ويكتسب كل إلكترون في النصف الأيمن كمية إضافية من الطاقة مقدارها $U_m = \mu_0 \mu_B H$ وتظهر النتيجة على هيئة اختلاف بين شبيهى منسوبى فيرمى $E_F - E_F = 2\mu_0 \mu_B H$ ، الشكل (١٣ ب)

للإلكترونات فى نصفى النطاق الأيمن والأيسر ، ويترتب على ذلك انتقال بعض الإلكترونات من النصف الأيمن للنطاق إلى الجزء الأيسر الشكل (١٣ ج). ونظرا لأن جميع المناسيب الداخلية مشغولة فإن الإلكترونات التى لها حركة مغزلية التى يمكن أن تريد تكون هى التى تشغل مناسيب الطاقة فى المنطقة التى تكون فيها دالة التوزيع شدته والتى توجد فيها مناسيب خالية . عدد هذه الإلكترونات هو :

حيث n تركيز الإلكترونات فى الغاز الإلكترونى ومن هذا العدد نجد أن $\Delta n = C e^{(-\mu_0 \mu_B H / K_B T)}$ هو عدد الإلكترونات التى يتم توجيهه عزومها المغناطيسية فى اتجاه H $e^{(\mu_0 \mu_B H / K_B T)}$ عكس اتجاه H (C مقدار ثابت) ويكون العزم المغناطيسى لكل وحدة حجوم نتيجة لهذه العملية هو :

$$J_{mc} = (\Delta n' - \Delta n'') \mu_B = C \mu_B (e^{\beta} - e^{-\beta})$$

$$\beta =$$

حيث :

$$\mu_0 \mu_B H / K_B T$$

ونظراً لأن:

$$C = \Delta n (e^B + e^{-B})^{-1} \text{ فإن } \Delta n = \Delta n' + \Delta n'' = C (e^B + e^{-B})$$

وبالتعويض بهذه القيمة في العلاقة المعبرة عن: J_{me} نجد أن:

$$J_{me} = \Delta n \mu_B \frac{e^B - e^{-B}}{e^B + e^{-B}} = \Delta n \mu_B \tanh \beta$$

وعندما تكون $\beta \gg 1$ ، يكون ، $J_{me} = \Delta n \mu_B \mu_0 H / K_B T$ ، $\tanh \beta \approx \beta$

وبالتعويض عن Δn من (٦١) نحصل على:

$$(٦٢) \quad J_{me} \approx n \frac{\mu^2 B}{E_F} \mu_0 H$$

والقابلية البارامغناطيسية هي

$$(٦٣) \quad \chi_e \approx n \frac{\mu_0 \mu^2 B}{E_F}$$

وتؤدي الحسابات الدقيقة إلى

$$(٦٤) \quad \chi_e = \frac{3}{2} n \frac{\mu_0 \mu^2 B}{E_F}$$

ومن هنا نرى أن القابلية المغناطيسية للغاز الإلكتروني لا تتوقف على درجة الحرارة وهذا هو ما تمت ملاحظته تجريبياً .

(٤) الوصول إلى درجة حرارة منخفضة باستخدام طريقة إزالة مغنطة عينات باراً مغناطيسية عند ثبوت الحرارة :

لذرات المواد الباراً مغناطيسية عزم مغناطيسي دائم . وفي حالة عدم وجود مجال خارجي نتيجة لحركة الذرات الحرارية تكون اتجاهات عزومها المغناطيسية عشوائية ودرجة الفوضى تقاس بما يسمى الانتروبيا S وتعرف هنا بالانتروبيا المغناطيسية S_M وتمشياً مع مبدأ بولتزمان

$$(٦٥) \quad S_M = K_B \ln W_M$$

حيث W_m الاحتمال الترمو دينامي ، ويساوي في هذه الحالة عدد الطرق التي يتم بها توزيع عدد n ذرة لعينة باراً مغناطيسية على $2J + 1$ تحت منسوب حيث ينشق كل منسوب ذري في المجال المغناطيسي وقيمته :

$$(٦٦) \quad W_M = (2J + 1)^n$$

وبالتعويض من (٥) في (٦٥) نحصل على

$$(٦٧) \quad S_M = K_B \ln (2J + 1)$$

وعندما يؤثر مجال مغناطيسي متزايد ، يتم توجيه المزيد من عدد العزوم المغناطيسية في اتجاه المجال ، ونتيجة لذلك تقل الانتروبيا المغناطيسية وعندما نصل إلى حالة التشبع المغناطيسي يبلغ ترتيب العزوم المغناطيسية اكبر قيمة له وتنتلشي S_M .

لذلك فإن عملية شدة التمغنط عينه باراً مغناطيسية إلى درجة التشبع تكون مصحوبة بانخفاض الانتروبيا لها بمقدار .

$$(٦٨) \quad \Delta S = S_M = K_B n \ln (2J + 1)$$

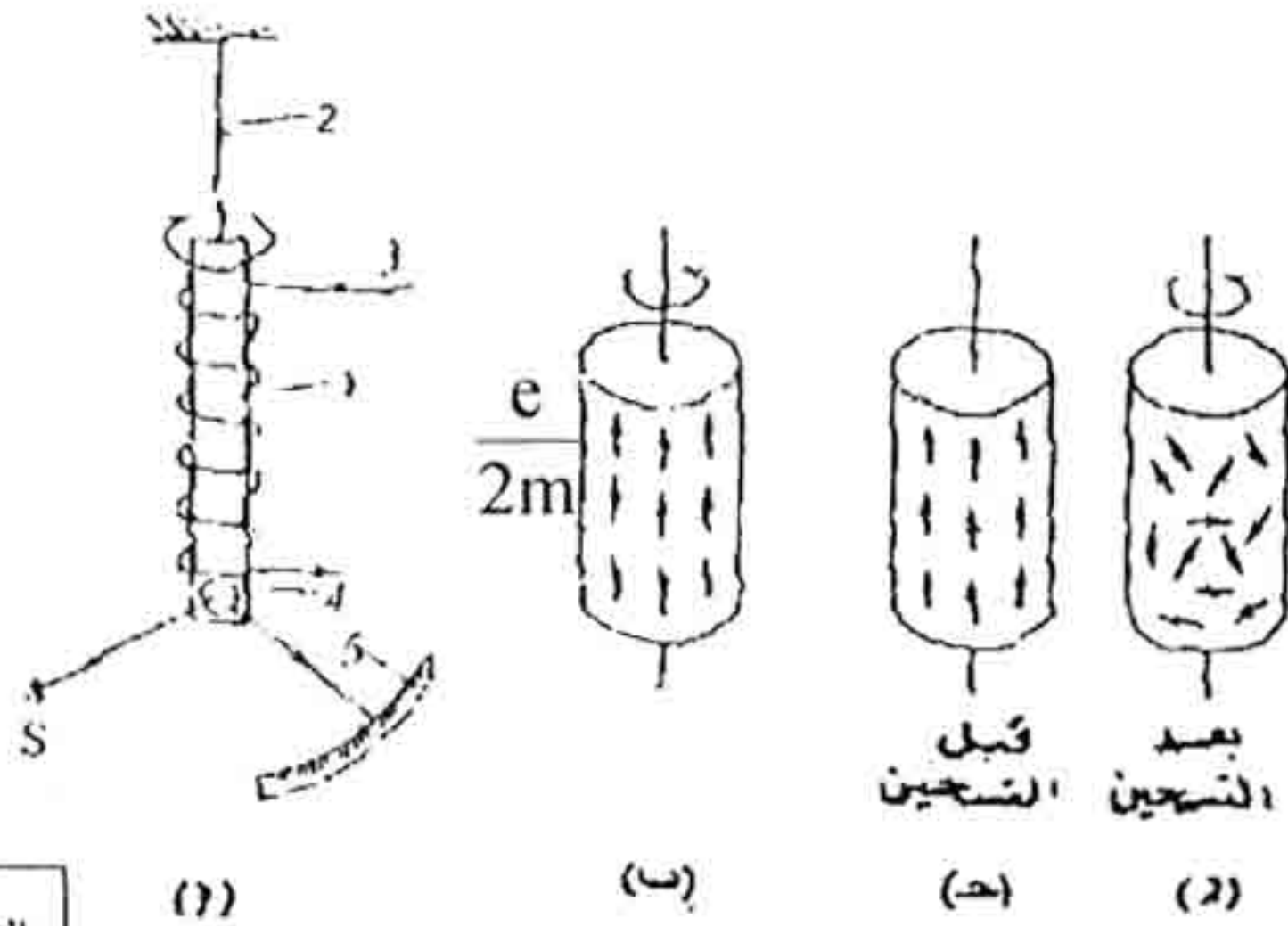
وإذا تمت شدة التمعنط عند درجة حرارة ثابتة T فإن انخفاضاً في قيمة S بمقدار ΔS يظهر في توليد كمية من الحرارة مقدارها ΔQ $\Delta S = T$ تنتقل هذه الكمية من الحرارة من العينة إلى الوسط المحيط وهو عادة هيليوم سائل وبعد الوصول إلى حالة الاتزان يزال الهيليوم وتعزل العينة حرارياً في مثل هذه الظروف فإنها تفقد مغنطتها ببطء عند ثبوت الحرارة وترتفع في نفس الوقت الانتروبيا لها بمقدار ΔS وتتطلب الزيادة في الانتروبيا حرارة تستمدّها العينة من الاهتزازات الحرارية للشبيكة نظراً لأن العينة معزولة حرارياً عن الوسط المحيط وبسبب ذلك تنخفض درجة حرارتها. وباستخدام هذه الطريقة يكون من الممكن الحصول على درجات حرارة أقل من 0.001 كلفن .

(٤-٦) نشأ الحديد ومغناطيسية :

(١) الحاملات الأولية في الحديد ومغناطيسية :

يكون للجسم الممغنط عزم مغناطيسي M يتكون من عزوم مغناطيسية ذرية ذات اتجاه منتظم ولها كمية تحرك زاوية P تتكون من كمية تحرك زاوية ذرية ذات اتجاه منتظم. وتبعاً للعلاقين (١٧) ، (١٨) تكون النسبة M/P مساوية إذا كانت شدة التمعنط بسبب عزوم الحركة المغزلية .

وتم اكتشاف ظهور العزم المغناطيس في عملية التمعنط بواسطة أينشتين دي هس Einstein – de Hus وتعرف هذه الظاهرة باسم ظاهرة أينشتين – دي هس. في تلك التجارب يعلق



الشكل (١٤)

قضيب صغير من الحديد رقم (١) بواسطة خيط رفيع مرن (٢) ويوضع داخل ملف لولبي (٣) الشكل (١٤ أ) .

وأثناء عملية التمهيط يدور القضيب ويحدث التواء في الخيط . اتجاه دوران القضيب يتغير مع تغير اتجاه المغنطة وتقاس زاوية الدوران بالاستعانة المرآة (٤) المثبتة على القضيب التي تعكس حزمه ضوئية على التدريج (٥) وتجعل التجربة من الممكن تعيين كل من

$$B, M \text{ وإيجاد النسبة الجيرو مغناطيسية } \gamma = M/P$$

ولقد قام بارمت Barmitt بتجربة معاكسة لتجربة أينشتاين

دي هس : فقد لاحظ تمغنط قضيب من الحديد يدور بسرعة مثل هذه المغنطة ترجع إلى جعل الإلكترونات (يمكن النظر إليها كلعبة الأطفال المعروفة باسم النحلة أو الدور يكون لها كميات تحرك زاوية) كي ترتب محاور دورانها (الحركة المغزلية) في اتجاه محور دوران الجسم ، الشكل (ب) وفي تجربة أخرى أجراها أيوفى وكاتبزا Ioffe and kapitza اللذان قاما بتسخين قضيب ممغنط إلى درجة الحرارة فوق نقطة كيوري قبل التسخين كانت اتجاهات الحركة

المغزلية للإلكترونات مرتبة ، الشكل (٤ ا ج) ولا تساوى كمية التحرك الزاوية الكلية الصفر . وعند تسخينها فوق نقطة كيورى فإن اتجاهات الحركة المغزلية للإلكترونات تغير من توجيهها لتصبح مشوشة ، الشكل (٤ د) وعندئذ يصبح كمية التحرك الزاوى لا مساوية الصفر وبسبب ذلك يكون للقضيب الذى فقد منغظته ككل كمية تحرك دورانيه يمكن قيامها تجريبياً إضافة إلى ذلك فإن قياس العزم المغناطيس للقضيب الممغنط يمكن حساب النسبة الجيرومغناطيسية .

$$\gamma = \frac{M}{P}$$

وأوضحت التجارب أن النسبة عدد مغناطيسية للمواد الحديد ومغناطيسية هي $\frac{M}{P} = \frac{e}{m}$ - أى تساوى النسبة الجيرومغناطيسية للعزوم الذاتية للإلكترون . وهذا يبرهن أن الحديدو مغناطيسية ترجع إلى العزوم المدارية للإلكترونات بل ترجع إلى العزوم المغناطيسية للحركة المغزلية لها وهو ما يتوافق مع التركيب الإلكتروني لذرات العناصر التى لها خاصية الحديدو مغناطيسية ونظراً لأن العزوم المغناطيسية للأغلفة (أو المدارات) المقفلة تساوى الصفر ونظراً لأن إلكترونات التكافؤ الخارجية تتراكم فى عملية تكون الحالة الفلزية فإن الحديدو مغناطيسية يجب أن تكون خاصية للعناصر الانتقالية التى لها أغلفة داخلية غير مكتملة وتشتمل تلك العناصر على الفلزات الانتقالية لمجموعة الحديد التى لا تكتمل فيها الأغلفة 3d كما تشتمل على العناصر الأرضية النادرة التى لا تكتمل فيها الأغلفة 4f K من ناحية أخرى نظراً لأن العزوم المغناطيسية المدارية للغلاف 3d تتجمد فى مواضعها يمكن إهمال دورها فى الخصائص

المغناطيسية ويمكن أن ترجع الحديدو مغناطيسية إلى العناصر التي تنتمى لتلك المجموعات إلى عزوم الحركة المغزلية الذرية . وهي كبيرة بدرجة كافية (الجدول) وأول من قدم هذا الغرض هو روزنج Pozling ولقد استثمر بييرفايس Pierre Weiss الذى افترض بدوره وجود مجال جزئى قوى H فى المادة الحديد ومغناطيسية يتناسب مع شدة التمغنط المشبعة J_s

$$H = \lambda J_s \quad (٦٩)$$

حيث λ هى ثابت المجال الجزيئى. ويكون هذا المجال مسئولاً عن المغنطة التلقائية للمواد الحديدو مغناطيسية .

وإدخال المجال الجزيئى جعل من الممكن تفسير مدى واسع من الظواهر التى يمكن ملاحظتها فى الحديدو مغناطيسية ومع ذلك ظلت طبيعة المجال نفسه سراً غامضاً لمدة طويلة فقد تم أول الأمر افتراض ان منشأ القوة التى تعمل على توجيه عزوم كمية التحرك الزاوية هى ذات طبيعة مغناطيسية نقية وتظهر نتيجة للتأثير المتبادل المعتاد بين عزوم كمية التحرك الزاوى المغناطيسية طاقة هذا التأثير المتبادل $\mu M \approx \mu^2 B / a^3$ حيث a المسافة بين الذرية فى الشبكة للمادة الحديدو مغناطيسية .

وبالتعويض عن $\mu B = 9.27 \times 10^{-24}$, $a = 10^{-10}$ متر نحصل على $\mu M = 10^{-23}$ جول وهى أقل من تلك الطاقة الحرارية لشبكة ذرية عند درجة الحرارة التى تحدث اضطراباً فى ترتيب الحركة المغزلية ويترتب على ذلك أن التأثير المتبادل المغناطيسى للحركة المغزلية يكون غير قادر على التأثير على التوجيه المتوازي للحديد

مغناطيسية عند درجات حرارة أقل من نقطة كيورى وهذا يؤكد أن
 ينشأ العزم الجزئى الذى يؤثر على مثل هذا التوجيه المتوازى للحركة
 المغزلية غير مغناطيسى هذا لاستنتاج تحت تأكيده بتجارب مباشرة قام
 بها دور فمان Dorfman

(٢) دور التفاعل التبادلى فى الحديدو مغناطيسية:

افترض فرنكل Frenkle أن منشأ القوى المسؤولة عن
 التوجيه المتبادل المحدد للعزوم الذرية المغناطيسية هو منشأ
 الكتروستاتيكي فهي نتيجة للتفاعل التبادلى للإلكترونات الأغلفة الذرية
 الداخلية غير المكتملة ويتضمن التفاعل التبادلى تغيراً فى طاقة النظام
 ويمكن أن نرى هذا بسهولة فى عينة من نظام بسيط يتكون من ذرتى
 هيدروجين وطاقة مثل هذا النظام هي

$$(٧٠) \quad U = 2E_0 + \frac{K \pm A}{1 \pm S^2}$$

حيث E_0 هي طاقة ذرتى الهيدروجين التى لا يوجد بينها تأثير متبادل
 و K هي طاقة التأثير المتبادل للشحنات الكهربائية المكونة للذرات
 تبعاً لقانون كولوم S التكامل المتشابك الذى تقع قيمته فى المدى $1, a$
 $0 \leq S \leq 1$ هي طاقة التبادل ،

وتوضح الحسابات أن a يمكن التعبد عنها بالعلاقة

$$(٧١) \quad A = -J (S_1 \cdot S_2)$$

حيث S_i, S_g هما الحركة المغزلية الكلية للذرات المتفاعلة و J
 هي (وتتخذ طاقة التبادل مقياساً لاحتمال انتقال الإلكترون (١) إلى

الذرة B وانتقال الإلكترون (٢) إلى الذرة A ارجع إلى الرابطة التساهمية . وفي حالة ذرتي الهيدروجين المتفاعلتين يكون:

$$(٧٢) J = \left(\frac{e^2}{r} + \frac{e^2}{r_{12}} - \frac{e^2}{r_{b1}} - \frac{e^2}{r_{a2}} \right) \psi_a(1) \psi_b(2) \psi_a(2) \psi_b(1) dV_1 dV_2$$

حيث $\frac{e^2}{r}$ ، $\frac{e^2}{r_{12}}$ هما طاقتا التفاعل بين النواتين نفسيهما وبين الإلكترونين نفسيهما على الترتيب و $\frac{e^2}{r_{a1}}$ ، $\frac{e^2}{r_{a2}}$ هما طاقتا

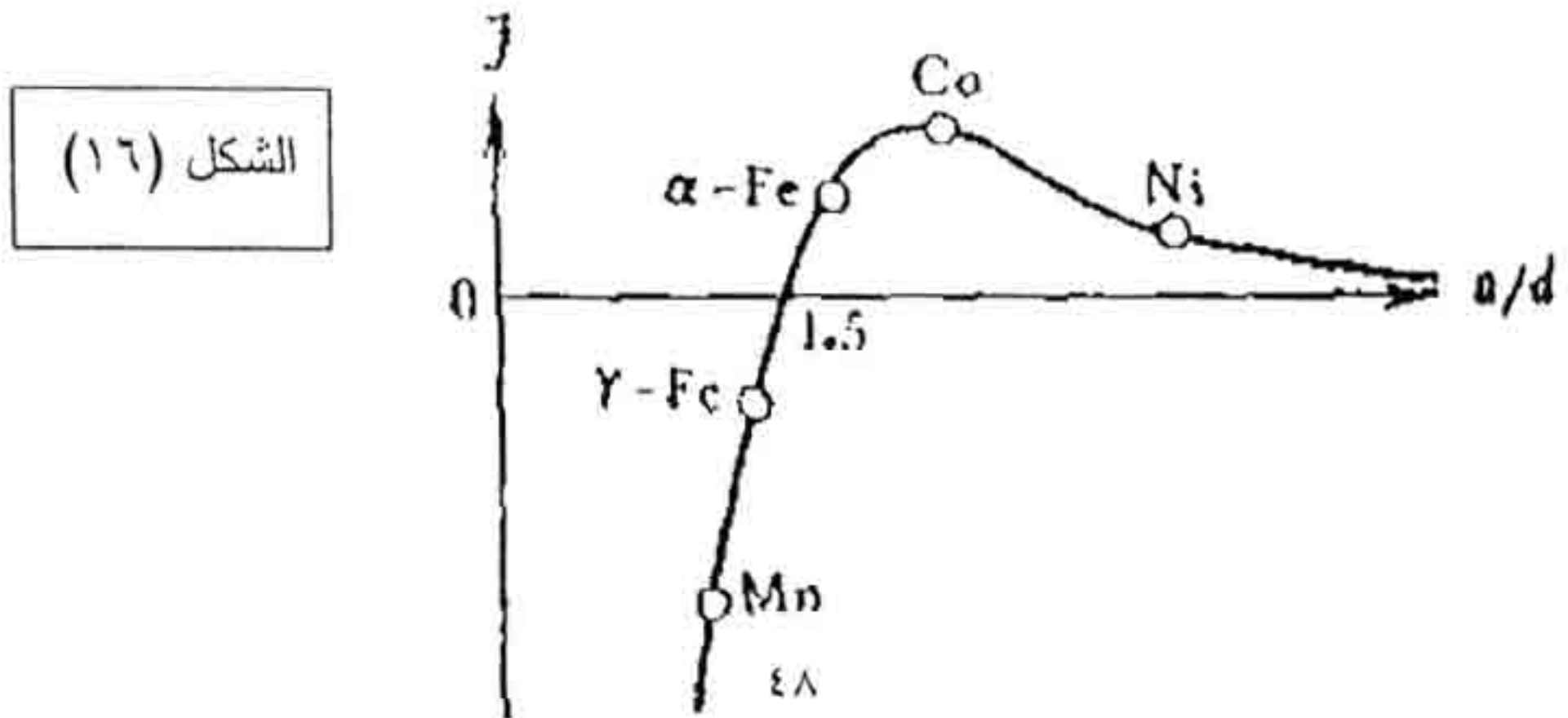
التجاذب بين الإلكترون (١) والنواة B والإلكترون (2) والنواة (a) و ψ_a ، ψ_b^2 هي الدالتان الموجبتان اللتان تصفان حركة الإلكترونية (١) و (٢) حول النواتين a ، b على الترتيب ، ψ_{a2} عند ψ_{a1} هي الدالتان الموجبتان اللتان تصفان احتمالا ان يكون للإلكترونات 1 ، 2 قريبين من النواتين a ، b على الترتيب ، إلى احتمال تبادل الذرتين A ، B لتبادل للإلكترونات dV_1 ، dV_2 هي حجما العنصرين .

ومن المعادلة (٧٢) ننتبين أن الحدين الموجب والسالب يدخلان في طاقة التبادل. لهذا تكون إشارة طاقة التبادل أما موجبة أو سالبة. يتعين هذا من الجزء الذى يلعبه الحدان الموجب والسالب في طاقة التبادل التى تتوقف بدورها على علاقة أبعاد أغلفة الإلكترون اللذان يكونان الرابطة التبادلية كما يتوقفان على المسافة بين الذرية وتعين إشارة طاقة التبادل أى الاتجاهات الحركة المغزلية المشاركة الرابطة التبادلية - الموازية أو المتوازية المعاكسة.

ومن المعادلة (٧١) ننتبين أن إشارة طاقة التبادل تكون سالبة ($J < 0$) تكون طاقة التبادل A سالبة وبالتالي تكون

طاقة النظام أقل من $2E_0$ للذرتين المنفردتين [ارجع للمعادلة (٧٠)] إذا كان S_i , S_j للإلكترونات المشاركة في الرابطة التبادلية يكونان في اتجاه موازى معاكس $\downarrow \uparrow$ S_i وهذه تناظر تكوين رابطة كيميائية بين الذرتين وتكوين جزيء. وكما سنتبين فيما يلى يعد هذا شرطاً أساسياً للحديدو مغناطيسية المضادة فعندما تكون إشارة طاقة التبادل موجبة ($J > 0$) فإن طاقة التبادل A ستكون سالبة وستكون طاقة النظام ككل أقل عن طاقة الذرات المستقلة إذا كانت S_i , S_j المشار كما فى الطاقة التبادلية متوازيين $\downarrow \downarrow$ S_i لذلك فإن التوجيه المتوازى لمغازل الذرات المتجاورة يمكن أن يكون ميزه من وجهة نظر الطاقة إذا كانت طاقة التبادل سالبة وهذا هو الشرط الضرورى للحديدو مغناطيسية نظراً لأن الترتيب المتوازى للمغازل وبالتالي لعزوم المغازل المغناطيسية يظهر فى مغنطة تلقائية وهذه إحدى خواص الحديد ومغناطيسية [ارجع للشكل (١٥)]

يوضح الشكل (١٦) علاقة طاقة التبادل J على النسبة بين ثابت الشبكة a والقطر d لغلاف $3d$ لذرات الفلزات الانتقالية لمجموعة الحديد ويتضح من الشكل (١٦) أنه عند a/d أكبر من 1.5 تكون طاقة التبادل موجبة وعند a/d أصغر من 1.5 تصبح



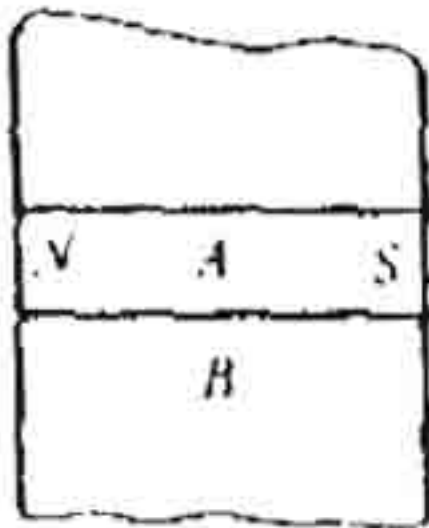
سالبة ، تزداد قيمتها المطلقة مع النقص في a/d وعندئذ نتبين أن جميع الفلزات الانتقالية فقط الحديد والكوبلت والنيكل مواد حديدو مغناطيسية بينما يكون المنجنيز وغيره من عناصر المجموعة التي تميز بأن a/d لها أصغر من 1.5 حديدو مغناطيسية. ولو تمكنا من زيادة النسبة a/d للمنجنيز حتى تقترب من 1.5 بزيادة ثابت الشبكة له نتوقع أن يصبح المنجنيز مادة حديدو مغناطيسي. وتدعم التجارب وجهة النظر هذه ، فعلى سبيل المثال : عندما تتضمن شبكة المنجنيز كميات صغيرة من النيتروجين يزداد ثابت الشبكة يصاحب هذا ظهور الحديد ومغناطيسية وتظهر الخصائص الحديدو المغناطيسية في سبائك Al, Cu, Mn (سبائك هويسلر) Heusler alloys وفي المركبات $MnBi, MnSb$ والتي تكون فيها المسافات بين ذرات المنجنيز أكبر من نظيرتها في بلورات المنجنيز النقية. لذلك فإن الظروف الضرورية الملائمة للحديدو مغناطيسية تتمثل في وجود الأغلفة الذرية الداخلية غير المتكاملة والإشارة الموجبة لطاقة التبادل التي ينشأ عنها التوجيه المتوازي للمغازل .

٣ - التركيب النطاقي للمواد الحديد ومغناطيسية

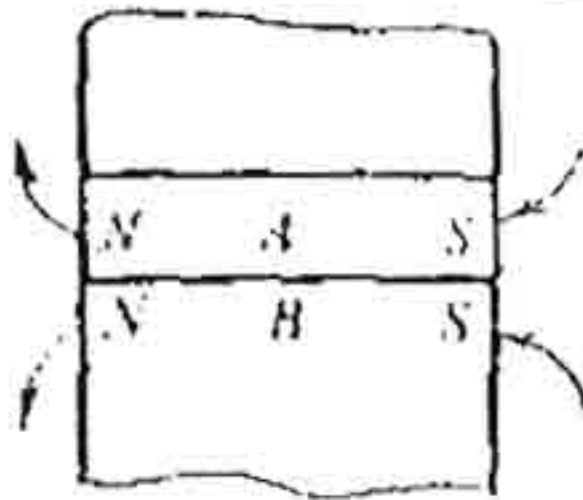
Domain structure of ferramagnetic substonces

إذا عزلنا منطقة A داخل بلورة حديد ومغناطيسية الشكل (١٧) وافترضنا أن قوة تبادلية تظهر توجيهها متوازيًا للمغازل لجميع

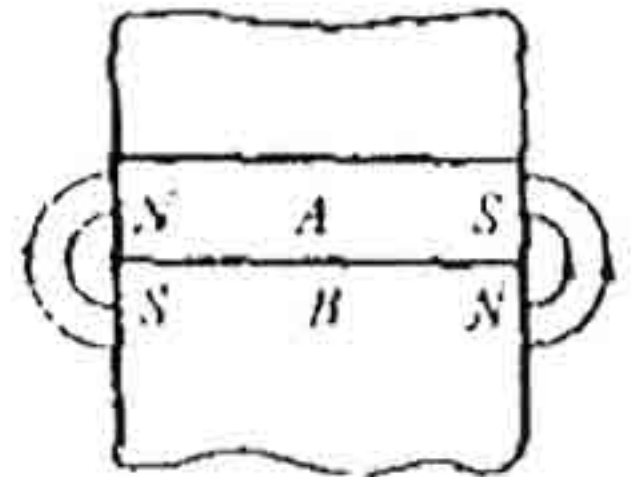
الشكل (١٧)



(أ)



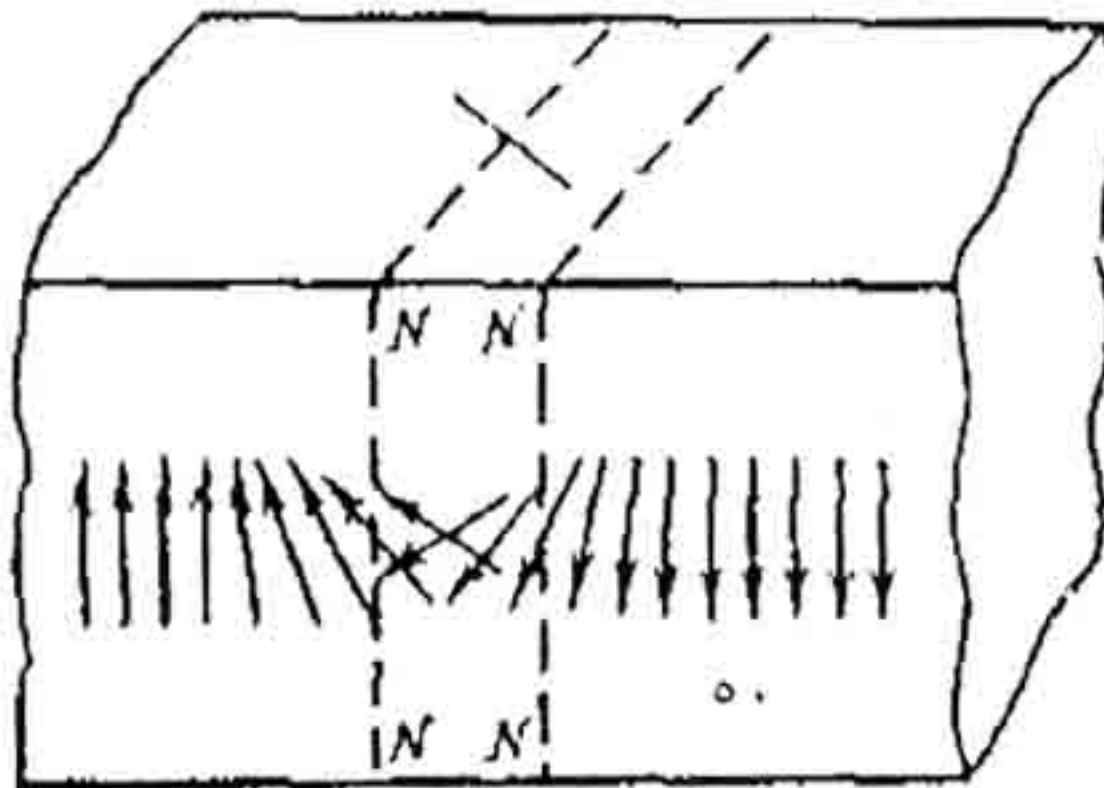
(ب)



(ج)

إلكترونات الأغلفة الذرية الغير مكتملة كما فى الشكل (١٥) يمكن مغنطة المنطقة A إلى درجة التشبع. وإذا افترضنا المغازل فى المنطقة B التى تقع تحت المنطقة A يكون لها نفس الاتجاه كما فى A عندئذ يوجد مغناطيسا بأقطاب مغناطيسية متماثلة ومتقابلة الشكل (١٧ب) مثل هذه الحالة تكون غير مستقرة نظراً لأنها تتميز بأقصى طاقة للتفاعل المغناطيسى. فالحالة المستقرة هى تلك التى تكون فيها المجالات المغناطيسية فى المتلامسة متصلة مع بعضها أى حالة تكون فيها مغنطة المناطق المتجاورة فى البلورة متضادة الشكل (١٧ج) وتوضح الحسابات أنه متى ظل اتساع المنطقة A لا يتجاوز عدة مسافات بين ذرية يكون العامل السائد هو العامل الأول الذى يتمثل تأثيره فى مغنطة طبقات المنطقة B المجاورة للطبقة A فى نفس الاتجاه. كما فى المنطقة A ، ومع زيادة اتساع A تنمو حتى يصبح هو العامل السائد اتساع المنطقة A أهمية العامل الثانى (زيادة طاقة التفاعل المغناطيسى) يصل إلى قيمة حرجه وعندها تتمغنط المنطقة المجاورة B فى الاتجاه المعاكس ويتوقف الاتساع الحرج لمنطقة المغنطة التلقائية على عدة عوامل لكنها عادة لا يتجاوز عدة ميكرومترات .

لهذا فإنه فى حالة عدم وجود مجال خارجى سيتكون عدد كبير





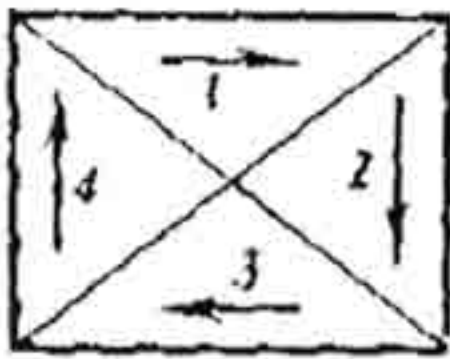
(١)

شكل (١٨)

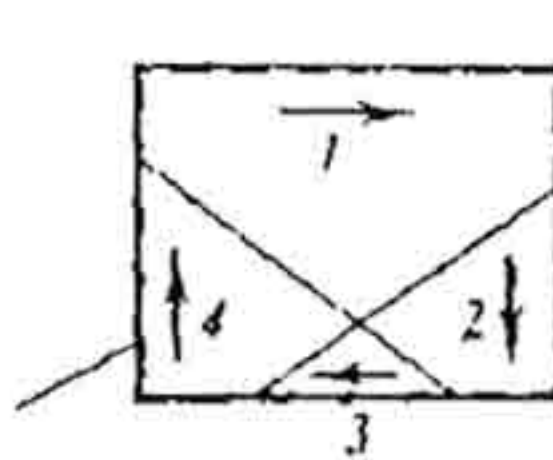


(ب)

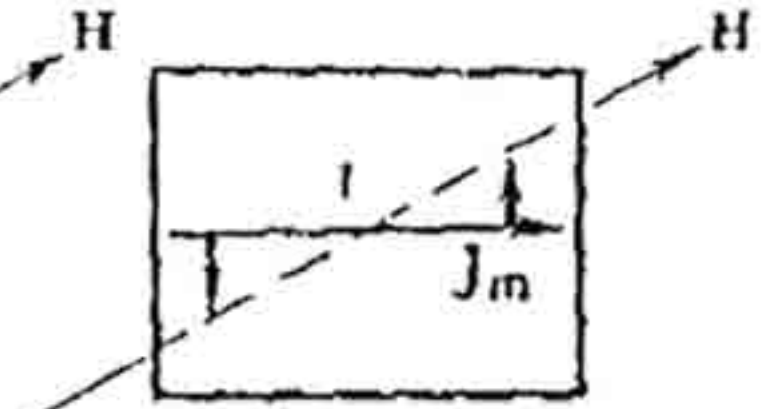
من مناطق منفصلة صغيرة جداً في بلورة حديدو مغناطيسية يمكن أن تتمغنط حتى التشبع هذه المناطق اتخذت اسم مناطق المغنطة التلقائية أو الأنطقة domains وتفصل الأنطقة عن بعضها طبقات يتغير فيها توجيه المغازل من نطاق لآخر ، الشكل (١٨) مثل هذه المناطق الانتقالية بين الأنطقة تسمى حوائط بلوخ Bloch Walls سمكها في الحديد = 1000 انجستروم ويوضح الشكل (١٩) مجموعة أنطقة لمادة حديدو مغناطيسية تم التنبؤ بها نظرياً (الشكل a) كما يتضمن



(١)



(ب)



(ج)

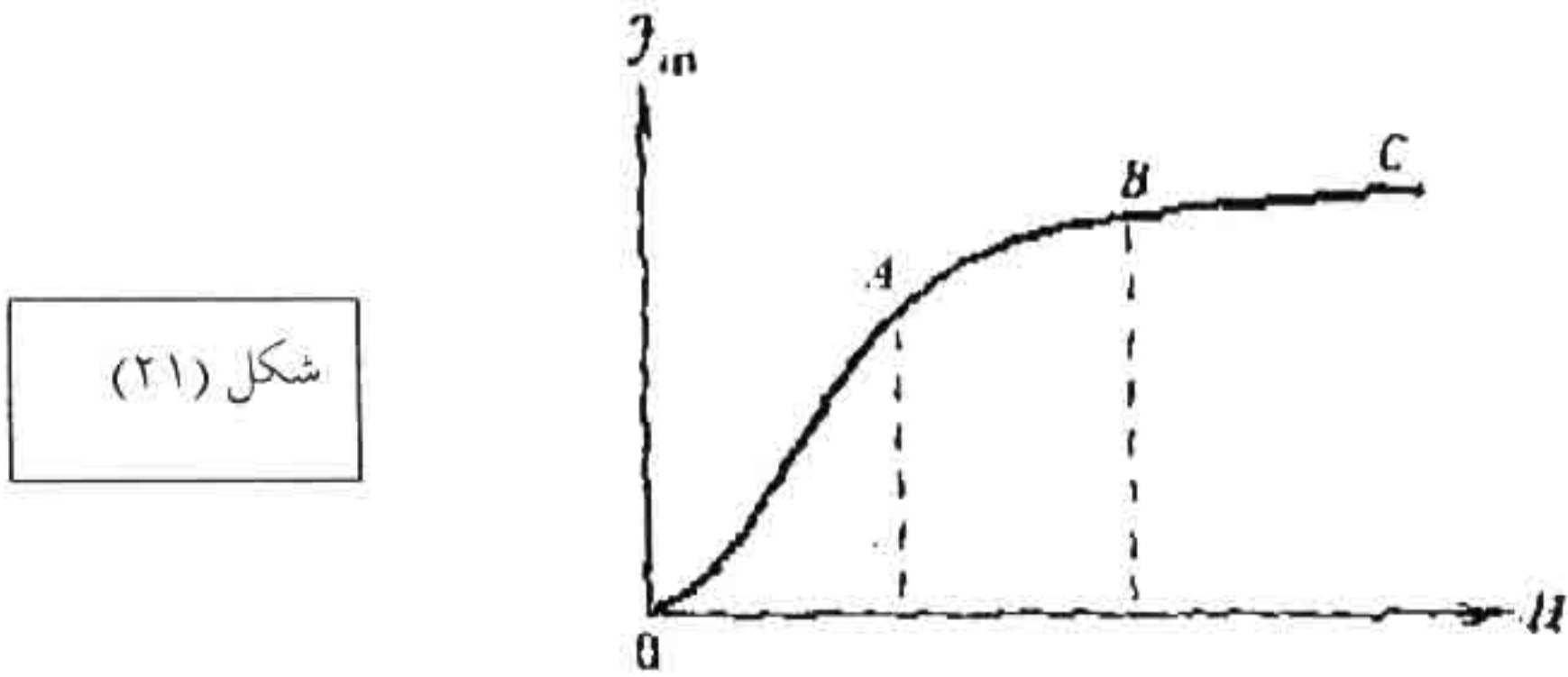
شكل (١٩)

صورة فوتوغرافية لتركيب نطاق لحافة بلورة سيليكون حديدو مغناطيسية الشكل (b) وتوضح الأسهم اتجاهات الأنطقة المتجاورة.

(٤) تحليل منحنى شدة التمكنط :

تحدث المغنطة التلقائية فى اتجاهات المغنطة السهلة وفى حالة عدم وجود مجال خارجى فإن التوجيه المتبادل للأنطقة يكون بحيث ينعلم العزم المغناطيسى الكلى للمادة الحديد ومغناطيسية (الشكل ٢١) نظراً لأنه يناظر النهاية الصغرى للطاقة الحرة للنظام وعندما يؤثر مجال خارجى H تتمغنط المادة الحديدو مغناطيسية ويصبح لعزمها المغناطيسى قيمة وطبيعة الظاهرة الفيزيائية التى تحدث أثناء تمغنط المادة الحديد ومغناطيسية يمكن تقسيمها إلى ثلاث :

(أ) إزاحة حدود المناطق :



شكل (٢١)

ضع بلورة كما الموضحة فى الشكل (٢١ أ) فى مجال مغناطيسى H اتجاهات متجه شدة التمغنط J_m للمناطق المختلفة بالنسبة إلى H لا تكون متماثلة: J_m للنطاق الأول يصنع زاوية صغيرة مع H بينما تكون الزاوية أكبر فى حالة النطاق الثالث وعندما يزداد H تصبح ميزة من وجهة نظر الطاقة حيث ينمو

التوجيه المفضل للنطاق (I) على حساب المناطق (2)(3) (4) الشكل (٢١ ب) وتكون آلية هذا النمو ممثلة في إزاحة حدود الأنطقة ولهذا السبب فإن المرحلة الأولى للمغنطة تسمى عملية الإزاحة تستمر إزاحة الحدود حتى ينتشر النطاق الأول خلال كل البلورة ويوضح الشكل (٢١) منحنى شدة التمغنط لبلورة أحادية الجزء OA من المنحنى يمثل عملية الإزاحة، وفي مجال مغناطيسي تتغير شدة التمغنط تدريجياً وتكون قابلة للعكس في المجالات القوية تتميز شدة التمغنط بالتغيرات المفاجئة وهي عملية قابلة للعكس تؤدي إلى ظاهر بارك هوزن Park Hausen .

(ب) الدوران

عندما يزداد H أكثر من ذلك تبدأ شدة التمغنط التلقائية JM في الدوران نحو المجال الشغل (٢٠ ج) وتتغير شدة التمغنط الآن بمعدل أصغر عما كانت عليه في المنطقة الأولى وتنتهي عندما ينطبق JM مع المجال في هذه المرحلة تصل شدة التمغنط إلى حد التشبع التقني الشكل (٢١ القطاع AB)

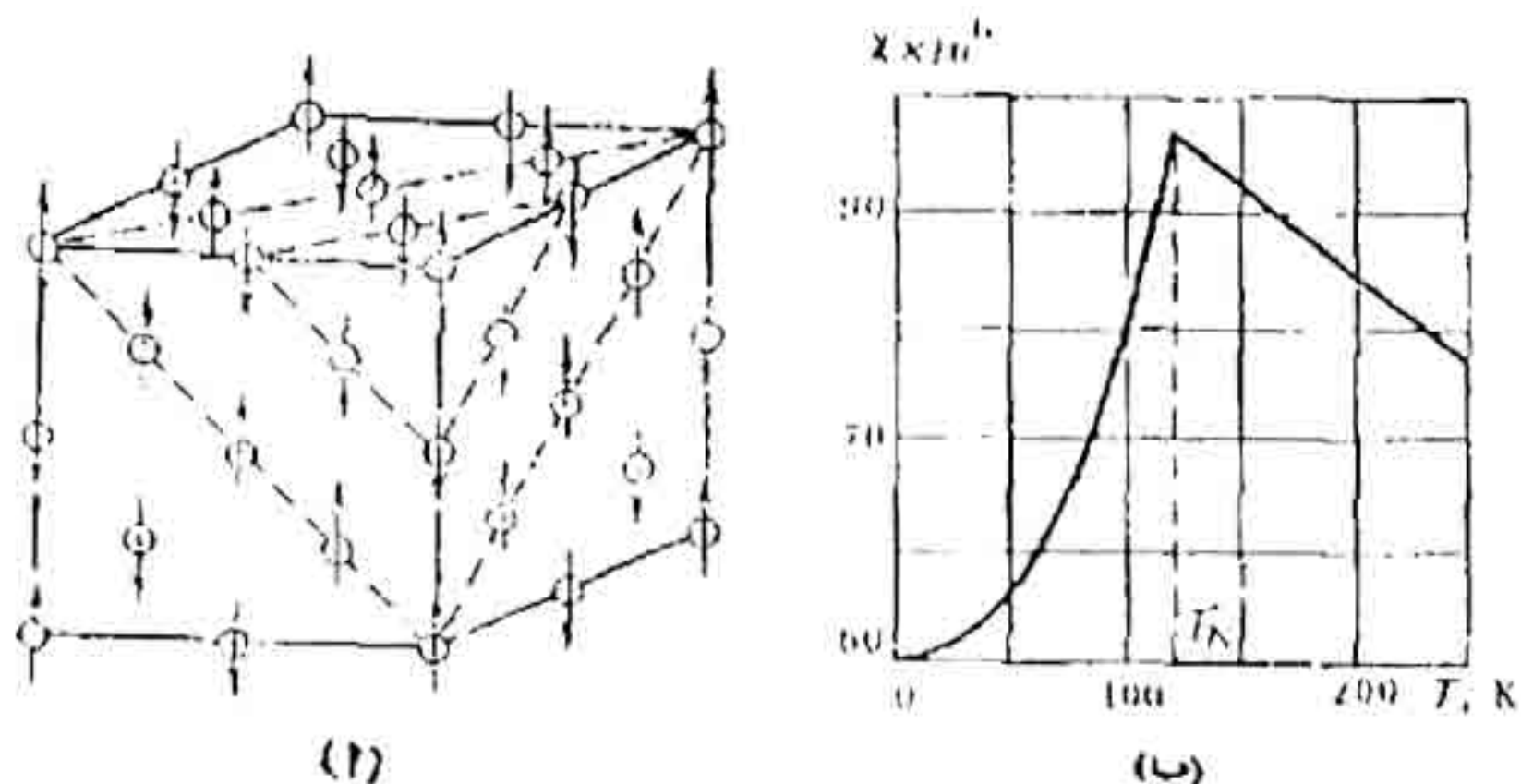
(ج) عملية التوازي Para process

بعد الوصول إلى حالة التشبع التقني فإن شدة التمغنط تستمر في النمو مع زيادة H ولكن بمعدل صغير جداً يفسر هذا بأنه عند أى درجة حرارة خلاف الصفر المطلق لا يتم توجيه كل المغازل مناطق المغنطة التلقائية بحيث توازي بعضها بعضاً فبسبب الحركة

الحرارية للذرات يكون توجيه بعض المغازل في اتجاهات متوازية متضادة ويؤثر المجال المغناطيسي القوى على توجيهات هذه المغازل وإعادة توجيه المغازل المناظرة لعملية التوازي يمثلها القطاع BC

(٧-١) الحديد ومغناطيسية المضادة :

تبيننا في الفقرة السابقة أنه عندما تكون طاقة التفاضل سالبة فإن التوجيه المفضل للمغازل في مواقع الشبكة المجاورة هي حالة التوازي المضاد وفي هذه الحالة يمكن أن يصبح ترتيب المغازل ترتيباً منتظماً لكنه لا يوجد مغنطة تلقائية لأن عزوم المغازل المواقع الشبكة لمجاورة تكون في حالة توازي مضاد ويعادل بعضها البعض ويوضح التركيب المغناطيسي لا يمكن المنجنيز MnO الذي تم تعيينه



شكل (٢٢)

بالاستعانة بالطيف النيوتروني (الذرات الموضح في الشكل هي فقط ذرات المنجنيز النشطة مغناطيسياً) ويمكن النظر إلى التركيب كتركيب مركب يتكون من تحت شبكتين ممغنطتين في اتجاهين متعاكستين ويمكن أن يوجد مثل هذا التركيب فقط تحت درجة حرارة معينة تسمى نقطة كيوري للحديد مغناطيسية المضادة أو نيل $neel$ وعند الصفر

المطلق تتعادل العزوم المغناطيسية لتحت السبائك وينعدم العزم المغناطيسي الكلي في المادة الحديدو مغناطيسية المضادة وبارتفاع درجة الحرارة يحدث اضطراب في ترتيب المغازل المتضادة التوازي وتزداد مغنطة الحديدو مغناطيسية المضادة حيث تصل لنهاية عظمى عند نقطة نيل التي ينعدم عندها الترتيب المرتب للمغازل وتتحول الحديدو مغناطيسية إلى بارا مغناطيسية وباستمرار في رفع درجة الحرارة تقل شدة التـمغنط بنفس الطرق كما في حالة البارامغناطيسية.

ويوضح الشكل (٢٢ب) درجة الحرارة وقابلية التـمغنط لأكسيد

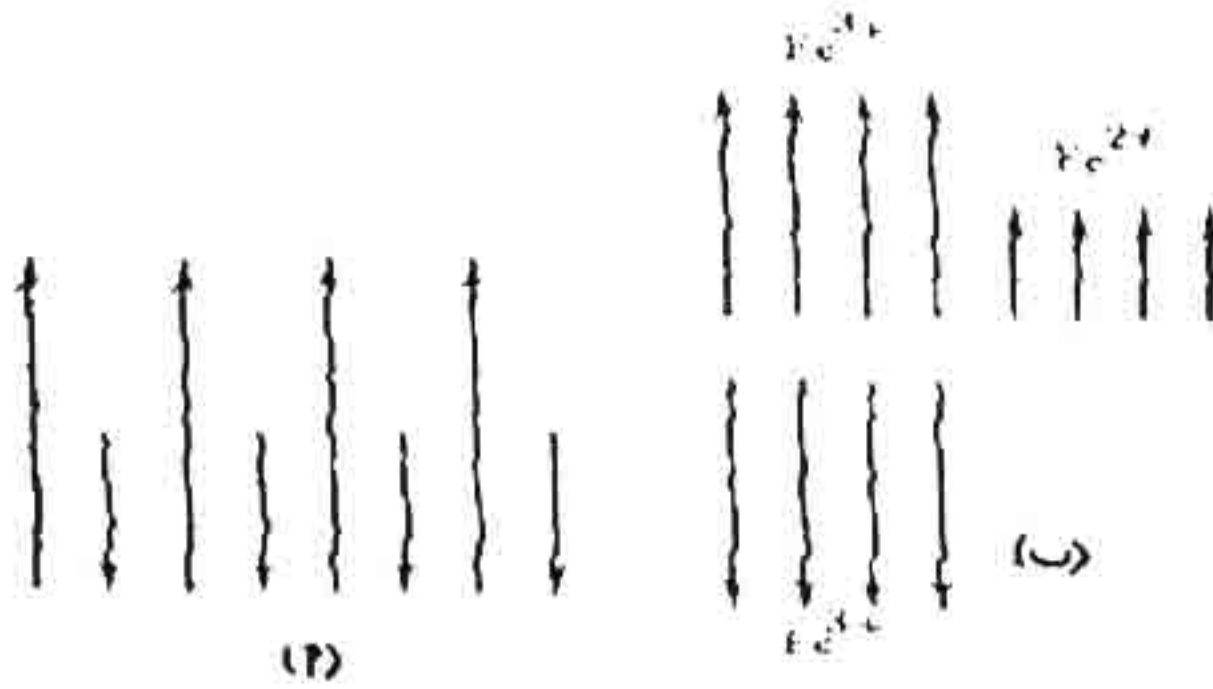
النيتريك (نقط نيل له)

$$T_N = 120K \quad \text{في مجال } H \text{ له} \quad H = 4 \times 15^4 \text{ A/m}$$

(١-٨) المواد الفرومغناطيسية (الغريت)

Ferromagnetic materials (Ferrit)

تكون العزوم المغناطيسية لتحت الشبائك فى المواد الحديدو
مغناطيسية المضادة .متساوية فى المقدار ومضادة فى الاتجاه ونتيجة
لذلك فإنها تتعادل كلية بعضها مع بعض. ومع ذلك توجد بعض
الحالات التى سيكون مقدار العزوم المغناطيسية لتخت الشبائك غير
متساوية تبعاً على سبيل المثال بالفرق فى عدد أو طبيعة الذرات
المكونة تحت الشبكة الشكل (٢٣ أ) يؤدى هذا إلى ظهور فرق
محدد فى العزوم المغناطيسية لتحت الشبائكالذى يؤدى بدوره إلى
شدة تمغنط تلقائية مناسبة للبلورة مثل هذه المواد الحديدو
مغناطيسية المضادة التى تتكافؤ فيها العزوم المغناطيسية فى تحت
الشبائك تسمى المواد الفيرو مغناطيسية أو الفريت .



شكل (٢٣)

والسلوك الخارجى للمادة الفرومغناطيسية يشبه سلوك المواد الحديدومغناطيسية لكن بسبب الاختلاف فى تركيب الداخلى يمكن أن تختلف علاقة درجة الحرارة الشدات التـمـغـنـط التلقائية لها. على سبيل المثال ليس من الضرورى أن تتناقص شدة التـمـغـنـط المادة الفرومغناطيسية تناقصاً رتيباً مع الارتفاع فى درجة الحرارة إذا أنها يمكن أن تمر بالصفر حتى قبل الوصول إلى نقطة نيل للمادة الفرومغناطيسية FeO , Fe_2O_3 يمكن أن تعمل كمثال للمواد الفرومغناطيسية فأيونات الأكسجين السالبة تكون شبيكة مكعبة متمركزة الوجه يوجد بها أيون واحد ثنائى التكافؤ Fe_2O_3 أيونين ثلاثيتين Fe^{+++} لكل جزيء FeO , Fe_2O_3 . أيونات الحديد ثنائية التكافؤ يمكن إحلالها بأيونات ثنائية التكافؤ لفلزات أخرى كالمنجنيز والنيكل والكوبلت و.... إلى آخره وتعرف المعادلات العامة لهذه المواد المعروفة باسم تفترض الشكل $Fe_2O_3 - MeO$ حيث Me تقوم مقام الفلز ثنائى التكافؤ. أحد تحت الشبائك لشبيكة الفريت المركبة يتكون من نصف واحد لأيونات الحديد ثلاثية التكافؤ وتحت الشبيكة الثانى يتكون من النصف الآخر لأيون الحديد الثلاثى وأيونات الحديد ثنائى التكافؤ. أو الفلز الذى حل محله وتكون العزوم المغناطيسية لتحت الشبائك متوازية توازياً متضاداً لهما تتعادل كلية العزوم المغناطيسية لأيونات الحديد الثلاثية وترجع شدة التـمـغـنـط إلى العزوم المغناطيسية لأيونات الفلز ثنائية التكافؤ (٢٣ ب) لعل إحدى الخواص الملحوظة لمركبات

الفريت هي توافق (نفاذية مغناطيسية عالية ، قوة قهرية صغيرة ، مغناطيسية تشبع عالية ،) مع تميزها بأن لها مقاومة نوعية كهربية عالية 10^3 أوم .م وقد أدت هذه الخاصية لمركبات الفريت إلى تطوير الترددات العالية والعالية جداً في مجال الإلكترونيات ومن المعروف جيداً أن المواد الحديدو مغناطيسية التي تكون مقاومتها النوعية صغيرة ($= 10^{-3}$ أوم .م) لا يمكن استخدامها لمثل هذه الترددات بسبب الفقد الناتج عن التيارات الدافية العالية جداً .

وهذا هو السبب الذي يجعل مركبات الفريت تمثل موقعاً مزيدياً في هذا المجال . وفي الفترة الأخيرة أمكن تحضير مركبات فريت ذات قوة قهرية كبيرة وهذه تستخدم في بناء المغناطيسيات الدائمة يمكنها منافسة المغناطيسيات الكهربائية .

وتستخدم مركبات الفريت ذات المنحنى الانشوطي للتخلف المغناطيسي التي يتخذ شكل مستطيل في عناصر التخزين الرقمي في الحاسبات الإلكترونية .

أسئلة

- ١- أ- عرف كلا من شدة التـمـغـنـط - قابلية التـمـغـنـط .
ب- اكتب العلاقات المعبرة عن كل منهما والوحدات التي تستخدم لتقديم كلا منهما .
- ٢- قارن بين المواد الدايا مغناطيسية والمواد البارا مغناطيسية والمواد الحديدو مغناطيسية من حيث قابلية التـمـغـنـط وسلوك هذه المواد إذا وضعت في مجال مغناطيسي وتأثير درجة الحرارة عليها.
- ٣- ارسم العلاقة البيانية بين H , J_m في حالة كل من المواد الدايا مغناطيسية إذا وضعت في مجالات ضعيفة مع تفسير كل من العلاقتين .
- ٤- ارسم العلاقة البيانية بين الحث المغناطيسي وشدة المجال المؤثر ثم العلاقة البيانية بين شدة التـمـغـنـط وشدة المجال المؤثر ثم علاقة قابلية التـمـغـنـط وشدة المجال المؤثر .
- ٥- ما المقصود بتأثير بارك هوزن مع توضيح إجابتك بالرسم ؟
- ٦- ارسم المنحنى الانشوطى للتخلف المغناطيسي مع التعليق على الرسم
- ٧- اذكر قانون كيوري - فيس وناقش من خلاله العوامل التي يتوقف عليها قابلية التـمـغـنـط
- ٨- ما المقصود بمصطلح بالتخصر الحراري ؟

٩- ما المقصود بالعزم المغناطيسى المدارى لذرة وما المقصود

بالنسبة الجيرومغناطيسية واكتب العلاقات المعبرة عن كلا منهما؟

١٠- ما المقصود بالعزم المغناطيسى المغزلى وما هو العزم

المغناطيسى الكلى لذرة معامل لاندى واكتب العلاقة المعبرة عن

كل منهما ؟

١١- كيف يمكنك تصنيف المواد المغناطيسية على أساس الخصائص

المغناطيسى للذرات .

١٢- اكتب نبذة عن منشأ الدايا مغناطيسية

١٣- اشرح النظرية الكلاسيكية التى اقترح لا نجفن للمواد البارا

مغناطيسية

١٤- اشرح الخاصية المغناطيسية للغاز الإلكترونى

١٥- اشرح تجربة اينشتين ودى هاس لمعرفة منشأ الحديد ومغناطيسية

١٦ - قارن بين كلا من المواد الحديد ومغناطيسية المضادة

ومركبات الفيرايت

الباب الثاني

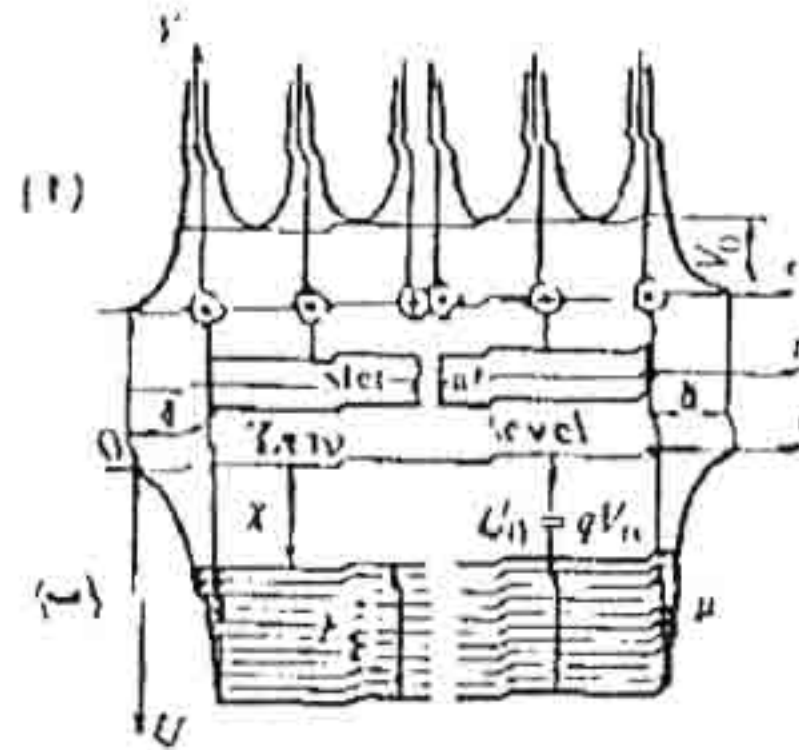
ظواهر التلامس

الباب الثانى ظواهر التلامس Contact Phenomena

(٢-١) دالة الشغل :

(١) مفهوم دالة الشغل :

تبدو الأيونات الموجبة المكونة للشبيكة الفلزية على



الشكل (١)

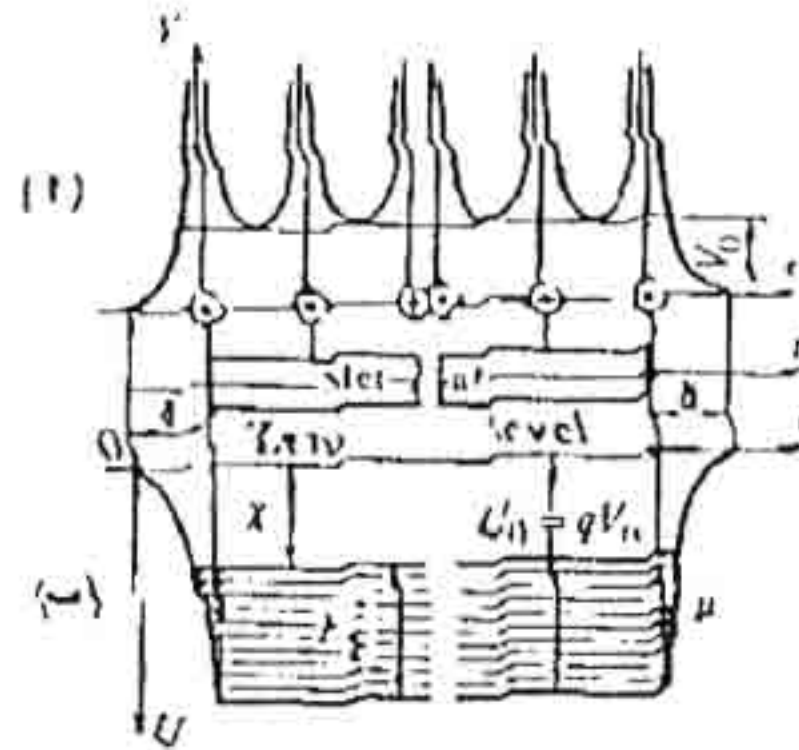
هيئة مجال كهربى جهده موجب ويتغير على طول خط مستقيم يمر بمواضع الشبيكة الشكل (١) وكتقريب أولى يمكن إهمال هذا التغير كما يمكن إعتبار الجهد ثابتاً ويساوى V_0 عند كل نقطة فى الفلز . ويكون للالكترون الحر طاقة جهد سالب $U_0 = -e V_0$ فى هذا المجال (e هى شحنة الالكترون)

الباب الثانى ظواهر التلامس Contact Phenomena

(٢-١) دالة الشغل :

(١) مفهوم دالة الشغل :

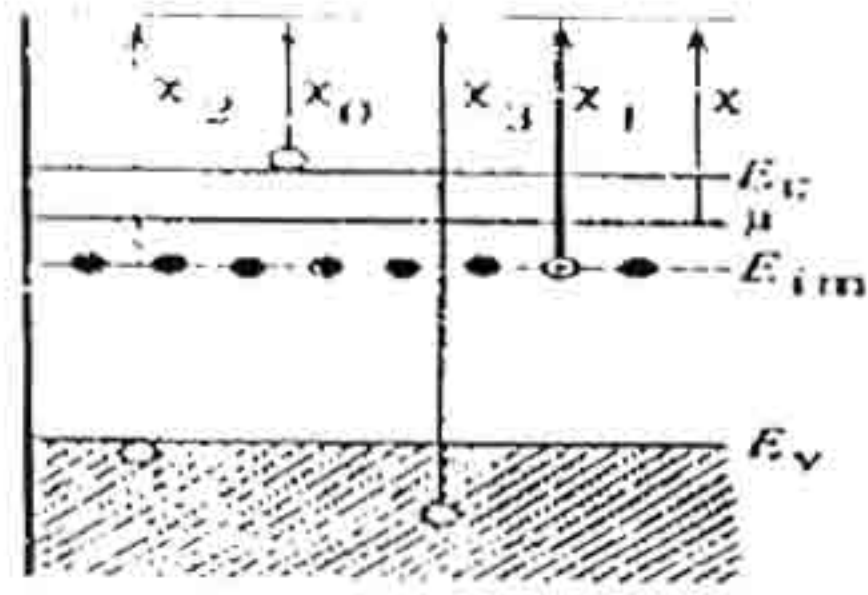
تبدو الأيونات الموجبة المكونة للشبيكة الفلزية على



الشكل (١)

هيئة مجال كهربى جهده موجب ويتغير على طول خط مستقيم يمر بمواضع الشبيكة الشكل (١) وكتقريب أولى يمكن إهمال هذا التغير كما يمكن إعتبار الجهد ثابتاً ويساوى V_0 عند كل نقطة فى الفلز . ويكون للالكترون الحر طاقة جهد سالب $U_0 = -e V_0$ فى هذا المجال (e هى شحنة الالكترون)

الشكل (٢)



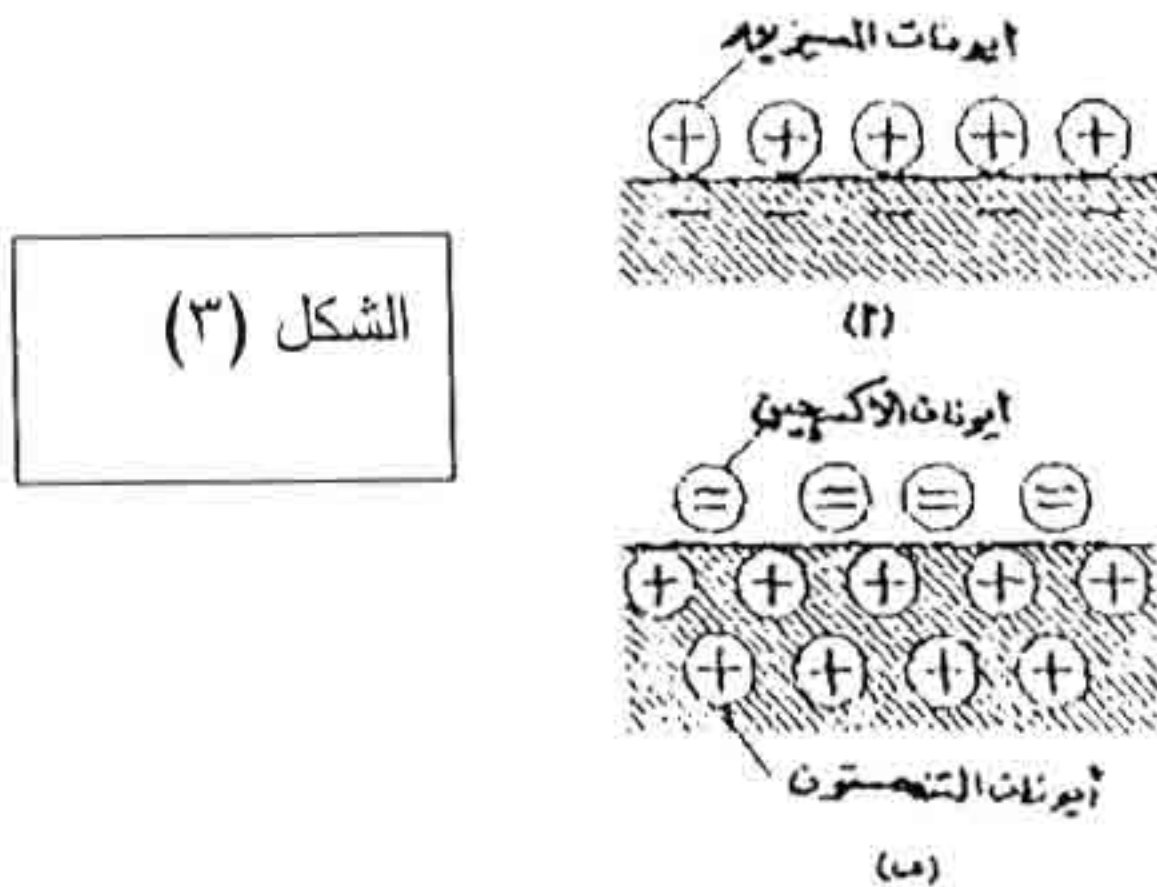
وتكون مشكلة تقدير دالة الشغل للالكترونات في أشباه الموصلات أكثر تعقيداً . فكما يتضح من الشكل (٢) فإن الالكترونات التي تترك شبه الموصل من مناسب نطاق التوصيل على حساب الشغل ψ_2 ، ψ_0 ومن مناسب الشوائب على حساب الشغل ψ_1 . ويكون أقل شغل ψ_0 هو ذلك الشغل المطلوب لتحرير الالكترونات من نطاق التوصيل . ومع ذلك فإن انبعاث الالكترونات التوصيل فقط سييطل حالة الإتزان في الغاز الالكتروني التي تثبت من جديد أى الالكترونات يمكنها أن تعبر إلى نطاق التوصيل من مناسب الشوائب ومن نطاق التكافؤ . تتطلب مثل هذه الانتقالات شغلاً مبدولاً وفي ظروف أدياباتية (ثابتة الحرارة) يبذل هذا الشغل على حساب الطاقة الداخلية للبلورة أى عندما تكون حالة الاتزان الحرارى محفوظة لابد من تبريد البلورة .

وإذا كانت الالكترونات التي تترك شبه الموصل من نطاق التكافؤ إلى الاحتفاظ بحالة الإتزان فإن بعض الالكترونات لابد أن تعود إلى نطاق التكافؤ من نطاق التوصيل ، ينتج عن هذا تحرير الطاقة وتسخين البلورة . ويتم الاحتفاظ بحالة الإتزان والاحتفاظ بدرجة الحرارة ثابتة فقط إذا تركت الالكترونات شبه الموصل من مناسب الطاقة التي تقع أدنى أو أعلى من منسوب فيرمى بأعداد

مناسبة وتوضح النظرية أنه للإحتفاظ بحالة الإتزان لابد أن يتساوى متوسط طاقة الإلكترونات التي تترك شبه الموصل طاقة منسوب فيرمي وهذه ، هي دالة الشغل بالرغم من أن منسوب فيرمي نفسه لا توجد به إلكترونات . وتقاس دالة الشغل بالإلكترون فولت . وتكون نسبة دالة الشغل ودالة الشغل المقاسة بالإلكترون فولت مساوية عددياً فرق الجهد المكافئ لها

(٢) تأثير الطبقات الممتصة على دالة الشغل .

الطبقات الجلؤينية الممتزة بواسطة سطح الجامد غالباً ما تكون طبقات أحادية الجزيئات تؤثر بشدة على دالة الشغل . ويوضح الشكل (١٣) طبقة سيزيوم أحادية الذرات على سطح التتجستون . والسيزيوم



عنصر قلوى . الكترون التكافؤ الخارجى فى ذرته المرتبط بنواتها يكون أضعف ارتباطاً بنواته من ارتباط الكترونات التكافؤ بذرة

التتجستون . لهذا يعطى السيزيوم فى عملية الإمتزاز الكترونات التكافؤ له إلى التتجستون ويتحول إلى أيونات موجبة الشحنة تولد شحنة سالبة مساوية فى المقدار للطبقة السطحية للفلز . وعندما يغطى التتجستون بطبقة سيزيوم أحادية الذرات فإن طبقة مزدوجة الكهربية تتكون على السطح يكون جانبها الخارجى مشحوناً بشحنة موجبة ويساعد فرق الجهد فى هذه الطبقة المزدوجة إنبعاث الالكترود من التتجستون . لذا فإن دالة شغل الالكترود كما تم تعيينها من التجربة تنخفض فى وجود طبقة السيزيوم من 4.52 الكترون فولت للتتجستون النقى إلى 1.36 الكترون فولت ويحدث تأثير مماثل لطبقات أحادية الذرات للفلزات الأخرى موجبة التكهرب : الباريوم - الثوريوم - السيريوم

ويستخدم على نطاق واسع النقص فى دالة الشغل بواسطة إمتزاز الفلزات موجبة التكهرب فى صناعة كاثودات أنابيب التفريغ والكاثودات الضوئية

وثمة تأثير مختلف تماماً ينتج عن إمتزاز الأكسجين لسطح الفلز مع نواته بقوة أكبر مما فى الفلزات .

لهذا ننتبين أنه بدلاً من إعطاء الكترونات أثناء عملية إمتزاز ذرة الأكسجين فإنها تكتسب الكترونين أثناء عملية إمتزاز ذرة الكسجين إذ أنها تكتسب الكترونين من الفلز وتتحول إلى أيون سالب التكهرب .

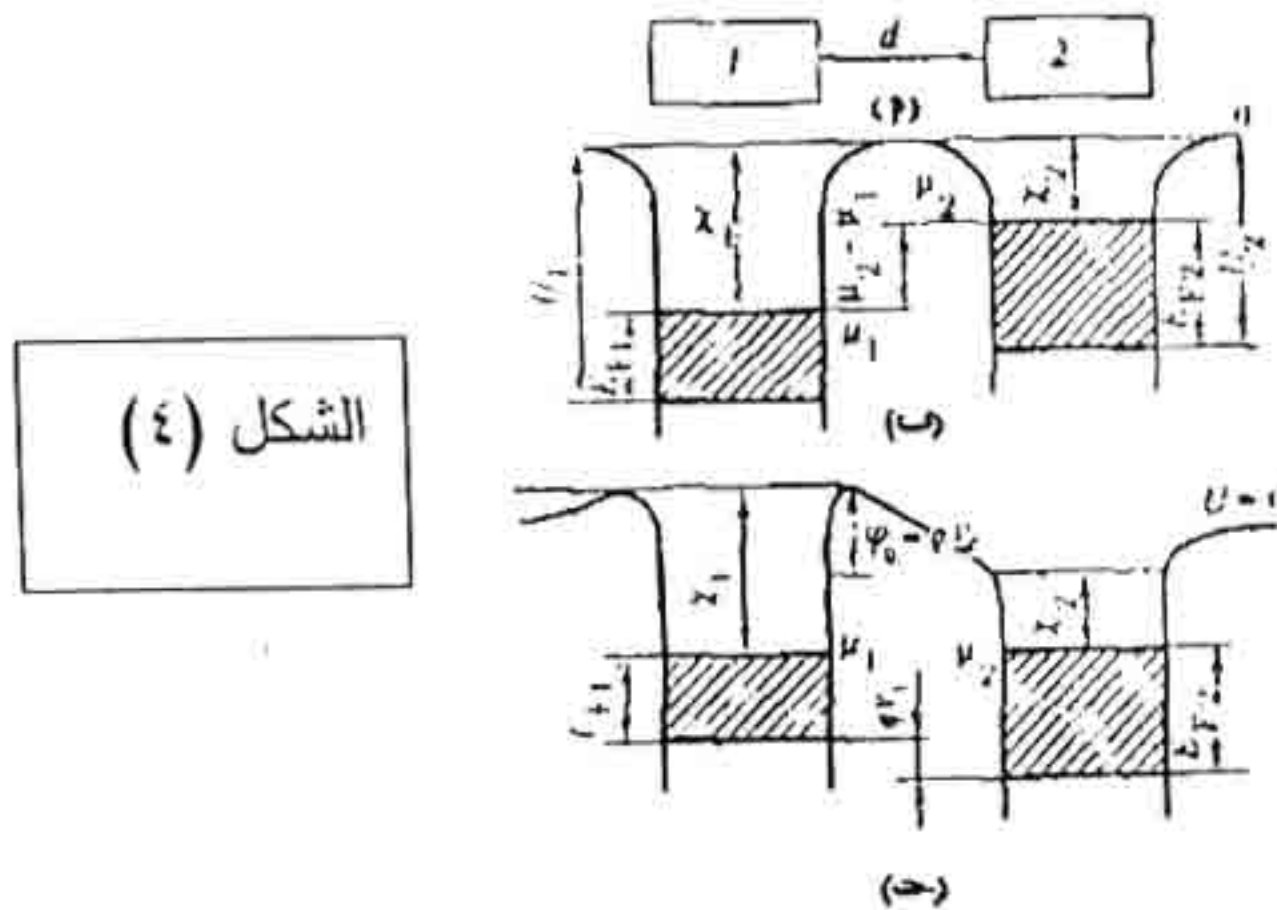
كنتيجة لذلك فإن السطح الخارجى للطبقة المزدوجة كهربياً يصبح
سالب الشحنة ، الشكل (٣ ب)

ويعوق المجال الكهربى الناتج الإلكترونات من التحرر من
الفلز وتبعاً لذلك تزداد دالة الشغل .

(٢-٢) التلامس بين فلزين :

(١) الفرق فى جهد التلامس

إذا أخذنا فى الاعتبار العملية التى تحدث عند إقتراب
فلزين أحدهما من الآخر ، [الرسمان التخطيطيان لنطاقى الطاقة لكل
منهما موضحان فى الشك (٤ أ) ، (٤ ب)] فإننا ننتبين أن الغاز
الالكترونى فى كل من الفلزين 1 ، 2 على حدة يتميز بالجهد



الكيميائى μ_1 ، μ_2 على الترتيب وتكون دالتا الشغل الترمودينامية لهما

هما ψ_1 , ψ_2 وإذا سمحنا للفليزين بالإقتراب أكثر وأكثر حتى تصبح المسافة الفاصلة بينهما d يحدث خلالها تبادل الإلكترون الفعال بواسطة الإنبعاث الترمو أيوني أو بالانتقال المباشر من أحد الفليزين للآخر وفي اللحظة الأولى بعد حدوث التلامس لا يكون هناك إتزان بين الغاز الالكتروني في الفليزين الأول والثاني نظراً لأن الجهد الكيميائي (منسوب فيرمي) μ_2 الذي يقع فوق μ_1 يؤدي إلى إنتقال سائد للإلكترونات من الفلز الثاني إلى الفلز الأول ويصبح الفلز الأول سالب التكهرب والثاني موجب التكهرب ، وظهور الشحنات يسبب إزاحة مناسبة الطاقة للفليزين: حيث ترفع لجميع المناسب في الفلز السالب التكهرب ترتفع بينما تنخفض المناسب في الفلز الموجب التكهرب وذلك عند مقارنتها بمواضعها الأصلية في الفلزات غير المشحونة . وهذا يمكن فهمه بسهولة كما يلي :

- لتحريك الكترون من المنسوب الصفري على سبيل المثال لفلز غير مشحون إلى المنسوب الصفري لفلز سالب التكهرب خلال فرق جهد V_1 لابد من بذل شغل يساوي عددياً eV_1 يتحول هذا الشغل إلى طاقة جهد للإلكترون لذلك ستكون طاقة الجهد للإلكترون يشغل المنسوب الصفري للفلز السالب التكهرب أعلى بمقدار eV_1 عن طاقة الجهد للإلكترون الذي يشغل المنسوب الصفري للفلز غير المشحون

- ينخفض المنسوب الصفري في الفلز الموجب التكهرب عن المنسوب الصفري لفلز غير مشحون لنفس السبب . وتحدث إزاحة

مماثلة في موضع مناسب الطاقة الأخرى للفلزين بما فيها منسوب فيرمي .

- طالما يحدث الارتفاع المستمر في الجهد الكيميائي للفلز 1 (μ_1) والانخفاض المستمر في الجهد الكيميائي للفلز 2 (μ_2) . الشكل (٤ج) يختفي السريان السائد للإلكترونات من الفلز الأول إلى الثاني ويظهر إيزان دينامي بين الفلزين ينتج في صورة فرق جهد ثابت مناظر بين المناسبية للفلزين ، الشكل (٤ج) ، يساوي

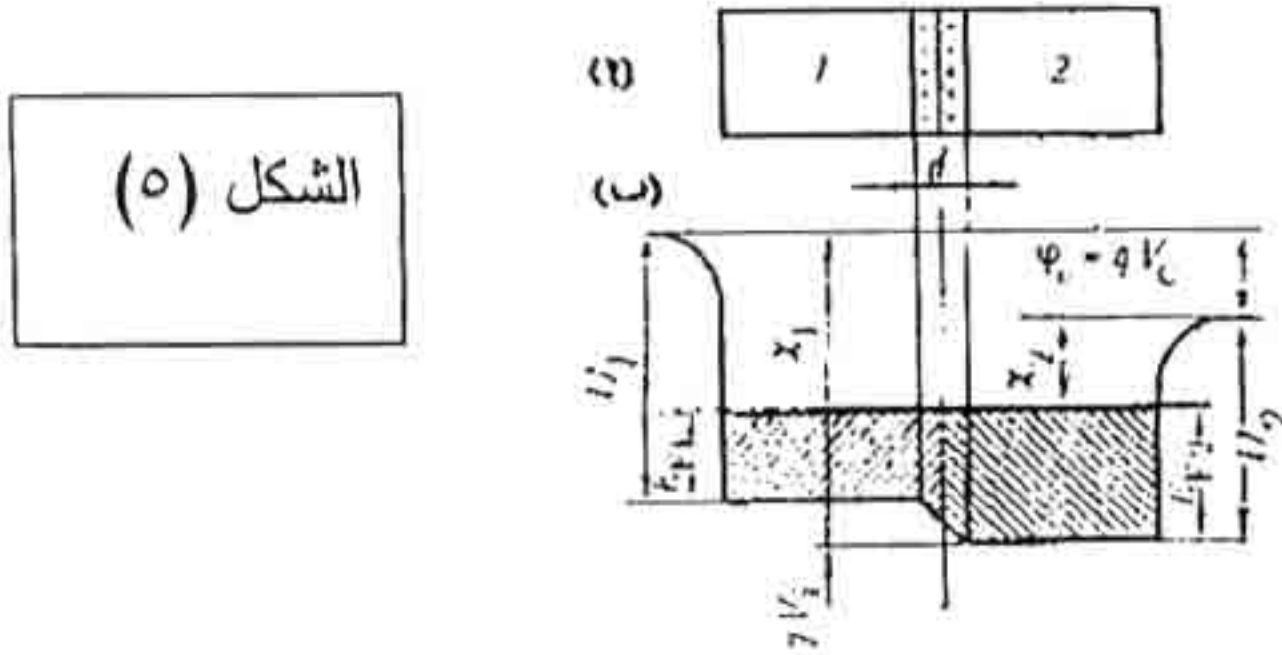
$$V_c = (\psi_1 - \psi_2) / e \quad (1)$$

- يسمى فرق الجهد هذا بإسم فرق جهد التلامس الخارجي . ويتضح من المعادلة (١) أن وجوده يرجع إلى الاختلاف في دالتى شغل الإلكترون للفلزين المتلامسين . وتتحرك الإلكترونات من الفلز الذى له دالة شغل أصغر وتستقر في الفلز الذى له دالة شغل أكبر وبعد تعادل أو تكافؤ الجهود الكيميائية فإن طاقة الحركة للإلكترونات التى تشغل المناسبية المجاورة لمناسيب فيرمي في الفلزين لا تكون متساوية فتلك للإلكترونات في الفلز E_{F1} أصغر من تلك للإلكترونات في الفلز 2 $(E_{F2} > E_{F1})$. عندما يحدث التلامس المباشر بين الفلزين فإن عملية الانتشار السائدة للإلكترونات من الفلز الثانى إلى الفلز الأول وتستمر حتى تصل إلى ما يسمى فرق جهد التلامس الداخلى.

$$V_1 = (E_{F2} - E_{F1}) / e \quad (2-2)$$

(٢) سمك الطبقة المزدوجة كهربياً عند تلامس فلزين :

يوضح الشكل (٥ أ) طبقة مزدوجة عند تلامس فلزين تتغير جهودها



تغيرات حادة بمقدار V_1 الشكل (٥ ب) ولإيجاد سمك هذه الطبقة ،
نفترض أنها بمثابة مكثف مستوي بين لوحيه مسافة فاصلة تساوي
سمك الطبقة المزدوجة له . ولتكن الشحنة على كل لوح هي Q وفرق
الجهود بين اللوحين V_1 وتكون سعة المكثف الذي تكون مساحة لوحه
م^٢ وثابت العزل بين اللوحين سماحيته النسبية $\epsilon = 1$ هي $\epsilon_0 /$
 $C = d$

يمكننا كتابة المعادلة على الشكل

وبالتالي :

$$\frac{Q}{V_1} = \frac{\epsilon_0}{d}$$

$$d = \epsilon_0 V_1 / Q$$

ولا يمكن أن يكون سمك الطبقة المزدوجة أقل من بارامتر الشبكة
 $\approx 3 \text{ \AA}$ وعند $V_1 \approx 1 \text{ eV}$ تتكون مثل هذه الطبقة عندما تنتقل

شحنة $Q \approx V_i \epsilon_0 / a \approx 3 \times 10^{-2}$ كولوم لكل م² من سطح التلامس للفلز الأول إلى الثاني وتناظر هذه عدداً من الإلكترونات $\approx \Delta n \quad Q / e \approx 2 \times 10^{17} \text{ m}^{-2}$

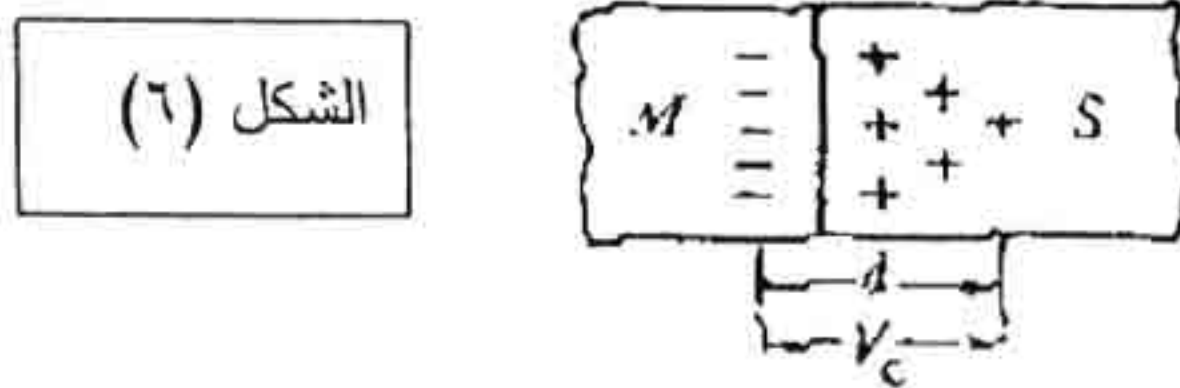
ويوجد تقريباً عدد من الذرات في كل م² من فلز 10^{19} ذرة . وإذا فرضنا أن كل ذرة تعطى إلكترون تكافؤ واحد إلى الغاز الإلكتروني سنحصل على كثافة سطحية للغاز الإلكتروني قيمتها $n_s = 10^{19} \text{ m}^{-2}$. وبمقارنة Δn و n_s ننتبين أنه حتى لأضيقة طبقة مزدوجة ممكنة ($a = 3 \text{ \AA}$) إمكانية إنتقال 2 % من الإلكترونات الحرة من سطح التلامس من أحد الفلزين إلى الآخر .

وبسبب صغر التغير في تركيز الإلكترونات في طبقة التلامس وبسبب صغر سمكها بالمقارنة بمتوسط المسار الحر للإلكترون لا يمكن أن تكون موصلية هذه الطبقة أقل كثيراً عن موصلية قطعة من الفلز . ويمر التيار خلال تلامس الفلزين بنفس السهولة التي يمر بها في الفلزين نفسيهما .

(٣-٣) تلامس فلز بشبه موصل

(١) الطبقة الحاجزة :

نأخذ في الاعتبار تلامس فلز بشبه موصل ولنفرض أن لفلز M دالة الشغل له هي ψ_m يتلامس مع شبه موصل من النوع السالب ($n - \text{type}$) دالة الشغل له هي ψ_s ، الشكل (٦) .



إذا كانت $\psi_m < \psi_s$ ستسرى الإلكترونات من شبه الموصل إلى الفلز حتى يتكافأ الجهدان الكيميائيان μ_m و μ_s و تحدث حالة الفلز حتى يتكافأ الجهدان الكيميائيان μ_m و μ_s وتحدث حالة إتران ويتكون فرق جهد تلامس V_c بين الفلز وشبه الموصل مقداره يماثل جهد تلامس الفلز (عدة فولتات) .

ولكى يظهر فرق جهد التلامس هذا لابد أن ينتقل نفس العدد تقريباً من الإلكترونات من شبه الموصل إلى الفلز كما في حالة تلامس فلزين وعندما يكون بارامتر الشبكة لشبه موصل $A \approx 5$ سيوجد عدد من الإلكترونات $n_s \approx 10^{14}$ على كل 1م^2 من سطح شبه الموصل . لذلك فإن إنتقال عدد من الإلكترونات $\Delta n \approx 10^{17}$ يعمل على إسـتـطـالة سمك طبقة الإستنفاد بحوالى 10^3 من الطبقات الذرية لشبه الموصل .

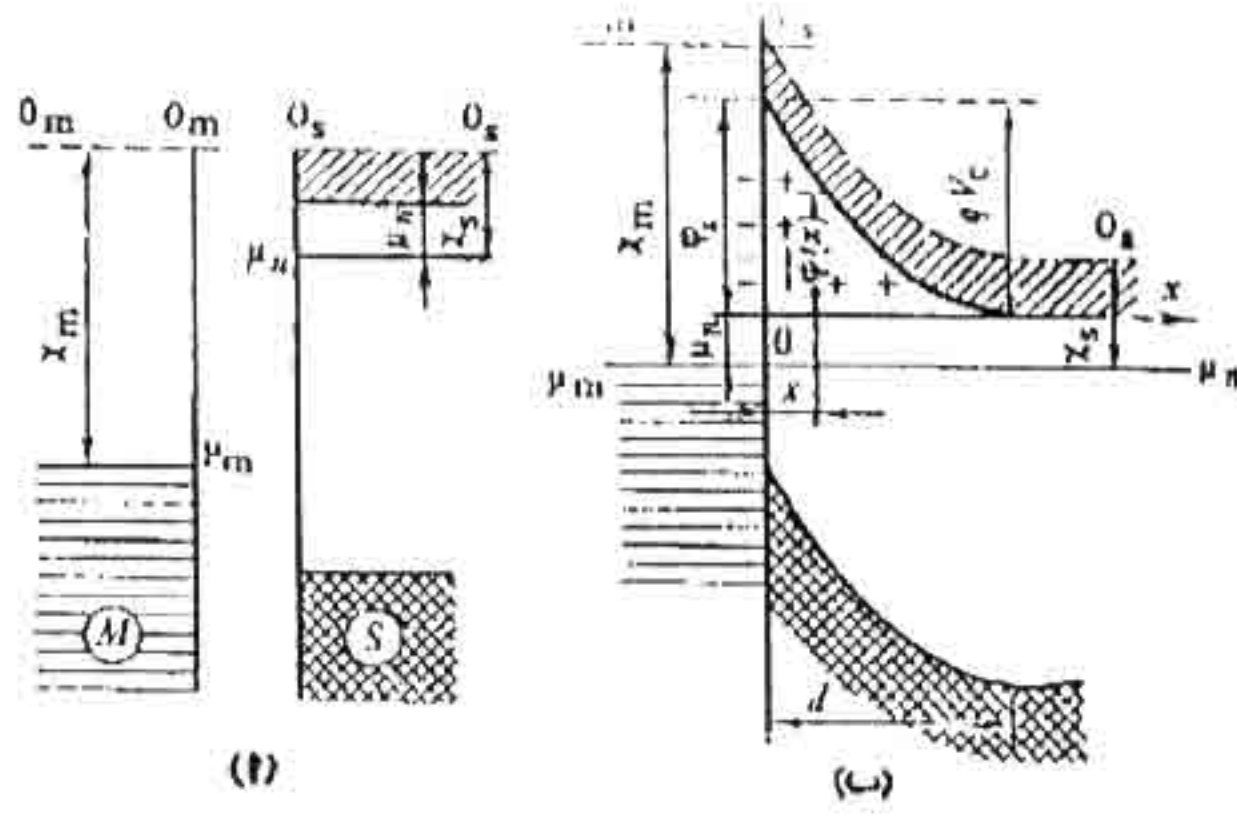
لهذا فإن تكافؤ الجهود الكهربائية لفلز وشبه موصل في حالة تلامس مع بعضهما يتضمن بالضرورة إنتقال الإلكترونات إلى سطح الفلز من الطبقة الحاجزة التى يكون لها إتساع مناسب d من شبه الموصل ، (الشكل ٦)

وتؤدي ذرات الشوائب المتأينة المتبقية من هذه الطبقة إلى شحنة فراغية كهربية موجبة مستقرة ونظراً لأن إتساعها يزيد كثيراً عن متوسط المسار الحر للإلكترون تكون مقاومتها النوعية عالية جداً وبسبب ذلك تسمى الطبقة الحاجزة .

(٢) تأثير مجال التلامس على مناسيب الطاقة في شبه موصل :

فارق جهد التلامس V_c بين الفلز وشبه الموصل يتولد خلال الإتساع الكلى d للطبقة الحاجزة ، (الشكل ٦) . وبفرض أن $a \approx 5$ أنجستروم نحصل على عدد الطبقات الذرية المستنفدة $\Delta n \approx 10^{17}$ ولسمك الطبقة الحاجزة $d \approx 5 \times 10^3$ أنجستروم ، نجد أن عند $V_c=1$ فإن شدة المجال $\approx V_c / d \approx \epsilon_0$ التى تساوى V $/m \times 10^6$ وهذه تقل على الأقل بمقدار ثلاث رتب عن شدة المجال الداخلى للبلورة الذى يكون مسئولاً عن نطاق الطاقة فى شبه الموصل ولهذا فإن مجال التلامس لا يمكن أن يؤثر تأثيراً محسوساً على طيف النطاق (إتساع النطاق الممنوع ، طاقة تآين الشوائب .. إلى آخره) فتأثيره محدود يظهر فى إنحراف أنطقة الطاقة لشبه الموصل .

وبامعان النظر فى هذا نأخذ فى الاعتبار الشكل (٧ أ) الذى يوضح الرسوم التخطيطية لأنطقة الطاقة فى الفلز M وشبه الموصل S قبل تلامسها .



الشكل (٧)

وعندما يتم التلامس تظهر حالة إتران وتتولد شحنة فراغية موجبة خلال إتساع الطبقة الحاجزة (الشكل ٧ب). وفي حالة عدم وجود جهد التلامس يتم تمثيل مناسيب الطاقة في الفلز وفي شبه الموصل بواسطة خطوط مستقيمة أفقية . وهذا يدل على أن طاقة الكترون يشغل هذا المنسوب هو على سبيل المثال المنسوب الأدنى من نطاق التوصيل يكون متماثلاً في جميع أجزاء شبه الموصل ولا يتوقف على موضع الإلكترونات .

وفي حالة وجود فرق جهد التلامس تتغير الصورة :

ففي داخل هذه الطبقة التي يتركز فيها جهد التلامس تؤثر قوة على الإلكترون تدفعه إلى خارج هذه الطبقة وللتغلب على هذه القوة لابد من بذل شغل يساوى طاقة وضع الإلكترون في مجال التلامس $\phi(x)$ حتى تصل إلى نهايتها العظمى $\phi_0 = eV_c$ عند سطح شبه الموصل.

وتؤدي حسابات ميكانيكا الكم إلى أن تأثير مجال خارجي على شبه الموصل يبدو على هيئة ميل أنطقه الطاقة له بالنسبة إلى منسوب

فيرمى الأفقى ويؤثر مجال التلامس بنفس الطريقة مسبباً انحراف
 أنطقة الطاقة وتسمى الكمية ρ_0 باسم حازر الجهد المتزن
 للإلكترونات التى تنتقل من شبه الموصل إلى الفلز .

ولتقدير قيمة الدالة $\rho(x)$ نستخدم معادلة بواسون Poisson
 المعروفة فى الكهروستاتية وتربط هذه المعادلة جهد المجال $V(x)$
 بالكثافة $\rho(x)$ للشحنة الفرعية المستقرة المسئولة عن هذا المجال .
 والمعادلة تأخذ الشكل

$$(2-3) \quad \frac{d^2 V}{dx^2} = - \frac{\rho(x)}{\epsilon_0 \epsilon}$$

حيث ϵ هى السماحية النسبية لشبه الموصل

ويكون من المناسب الانتقال من الجهد $V(x)$ إلى طاقة
 الجهد للإلكترون $\rho(x) = -eV(x)$ وكتابة معادلة بواسون المعبرة من
 $\rho(x)$ كما يلى :

$$(4) \quad \frac{d^2 \phi}{dx^2} = \frac{e}{\epsilon_0 \epsilon} \rho(x)$$

وعند حساب كثافة الشحنة الفراغية $\rho(x)$ سنفرض أن جميع
 الذرات المعطية N_d متأينة وأن إلكتروناتها انتقلت إلى الفلز عندئذ ρ
 $\rho(x) = e N_d$ وبالتعويض فى معادلة بواسون نحصل على

$$(5) \quad = N_d \frac{d^2 \phi}{dx^2} = \frac{e^2}{\epsilon_0 \epsilon}$$

وإذا فرضنا عدم وجود جهد تلامس عند مسافة $x \geq d$ داخل شبه الموصل يمكننا كتابة الشروط الحدية لهذه المعادلة على الصورة

$$(٦) \quad \varphi(d) = 0, \quad \left(\frac{d\varphi(x)}{dx} \right)_{x=d} = 0$$

ويؤدي حل المعادلة (٥) مع الشروط الحدية (المعادلة ٦) إلى

$$\varphi(x) = \frac{(d-x)^2}{2}$$

ومن المعادلة (٧) نتبين أن جهد مجال التلامس يقل تدريجياً متخذاً شكل قطع مكافئ مع الزيادة في (x) في شبه الموصل . عند $x = 0$ نجد أن $\varphi_0 = \chi_m - \chi_s$ يحصل بالتعويض في المعادلة (٧) على اتساع الطبقة الحاجزة

$$d = \sqrt{\frac{2\epsilon_0 \epsilon \varphi_0}{e^2 N_d}} = \sqrt{\frac{2\epsilon_0 \epsilon V_c}{e n_{no}}}$$

حيث $n_{no} = N_d$ تركيز الإلكترونات (حاملات الشحنة السائدة) في شبه الموصل من النوع السالب ومن المعادلة (٨) نتبين أن سمك الطبقة الحاجزة d يزداد مع زيادة فرق جهد التلامس V_c الذي يتم تعيينه من الفرق في دالتى الشغل كما ينقص مع زيادة حاملات الشحنات السائدة في شبه الموصل . ويوضح الجدول (١) قيمة d

المحسوبة بالاستعانة بالمعادة (٨) بفرض أن $\epsilon = 10$, $V_c = 1V$

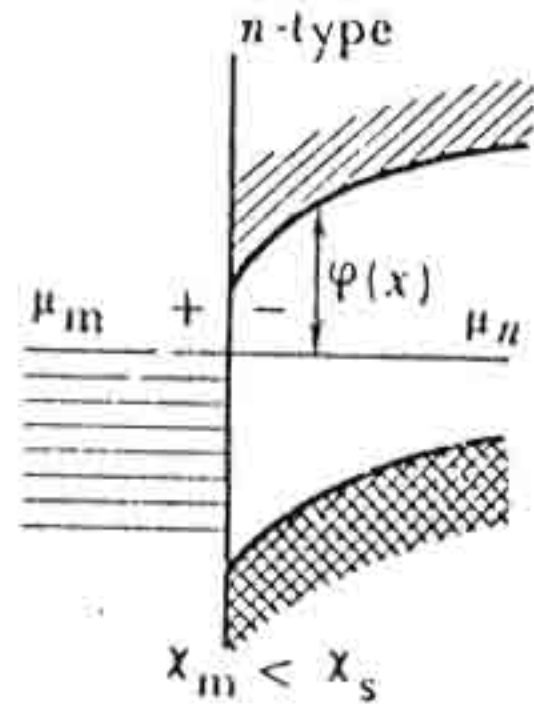
الجدول (١)

$n_{no} (m^{-3})$	$d (m)$
10^{24}	3×10^{-7}
10^{22}	3×10^{-6}
10^{20}	3×10^{-5}

ومن الجدول نتيين أن تركيزات الغاز الإلكتروني لأشباه الموصلات ($10^{20}-10^{24} \text{ م}^{-3}$) يكون سمك الطبقة السطحية التي لا تحتوى عملياً على حاملات حرة تحتفظ بقيم أكبر من رتبة إلى ثلاث رتب عن متوسط المسار الحر للإلكترون وهذا هو سبب كون مقاومة الطبقة الحاجزة عالية جداً .

وإذا كانت دالة الشغل لشبه الموصل السالب أكبر من دالة الشغل للفلز فإن الإلكترونات ستنقل من الفلز إلى شبه الموصل مولدة شحنة سالبة في طبقة التلامس له الشكل (٨). وفي هذه الحالة لا تزداد (x) عند اقترابه من السطح لكن على النقيض من ذلك تقل يصاحب ذلك إنحراف الأنطقة في الاتجاه المعاكس ويؤدي هذا إلى زيادة تركيز حاملات الشحنة الحرة داخل طبقة التلامس لشبه الموصل وبالتالي

زيادة الموصلية الكهربائية ولهذا السبب تسمى هذه الطبقة ضد الحاجز



Antibarrier

شكل (٨)

(٢) التقويم عند وصلة فلز - شبه موصل

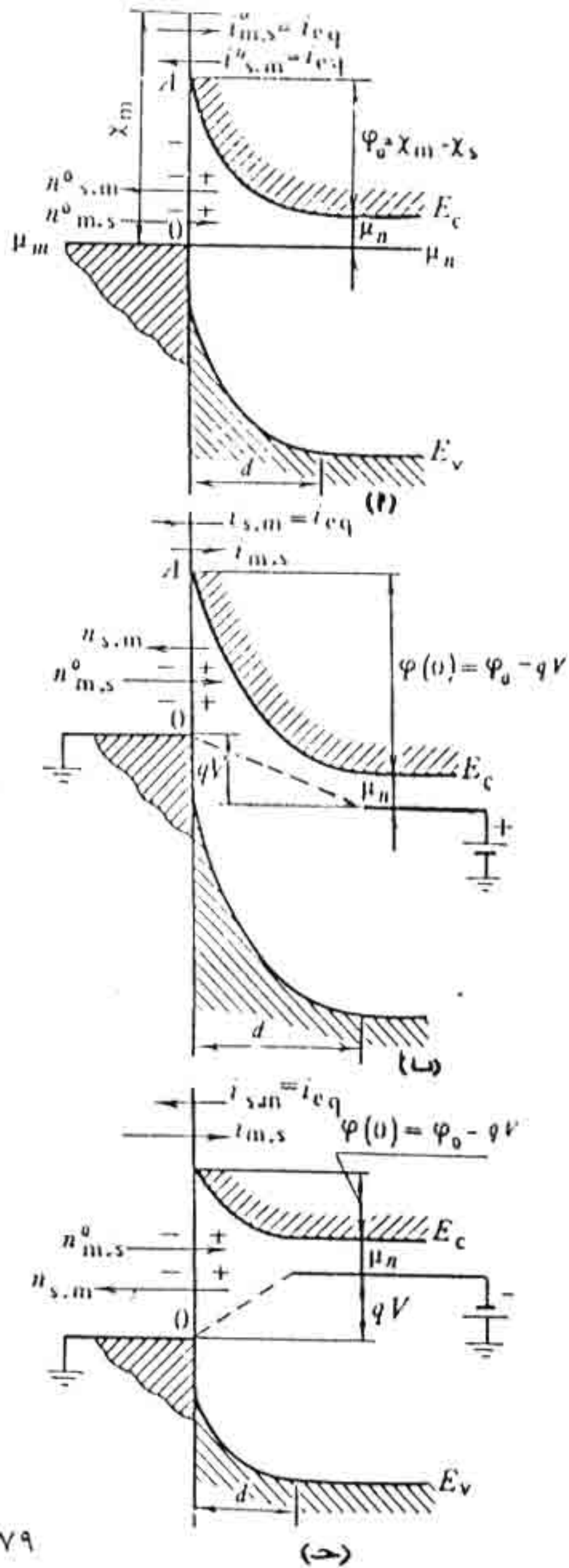
توجد سمة ملحوظة للطبقة الحاجزة تتمثل في علاقة مقاومتها على اتجاه الجهد الخارجى المؤثر على الوصلة . هذه العلاقة تؤدي عملياً إلى موصلية وصلة موحدة الاتجاه حيث يمر التيار بسهولة خلال الموصلة في الاتجاه الأمامى ولا يكاد يمر في الاتجاه الخلفى . وهذا هو جوهر خاصية التقويم الوصلة (الفلز - شبه الموصل) وتناقش هذه النقطة بالتفصيل.

يوضح الشكل (٩ أ) نطاق الطاقة لوصلة فلز - شبه موصل من النوع السالب وهى فى حالة الإتزان . فحاجز الجهد للإلكترونات التى تنتقل من الفلز إلى شبه الموصل يساوى الفرق فى دالتى الشغل χ_m ، χ_s ولالإلكترونات التى تمر من شبه الموصل إلى الفلز ϕ_0 $eV_c =$ ولنرمز لفيض الإلكترونات من الفلز إلى شبه الموصل بالرمز n_{sm}^0 ولفيض الإلكترونات من شبه الموصل إلى الفلز بالرمز

n_{ms}^0 وتكون كثافة التيار الكهربى المناظرة خلال الوصلة فى الحالتين j_{ms} , j_{sm} ونظراً لأن شدة التيار الكلى الذى يسرى خلال الوصلة تساوى الصفر فى حالة الإتزان فإن $j_{ms} = j_{sm}$ وتكون كثافة التيار المناظرة j_{eq} هى :

$$(٩) \quad j_{s.m} = j_{m.s} = j_{eq}$$

شكل (٩)



وعند تأثير فرق جهد خارجى V على الوصلة فى إتجاه فرق جهد الوصلة V_c تنتقل شحنة موجبة إلى شبه الموصل بالنسبة للفلز [الشكل (٩ ب)] مثل هذا الإتجاه لفرق الجهد V يسمى الإتجاه العكسى وتكون مقاومة الطبقة الحاجزة عادة أكبر بعدة رتب عن مقاومة بقية أجزاء الدائرة . وبسبب ذلك فإن الجهد الكلى المؤثر يكون خلال الطبقة الحاجزة . وتتحرف مناسب الطاقة فى شبه الموصل الموجب الشحنة إلى أدنى مواضعها الأصلية بمقدار eV وبالمثل ستكون إزاحة منسوب فيرمى μ_n . ويحدث الإنحراف على طول السمك الكلى للطبقة الحاجزة d الذى يزداد خلالها الجهد بمقدار V قاع نطاق التوصيل الجديد وقمة نطاق التكافؤ E_v . الشكل (٩ب) ، يتم تبعاً للموقع الجديد لمنسوب فيرمى ومن هذا نتبين أن الجهد الخارجى V المؤثر فى الإتجاه العكسى يرفع حاجز الجهد للإلكترونات التى تنتقل من شبه الموصل إلى الفلز

$$(١٠) \quad \varphi(0) = \varphi_0 + e V$$

وتبعاً للمعادلة (٨) سيكون سمك هذه الطبقة الحاجزة هو :

$$(١١) \quad d = \sqrt{\frac{2 \epsilon_0 \epsilon (v_c + v)}{e n_{i0}}}$$

لذلك فإن المجال الخارجى المؤثر على الوصلة فى الاتجاه العكسى يرفع الجهد الحاجز للإلكترونات التى تسرى من شبه الموصل إلى الفلز ويزداد تبعاً لذلك إتساع الطبقة الحاجزة .

وتكون الصورة مختلفة تماماً إذا أثر جهد أمامى على الوصلة (الشكل ٩ ج) . ففي هذه الحالة سنجد أن كل المناسيب لشبه الموصل من النوع السالب بما فيها منسوب فيرمى تنحرف إلى أعلى بمقدار eV وينخفض الجهد الحاجز للإلكترونات التى تسرى من شبه الموصل إلى الفلز بمقدار eV ويصبح إرتفاع الحاجز .

$$(١٢) \quad \varphi_{(0)} = \varphi_0 + eV$$

ويقل إتساع طبقة الشحنة الفراغية ليصبح

$$(١١) \quad d = \sqrt{\frac{2 \epsilon_0 \epsilon (v_c + v)}{e n_{m0}}}$$

ويؤدى التغير فى إرتفاع الجهد الحاجز إلى اضطراب حالة الإتزان بين فيض الإلكترونات التى تسرى فى الوصلة فى الإتجاهين.

فعندما يؤثر جهد خارجى V على الوصلة فى الإتجاه العكسى تقل كثافة التيار $j_{m.s}$ المناظرة لفيض الإلكترونات $n_{s.m}$ تبعاً للدالة الأسية $e^e / k_B T$ إذ أنه تبعاً لقانون بولتزمان يكون عدد الإلكترونات التى تسرى من شبه الموصل للفلز والقادرة على تخطى الحاجز $\varphi_0 + eV$ أقل تبعاً للدالة الأسية $e^{eV} / k_B T$ عن الذى يسرى خلال الحاجز عند الإتزان φ_0 ، أى أن : عندئذ يصبح التيار $j_{m.s}$

$$n_{s.m} = n_{s.m} e^{-eV/k_B T}$$

$$(١٣) \quad j_{m.s} = j_{eq} e^{-eV/k_B T}$$

وتظل كثافة التيار $j_{m.s}$ المناظرة لفيض الإلكترونات $n_{m.s}$ مساوية لكثافة التيار j_{eq} نظراً لأن المجال الخارجى لا يغير ارتفاع الحاجز للإلكترونات التى تسرى من الفلز إلى شبه الموصل فارتفاعه يظل مساوياً للفرق بين دالتى الشغل $\chi_m - \chi_s$

وتصبح كثافة التيار الكلى فى الإتجاه المعاكس هى (الشكل ٩ ب)
وهى : (١٤)

$$j_r = j_{eq} e^{-eV/k_B T} - j_{eq} = j_{eq} (e^{-eV/k_B T} - 1)$$

ويسرى التيار من شبه الموصل إلى الفلز . ومع زيادة الجهد العكسى V تؤول الدالة الأسية $e^{-eV/k_B T}$ بسرعة للصفر وكثافة التيار العكسى إلى قيمته المحدودة j_{eq} وتسمى كثافة التيار j_{eq} بإسم كثافة التيار التشبع وتسمى $J_{eq} = S j_{eq}$ بإسم تيار التشبع (S هى مساحة مقطع وصلة الفلز - شبه الموصل).

وعندما يؤثر جهد خارجى أمامى (الشكل ٩ جـ) فإن الجهد الحاجز للإلكترونات التى تسرى من شبه الموصل إلى الفلز تنخفض بمقدار eV ونتيجة لذلك تزداد كثافة تيار هذه الإلكترونات تبعاً للدالة

$$\text{الأسية } e^{eV/k_B T} \text{ عند مقارنتها بـ } j_{eq} \text{ تصبح}$$

$$j_{m.s} = j_{eq} e^{eV/k_B T}$$

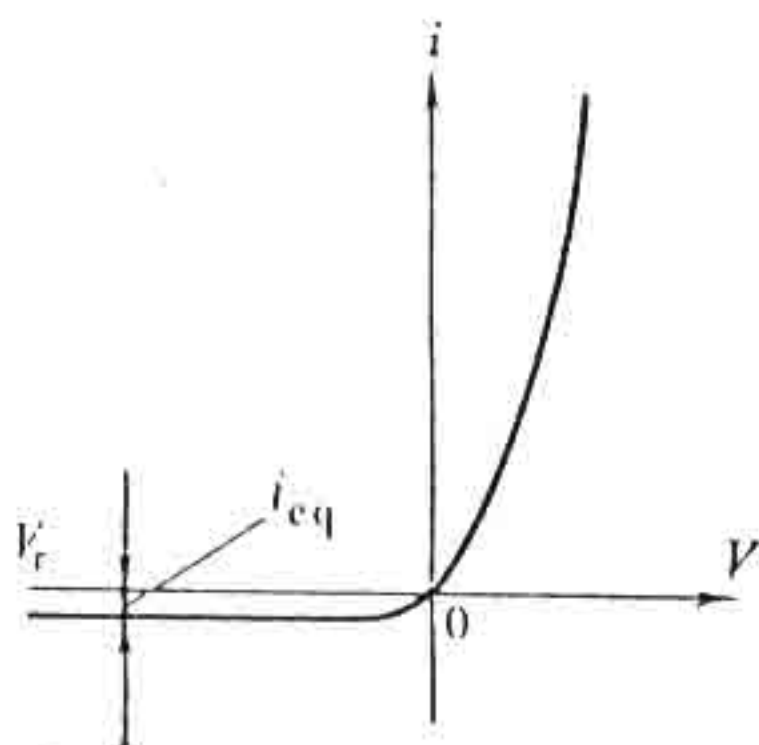
وتظل كثافة التيار $j_{m.s}$ مساوية لكثافة التيار j_{eq} . ولهذا فإن كثافة التيار الأمامى (من الفلز إلى شبه الموصل) هى :

$$(١٥) \quad j_f = j_{m.s} - j_{s.m} = j_{eq} (e^{ev/k_B T} - 1)$$

وتزداد أسياً مع V . ويربط المعادلتين (١٤) ، (١٥) معاً
نحصل على المعادلة (١٦)

$$(١٦) \quad j = j_{eq} (e^{\pm ev/k_B T} - 1)$$

($v = |V|$ لجهد الإنحياز الأمامي و $v = -|V|$ لجهد الإنحياز الخلفي) . وتدل المعادلة (١٦) على الخصائص المميزة تيار - فولت Current voltage characteristics لوصلة الفلز - شبه الموصل المستخدمة في التقويم . ويوضح الشكل (١٠) الخصائص المميزة تيار - فولت لمثل هذه الوصلة . ويطلق على النسبة بين التيار الأمامي والتيار الخلفي عند نفس القيمة للجهد المؤثر بإسم نسبة التقويم (rectification ratio) وقيمتها في الوصلات جيدة التقويم يمكن أن تصل إلى عدة عشرات أو حتى مئات الآلاف .



شكل (١٠)

ويطلق على الطبقة الحاجزة عند السطح البيني للفلز - شبه الموصل اسم حاجز شوتكي Schottky barrier التي تتميز بأزمة قطع (أفتح) قصيرة جداً حيث تصل هذه الأزمة إلى 10^{-11} ثانية . ويجعل هذا من الممكن استخدامها بفاعلية في دوائر الاتصال الإلكتروني النبضي وفي الحاسب الآلي ودوائر التحكم الذاتي حيث توجد الحاجة لسرعات تشغيل عالية في إنتاج الوصلات الأومية يمكن بواسطتها أن تتصل نبيطة في دائرة كهربية .

(٢-٤) الوصلة بين شبه موصل موصلتيهما الكهربية مختلفان:

يعتمد التقدم في الإلكترونيات أشباه الموصلات أساساً على استخدام وصلات من شبه موصل غير نقيين موصلتيهما الكهربية مختلفة مثل هذه الوصلة تسمى الوصلة $p - n$. وسنناقش خواصها فيما يلي :

(١) تحضير الوصلة $p - n$:

من المستحيل الحصول على الوصلة $p - n$ بواسطة تلامس ميكانيكي بين شبه الموصل المختلفين في النوع لأن إنقطاع الشبكة عند السطح البيني يحتوى على عيوب أكثر من العيوب الناتجة من ذرات الشوائب على كل من سطحي الوصلة - وإحدى الطرق الأوسع إنتشاراً في تحضير الوصلات $p - n$ هي طريقة التطعيم فمثلاً إذا

أخذنا شريحة جرمانيوم من النوع السالب موضوع عليها قطعة من الانديوم (الشكل ١١ أ) ووضعناها في فرن عند درجة حرارة

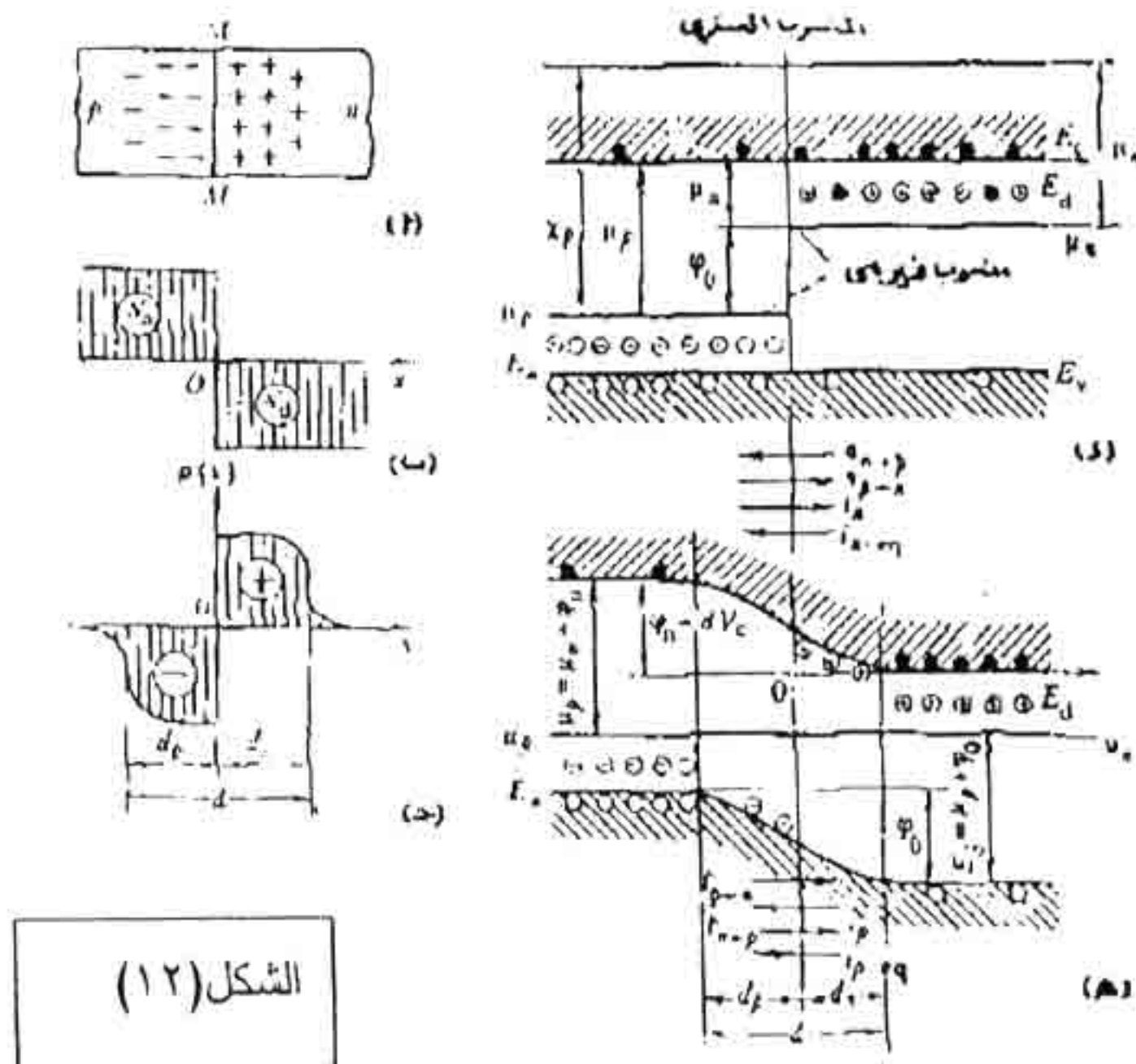


شكل (١١)

تتراوح بين 500 - 600 ° سيلزيوس في جو من الهيدروجين أو الأرجون ، فإن الانديوم يذوب بعض الجرمانيوم (١١ ب) وعند تبريد الشريحة ببطء يصبح هذا الجانب من الجرمانيوم مشبعاً بالانديوم المترسب من المصهور ويتبلر كجزء متمم للبلورة الأحادية للشريحة .

ونظراً لأن الجرمانيوم المطعم بالانديوم له موصلية موجبة (p type) سنحصل على الوصلة $p - n$ عند الحد الفاصل بين البلورة السالبة كما في الشكل (١١ ج) وتعمل قطرة الانديوم الممتزجة مع سطح الجرمانيوم كوصلة أومية . يمكن أيضاً تحضير الوصلة $p - n$ بواسطة إنتشار شوائب أخذة في شبه موصل من النوع السالب أو شوائب معطية في شبه الموصل من النوع الموجب . ولكي تتم عملية الإنتشار من الحالات الثلاث الغازية - السائلة أو الجامدة يتم التحكم في مدى اختراق ذرات الشوائب في الوصلة

$p - n$ بالتحكم فى درجة حرارة والزمن الذى تتم فيه عملية الانتشار وتكون الوصلة $p - n$ نفسها هى الحد الفاصل بين طبقتين موصليتهما مختلفتا النوع .



والطريقة الأوسع إنتشاراً المستخدمة فى تحضير الوصلات $p - n$ هى طريقة النمو الفوقى epitaxial method وفيها يتم ترسيب غشاء من السيلكون من بلورة أحادية من النوع الموجب بطريقة التفاعلات الكيميائية على شريحة من السيلكون من النوع السالب . وفى السنوات الأخيرة تستخدم طريقة غرس الأيونات وفيها توجه أيونات شوائب معينة طاقتها عالية (من 50 إلى 300

كيلو الكترون فولت) نحو سطح شبه الموصل لتصل إلى عمق يتراوح بين 0.1 - 0.5 ميكرومتر يتوقف هذا على طاقة الشوائب ونوعها .

(٢) حالة إتزان الوصلة $p - n$

ليكن السطح MM هو الحد الفاصل الداخلى بين منطقتى شبه الموصلين اللذين تختلف موصليتاهما (الشكل (١٢ أ) : إلى اليسار الموصل ذو التوصلية الموجبة (جرمانيوم من النوع الموجب مثلاً) تركيزات الآخذات فيه N_a وإلى اليمين شبه موصل من النوع السالب (جرمانيوم من النوع السالب) تركيز المعطيات فيه N_d . وللسهولة نفترض أن $N_a = N_d = 10^{22} \text{ m}^{-3}$ ويوضح الشكل (١٢ ب) التغير فى تركيزات الآخذات والمعطية على طول الأحداثى x العمودى على المستوى MM . عند النقطة o الواقعة على هذا المستوى يتلاشى فجأة تركيز الآخذات بينما يزداد تركيز المعطيات فجأة من الصفر إلى N_d .

حاملات الشحنة السائدة فى المنطقة السالبة هى الإلكترونات وفى المنطقة الموجبة هى الفجوات وترجع التيارات السائدة فى معظمها إلى تأين ذرات الشوائب المعطية والآخذة . وفى درجات الحرارة خارج حدود مدى درجات الحرارة المنخفضة تتأين عملياً جميع ذرات تلك الشوائب ولهذا يمكن إعتبار أن تركيز الإلكترونات فى المنطقة السالبة (n_{no}) مساوياً لتركيز المعطيات $N_d \approx n_{no}$

وأن تركيز الفجوات في المنطقة الموجبة (p_{po}) يكون مساوياً لتركيز الذرات الآخذة ($p_{po} \approx N_a$)

وبجانب حاملات الشحنة السائدة تحتوى تلك المناطق أيضاً على حاملات الشحنة غير السائدة : فالمنطقة السالبة تحتوى على فجوات (p_{no}) وتحتوى المنطقة الموجبة على الإلكترونات (n_{po}). ويمكن إيجاد تركيزاتها من قانون فعل للكتلة law of mass action

$$n_{no} \rho_{no} = \rho_{po} n_{po} = n_i^2$$

حيث n_i تركيز حاملات شحنة من نفس النوع في شبه موصل نقى (جرمانيوم مثلاً).

وعندما تكون $n_{no} = \rho_{po} = 10^{22}$ لكل متر مكعب ، $n_i = 10^{19}$ لكل متر مكعب نحصل على :

$$\rho_{no} = n_{po} = 10^{16} \text{ لكل متر مكعب .}$$

ومن ذلك نرى أن تركيز الفجوات في المنطقة الموجبة اكبر من نظيره في المنطقة السالبة بمقدار 6 رتب .مثل هذا الاختلاف في تركيز حاملات شحنة من نفس النوع يرجع إلى انتشار فيض الإلكترونات من المنطقة السالبة إلى المنطقة الموجبة ($n \rightarrow p$) وانتشار فيض الفجوات من المنطقة الموجبة إلى المنطقة السالبة ($p \rightarrow n$) . ويضيف فيض الإلكترونات المنتقل من المنطقة السالبة شحنة موجبة على هذه المنطقة ، ويضيف فيض الفجوات المنتقل من المنطقة الموجبة شحنة سالبة على هذه المنطقة . هذه الشحنات ترفع مواضع جميع مناسب الطاقة بما فيها منسوب فيرمى

في المنطقة الموجبة وتخفضها في المنطقة السالبة . ويستمر سريان الالكترونات من اليمين إلى اليسار وسريان الفجوات من اليسار إلى اليمين حتى يصل منسوب فيرمي الذي يرتفع تدريجياً في المنطقة الموجبة (μ_p) إلى مستوى منسوب فيرمي الذي ينخفض تدريجياً في المنطقة السالبة (μ_n). وعند هذه النقطة يحدث إلتزان بين المنطقتين السالبة والموجبة. وعندها يتكافأ فيض الالكترونات المنتقل من المنطقة السالبة إلى المنطقة الموجبة ($n_{n \rightarrow p}$) مع فيض الفجوات المنتقل من المنطقة الموجبة إلى المنطقة السالبة ($n_{p \rightarrow n}$)

ويتكافأ فيض الفجوات من المنطقة الموجبة إلى المنطقة الموجبة السالبة ($p_{p \rightarrow n}$) مع فيض الفجوات المنتقل من المنطقة السالبة إلى المنطقة الموجبة ($p_{n \rightarrow p}$) وبذلك يكون:

$$n_{n \rightarrow p} = n_{p \rightarrow n} \quad , \quad p_{p \rightarrow n} = p_{n \rightarrow p}$$

وعندما تترك الالكترونات طبقة التلامس للمنطقة السالبة تتأين الذرات المعطية المتأينة مولدة شحنة فراغية موجبة في هذه المنطقة ، [الشكل (جـ)] . ولنرمز لإتساع هذه الطبقة بالرمز d_n وعندما تترك الفجوات طبقة التلامس للمنطقة الموجبة تتأين الذرات الآخذة مولدة شحنة فراغية سالبة في هذه المنطقة . وليكن اتساع هذه الطبقة هو d ويتولد فرق جهد تلامس V_0 عبر هذه الطبقات ويتكون من حاجز جهد ϕ_0 يتمركز في الوصلة $p - n$ ، ϕ_0 تمنع لإلكترونات من المرور من المنطقة السالبة إلى المنطقة الموجبة السالبة . وتوضع الحسابات أن

$$(١٨) \quad \phi_0 = K_B T L_n \frac{n_{no}}{n_{po}} = K_B T L_n \frac{p_{po}}{p_{no}}$$

وننتبين أنه مع زيادة ϕ_0 تزداد النسبة بين تركيز الحاملات السائدة في منطقة من الوصلة $p-n$ وتركيز الحاملات غير السائدة من نفس النوع في منطقة أخرى . وع

$$T = 300 \text{ K} \quad \text{و} \quad n_{po} = 10^{16} \text{ m}^{-3}, \quad n_{no} = 10^{22} \text{ m}^{-3}$$

نجد أن : $\phi_0 \approx 0.45 \text{ eV}$.

ويوضح الشكل (١٢) نطاق الطاقة للمنطقتين الموجبة والسالبة عند لحظة تلامسهما ، أى قبل حدوث الاتزان بينهما ومن الشكل (١٢) د) نتبين أن μ_n تقع فوق μ_p .

ويوضح الشكل (١٢ هـ) نطاق الطاقة لتلك الأنطقة بعد حدوث الإتزان . وينطبق منسوباً فيرمي μ_p, μ_n أحدهما على الآخر وتوجد طبقة شحنة فراغية بين المنطقتين الموجبة والسالبة تمتد في المنطقة السالبة إلى عمق d_n وفي الطبقة الموجبة إلى عمق d_p ويتكون حاجز جهد إرتفاعه $\phi_0 = eV_c$ وعند مقارنة الشكلين (١٢ ج)، (١٢ هـ) نتبين بسهولة أن :

$$(١٩) \quad \phi_0 = \mu_n - \mu_p$$

ويكون إتساع طبقة الشحنة الفراغية $d = d_n + d_p$ في حالة وصلة الفلز - شبه موصل . ويتعين هذا الإتساع بإرتفاع جهد الحاجز ϕ_0 وبتركيزات الحاملات السائدة في المنطقتين الموجبة والسالبة من الوصلة $p-n$ وهما n_{no} ، p_{po} على الترتيب

$$(٢٠) \quad d = \sqrt{\frac{(n_{no} + p_{po})}{n_{no} p_{po}}} = \sqrt{\frac{(n_{no} + p_{po})}{n_{no} p_{po}}}$$

ومع ذلك يمكن بيان أن إتساع الحاجز في الوصلة $p - n$ يتوقف فقط على تركيزات الحاملات السائدة n_{no} p_{po} وبالتعويض عن المعادلة $n_i^2 = np$ في المعادلة (١٨) وبالتعويض بالنتيجة في المعادلة (٢٠)

نحصل على المعادلة

$$d = \sqrt{\frac{2 \epsilon \epsilon_0 \varphi_0}{e_2} \frac{(n_{no} + p_{po})}{n_{no} p_{po}} K_B T L_n \frac{(n_{no} + p_{po})}{n^2}}$$

ومن المعادلة (٢٠) أيضاً نتبين أن زيادة اتساع طبقة الشحنة الفراغية يرجع إلى انخفاض تركيز الحاملات السائدة في المنطقة السالبة والموجبة من شبه الموصل . إذا كانت إحدى المنطقتين ولتكن المنطقة السالبة أقل تطعياً على الشوائب من المنطقة الموجبة بحيث يكون $n_{no} \ll p_{po}$ نحصل من المعادلة (٢٠) على

$$(٢١) \quad d \approx d_n \approx \sqrt{\frac{2 \epsilon \epsilon_0 \varphi_0}{e^2 n_{no}}}$$

في هذه الحالة يتركز غالباً معظم الشحنة الفراغية في المنطقة الأقل تطعياً وهي المنطقة السالبة (ذات مقاومة نوعية عالية) ويحدث نفس التأثير في التأثير في حالة وصلة الفلز - شبه موصل.

(٣) خصائص التقويم في الوصلات $p - n$:

تعتمد فكرة عمل الوصلة $p - n$ في معظم النبائط شبه الموصلة أساساً على قدرتها في تقويم التيار المتردد

(أ) التيارات التى تسرى خلال وصلة $p - n$ فى حالة إتزان :

إحدى الخصائص الملحوظة للوصلة $p - n$ هى إعتماد عمل الكثير من نبائط أشباه الموصلات على قدرتها على تقويم التيار المتردد وسنناقش هذه الخاصية بالتفصيل .

فى حالة إتزان فيض الحاملات السائدة وفيض الحاملات غير السائدة تسرى فى الوصلة $p - n$ الشكل (١٢ جـ) وفى هذه الحالة يتكافأ فيض الإلكترونات - الحاملات السائدة التى تسرى من المنطقة السالبة إلى المنطقة الموجبة ($n_{n \rightarrow p}$) مع فيض الإلكترونات - الحاملات غير سائدة - التى تسرى من المنطقة الموجبة إلى المنطقة السالبة ($n_{p \rightarrow n}$) . بنفس الكيفية ويتساوى فيض الفجوات - الحاملات السائدة - التى تسرى من المنطقة الموجبة إلى المنطقة السالبة ($p_{p \rightarrow n}$ مع فيض الفجوات - الحاملات غير السائدة - التى تسرى من المنطقة السالبة إلى المنطقة الموجبة ($p_{n \rightarrow p}$) ولنرمز لكثافات التيار المناظرة كما يلى : الفيض $n_{n \rightarrow p}$ يناظر J_n و $n_{p \rightarrow n}$ يناظر J_p و $p_{n \rightarrow p}$ يناظر i_{peq} وتمشياً مع المعادلة (١٧) يمكننا أن نكتب :

$$(٢٢) \quad J_n = J_{n-eq} , J_p = J_{p-eq}$$

وبجمع الطرفين الأيمن والأيسر لتلك المعادلات نحصل على :

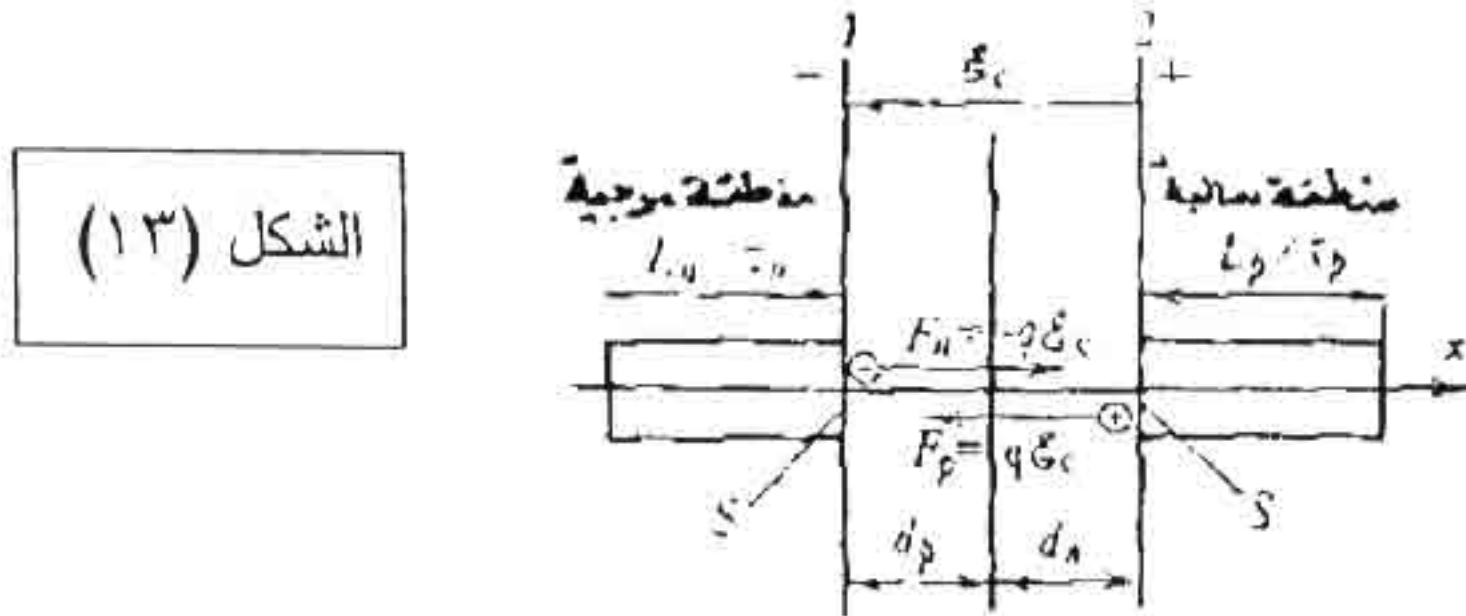
$$J_n + J_p = i_{n-eq} + i_{p-eq}$$

وبدل الطرق الأيسر من المعادلة على مركبة التيار الكلى التى ترجع إلى الحاملات السائدة وبدل الطرف الأيمن على مركبته التى ترجع إلى

الحاملات غير السائدة ويكون التيار الكلى خلال الوصلة $p - n$ مساوياً للصفر

$$(٢٣) \quad J = (J_n + J_p) - (J_n - e q + J_p - e q) = 0$$

ولنحاول الآن حساب كل من $i_n - e q$ عند $i_p - e q$ تقطع وحدة مساحات S من الحد الأيسر ١ للوصلة $p - n$ الشكل (١٣) وباستخدامها كقاعدة نتصور إسطوانة جانبها يساوى L_n / τ_n حيث L_n طول الانتشار للإلكترونات فى المنطقة الموجبة و τ_n متوسط



عمرها الزمنى . ونظراً لأن طول الانتشار هو المسافة المتوسطة التى يقطعها حامل الشحنة خلال عمره الزمنى تدل النسبة L_n / τ_n على متوسط سرعة الإلكترونات المنتشرة من قطعة من المنطقة الموجبة يكون تركيزها n_{p0} إلى الحد الفاصل حيث يتم سحبها إلى مجال التلامس ϵ_c لتنتقل إلى المنطقة السالبة .

عدد الإلكترونات في الأسطوانة يساوى حجمها

مضروباً في تركيز الإلكترونات n_{po} يكون $\frac{p_o}{\tau_n}$ L_n وستمر جميع هذه الإلكترونات خلال وحدة المساحات .

في واحد ثانية وستنتقل إلى المنطقة السالبة مولدة تياراً كثافته .

$$(٢٤) \quad J_{n-eq} = e L_n n_{po} / \tau_n$$

ويمكن بنفس الطريقة حساب J_{p-eq} بتصور اسطوانة مساحة قاعدتها الوحدة ويبلغ طول جانبها L_p / τ_p عند الحد الفاصل 2 للوصلة p : - n

$$(٢٥) \quad J_{p-eq} = e L_p P_{no} / \tau_p$$

$$(٢٦) \quad J_n = J_{n-eq} = e L_n n_{po} / \tau_n$$

$$J_p = J_{p-eq} = e L_p P_{no} / \tau_p$$

(ب) التيار الأمامى :

نؤثر بجهد أمامى v على الوصلة $p-n$ وهى فى حالة الإتزان ، الشكل (١٤ أ) وبتوصيل الطرف الموجب لوحدة قدرة بالمنطقة الموجبة والطرف السالب بالمنطقة السالبة [الشكل (١٤ أ ب)] يعمل هذا

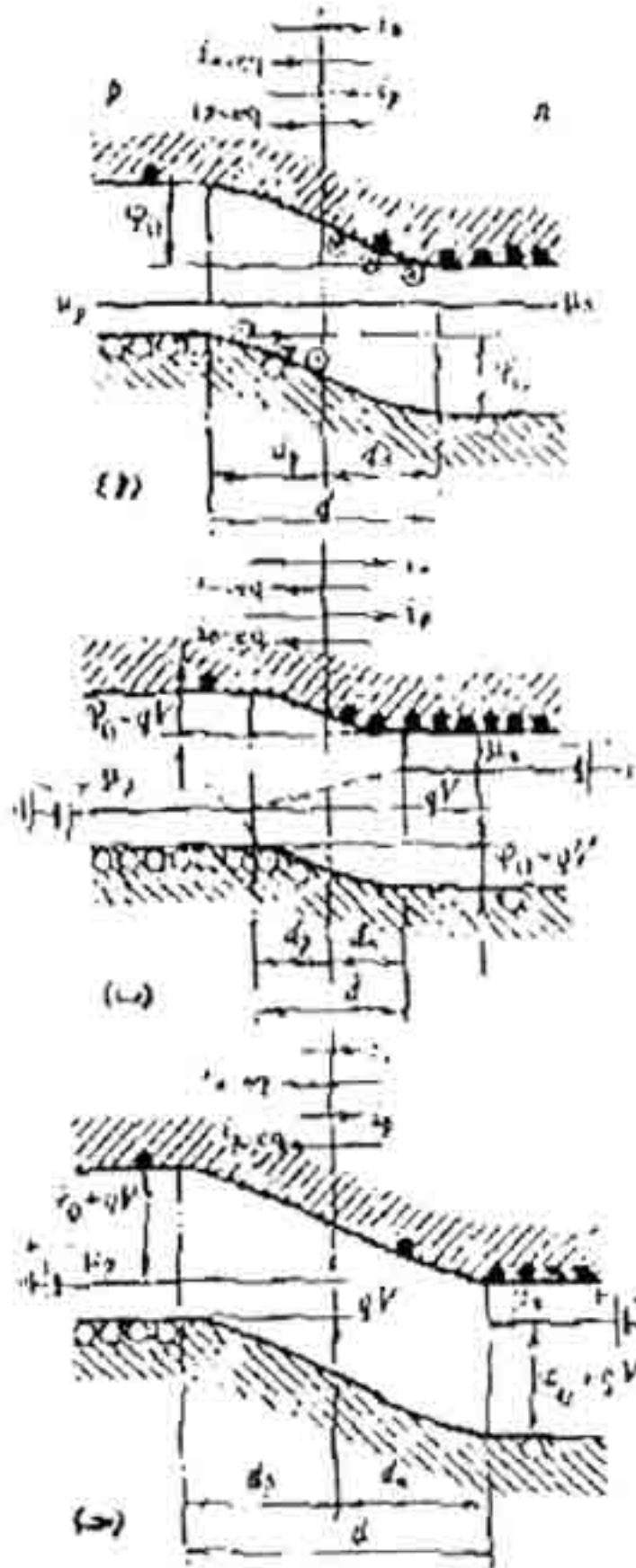
الجهد على خفض حاجز الجهد للحاملات السائدة إلى $\phi_0 = eV$ لهذا فإن فيض الإلكترونات من المنطقة السالبة إلى المنطقة الموجبة (

($n \rightarrow p$) وفيض الفجوات من المنطقة الموجبة إلى المنطقة السالبة

سيزدادان أسياً تبعاً للدالة الأسية $\exp \frac{qV}{k_B T}$ مع زيادة

مماثلة في كثافة التيار لحاملات الشحنة السائدة

: (I_p, I_n)



الشكل (١٤)

$$J_n = e L_n n_{po} \exp \left(\frac{eV}{k_B T} \right) / \tau_p, \quad J_p = e L_p P_{no} \exp \left(\frac{eV}{k_B T} \right) / \tau_p$$

وفى نفس الوقت نجد أن كثافتى حاملات التيار غير السائدة $(i_n - e q)$ ،
 $(i_p - e q)$ للذين لا يتوقف مقدارهما على ارتفاع حاجز جهد الوصلة $p - n$
 إذ يظلان بنفس القيمة التى تعبر عنها المعادلة (٢٦) . لذلك فإن
 التيار الكلى الذى يسرى فى الوصلة $p - n$ التى يؤثر عليها جهد V
 والذى يرمز له J_f لا يساوى الصفر ولكن

$$J_f = (J_n - J_p) - J_{n-eq} + J_{p-eq} = e \left(\frac{L_n}{\tau_n} n_{po} + \frac{L_p}{\tau_p} P_{no} \right) (e^{eV/k_B T} - 1)$$

(٢٧)

(ج) التيار الخلفى :

نؤثر الآن بجهد خلفى $v -$ على الوصلة $p - n$ بتوصيل
 الطرف السالب لمصدر القدرة بالمنطقة الموجبة وتوصيل الطرف
 الموجب بالمنطقة السالبة ١٦ الشكل (١٤ ج) ، يعمل هذا الجهد
 على رفع حاجز الجهد للوصلة $p - n$ إلى $\phi_0 + e V$ ونتيجة لذلك
 يقل فيض حاملات السائدة $n_p \rightarrow n$ و $p_p \rightarrow p$ أسياً تبعاً للدالة
 $\exp \frac{eV}{k_B T}$ وتقل التيارات J_n, J_p بنفس الكيفية ويكون :

$$J_n = e L_n n_{po} \exp \left(\frac{eV}{k_B T} \right) \left(1 - \frac{Fv}{k_B T} \right)$$

$$i_p = e L_p \rho_{no} \exp \quad / \tau_p$$

ويكون التيار الكلى الذى يسرى فى الوصلة والذى يسمى التيار الخلفى

$$L_r = (J_n + J_p) - (J_n - e_q) = e \left(\frac{L_n}{\tau_n} n_{po} + \frac{L_p}{\tau_p} p_{no} \right) \quad \text{هو}$$

$$(28) \quad \left[\exp \left(\frac{-eV}{k_B T} \right) / \tau_p \right]$$

(٢) الخاصية المميزة تيار - جهد :

بربط المعادلتين (٢٧) ، (٢٨) نحصل على معادلة المنحنى

المميز للتيار - جهد للوصلة $\rho - n$

$$(29) \quad J = e \left(\frac{L_n}{\tau_n} n_{po} + \frac{L_p}{\tau_p} p_{no} \right) \left(\exp \frac{\pm eV}{k_B T} - 1 \right)$$

حيث $V > 0$ هو الجهد الأمامى ، $V < 0$ هو الجهد الخلفى وعند

تحليل هذه المعادلة نجد أنه : عند زيادة الجهد الخلفى $V -$ تؤول

الدالة $\exp (k_B T)$ إلى الصفر . ويؤول

والمقدار $[\exp \frac{-eV}{k_B T} - 1]$ إلى -1 وتبعاً لذلك تصل كثافة التيار i_r إلى نهايتها الحدية .

$$(30) \quad J_{eq} = -e \left(\frac{L_p}{\tau_p} n_{po} + \frac{L_n}{\tau_n} p_{no} \right)$$

ويطلق عليها اسم كثافة تيار التشبع . ويتم الوصول عملياً لهذه

القيمة عند eV تساوى تقريباً $4 k_B T$ أى عند $V \approx 0.1$ فولت

ومن المعادلة (٣٠) نتبين أن J_{eq} يمكن تعيينها بفيض الحاملات غير السائدة خلال الوصلة $p - n$.

ونظراً لأن تركيزاتها ليست كبيرة تكون J_{eq} صغيرة في الوصلة $p - n$ للجرمانيوم من نفس النوع الذي نعالجه هنا $(n_{no} \approx 10^{22} \text{ m}^{-3})$ عند درجة حرارة الغرفة وتقابلها كثافة تيار $= 10^{-2}$ أمبير / م² وتكون القيمة في حالة وصلات $p - n$ من السيليكون أقل كثيراً .

وعندما يؤثر جهداً أمامي V على الوصلة $p - n$ تزداد كثافة التيار في الوصلة حتى تصل إلى قيمة كبيرة عند جهود صغيرة بالتعويض من المعادلة (٣٠) في المعادلة (٢٩) نحصل على :

$$(٣١) \quad J = J_{eq} \left(\exp \frac{\pm eV}{k_B T} - 1 \right)$$

ويوضح الشكل (١٥) رسماً تخطيطياً للمنحنى المميز تيار جهد الوصلة $(p - n)$ يتفق مع المعادلتين (٢٩) ، (٣١)



الشكل (١٥)

تم تمثيل التيار الأمامي والتيار الخلفي في الشكل بمقاييس رسم مختلفة نظراً لأننا لو استخدمنا نفس مقياس الرسم المستخدم في التيار الأمامي في حالة التيار الخلفي فإن الجزء الممثل من المنحنى للتيار الخلفي ينطبق على الأحداث \times (أحداث فرق الجهد).

$$\text{ف عند } V_r = \frac{1}{2} V \quad \text{تكون كثافة التيار العكسي } J_r = J_{eq}$$

$$\text{وعند } V_r = \frac{1}{2} V \quad \text{تكون كثافة التيار الأمامي}$$

$$J_{eq} e^{20 \cdot 0.5} = J_{eq} e^{10} \approx J_{eq} e^{20} \approx J_{eq} \times 10^9$$

نظراً $K_B T$ تساوى تقريباً 0.025 إلكترون فولت عند $T = 300$ كلفن. من هذا نرى أن نسبة التقويم عند هذا الجهد هي $\approx 10^9$ ، وهذا يدا على أن الوصلة $p - n$ يكون لها موصلية موحدة الاتجاه .

(د) تدهور خصائص التقويم عند درجات الحرارة العالية: تبعاً للمعادلة

$$\rho_{no} = n_i^2 / n_{no} , \quad n_{po} = n_i^2 / p_{po}$$

$$n_i = 2 \left(\frac{2\pi \sqrt{m_n m_p} kT}{h^2} \right)^{3/2} \exp(-E_g / 2k_B T) \quad \text{حيث}$$

ويمكننا بسهولة أن نرى أن n_i سترتفع بسرعة مع زيادة

درجة الحرارة في حين يظل

$n_{no} \approx N_d$ و $p_{po} \approx N_a$ ثابتة عملياً . لذلك يمكن أن تصبح n_i

عند درجة حرارة ما كبيرة إلى الحد n_{no} أو p_{po} عندئذ ستكون

تركيزات الحاملات غير السائدة عالية إلى الحد الذي تساوى فيه مع

تركيزات الحاملات السائدة .

$$\rho_{no} = n_i^2 / n_{no} \approx n_{no}^2 / n_{no} = n_{no} ,$$

$$n_{po} = n_i^2 / p_{po} \approx p_{po}^2 / p_{po} = p_{po}$$

وفي هذه الحالة يكون الجهد الحاجز للوصلة $p-n$ المسئولة عن

خصائص التقويم .

$$\phi_0 = k_B T \ln \frac{n_{no}}{n_i} \approx k_B T \ln 1 \approx 0$$

ومن المعادلة السابقة التي تستخدم في تعيين n_i نتبين أنه مع

زيادة درجة الحرارة المناظرة يزداد إتساع النطاق الممنوع (الفراغ

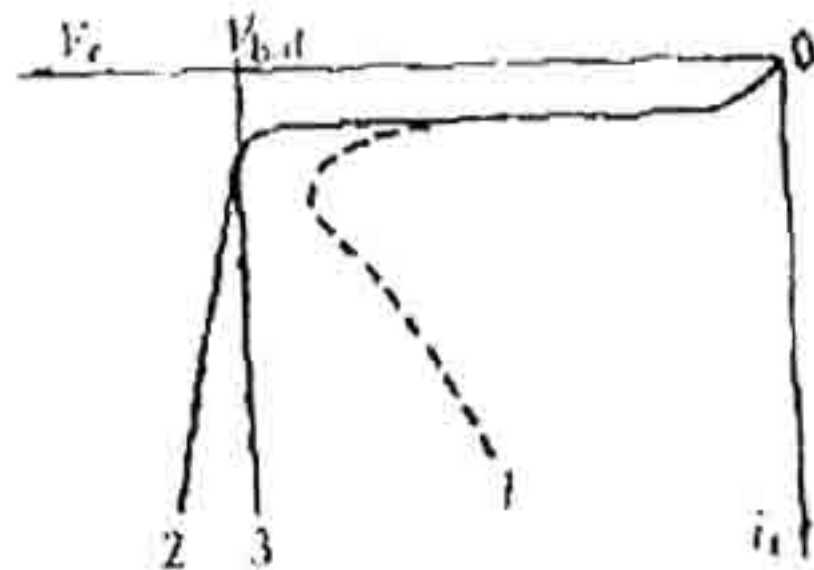
الطاقى E_g) فى شبه الموصل ولوصلات الجرمانيوم $p-n$ $E_g = 0.062$

الالكترون فولت) وتتراوح أعلى درجة حرارة تشغيل بين 75 – 90

سيليزيوس في حين أن وصلات السيليكون $\rho-n$ ($E_g = 1.12$ إلكترون فولت) يمكن أن تصل أعلى درجة حرارة تشغيل إلى 150 سيليزيوس .

(هـ) إنهيار الوصلات $\rho-n$:

مع الزيادة المستمرة للجهد الخلفي يمكن أن نصل إلى جهد إنهيار $V_{b,d}$ حيث تنخفض مقاومة الطبقة الحاجزة بشدة ويزداد التيار الخلفي أيضاً بشدة . تعرف هذه الظاهرة باسم ظاهرة إنهيار الوصلة $\rho-n$ الشكل (١٦)



الشكل (١٦)

وتوجد أنواع مختلفة من أنواع الإنهيار :

الإنهيارات الحرارية

تحدث الإنهيارات الحرارية - النفقية (زينر - Zener)
والإنهيار الإنهمارى (Avalanche) وذلك تبعاً لطبيعة العمليات
الفيزيائية التى تسبب نمو التيار الخلفى فجأة .

يحدث الإنهيار الحرارى عندما لا تتم إزالة الحرارة المتولدة
بالتيار الخلفى الذى يسرى فى الوصلة والذى يؤدى إلى إرتفاع درجة
الحرارة . ويؤدى الإرتفاع فى درجة الحرارة إلى زيادة التيار الخلفى
وهذا بدوره يرفع درجة الحرارة أكثر وأكثر . وتكون النتيجة هى
الإنهيار الحرارى للوصلة . الصفات التى تميز التيار فى مثل هذا
الإنهيار موضحة فى الشكل (١٦) المنحنى رقم 1 .

وعندما تكون شدة المجال الكهربى فى الوصلة مرتفعة بقدر
كاف تتأين ذرات شبه الموصل بالتصادم وينتج عن هذا الإنهيار
الإنهمارى الذى يعمل على زيادة تركيز حاملات التيار وهذا موضح
فى الشكل (١٦) المنحنى 2 .

فى حالة الوصلات الضيقة يتولد مجال كهربى بدرجة كافية
تجعل الإلكترونات تمر فى أنفاق خلال حاجز الوصلة $p - n$ ونتيجة
لذلك يحدث الإنهيار الذى يسمى الإنهيار النفقى أو إنهيار زينر مثل
هذا الإنهيار موضح فى الشكل (١٦) المنحنى 3

وفى معظم الحالات يكون لإنهيار الوصلة $p - n$ تأثير ضار
يحد من الاستخدام العملى لهذه الوصلة ، وفى نفس الوقت استخدم هذا
التأثير فى تطوير مدى واسع من نبائط أشباه الموصلات التى تسمى

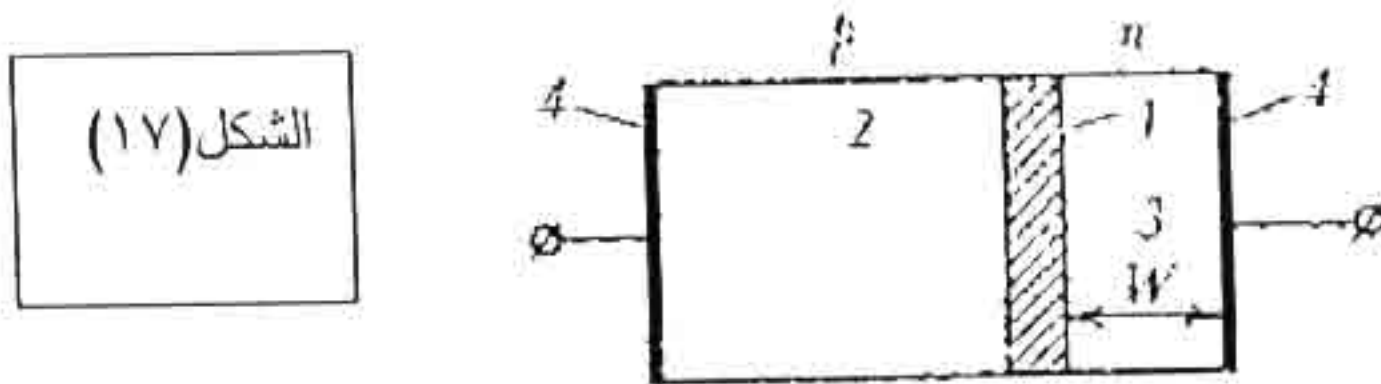
دايودات زينر المستخدمة كمنظمات جهد والتي سنناقشها في الفقرة التالية.

(٢-٥) المبادئ الأساسية لبنائط وصلات أشباه الموصل $p - n$

نعلم الآن أن التقدم السريع في الكرونيات أشباه الموصلات هي النتيجة المباشرة لتطوير تقنية الوصلة $p - n$ التي على أساسها تم تصميم نبائط مختلفة من أشباه الموصلات والمبادئ الأساسية لها نعرضها فيما يلي :

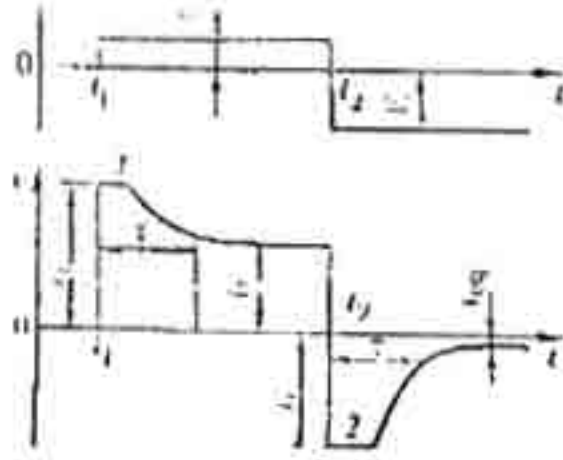
(١) الدايودات المستخدمة في التقويم

الخاصية تيار - جهد غير الخطية للوصلة $p - n$ الموضحة في الشكل (١٥) تساعد في استخدامها لتقويم التيار المتردد . فنبسط شبه الموصل ذات الطرفين التي تفي بهذه الوظيفة تسمى دايودات أشباه الموصلات المستخدمة في التقويم ويوضح الشكل (١٧) الرسم التخطيطي لمثل هذا الديود . ويتكون من وصلة $p - n$ والمنطقتان السالبة والموجبة هي المنطقتان 2 , 3 والوصلات الأومية 4 وتسمى



منطقة المقاومة النوعية العالية للبلورة بإسم قاعدة الدايود في الحالة الموضحة بالشكل تكون هي المنطقة السالبة وإتساعها W .

الشكل (١٨)



وفي وقتنا الراهن فإن دايودات الوصلة $p-n$ المستخدمة في التقويم مصنعة في معظمها من السيليكون . وتصل كفاءة هذه الدايودات إلى حوالي 100% وتتميز بصغر كتلتها وصغر أبعادها وسهولة إستخدامها . وهذا يجعلها أوسع إستخداماً في هذه التطبيقات . وأنواع الدايودات المختلفة مصممة لتقويم التيارات التي تتراوح كثافتها من عدة مللي أمبيرات إلى عدة الاف من الأمبيرات.

وفي حالة التيارات العالية توصل الدايودات على التوالي وتقع قيمة النهاية العظمى للجهد الخلفي من أنواع مختلفة في مدى يتراوح بين 50 - 60 فولت وقد تكون أعلى من ذلك في بعض الدايودات الخاصة . وعند إستخدامها كمقومات للجهود العالية . توصل الدايودات على التوالي وتقع التيارات الخلفية للأنواع المختلفة من المقومات في مدى يتراوح من بعض أجزاء الميكرو أمبير وعشرات من المللي أمبيرات .

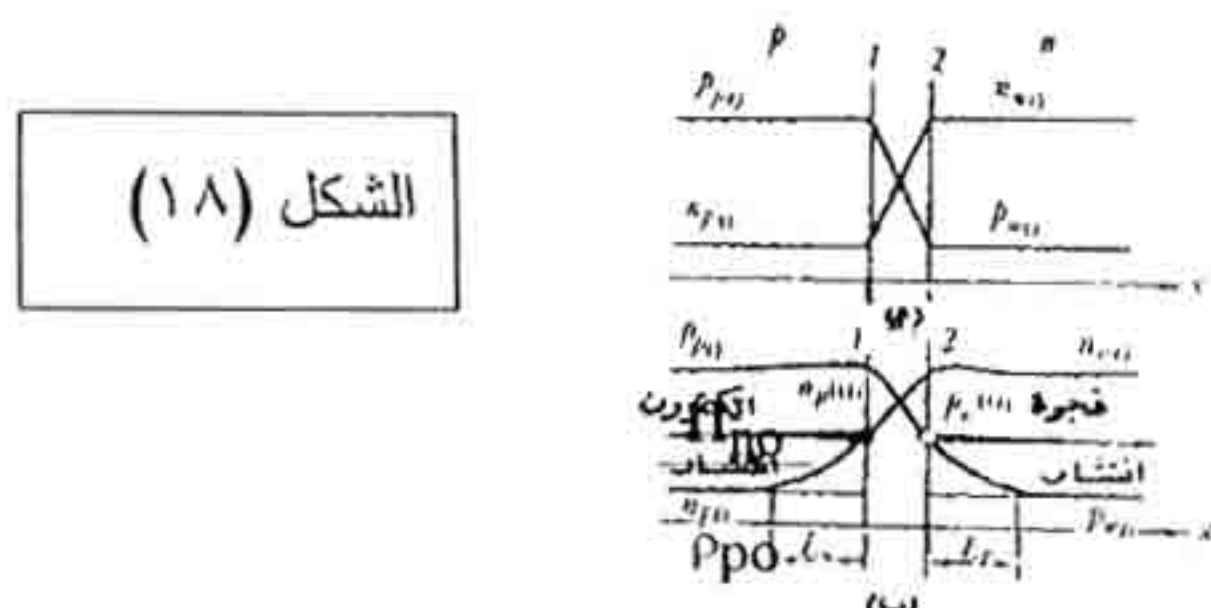
(٢) الدفع والدايودات عالية التردد

والمجال المهم الثاني لتطبيقات دايودات أشباه الموصلات هو مجال الدفع الإلكتروني ، إلكترونيات الحاسب الآلي ، التحكم الذاتي ، والنبائط ذات الترددات العالية جداً (VHF).

في مثل هذه التطبيقات يكون الدايود مطلوباً لتوليد نبضات مداهما الزمني كبير جداً ومعدل تكرارها كبير جداً . لذلك فإن أحد

متطلبات هذه الدايدات المصممة لمثل هذه الدوائر تتمثل في سرعة التشغيل أى فى سرعة القطع والفتح من الحالة المباشرة إلى الحالة العكسية . ولمعرفة ما يحدث عند نشأة هذه الحركة . سنعرض فيما يلى العمليات الفيزيائية التى تحدث عند فتح الوصلة $\rho - n$

يوضح الشكل (١٨ أ) توزيع حاملات الشحنة السائدة وغير



السائدة فى المنطقتين الموجبة والسالبة لوصلة $\rho - n$ متزنة . فعندما يؤثر جهد مباشر V على الدايد فإن حاجز الجهد لتلك الوصلة يهبط بمقدار $e V$ فى حين أن فيض الحاملات السائدة خلال الوصلة يزداد

$$\text{أسياً تبعاً للدالة } \frac{n_{no}}{p_{po}} \exp$$

ونتيجة لذلك يزداد تركيز الفجوات عند الحد الفاصل 1 ويزداد تركيز الإلكترونات عند الحد الفاصل 2 بحيث يكون

$$\rho_n (0) \gg \rho_{no}$$

$$n_p (0) \gg n_{po}$$

على التوالى ، الشكل (٢١ ب) .

□ ولسريان تيار مباشر يكون ضرورياً سحب حاملات الشحنة تلك إلى قطعة شبه موصل

سوف تسحب الفجوات إلى المنطقة السالبة والإلكترونات إلى المنطقة الموجبة . وإعادة إتحاد حاملات الشحنة غير السائدة هذه تحدث في المنطقتين أو عند الوصلة إذا كان إتساع المناطق صغيراً عند مقارنته بطول الإنتشار بها . وتبدأ إزالة الحاملات الشحنة غير السائدة إما بواسطة الإنتشار الذي يكون معدله أعلى كلما كان منحدر التركيز .

$$\left(\frac{\Delta P}{\Delta x} \right) \text{ عند الحد الفاصل كبيراً وكذلك } \frac{\Delta n}{\Delta x} \text{ للإلكترونات}$$

عند الحد الفاصل في بعض الدايودات الخاصة بواسطة إنزياح المجالات الكهربائية الناشئة . في اللحظة الأولى بعد تأثير الجهد الأمامي [الشكل (١٨ج)] يكون هذا المنحدر كبيراً جداً نظراً لأن الفجوات المنتقلة للمنطقة السالبة والإلكترونات المنتقلة للمنطقة الموجبة تتركز في طبقات ضيقة بجوار الحدين الفاصلين 1، 2 لذلك يكون التيار الأمامي الأولى في الدايود عالياً يحده عملياً مقاومة المنطقة الموجبة الجزء ١ من الشكل (١٨د) وعند دخول الفجوات المنطقة السالبة والإلكترونات المنطقة الموجبة تتخفض منحدرات تركيزها وهو نفس ما يحدث للتيار الأمامي .

(الشكل ١٨د) وبعد فترة زمنية تساوي العمر الزمني لحاملات الشحنة غير السائدة τ أو زمن إنتقال الحاملات الشحنة غير السائدة τ أو زمن إنتقال الحاملات غير السائدة من الحدين الفاصلين 1 ، 2 إلى

منطقة التوصيل 4 وهو عادة أقصر . وتتولد حالة منطقة توزيع مستقرة للفجوات في المنطقة السالبة ولالإلكترونات في المنطقة الموجبة (الشكل ١٨ ب) ويفترض من الشكل (١٨ ب) أن التقويم يصل إلى قيمته العادية التي يوضحها الشكل (١٨ د) .

وعندما تقفل أو تفتح الدايمودات في الحالة الخلفية بدلاً من الحالة الأمامية كما في الشكل (١٨ ج) يكون التيار العكسي الأولى عالياً جداً نظراً لأن تركيزات حاملات الشحنة غير السائدة عند الحدين الفاصلين 1 , 2 المسئولة عن هذا التيار تكون عالية .

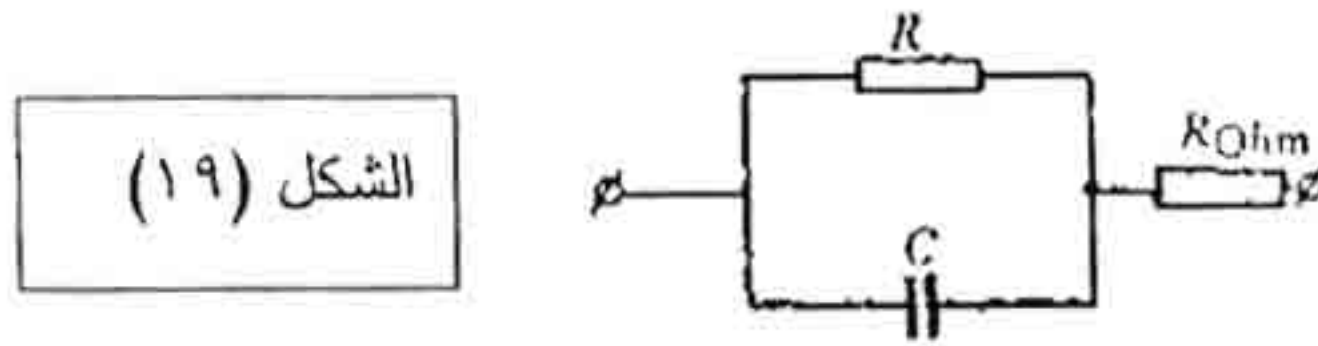
مقدار التيار تحده مقاومة المناطق الموجبة في الديود (الجزء 2 من الشكل ١٨ د) ومع الزمن يتلاشى المزيد من الحاملات عند الحدود الفاصلة تدريجياً وتنخفض تركيزاتها إلى قيم متزنة (n_{po}, p_{no}) (ويعود التيار الخلفي إلى قيمته العادية ، الشكل (١٨ د) تستغرق هذه العملية نفس الزمن كما في الحالة الولي (العمر الزمني أو زمن الانتقال)

، لهذا عند قفل أو فتح دائرة تحدث عملية إنتقال (لحاملات الشحنة المتراكمة) في حالة جهد الإنحياز الأمامي و تبديد الحاملات في حالة جهد الإنحياز الخلفي فإن هذا يحد من سرعة فتح الدائرة أو قطعها . ونظراً لأن تلك العمليات تستغرق فترة تساوي تقريباً العمر الزمني لحاملات الشحنة غير السائدة τ النقص في τ يزداد مع سرعة القفل أو الفتح وهذا يجعل من الممكن أن تصبح τ أقصر ما

يمكن . وثمة طريقة أخرى هي إنقاص زمن إنتقال الحاملات بجعل
الدايودات رفيعة بقدر الإمكان (عدة ميكرونات أو أقل) .

بناء على ما ذكرنا سابقاً يمكننا أن نستنتج أن الوصلة $p - n$
تسلك بالنسبة إلى إشارة قصيرة مترددة كمقاومة R متمركزة في الطبقة
الحاجزة على التوازي مع مكثف C للوصلة $p - n$ ، (الشكل ١٩) .

وعندما يؤثر جهد إنحياز أمامي فإن التيار الأولى خلال دايود
هو التيار الذى يشحن المكثف C قد يكون هذا التيار كبيراً بدرجة



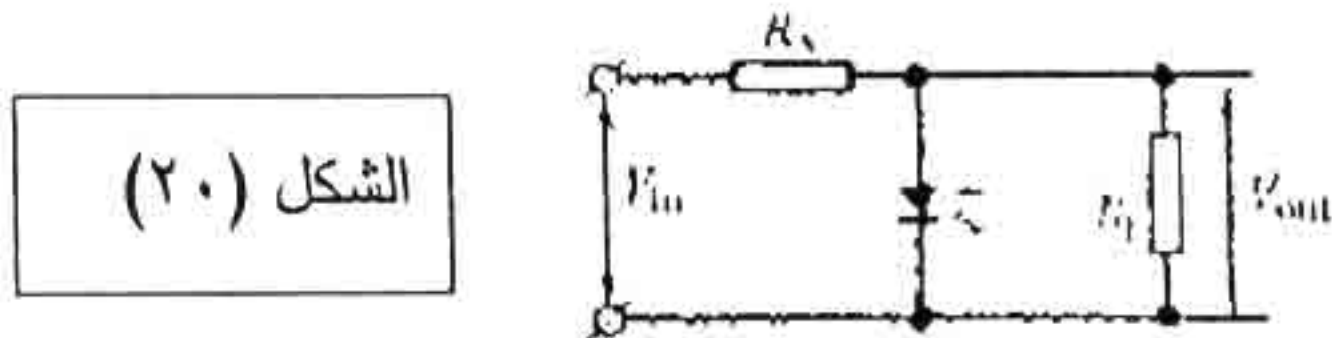
كافية. عندما يؤثر جهد بعد الإنحياز الخلفى على دايود

فإن التيار الخلفى الأولى هو تيار تفريغ المكثف وهذا التيار كبير
بدرجة كافية . ولتحسين سرعة دايود I وزيادة فاعلية التردد العالى
يكون من الضرورى انقاص السعة C للوصلة $p - n$ هذه العملية
تتم بإنقاص مساحة الوصلة $p - n$ إلى أقل ويساعد ما يمكن هذا
القياس وغيره من القياسات فى انقاص سرعات القفل والفتح إلى 10^{-9}
تقريباً ورفع الترددات العاملة إلى 10^9 هرتز .

منظمات الجهد

تسبب الزيادة الصغيرة في الجهد الخلفي في المدى الذي يسبق الإنهيار زيادة في التيار الخلفي ، [ارجع للشكل ١٦] يستخدم هذا التأثير لتثبيت الجهد وتسمى النبيطة بإسم دايود زينر المنظم للجهد .

ويوضح الشكل ٢٠ أبسط رسم تخطيطي لدائرة منظم جهد موحد الاتجاه باستخدام دايود زينر .
وعندما يزداد جهد الدخل V_{in} تنخفض مقاومة الدايدود فجأة

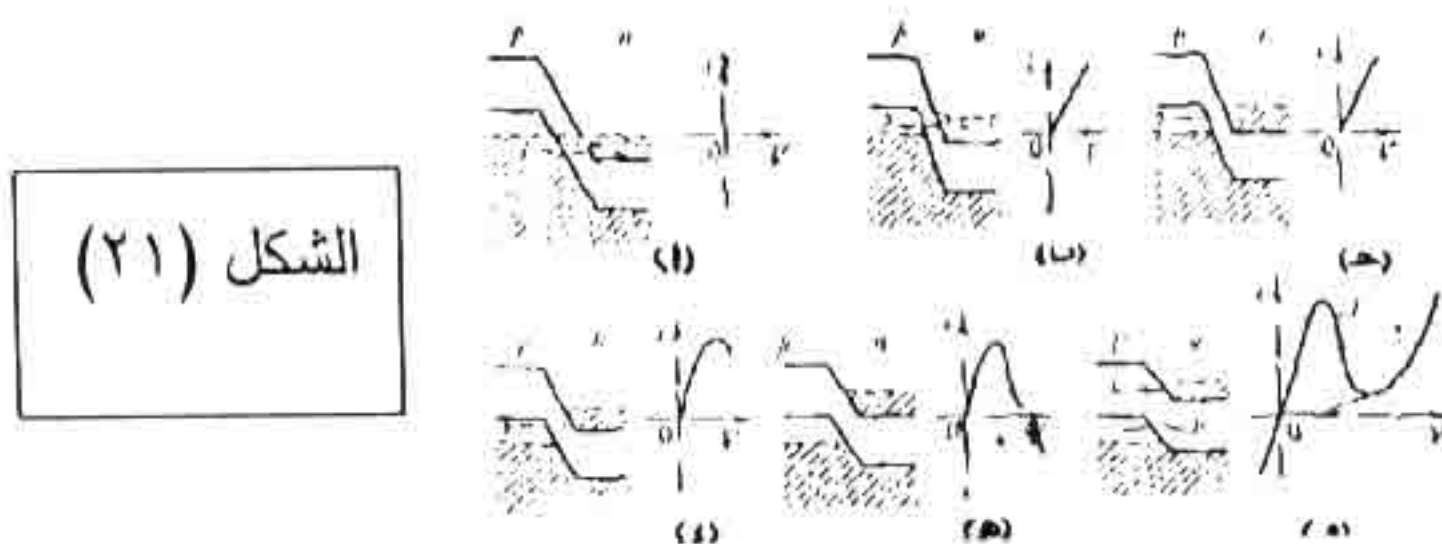


مسبباً زيادة إنخفاض الجهد عبر المقاومة R_v ، ويمكن أن يظل جهد الخرج V_{out} ثابتاً .

الدايودات النفقية Tunnel diodes

توجد بعض نبائط شباه الموصلات ذات أهمية بالغة . وتعرف هذه النبائط بإسم دايودات نفقية تستخدم ظواهر ميكانيكا الكم يتحرك الإلكترونات في أنفاق خلال حاجز ضيق .

وتتكون هذه الدايدودات من أشباه موصلات مطعمة بوفرة (أشباه موصلة منحلة) فيها لا يقع منسوب فيرمي في نطاق الطاقة



الممنوع وإنما يقع كما فى حالة الفلزات فى نطاق التوصيل لشبه الموصل السالب أو فى نطاق التكافؤ لشبه الموصل الموجب . ويوضح الشكل (١٢١) رسماً تخطيطياً لنطاق الطاقة لدايود نفقى فى حالة اتزان يتبين منه وجود تراكب جزئى لنطاق التكافؤ فى المنطقة الموجبة ونطاق التوصيل فى المنطقة السالبة . يتيح هذا امكانية تحريك الإلكترونات فى انفاق من المنطقة السالبة إلى المنطقة الموجبة (الفيز 1) ومن المنطقة الموجبة إلى المنطقة الموجبة إلى المنطقة السالبة (الفيز 2) ويكون الفيز 1 للتيار النفقى العكسى والفيز 2 للتيار المباشر .

وفى حالة عدم وجود مجال خارجى تكون هذه التيارات متساوية وينعدم التيار الكلى خلال الوصلة .

وعندما يؤثر جهد مباشر على الوصلة يصبح تراكب المنطقة أقل ، (الشكل ٢١ ب) ويزداد الفيز 2 بحيث يصبح أكبر من الفيز 1 ، لذلك يمر تيار مباشر خلال الوصلة يزداد مع زيادة الجهد المباشر V حتى يصل إلى قيمة عظمى يناظر جهداً ينطبق عنده قاع نطاق التوصيل للمنطقة السالبة على منسوب فيرمى للمنطقة الموجبة ، الشكل (٢١ ج) .

وعند زيادة V أكثر وأكثر يقل التيار المباشر بسبب النقص فى عدد المناسب المشغولة للمنطقة السالبة التى تقع مقابل المناسب الخالية للمنطقة الموجبة ، الشكل (٢١ د) وعند جهد V ينطبق عنده

نطاق التوصيل للمنطقة السالبة على قمة نطاق التكافؤ للمنطقة الموجبة
وينعدم تراكم المنطقة ، الشكل (٢١) وينعدم التيار النفقى

ومع ذلك يظهر تيار مباشر صغير كما فى حالة الداىود
العادى. وترتفع قيمته بسرعة مع أى زيادة مستمرة فى V متمشياً مع
المعادلة (٢٧) ، والشكل (٢١) .

ثمة ظاهرة ملحوظة للدايودات النفقية هى منطقية المقاومة
التفاضلية السالبة . (المنطقتان 1-2 فى خصائص مميزة تيار - جهد
المشابهة لتلك فى حالة داىود جن) وهذا يجعل من الممكن إستخدام تلك
الدايودات فى مولدات ذبذبات التيارات العالية جداً التى تصل تردداتها
إلى حوالى 10^{11} هرتز وبعد الداىود النفقى واحداً من النبائط الأولى
التي يكون زمن القفل والفتح فيها جزءاً من النانو ثانية " 10^{10} " ثانية .
وهذا يجعل من الممكن استخدامها فى الدوائر النبضية
للحاسبات الرقمية وفى دوائر تحكم مختلفة فقط حاملات الشحنة السائدة
هى الفعالة فى الداىودات النفقية وهذا يجعلها أقل حساسية للإشعاع
المؤين من نبائط أشباه الموصلات ثنائية القطب .

ولهذه الحقيقة أهمية خاصة فى اكتشاف الفضاء . ويعد التطور
فى الداىودات النفقية أحد الأمثلة المتميزة لاستخدام ميكانيكا الكم
وأصبحت بمثابة وسيلة عالية القدرة فى مجال الهندسة التى يمكن أن
تشارك بنصيب فعال فى تقدم التقنية الحديثة .

- ١- عرف كلاً من
 - أ) دالة الشغل
 - ب) فرق جهد التلامس
 - ج) التقويم
- ٢- مستعيناً بالرسم اشرح تأثير الطبقات الماصة على دالة الشغل
- ٣- بين كيف ينشأ فرق جهد التلامس لوصلة بين فلزين
- ٤- مستعيناً بالرسم اشرح تأثير مجال التلامس (مجال الوصلة) على مناسيب طاقة شبه موصل لوصلة فلز - شبه موصل .
- ٥- اشرح كيف تستنتج علاقة لحساب اتساع حاجز الجهد لوصلة فلز - شبه موصل
- ٦- ما هي الخطوات الأساسية لتحضير وصلة $p - n$
- ٧- اشرح بإيجاز حالة إتزان الوصلة $p - n$ مع الرسم
- ٨- اشرح خصائص التقويم بواسطة الوصلة $p - n$
- ٩- ما أنواع الإنهيار في الوصلة $p - n$ مع كتابة نبذة عن كل نوع
- ١٠- أكتب نبذة عن كل منهما :
 - أ) منظمات الجهد .
 - ب) الداودات النفقية .

الباب الثالث

الظواهر في التفسير

والجملتان في معانيه

الباب الثالث

الظواهر الكهروحرارية والجلفانومغناطيسية

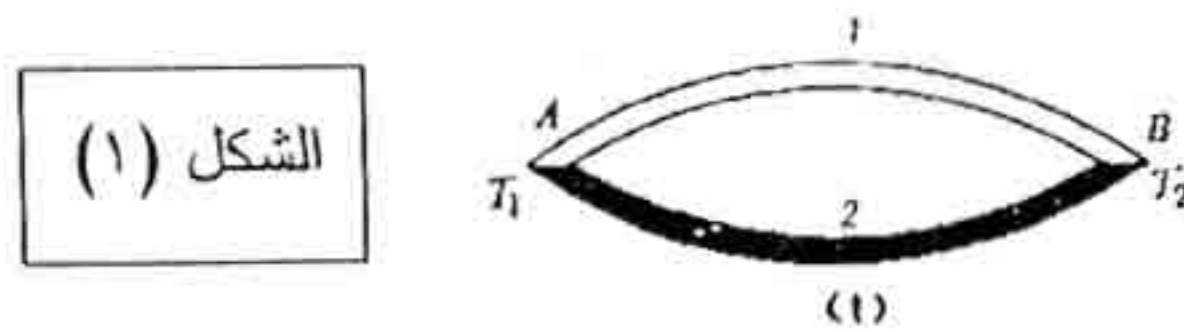
Thermoelectric and Galvanomagnetic phenomena

تتضمن الظواهر الكهروحرارية تأثيرات سيبك وبلتييه وطومسون . وتتضمن الظواهر الجلفانومغناطيسية تأثيرات هال وايتينج هاوزن ونرست . ولقد وجدت بعض هذه الظواهر طريقها إلى التطبيقات العملية ، لذلك فإن إمعان النظر في هذه الظواهر لن يلق اهتماماً من الوجة التعليمية فحسب بل من الوجة التطبيقية .

وسنحاول فيما يلي عرض الخلفية الفيزيائية لتلك الظواهر :

(١-٣) تأثير سيبك The Seebeck effect

اكتشف سيبك عام ١٨٢٢ أن قوة دافعة كهربية V_T تتولد في دائرة تتكون من موصلين 1 , 2 من مادتين مختلفتين وإذا حفظت الوصلتان A , B لهذين الموصلين في درجتى حرارة مختلفتين T_2 , T_1 ، الشكل (١ أ) فإن هذه القوة الدافعة الكهربائية تسمى " القوة الدافعة



الكهروحرارية".

وأوضحت التجارب أنه في مدى ضيق من درجات الحرارة تكون القوة الدافعة الكهروحرارية متناسبة مع الفرق بين درجتى حرارة الوصلتين :

$$(١) \quad V_T = S (T_2 - T_1)$$

ثابت التناسب هنا يتعين من العلاقة

$$(٢) \quad S = d V_T / d T$$

ويسمى القوة الدافعة الكهروحرارية التفاضلية أو النوعية كما يسمى معامل سيبك Seebeck coefficient . ويتوقف على مادة الموصلين وعلى درجة الحرارة .

وتوجد ثلاثة مصادر للقوة الدافعة الكهروحرارية هي :

(١) التيار الاتجاهى لحاملات الشحنة فى الموصل الناتج عند

تدرج درجة الحرارة (المركبة الحجمية V_v Volumetric component)

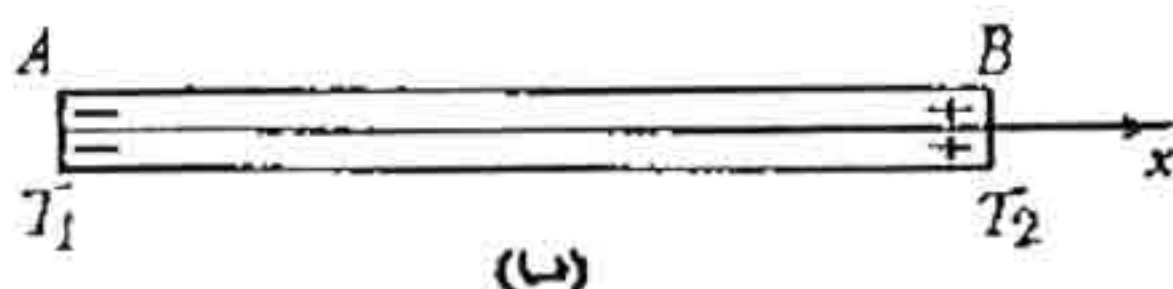
(٢) تغير موضع منسوب فيرمى (مركبة الوصلة junction component V_d)

(٣) انحراف الإلكترونات بواسطة الفونونات (فيما يسمى بظاهرة الإنحراف الفونوني) وسنناقش فيما يلي الطبيعة الفيزيائية لكل من هذه الظواهر .

(٢-٣) المركبة الحجمية للقوة الدافعة الكهروحرارية

لنأخذ موصلاً منتظماً يظل الفرق في درجة الحرارة $(T_2 - T_1)$ ثابتاً عند نهايتيه A , B ، الشكل (١ ب) ،

ومن ثم يوجد تدرج في درجة الحرارة $\frac{dT}{dx}$ في الاتجاه



من A إلى B . فيكون لحاملات التيار في الطرف الساخن طاقات أكبر وسرعات أكبر عن نظيرتها لحاملات التيار عند الطرف البارد . لهذا ، يسرى تيار في الموصل من طرفه الساخن إلى طرفه البارد . يقوم هذا التيار بشحن الموصل .

وجدير بالذكر أن الحالات التي تقوم الإلكترونات فيها بحمل التيار تؤدي إلى تجمع شحنات سالبة عند الطرف البارد وشحنات موجبة عند الطرف الساخن . ونتيجة لذلك يتولد بين الطرفين فرق جهد V . وهذا هو المركبة الحجمية للقوة الدافعة الكهروحرارية

وتكون القوة الدافعة الكهروحرارية التفاضلية أو النوعية المناظرة لهذا المركبة هي :

$$(٣) \quad S_v = \delta V_v / \delta T$$

ويمكن تقدير S_v كما يلي :

يتعين ضغط الغاز الإلكتروني في موصل من العلاقة :

$$(٤) \quad P = 2/3 n \overline{E}$$

حيث \overline{E} متوسط طاقة الإلكترونات في موصل ، n تركيزها .
وبتعيين \overline{E} من العلاقة :

$$(٥) \quad \overline{E} = E_F \left(1 + \frac{3}{5} \left(\frac{5 \pi^2}{12} \right) \frac{K_B T^2}{E_F} \right)$$

وينشأ عند تدرج درجة الحرارة تدرج في الضغط ليكافئ ما يولده المجال الكهربى فى الموصل . وبذلك يكون :

$$e \epsilon n = \frac{\delta P}{\delta x} = \frac{\delta P}{\delta T} \frac{\delta T}{\delta x}$$

ومن هنا يمكن تعيين S_v بسهولة حيث :

$$S_v = \frac{\delta V_v}{\delta T} = \delta \left(\frac{\delta T}{\delta x} \right)^{-1} = \frac{1}{e n} \frac{\delta P}{\delta T}$$

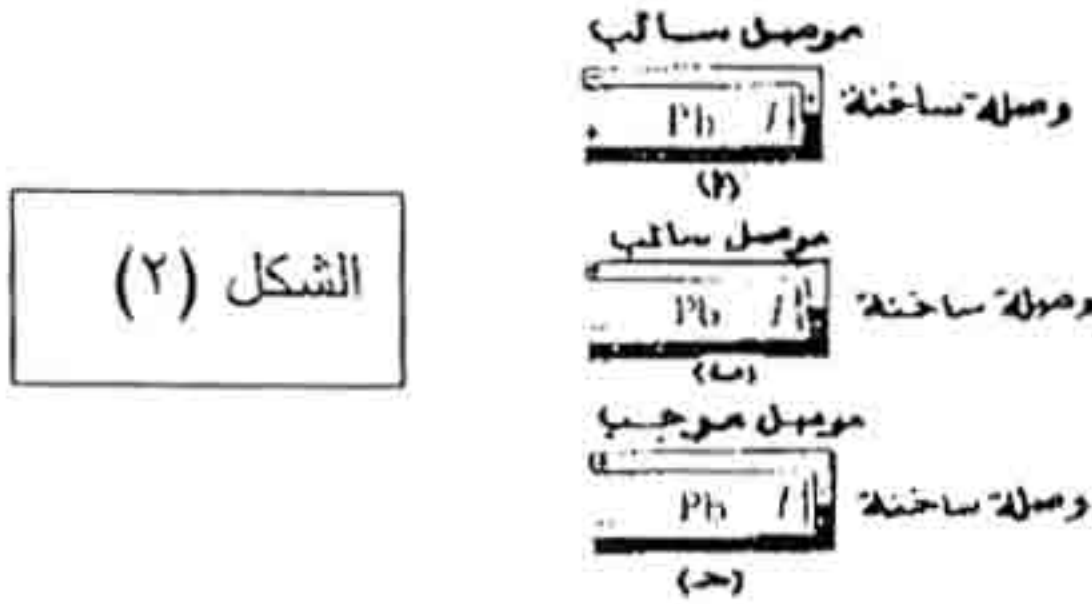
(٦)

ومن هنا تكون S_v فى موصل من النوع السالب متجهه من الطرف الساخن إلى الطرف البارد . ومع هذا توجد استثناءات لهذه القاعدة سنناقشها فيما بعد :

(٣-٣) مركبة الوصلة للقوة الدافعة الكهروحرارية

ينشأ عن التغير في درجة الحرارة تغير في موضع منسوب فيرمي . ففي موصل من النوع السالب ينخفض منسوب فيرمي في رسم بياني الطاقة مع ارتفاع درجة الحرارة .

ونتيجة لذلك سيكون منسوب فيرمي عند الطرف البارد أعلى مما هو عليه عن الطرف الساخن كما في الشكل (٢) . وسيكون الفرق



بين

موضعي منسوب فيرمي مكافئاً للفرق في الجهد .

$$(٧) \quad dV_j = - \frac{1}{e} \frac{\delta\mu}{\delta T} dT$$

وهذا هو بالضبط مركبة الوصلة للقوة الدافعة الكهروحرارية وتكون القوة الدافعة الكهروحرارية التفاضلية والنوعية المناظرة لهذا المركبة .

$$(٨) \quad S_j = - \frac{1}{e} \frac{\delta x}{\delta T} \quad \text{هي :}$$

ومن ثم تكون القوة الدافعة الكهروحرارية التفاضلية المحصلة هي :

$$(9) \quad S = \frac{1}{ne} \frac{\delta P}{\delta T} - \frac{1}{e} \frac{\delta \mu}{\delta T}$$

والمعادلة الأخيرة قابلة للتطبيق على الموصلات بجميع أنواعها .

(٣-٤) القوة الدافعة الكهروحرارية في الفلزات

بالتعويض عن متوسط الطاقة للإلكترونات لغاز الكتروني
منحل من المعادلة رقم (٥) في المعادلة رقم (٤) ، نحصل على
العلاقة التالية لضغط الغاز في الفلز :

$$P = \frac{1}{3} n \overline{E} = \frac{1}{3} n E_F + \frac{n \pi^2}{6 E_F} (K_B T)^2$$

بتفاضل هذه العلاقة بالنسبة لدرجة الحرارة T مع الضرب في $\frac{1}{ne}$

$$(10) \quad \frac{2}{3} S_v = \frac{2}{5} \frac{K_B}{e} \frac{\pi^2}{3} \frac{K_B T}{E_F}$$

بالتعويض من (٩) ، (١٠) في (٨) نحصل على :

$$(11) \quad S_m = - \frac{\pi^2 K_B}{6e} \frac{K_B T}{E_F}$$

ويمكن في حالة الفلزات الحصول على نتائج أكثر دقة
باستخدام العلاقة التي تتناسب فيها طاقة الإلكترونات طردياً مع مربع
المتجه الموجي . وفي هذه الحالة يمكن الحصول على العلاقة التالية :

$$(12) \quad S_m = \frac{\pi^2 K_B}{3e} (1 + r) \frac{K_B T}{E_F}$$

حيث r الأس الذي ترفع له الطاقة في العلاقة :

$$(13) \quad \lambda \propto E^r$$

التي تعبر عن علاقة متوسط المسار الحر للإلكترون بالطاقة .

ويتضمن الجدول ١ قيم r المناظرة لآليات استقطارية اللكترونات المختلفة.

الاستقطارية غى الاهتزازات الحرارية

الاستقطارية بذرات الشوائب الشبكة الأيونية الشبكة الذرية
 $T < \theta$ $T > \theta$

r 0 $1/2$ 1

ومن المعادلة (١٢) نتيبن أن $S_m \propto T^2$ للفلزات فى اتفاق تام مع النتائج التجريبية . ونظراً لأن $K_B T \ll E_F$ فإن القوة الدافعة الكهرحرارية للفلز تكون صغيرة تماماً . فللفضة على سبيل المثال :
 $E_F = 5.5 \text{ eV}$, $K_B T = 0.025 \text{ eV}$ عند $T = 300 \text{ K}$ ،
 بالتعويض عن هذه القيم فى العلاقة (١٢) نحصل على $S_m \approx 8 \times 10^{-6}$
 V/K وهى أقرب ما تكون إلى القيمة التجريبية $S_m \approx 8 \times 10^{-6} \text{ V/K}$

ومن المعادلة (١٣) نتيبن أنه عندما تكون $r < 0$ يكون للإلكترونات الأكثر طاقة أقصر متوسط مسار حر λ . ونظراً لأن تيار الانتشار فى هذه الحالة يكون موجهاً من الطرف الساخن إلى الطرف البارد ، ستتعاكس إشارة المركبة الحجمية للقوة الدافعة الكهروحرارية . وهذا قد يسبب انعكاس إشارة القوة الدافعية الكهروحرارية للفلز ككل . مثل هه التأثيرات تتم ملاحظتها على سبيل المثال فى بعض الفلزات الانفعالية وبعض السبائك.

كما سبق أن ذكرنا فإن المعادلة (١٢) تكون صالحة للفلزات عندما نأخذ فى الاعتبار علاقة E_R بمربع المتجه الموجى . وفى الفلزات والسبائك ذات سطح فيرمى المركب ، تختلف اسهامات أجزائه المختلفة ليس فقط فى القيمة المطلقة بل وفى إشارتها مع الأخذ فى الاعتبار أن القوة الدافعة الكهروحرارية قد تساوى الصفر أو أقرب ما تكون إليه . وعلى سبيل المثال ، القوة الدافعة الكهروحرارية للرصاص تساوى الصفر . ولهذا السبب تقاس القوة الدافعة الكهروحرارية بالنسبة للرصاص .



يتعين اتجاه التيار عند الوصلة الساخنة لإزدواج حرارى يتكون من موصل من النوع السالب والرصاص بواسطة قطبية شحنة الموصل .

ففى الحالة العادية عندما تكون الوصلة الساخنة للفلز موجبة الشحنة يسرى التيار الكهربى من الموصل إلى الرصاص ، الشكل (٣- أ) وفى هذه الحالة تعد القوة الدافعة الكهروحرارية للفلز سالبة . وفى حالة موصل من النوع السالب ذى شحنة شاذة ، يسرى التيار عند الوصلة الساخنة من الرصاص إلى الموصل وتكون S موجبة .

وستكون S موجبة أيضاً لموصل عادى من النوع الموجب عندما يكون طرفه الساخن موجب الشحنة ، الشكل (ج) ويمر التيار عند هذه الوصلة من الرصاص إلى الموصل (٣-٥) القوة الدافعة الكهروحرارية لشبه موصل

يتعين ضغط الغاز الالكترونى فى شبه موصل غير منحل من العلاقة

$$P = \frac{2}{3} n \bar{E} = n K_B T$$

بالتفاضل بالنسبة لدرجة الحرارة T والضرب فى ³ نحصل على :

$$(١٤) \quad S_V = \frac{K_B}{e} \left[1 + T \frac{\delta L_n n}{\delta T} \right]$$

ملاحظة :

$$n = 2 \left(\frac{2 \pi m K_B T}{h^2} \right)^{\frac{3}{2}} e^{\frac{\mu}{K_B T}}$$

وتؤدى الحسابات الدقيقة إلى أن :

$$(١٥) \quad S_V = \frac{K_B}{q} \left[r^{1/2} + T \frac{\delta L_n n}{\delta T} \right]$$

ويعطى الجهد الكيمىائى فى شبه موصل غير منحل بالعلاقة :

$$\mu_n = K_B T L_n \frac{n h^3}{2 (2\pi m n K_B T)^{\frac{3}{2}}}$$

وبتفاضل μ_n بالنسبة لدرجة الحرارة والضرب في $\frac{1}{e}$ نحصل على:

$$(16) \quad S_j = \left(\frac{K_B}{e} - \frac{3}{2} - \frac{\mu_n}{K_B T} T \frac{\delta L_n}{\delta T} \right)$$

بالتعويض من (١٥) ، (١٦) في (٨) نحصل على:

$$(17) \quad S_n = - \frac{K_B}{e} \left(r + \frac{1}{2} + 2 \frac{\mu_n}{K_B T} \right) \\ = - \frac{K_B}{e} \left(r + 2 + L_n \frac{2 (2\pi m K_B T)^{\frac{3}{2}}}{n h^3} \right)$$

الإشارة السالبة في الطرف الأيمن تتمشى مع قطبية القوة الدافعة الكهروحرارية حيث تكون :

$$(18) \quad S_p = \frac{K_B}{e} \left(r + 2 + L_n \frac{2 (2\pi m K_B T)^{\frac{3}{2}}}{n h^3} \right)$$

ولنحاول الآن حساب قيمة S لشبه موصل غير نقى ، على

سبيل المثال ، لجرمانيوم من النوع السالب $n = 10^{23} \text{ m}^{-3}$ عند T

300 K . بالتعويض عن هذه القيم في المعادلة (١٨) نحصل على

$S = 10^{-3} \text{ V/K}$. لذلك تكون القوة الدافعة الكهروحرارية لأشباه الموصلات أكبر بثلاث رتب عن نظيرتها في الفلزات .

وبالنسبة لشبه موصل يحتوى على حاملات شحنة بنوعيهما حيث يحمل التيار الكهربى كل من الالكترونات والفجوات ، تعطى القوة الدافعة الكهروحرارية بالعلاقة :

$$(١٩) \quad S_{n,p} = \frac{S_p p \mu_p - S_n n \mu_n}{p \mu_p + n \mu_n}$$

ونتبين من هذه العلاقة أنه عند تساوى تركيزات الالكترونات والفجوات تتساوى حركيتها ، فإن القوة الدافعة الكهروحرارية الكلية ستكون صغيرة جداً وقد تساوى الصفر .

(٣-٦) إنجراف الالكترونات بواسطة الفونونات

اكتشف جوريفتش هذه الظاهرة عام ١٩٤٥ . فمع تدرج الحرارة فى الموصل تتساق الفونات من طرفه الساخن إلى طرفه البارد بسرعة متوسطة v_{ph} .

فى وجود مثل هذا الانسياق فإن الالكترونات المستطارة بواسطة الفونونات المنساقة تكون متضمنة فى الحركة الموجهة من الطرف الساخن إلى الطرف البارد ، وستكون سرعتها مساوية v_{ph} تقريباً . تجمع الالكترونات عند الطرف البارد للموصل واستنفادها من الطرف الساخن يؤدى إلى ظهور القوة الدافعة الكهروحرارية v_{ph} .

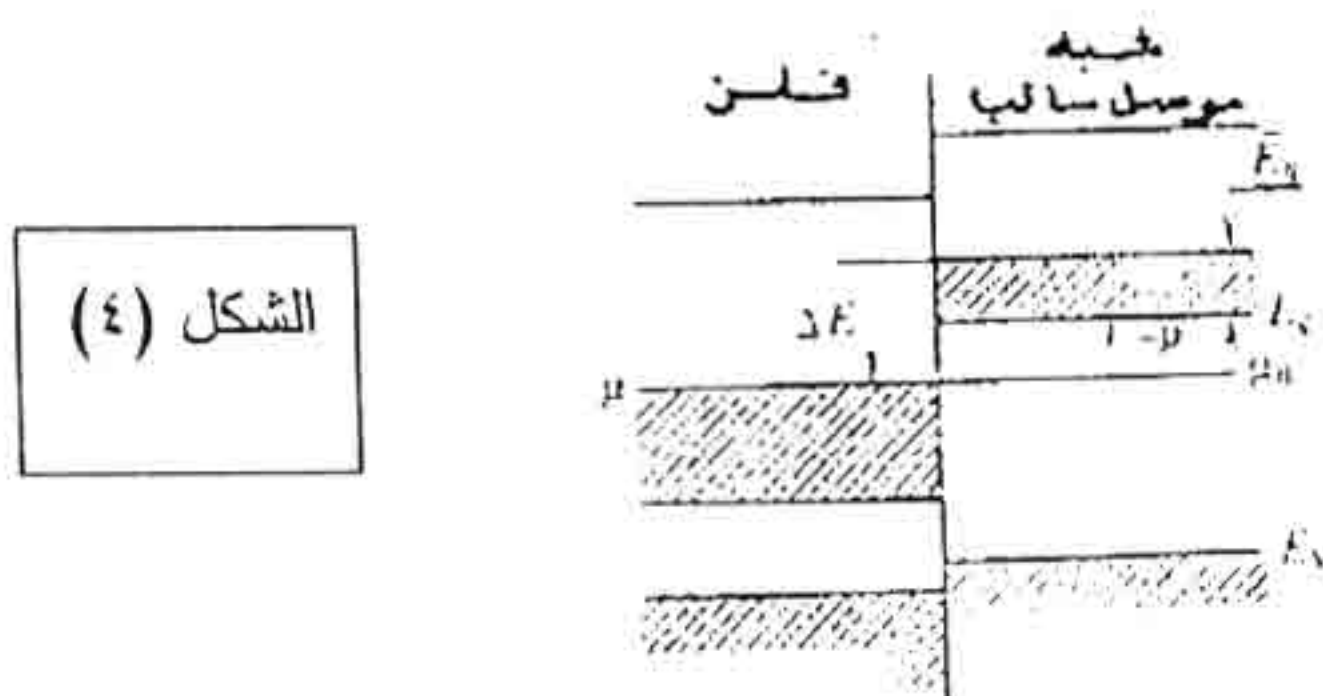
وقام بيكوس عام ١٩٥٦ بحساب القوة الدافعة الكهروحرارية
التفاضلية الناشئة عن الإنجراف الفوتوني حيث حصل على العلاقة
التالية :

$$(20) \quad S_{ph} = \frac{K_B}{3e} \frac{m_n v_{ph}^2}{K_B T} \frac{\tau_{ph}}{\tau_e}$$

هنا v_{ph} هي سرعة الانسياق الفونوني ، τ_{ph} ، τ_e زمنا التراخي
للفونونات والالكترونات على الترتيب .

في مدى درجات الحرارة المنخفضة ، فإن مركبة القوة
الكهروحرارية هذه تكون اكبر عشرات ومئات الممرات عن المركبة
الحجمية ومركبة الوصلة .

(٧-٣) تأثير بلتييه The Peltier effect



إذا مر تيار كهربى I فى دائرة تتكون من موصلين ١ ، ٢
من مادتين مختلفتين كما الشكل (٤) ، فإن كمية من الحرارة $Q = I^2 R t$
ستتحرر عند الوصلتين A ، B ، R مقاومة الوصلة ، t زمن
مرور التيار (نتيجة لتأثير جول . وعندما تكون الوصلتان لموصلين

متمثلين فإن هذه الحرارة هي فقط التي ستتحرر ، ومن وجهة النظر هذه لا يوجد اختلاف بين الوصلة وبقية الدائرة . لكن في نفس الوقت وبعيداً عن الحرارة المتولدة بتأثير جول ستتحرر أو تمتص كمية إضافية من الحرارة عند الوصلة المكونة من مادتين مختلفتين ، تعمل على تسخين الوصلة في الحالة الأولى أو تبريدها في الحالة الثانية .

هذه الظاهرة اكتشفها بلتييه عام ١٨٣٤ وتسمى لذلك تأثير بلتييه والحرارة الإضافية المحررة أو الممتصة تسمى "حرارة بلتييه" ،
 Q_p .

وتوضح التجارب أن هذه الحرارة تتناسب طردياً مع شدة التيار I وزمن مروره في الوصلة t .

$$Q_p = \Pi I t \quad (٢١)$$

ثابت التناسب Π يسمى معامل بلتييه . وتتوقف قيمته على المواد المكونة للوصلة ودرجة حرارتها .

يوجد ارتباط مباشر بين تأثير بلتييه وتأثير سيبك ، فالاختلاف في درجة الحرارة يسبب سريان تيار كهربى في دائرة تتكون من مادتين مختلفتين ، وسريان تيار كهربى في نفس الدائرة يولد فرقاً في درجة الحرارة . والعلاقة المعبرة عن هذا الارتباط ترجع إلى طومسون (لورد كلفن) الذى وضع أسس نظرية الديناميكا الحرارية للظواهر الكهروحرارية ، حيث يبين أن :

(٢٢)

$$S = \Pi / T$$

ويعزى تأثير بلتييه إلى الفرق بين متوسط طاقة الكترونات التوصيل في المواد المختلفة . فإذا أخذنا في الاعتبار ، كمثال ، وصلة من فلز وشبه موصل غير منحل من النوع السالب (الشكل 4) نبيين بعد الوصول إلى حالة التزان أن منسوبى فيرمى ينتوحدان . وستسهم في التوصيل الكهربى فى الفلز فقط تلك الإلكترونات التى توجد أقرب ما تكون لمنسوب فيرمى والتى تكون طاقتها المتوسطة مساوية عملياً لطاقة فيرمى .

ولنرمز لمتوسط طاقة الكترونات التوصيل فى شبه الموصل بالرمز $\overline{E_n}$. هذه الطاقة لاتساوى الطاقة الحرارية للإلكترونات $3K_B T/2$ نظراً لأن الدور النسبى الذى تلعبه الإلكترونات الأسرع أكبر من الدور الذى تلعبه الإلكترونات الأبطأ .
وتؤدى الحسابات فى حالة الغاز الألكترونى غير المنحل إلى :

(٢٣)

$$E_n = (r + 2) K_B T$$

حيث r هى الأس فى المعادلة (١٣)

ولنفرض أن التيار الكهربى الذى يسرى فى الوصلة يكون بحيث تسرى الإلكترونات من شبه الموصل إلى الفلز . نجد أن كل الكترون يقفز من شبه الموصل إلى الفلز [(الشكل ٢٤)] يحمل طاقة إضافية تساوى :

(٢٤)

$$\Delta E = \overline{E_n} + (-\mu_n)$$

هذه الطاقة هي حرارة بلتييه وهي التي تتحرر بالقرب من الوصلة . وعندما ينعكس أو يتغير اتجاه التيار ، فإن الإلكترونات التي تقفز من الفلز إلى شبه الموصل تمتص حرارة فتبرد الوصلة .
وبقسمة ΔE على شحنة الإلكترون نحصل على معامل بلتييه

$$(٢٥) \quad \Pi_{nn} = - \frac{\Delta E}{e} = - \frac{1}{e} \overline{(E_n - \mu_n)}$$

وبالتعويض عن μ من المعادلة

$$\mu = k_B T L_n \left[\frac{N}{V} \left(\frac{h^3}{2\pi m K_B T} \right)^{\frac{3}{2}} \right] e^{-e/k_B T}$$

وبالتعويض عن E_n من المعادلة (٢٥) نحصل على :

$$(٢٦) \pi_{nn} = \left[\frac{K_B T}{e} (r+2) + L_n \frac{2 (2\pi m_n K_B T)^{\frac{3}{2}}}{n h^3} \right]$$

وثمة معادلة مماثلة يمكن الحصول عليها من فلز وشبه موصل من النوع الموجب هي :

$$(٢٧) \Pi_{nn} = \frac{K_B T}{e} [(r+2) + L_n \frac{2 (2\pi m_p K_B T)^{\frac{3}{2}}}{n h^3}]$$

وبالنسبة لوصلة من فلزين يتعين معامل بلتييه من المعادلة (٢٣) حيث يكون :

$$(٢٨) \quad \Pi_{1,2} = (S_1 - S_2) T$$

وبالتعويض عن S من العلاقة (١٢) نحصل على :

$$(٢٩) \quad \Pi_{1,2} = \frac{\pi^2 K_B^2 T^2}{3e} (1+r) \left(\frac{1}{E_{F1}} - \frac{1}{E_{F2}} \right)$$

(٣-٨) تأثير طومسون The Thoms on effect

لننتصوّر موصلًا متجانسًا AB يتميز بوجود تدرج في درجة الحرارة $\frac{dT}{dx}$ على امتداد طوله يحمل تياراً كهربياً I ، ارجع للشكل (٣-١ ب). ولقد تنبأ طومسون نظرياً. أن في مثل هذا الموصل، وبعيداً عن الحرارة المتولدة بتأثير جول، تتحرر أو تمتص كمية إضافية من الحرارة Q_τ تتناسب طردياً مع شدة التيار I والفرق في درجة الحرارة $(T_2 - T_1)$ والزمن t ، يتوقف هذا على اتجاه التيار:

$$(٣٠) \quad Q_\tau = \tau I (T_2 - T_1) t$$

كمية الحرارة Q_τ تسمى حرارة طومسون وثابت التناسب τ يسمى معامل طومسون ويتوقف على مادة الموصل وعلى درجة الحرارة. وتبعاً للنظرية طومسون، فإن معامل طومسون لموصلين يرتبطان بالقوة الدافعة الكهروحرارية التفاضلية بالعلاقة:

$$(٣١) \quad \frac{d S_{1,2}}{dt} = \frac{\tau_1 - \tau_2}{T}$$

ويعزى تأثير طومسون إلى أنه في الموصل الذي يوجد به تدرج في درجة الحرارة لا يحمل فيض حاملات الشحنة الكهربائية فقط بل والحرارة أيضاً. ولنفرض أن التيار في الموصل AB، الشكل ١ - ب يسرى في الاتجاه المناظر لسريان الإلكترونات من الطرف الساخن B إلى الطرف البارد A. الإلكترونات الساخنة بوصولها إلى

المناطق الباردة تعطي طاقتها الزائدة التي تقوم بتسخين الموصل .
وعندما ينعكس اتجاهه يبرد الموصل .

وفي الحسابات الكمية لتأثير طومسون ينبغي الأخذ في
الحسبان أن القوة الدافعة الكهروحرارية المتولدة في الموصل تعمل في
الحالة الأولى على رد الإلكترونات وتعمل في الحالة الثانية على
تعجيلها . هذه القوة الدافعة الكهروحرارية لا تغير مقدار معامل
طومسون فحسب بل وإشارته .

(٣-٩) الظواهر الجالفانومغناطيسية

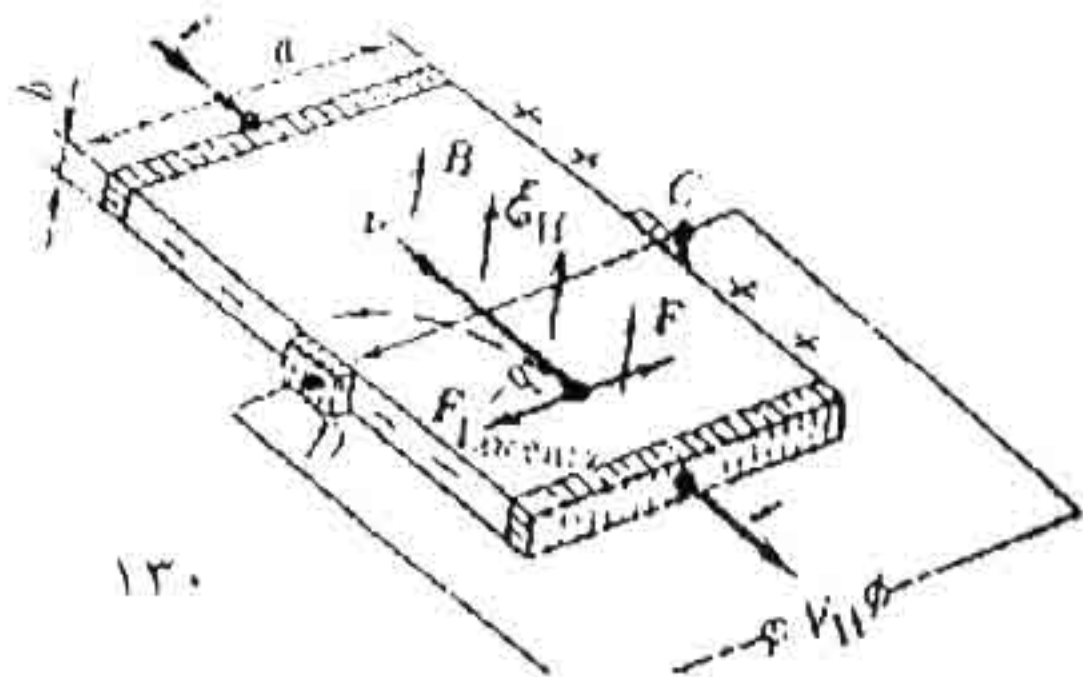
Galvanomagnetic phenomena

(١) تأثير هال The Hall effect

لنفرض تياراً كثافته J يسري في موصل اتساعه a وسمكه b
الشكل (٥) ولناخذ نقطتين C, D على وجهي الجانبين المتقابلين
بحيث يكون الفرق في الجهد بينهما يساوي الصفر . إذا وضعنا هذا
الموصل في مجال مغناطيسي كثافة فيضه B سيظهر فرق جهد V_H
بين النقطتين C, D سمى جهد هال .

الشكل (٥)

الشكل (٥)



وتوضح التجارب العملية أنه في حالة مجال مغنطيسي لا يكون قوياً بدرجة كافية :

$$V_H = R_H B J a \quad (33)$$

ثابت التناسب R_H يسمى معامل هال . وأبعاده $L^3 I^{-1} T^{-1}$ ووحدته متر مكعب لكل كولوم (m^3 / C) . ولناخذ الآن في الاعتبار منشأ تأثير هال .

قوة لورنتز F_{lorentz} المؤثرة على الكترون يتحرك من اليمين إلى اليسار بسرعة v ، الشكل (٥) تتعين من العلاقة :

$$F_{\text{lorentz}} = e v \times B$$

وإذا كانت v عمودية على B فإن القوة تتعين من :

$$F_{\text{lorentz}} = e v B$$

وتحرف قوة لورنتز الإلكترونات نحو الوجه الخارجى متخذة المسار المتقطع فى الشكل ، ويكتسب هذا الوجه شحنة سالبة ، بينما يكتسب الوجه المقابل شحنة موجبة . ويتولد عن هذا مجال كهربى ϵ_H اتجاهه من C إلى D .

$$\epsilon_H = V_H / a$$

حيث V_H هو فرق الجهد بين C , D وهو كما ذكرنا جهد هال.

وينشأ عن المجال ϵ_H قوة $F = e \epsilon_H$ تؤثر على الإلكترونات وتعمل فى اتجاه مضاد لقوة لورنتز . وعندما تكون $f =$

F_{larentz} لا يتكون مزيد من الشحنات على الوجهين المتقابلين للموصل.

من شروط الأتزان :

$$(34) \quad e v B = e \varepsilon_H$$

ومن ثم يكون :

$$\varepsilon_H = v B$$

وبضرب طرفي هذه العلاقة في المسافة a بين النقطتين C , D نحصل على :

$$V_H = a \varepsilon_H = v B a$$

وحيث أن :

$$j = e n v \quad \text{وبالتالي تكون} \quad v = j / e n \quad \text{فإن}$$

$$(35) \quad V_H = \frac{1}{ne} B j a$$

وهكذا نحصل نظرياً على علاقة تعبر عن V_H مماثلة لتلك المستنتجة عملياً لذلك يكون معامل هال هو :

$$(36) \quad R_H = \frac{1}{ne}$$

ويترتب على المعادلة (36) أنه بمعرفة القيمة المطلقة لمعامل هال وإشارته يمكننا إيجاد تركيز حاملات الشحنة في الموصل وإشارتها أو نوعها . ففي موصل من النوع السالب (حاملات الشحنة الكثرونات) تكون إشارة R_H سالبة ، وفي النوع الموجب (حاملات الشحنة فجوات) تكون إشارة R_H موجبة .

وإذا قسنا إضافة لذلك الموصلية الكهربائية $\sigma = e n \mu$ للموصل. فإنه يمكننا حساب حركية حاملات الشحنة μ من العلاقة

$$R_H \sigma = \mu_H \quad (37)$$

الحركية μ_H المعينة من العلاقة (37) والتي تسمى حركية هال Hall mobility قد لا تتطابق مع حركية الانسياب المعينة من العلاقة μ
 $\mu = v_d / E$

وجدير بالذكر أن استنتاج العلاقة (36) تم بافتراض أن كل حاملات الشحنة لها نفس السرعة v . مثل هذا الافتراض صحيح في حالة الفلزات وأشباه الموصلات المنحلة لكنه ليس مقبولاً في حالة أشباه الموصلات غير المنحلة التي تتوزع فيها سرعات حاملات الشحنة تبعاً لدالة بولتزمان. وفي مثل هذه الحالة فإن، الحسابات الدقيقة تؤدي إلى :

$$R_H = A / en \quad (38)$$

حيث A ثابت يتوقف على آلية الاستطارة لحاملات الشحنة في البلورة وقيم A موضحة في الجدول الآتي :

الاستطارة بالأهتزازات الحرارية

جدول (٢)

	الشبكة الأيونية		الاستطارة بأيونات الشوائب	الشبكة الذرية
	$r < \theta$	$T > \theta$		
A	1.17	0.99	1.11	1.93

وفى أشباه الموصلات ثنائية القطبية تحمل التيار أنياً كل من
الالكترونات والفجوات .

ونظراً لأن شحناتها متضادة وأنها تتحرك فى إتجاهين
متضادين فى مجال كهربى ، فإن قوة لورنتز $F_{\text{Lorentz}} = e v \times B$
نحرفها فى نفس الاتجاه . وبسبب هذا يكون جهد هال ومعاملات هال
أصغر من نظيرتها فى شبه موصل أحادى القطبية .
وفى أشباه الموصلات ثنائية القطبية يتعين معامل هال من العلاقة :

$$(٣٩) \quad R_H = \frac{A (\mu_p - \mu_n)}{N_i e (\mu_p + \mu_n)}$$

حيث n , p تركيز الالكترونات والفجوات على الترتيب ، μ_p ,
 μ_n حركتها وتتوقف إشارة R_H على أى الحدين فى البسط أكبر . R_H
موجب .

وفى شبه الموصل النقى حيث يكون $n = p = n_i$ تأخذ العلاقة
السابقة الشكل :

$$(٤٠) \quad R_H = \frac{A}{n_i q} \frac{\mu_p - \mu_n}{\mu_p + \mu_n}$$

ويترتب على هذه العلاقة أن إشارة معامل هال تتعين بنوع حاملات الشحنة ذات الحركية الأكبر في المدى الذي تسلك فيه أشباه الموصلات سلوك أشباه الموصلات النقية . وكقاعدة تكون حاملات الشحنة هذه هي الكثرونات . لذلك عندما يتحول شبه موصل غير نقي من النوع الموجب إلى شبه موصل نقي تتغير إشارة معامل هال .

ويوضح الجدول (٣) معاملات هال لبعض الفلزات وبعض أشباه الموصلات النقية (في درجة حرارة الغرفة) .

الجدول (٢)

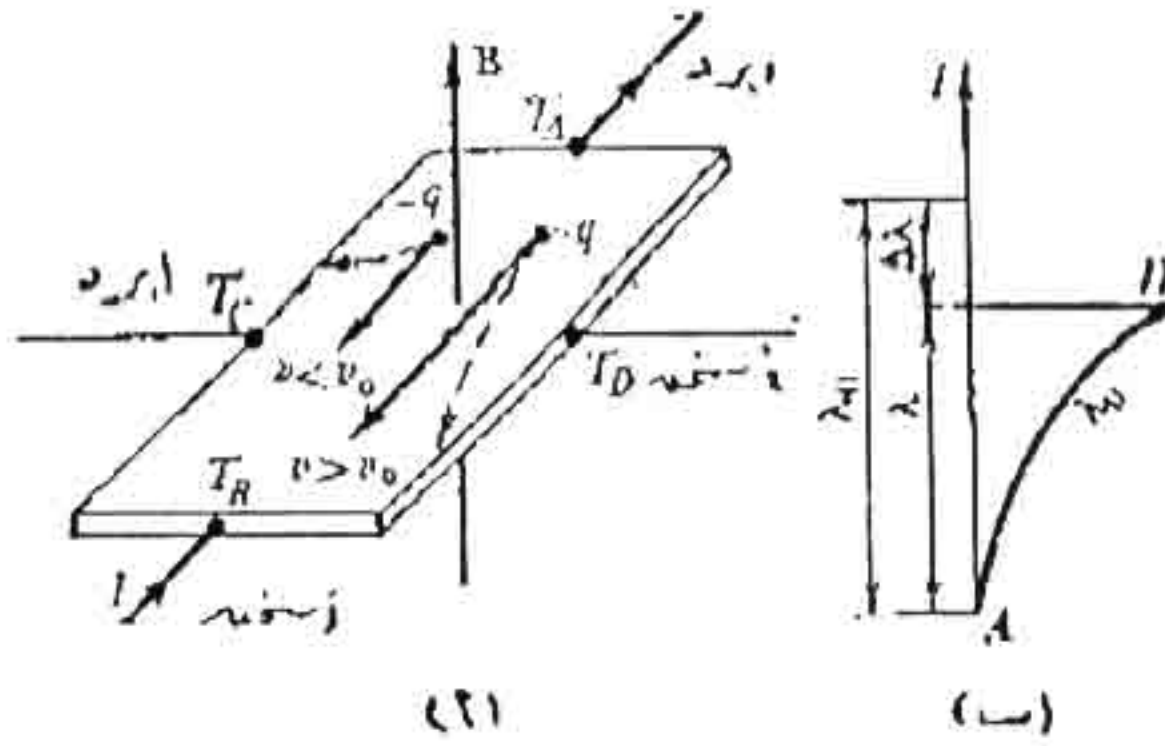
	Cu	Zn	Bi	Ge	Si
RH ($10^{-11} \text{ m}^3 / \text{c}$)	5.5	3.3	10^3	10^{10}	10^{13}

ومن هذا الجدول نتبين أن معامل هال لأشباه الموصلات أكبر بعدة رتب من نظيره للفلزات . تفسير هذا يرجع إلى أن تركيز حاملات الشحنة في أشباه الموصلات أقل كثيراً من تركيزها في الفلزات مع أن حركيتها من ناحية أخرى أكبر كثيراً من نظيرتها في الفلزات .

(٢) تأثير ايتنج هاوزن Ettingshausen effect

تتفاوت السرعات الحرارية للإلكترونات في أشباه الموصلات غير المنحلة تفاوتاً كبيراً وفي مثل هذه الظروف تصبح المعادلة (٣٤) غير صالحة لجميع الإلكترونات دائماً ، فقط لتلك الإلكترونات التي تكون متوسطات سرعاتها v_0 . وبالنسبة للإلكترونات التي تكون سرعتها $v_0 > v$ سيكون $e v B < e \epsilon_{II}$ وعندئذ ستتحرّف هذه

الشكل (٦)



الإلكترونات نحو الوجه الأيمن للموصل ، الشكل (١٦) . وبالنسبة للإلكترونات التي تكون سرعتها $v_0 < v$ سيكون $e v B > e \epsilon_{II}$ وعندئذ ستتحرّف نحو الوجه الأيسر للموصل .

الإلكترونات الأسرع التي تصل إلى الوجه الأيمن تفقد طاقتها إليه وتؤدي بالتالي إلى سخونته . والإلكترونات الأبطأ التي تصل إلى الوجه الأيسر تعوض ما ينقصها من طاقة على حساب الطاقة الحرارية

للبلورة ومن ثم تؤدي إلى برودتها . ولهذا يتولد فرق عرضي في درجة الحرارة $T = T_D - T_C$ وتعرف هذه الظاهرة بإسم تأثير ايتنج هاوزن (مصطلح عرضي يرجع إلى أنه عمودي على اتجاه سريان التيار)

(٣) تأثير نيرمست Nenst effect

من المعروف أن الإلكترونات التي تدخل مجالا مغناطيسيا منتظما B عمودي على اتجاه سرعاتها v تبدأ في الحركة في مسار دائري نصف قطره

$$r = \quad (٤١)$$

ويترتب على المعادلة (٤١) أن الإلكترونات الأسرع تدور تحت تأثير المجال المغناطيسي بمعدل أقل من الإلكترونات الأبطأ لذلك يكون الوجه الأمامي للموصل أكثر غنى بالإلكترونات الساخنة ويكون الوجه الخلفي للموصل أكثر غنى بالإلكترونات الأبطأ ونتيجة لذلك يسخن الوجه الأمامي ويبرد الوجه الخلفي . ويتولد نتيجة لذلك فرق طول في درجة الحرارة هو $(T_B - T_A)$. وهذا هو تأثير نيرمست .

(٤) المقاومة المغنطيسية

في شكل (٦ - ب) يتضح أن مسارات الإلكترونات في مجال مغنطيسي بسرعات تختلف عن v_0 تكون مسارات منحنية . ويؤدي هذا إلى إنقاص متوسط المسار الحر الفعال لها

فى إتجاه التيار الكهربى . وإذا كان متوسط المسار الحر فى اتجاه التيار فى حالة عدم وجود المجال المغناطيسى هو λ_0 .
وتحت تأثير المجال المغناطيسى يكون مساوياً مسقط القوس AD على اتجاه التيار J ، أى أن :

$$\lambda = \lambda_0 - \Delta\lambda$$

وحيث أن حركية حاملات الشحنة μ تتناسب طردياً مع متوسط المسار الحر ، فإن النقص $\Delta\lambda$ فى متوسط المسار الحر سيؤدى إلى نقص فى الحركية $\Delta\mu$ وإلى نقص فى الموصلية الكهربائية $\Delta\sigma$ لشبه الموصل بحيث يكون :

$$\Delta\sigma / \sigma = \Delta\mu / \mu = \Delta\lambda / \lambda_0$$

وتزودنا الدراسات النظرية بعلاقة تربط بين الزيادة فى المقاومة النوعية لشبه موصل غير نقى أحادى القطبية :

$$(٤٢) \quad \frac{\Delta\rho}{\rho} = C \mu^2 B^2$$

حيث B كثافة الفيض المغناطيسى ، C ثابت يتوقف على آلية استطاره حاملات الشحنة .

النسبة $\frac{\Delta\rho}{\rho}$ تسمى المقاومة النوعية المغنطيسية . ويترتب على العلاقة (٤٢) أنه بقياس المقاومة النوعية المغنطيسية يمكن للمرء مباشرة إيجاد حركية حاملات الشحنة .

التطبيقات العملية للظواهر الكهروحرارية والجلفانومغناطيسية :

(١) الظواهر الكهروحرارية : ظل التطبيق الوحيد لتأثير سيبك هو التطبيق الوحيد لوقت طويل . فبوضع إحدى وصلات الإزدواج الحرارى فى ثيرموستات فى درجة حرارة ثابتة وضعت الوصلة الأخرى فى الوسط المراد قياس درجة حرارته . يمكن تعيين هذه الدرجة من القوة الدافعة الكهروحرارية المتولدة فى الإزدواج .

مثل هذه القياسات بسيطة وتعطى درجة دقة كافية ويمكن إستخدامها فى مدى واسع من درجات الحرارة .

ومع ذلك وبعد إكتشاف أشباه الموصلات أصبح من الممكن إستخدام تأثير سيبك لتحويل الطاقة الحرارية مباشرة إلى طاقة كهربية .

النبائط المستخدمة لهذا الغرض تسمى المولدات الكهروحرارية والعناصر المستخدمة فيها تسمى العناصر الحرارية . وتم إنتاج أول مولد كهروحرارى قبل الحرب العالمية الثانية ولقد أستخدم أثناء الحرب لتشغيل أجهزة الراديو حيث تثبت الموصلات الكهروحرارية عند قاع براد يتم تسخينه فى عملية غليان الماء وفى عام ١٩٥٣ تم إنتاج نوع تجارى للمولدات الكهروحرارية قدرته 3 وات وأخيراً تم إنتاج مولدات كهروحرارية قدرتها ١ كيلو وات وأكثر حالياً تصل قدرة المولدات الحرارية إلى مئات الكيلووات وفى منتصف السبعينات ظهرت مولدات كهروحرارية تستخدم الطاقة الحرارية المتولدة فى عملية الإضمحلال النووى للعناصر الكيميائية أحد هذه المولدات يسمى

بيتا 1 قدرته من 100 , 150 ويتم تشغيله بواسطة نظير السيريوم المشع (Ce 144) وتم تصميمه لتزويد محطات الراديو مטרولوجي الأتوماتيكية والأقمار الصناعية الأرضية بالقدرة الإلكترونية فمزال العمل في تطوير المولدات الكهروحرارية قائماً لاستخدام الطاقة الحرارية للإشعاع الشمسي . ويستخدم في تأثير بيلتييه على نطاق واسع من النبائط المبردة والمختلفة : الثلاجات المنزلية ، النبائط المستخدمة في تبريد الأجهزة الإلكترونية للطائرات ، في المبردات الصغيرة جداً المستخدمة في التطبيقات البيولوجية ، إلخ وأصبح من الممكن استخدام تأثير بلتييه في تدفئة مستشفى بالكامل في الشتاء وتبريدها في الصيف .

(٢) الظواهر الجلفانومغناطيسية : لعل أبرز تطبيق لهذه الظواهر هو تأثير هال وبعيداً عن استخدامه في دراسة الخصائص الكهربائية للمواد يمكن استخدامه في تصميم العديد من الأجهزة مثل الماجنيتومترات ، والمحولات من التيار الموحد الإتجاه إلى التيار المتردد والعكس ومولدات الإشارة والميكروفونات ... إلخ .

وقامت عدة محاولات لاستخدام تأثير إيتينج هاوزن في تبريد النبائط في الإختيار الصحيح للمولدات وبالشكل المناسب للبلورة المبردة أصبح من الممكن الحصول على درجات حرارة لوجه البلورة البارد تقل بمقدار مائة درجة عن الوسط المحيط .

- ١ - ما المقصود بتأثير سيبك ؟
- ٢ - بين كيف تستنتج علاقة للمركبة الحجمية للقوة الدافعة الكهروحرارية مع الرسم ؟
- ٣ - استنتج علاقة لمركبة الوصلة للقوة الدافعة الكهروحرارية .
- ٤ - اشرح القوة الدافعة الكهروحرارية للفلزات .
- ٥ - اشرح القوة الدافعة الكهروحرارية لأشباه الموصلات
- ٦ - مستعيناً بالرسم - اشرح تأثير بلتييه .
- ٧ - وضح المقصود بتأثير طومسون .
- ٨ - اشرح تأثير هال مبيناً كيف يمكن تعيين معامل هال .
- ٩ - مستعيناً بالرسم - اشرح ما نعنيه بتأثير إيتنج هاوزن .
- ١٠ - اشرح كيفية تغير مقاومة الموصل في المجالات المغناطيسية موضحاً المقصود بالمقاومة المغناطيسية .
- ١١ - بين أوجه الاستفادة من تعيين معامل هال لمادة شبه موصلة .
- ١٢ - أذكر أهم تطبيقات الظاهرة الكهروحرارية والظاهرة الجلفانوسكوبية .

الباب الرابع

الخصائص الضوئية للجوامد

الباب الرابع
الخصائص الضوئية للجوامد
Optical properties of solids

(٤ - ١) طيف الامتصاص الضوئي

Light – Absorption spectrum

عندما يمر أو يخترق الضوء جامدا ، فإنه يتفاعل معه ويحدث تبادل للطاقة عملية التفاعل . لنرمز بالرمز J لشدة الضوء أى لكمية الطاقة الضوئية التى تعبر وحدة المساحات العمودية على اتجاه انتشار الضوء . ويتعين جزء الطاقة المنعكس عند سطح الجسم بمعامل العكس أو العاكسية R حيث :

$$(١) \quad R = \frac{J_R}{J_0}$$

ويطلق على علاقة العاكسية بتردد الضوء الساقط $R (W)$ أو على الطول الموجى $R (\lambda)$ اسم طيف الانعكاس . ويخضع على الضوء الذى يمتص أثناء عملية الاختراق إلى قانون بورجر - لا مبرت Bourguer – Lambert

$$(٢) \quad J (x) = J_0 (1 - R) e^{-\alpha x}$$

حيث x المسافة التى قطعها الضوء من سطح الجسم مقاسة على طول الشعاع الضوئى ، α معامل الامتصاص absorption

coefficient ويساوى المقدار \propto^{-1} المسافة التى يتم فيه توهين شدة الضوء بمقدار e مرة .

وأحياناً يحل محل معامل الامتصاص ما يسمى بمعامل الانكسار التخيلي أو المركبة التخيلية لمعامل الانكسار المركب $(n = n - ik)$ حيث n معامل الانكسار الحقيقى . ويرتبط معامل الامتصاص α بمعامل الانكسار التخيلي K بالعلاقة

$$(3) \quad \alpha = \frac{4\pi K}{\lambda}$$

ومن النظرية الكهرومغناطيسية للضوء نتبين أن

الانعكاسية فى حالة السقوط العمودى يعبر عنها بالعلاقة:

$$(4) \quad R = \frac{(n-1)^2 + K^2}{(n+1)^2 + K^2} = \frac{(n-1)^2 + \frac{\lambda^2}{16\pi^2} \alpha^2}{(n+1)^2 + \frac{\lambda^2}{16\pi^2} \alpha^2}$$

وتدل المعادلة (٤ - ٤) على أن الانعكاسية R تتوقف على معامل الامتصاص ، حيث تزداد الانعكاسية بزيادة معامل الامتصاص وعندما تكون $K \gg 1$ فإن $R = 1$ واحد صحيح أى أن الضوء الساقط ينعكس كلية . وهذا يفسر العاكسات (المرايا) الجيدة المصنعة من الفلزات لذلك إذا امتصت مادة الضوء بشدة فى بعض مناطق الطيف

فإنها تعكسه أيضاً في نفس مدى الطيف بكفاءة عالية . ومع ذلك نتبين من المعادلة (٤-٤) أن الانعكاس يحدث في حالة عدم وجود الامتصاص إذ تصبح المعادلة (٤ - ٤) على الصورة .

$$(٥) \quad R = \frac{(n-1)^2}{(n+1)^2}$$

نأخذ مثلاً على ذلك عازلاً شفافاً كالزجاج معامل الانكسار له $n = 1.5$ بالتعويض عنه في المعادلة السابقة نجد أن $R = 0.04 = 4\%$ ومن المعروف أن قيم n لمعظم أشباه الموصلات تكون أكبر من معامل انكسار الزجاج للجرمانيوم $n = 4$ لذلك تصل R له إلى 36% في منطقة الطيف التي يصبح فيها الجرمانيوم شفافاً للضوء .

(٤-٢) استنتاج قانون بوجير - لامبيرت

Bouguer – Lambert

لاستنتاج هذا القانون نأخذ طبقة (x) ($x + dx$) يمر خلالها الضوء . تتناسب كمية الطاقة الممتصة في طبقة سمكها dx تناسباً طردياً مع سمك الطبقة كما تتناسب طردياً مع الطاقة الضوئية J (x) التي تصل إلى الطبقة $x + dx$, x وإذا رمزنا لثابت التناسب بين الطاقة الممتصة والطاقة الساقطة بالرمز α يمكننا كتابة

$$(٦) \quad -dJ(x) = \alpha J(x) dx$$

ونظراً لأن امتصاص الطاقة ينقص شدة لضوء لابد من وجود الإشارة السالبة أمام dJ لذلك تكون α هي كمية الطاقة الممتصة لحزمه ضوئية شدتها الوحدة في طبقة سمكها الوحدة وبتكامل المعادلة (٤ - ٦) نحصل على

$$(٧) \quad J(x) = J(0) e^{-\alpha x}$$

وإذا عبرنا عن الشدة J بدلالة عدد الفوتونات المكونة للحزمة الضوئية نجد أنه إذا كانت q_1 هي عدد الفوتونات في وحدة الحجم من الحزمة الضوئية عندئذ سيمر عدد من الفوتونات $q_1 C$ خلال وحدة المساحات في وحدة الزمن وتنتقل الطاقة $q_1 C h \omega = q h \omega$ حيث $q_1 C = q$ هي فيض الفوتونات لذلك :

$$(٨) \quad J(x) = h \omega q(x)$$

ويعنى النقص في الشدة J أن عدد الفوتونات في الحزمة يقل ، ويرجع توهين أو إضعاف الحزمة أما إلى استطارة الفوتونات وأما إلى امتصاصها ولنرمز لاحتمال إمكانية امتصاص فيص أحادي الفوتون بواسطة مركز امتصاص أحادي بالرمز σ ولنرمز أيضاً لتركيز هذه المراكز بالرمز N تحتوى طبقة سمكها dx على مراكز امتصاص عددها يساوى Ndx وسيكون عدد الفوتونات الممتص في وحدة الزمن هو

$$(٩) \quad -dq = \sigma q (x) N dx$$

وبتكامل هذه المعادلة نحصل على

$$(١٠) \quad q(x) = q(O) e^{-\sigma N_x}$$

وبضرب المعادلة (٤ - ١٠) في طاقة الفوتون hw نحصل على

$$(١١) \quad h w q(x) = J(x) = h w q(O) e^{-\sigma N_x} = J(O) e^{-\sigma N_x}$$

المعادلة (٤ - ١١) هي قانون بوجير - لامبارت وفيه يرتبط

معامل الامتصاص بتركيز مراكز الامتصاص كما يرتبط بالمقطع

العرض الفعال للامتصاص لفوتون واحد في وحدة الزمن

$$(١٢-٤) \quad \alpha = \sigma N$$

ويطلق على المقدار $(\sigma N)^{-1}$ اسم متوسط المسار الحر l_{ph}

لفوتون في وسط ماص للضوء

$$(١٣) \quad e_{ph} = (\sigma N)^{-1} = \alpha^{-1}$$

وفي هذه الحالة تكون الكمية α (معامل الامتصاص) هي

احتمال امتصاص الفوتون خلال وحدة الأطوال. ويتوقف المقطع

العرضي الفعال على طاقة الفوتونات كما يتوقف على طبيعة مراكز

الامتصاص وإذا احتوت مادة على N_i من مراكز الامتصاص طبيعتها مختلفة ولكل منها المقطع العرض الفعال الخاص بها .

$$(١٤) \quad \alpha_i (w) = \sigma_i (w) N_i$$

ويكون معامل الامتصاص المحصل α هو مجموع معاملات الامتصاص الجزئية

$$(١٥) \quad \alpha = \sum_i \alpha_i (w) = \sum_i \sigma_i (w) N_i = (w)$$

لهذا فإن طيف الامتصاص المحصل ينتج عن أطيف ذات مراكز امتصاص مختلفة . وثمة تقدير أولى للمقدار σ_i يعتمد على الاعتبار البسيطة الآتية. المقطع العرضي الفعال الامتصاص الفوتون بواسطة ذرة (أو عيب) يمكن أن يكون مساوياً لمساحة المقطع العرضي الهندسي للذرة (أو العيب) لترددات يظل عندها قانون بقاء الطاقة صالحاً للتطبيق .

$$\text{ضع } \sigma = 10^{-16} - 10^{-17} \text{ سم}^2 \text{ في حالة الامتصاص لعدد من الذرات } N = 10^{22} \text{ cm}^{-3}$$

$$\alpha = 10^{-17} - 10^{-18} (10^{22}) \text{ cm}^{-1} = 10^5 - 10^6 \text{ cm}^{-1}$$

وإذا قبلنا هذه القيمة كمطلوب المتوسط المسار الحر للفوتونات القادرة على نزع إلكترون من الذرة أى الفونات التى لا تقل طاقتها عن اتساع النطاق الممنوع (اتساع الفراغ الطاقى) ، $hw \geq \Delta E_0$

عندئذ نحصل على $I_{ph}=(10^{-5}-10^{-6})$ تساوى (0.10-0.01) ميكرومتر. يطلق على هذا الامتصاص اسم الامتصاص الذاتى (الأساسى) وستكون النسبة بين امتصاص الضوء بواسطة العيوب (الفراغات ، الشوائب) وبين الامتصاص الأساسى مساوية للنسبة بين تركيز العيوب N_{def} وبين عدد الذرات الأم .

وعندما تكون $N_{def} = 10 \text{ سم}^{-3} = \sigma = 10^{-16} \text{ سم}^2$ ستكون $\alpha = 1 \text{ سم}^{-1}$ وعندما تكون $N_{def} = 10^{18} \text{ سم}^{-3}$ تكون $\alpha = 10^2 \text{ سم}^{-1}$

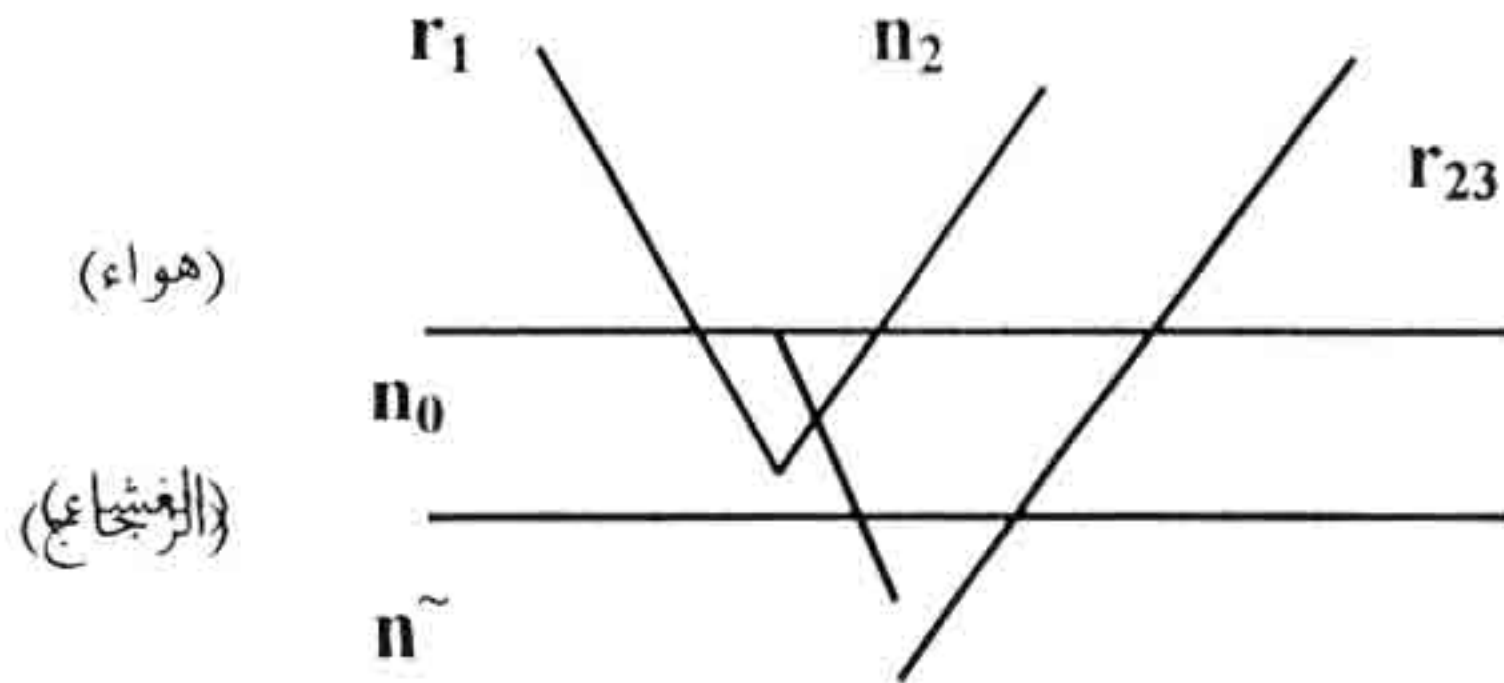
ونظراً لاتساع نطاق استخدام الشرائح الرقيقة سواءاً من العازلات أو أشباه الموصلات أو الفلزات فى كثير من التطبيقات مثل النبائط الإلكترونية والنبائط الضوئية وكاشفات الإشعاع والخلايا الشمسية فإننا سنولى أهمية بالغة للثوابت الضوئية للشرائح الرقيقة .
(٣ - ٤) الثوابت الضوئية للشرائح الدقيقة

عادة يطلق على الكميات الثلاث معامل الانكسار الحقيقى n ومعامل الانكسار التخيلى K ومعامل الامتصاص α اسم الثوابت الضوئية. وهذه تختلف من مادة إلى أخرى تبعاً لاختلاف طبيعتها ، وإحدى الطرق الشائعة الاستخدام فى تعيين الثوابت الضوئية المشار إليها هى الطرق الاسبكتروفوتومترية وفيها يتم قياس كل من النفاذية T والانعكاسية R فى مدى واسع من الأطوال الموجية ويمكن

التعرض للمعادلتين الدالتين على النفاذية والانعكاسية والتي تسمى

معادلات مورمان Murmann's Formulae كما يلي :

ويمثل الشكل (١) حالة غشاء رقيق مرسب على حاملة من الزجاج



شكل (١)

تعطى سعة معامل فرنيل Fresnel للانعكاس n_g بالعلاقة

$$r = \frac{[(n_0 - \tilde{n}) / (\tilde{n} + n_0)] + [(\tilde{n} - n_g)] e^{-i\theta}}{1 + \frac{[(n_0 - \tilde{n})]}{(\tilde{n} + n_0)} \frac{[(\tilde{n} - n_g)]}{(\tilde{n} + n_g)} e^{-i\theta}} \quad (١٧)$$

$$\alpha = \frac{4\pi T}{\lambda} = n, \quad \text{حيث} \quad \frac{4\pi T}{\lambda} \quad i\beta = (n - ik)$$

$$(١٧) \quad R = \frac{A e^{\beta} + B e^{-\beta} + 2C \cos \alpha + 4D \sin \alpha}{E e^{\beta} + F e^{-\beta} + 2G \cos \alpha + 4H \sin \alpha}$$

والنفاذية من

$$(١٨) \quad T = \frac{16 n_0 n_g (n^2 + K^2)}{Ee^\beta + Fe^{-\beta} + 2G \cos \alpha + 4H \sin \alpha}$$

ويوضح الشكل (٢) نفاذية بعض الشرائح الرقيقة T وانعكاسيتها R فى مدى مناسب من الأطوال الموجية . الاختلاف فى مظهر هذه أو تلك يرجع إلى تغير سمك الشريحة . فمع زيادة السمك يزداد عدد النهايات العظمى والصغرى فى المنحنيين المعبرين عن R , T .

حيث

$$A = [(n - n_0)^2 + K^2] [(n + n_g)^2 + K^2]$$

$$B = [(n + n_g)^2 + K^2] [(n + n_0)^2 + K^2]$$

$$C = (n^2 + K^2) (n_0^2 + n_g^2) - (n^2 + K^2)^2 - n_0^2 n_g^2 - 4 n_0 n_g k^4$$

$$D = K (n_g - n_0) (n^2 + K^2 + n_0 n_g)$$

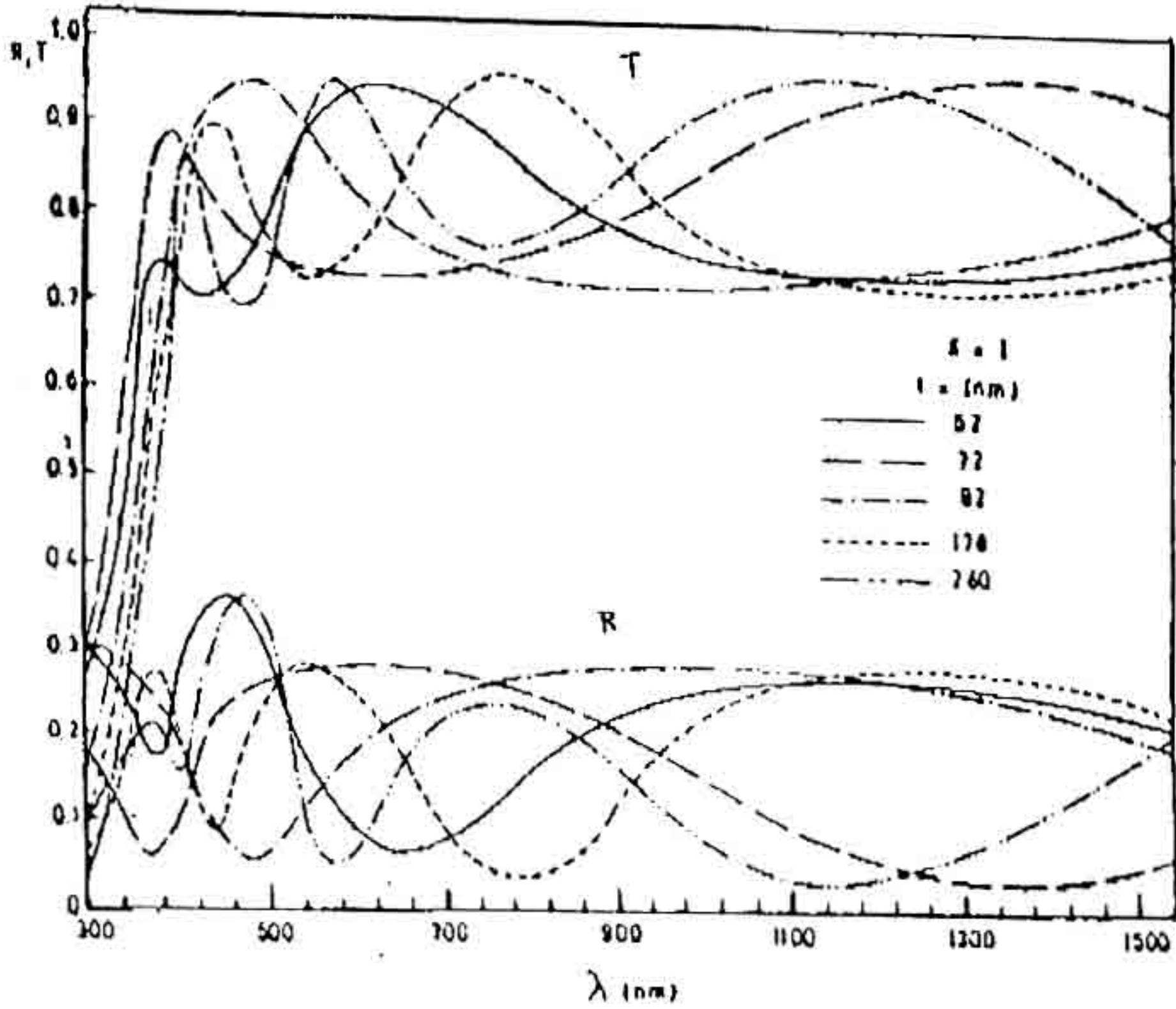
$$E = [(n + n_0)^2 + K^2] [(n + n_g)^2 + K^2]$$

$$F = [(n - n_0)^2 + K^2] [(n - n_g)^2 + K^2]$$

$$G = (n^2 + K^2) (n_0^2 + n_g^2) - (n^2 + K^2) - n_0^2 n_g^2 + 4 n_0 n_g k^2$$

$$H = K (n_g + n_0) (n^2 + K^2 - n_0 n_g)$$

ومعادلتا مورمان صالحتان للتطبيق في حالة العازلات وأشباه
الموصلات والفلزات

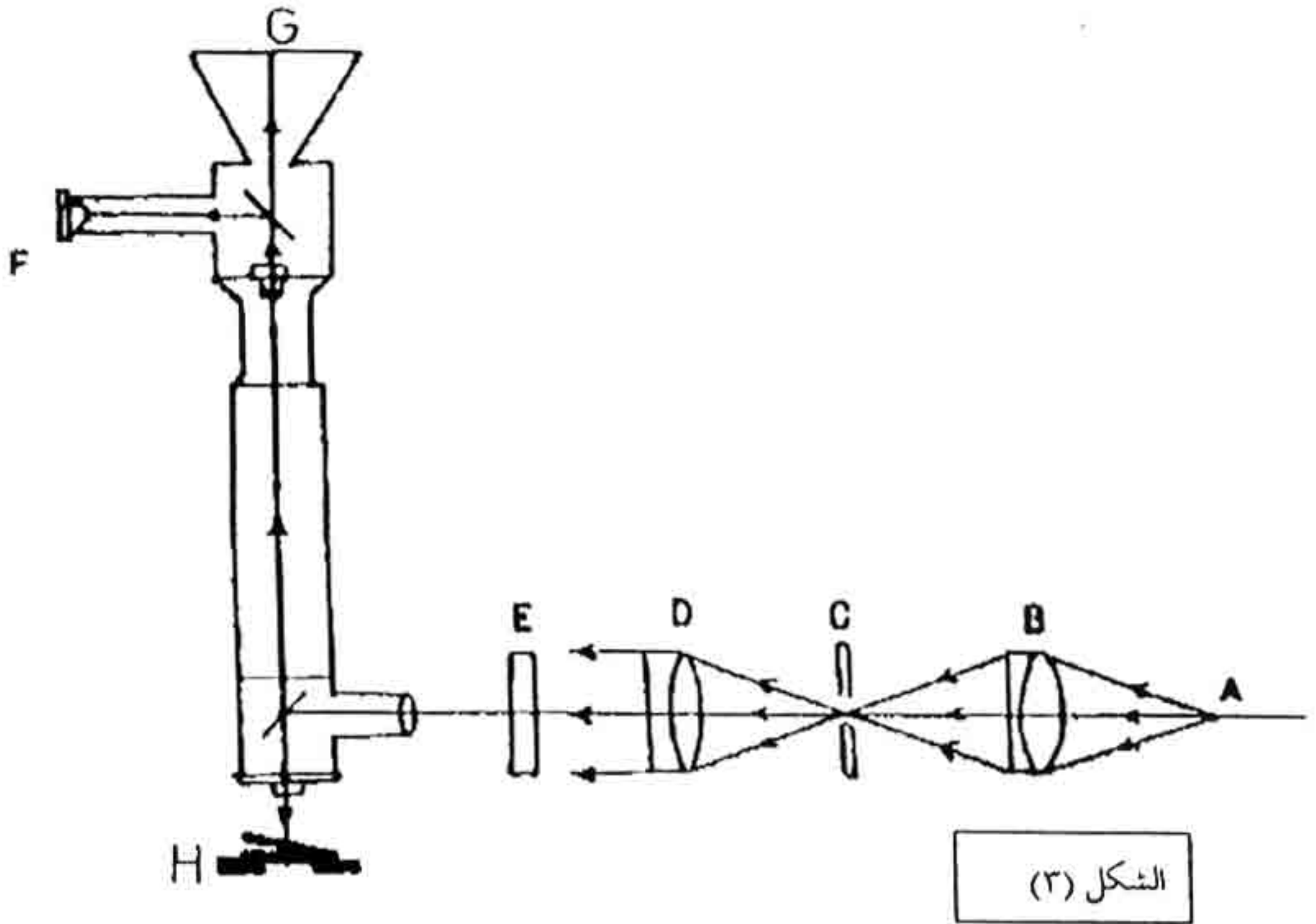


شكل (٢)

(١) العازلات :

تستخدم معادلتا مورمان السابقتان مع وضع $k = 0$ نظراً
لأن العازلات شفافة للضوء. يبقى في المعادلتين مجهولان هما سمك
الشريحة t ومعامل الانكسار n ويتم تعيين سمك الشريحة بطريقة

تولانسكى Tolansky هذب فيزو للتداخل عديد الأشعة والجهاز المستخدم لهذا الغرض موضع فى الشكل (٣) وفيه A عبارة عن مصباح ثاليوم تحت ضغط عال , B عدسة قصيرة البعد البؤرى تستخدم كمكثف للحزمة الضوئية C فتحة دائرية تتكون عليها صورة مصغرة لمصدر الضوء D عدسة مجمعة بعدها البؤرى حوالى 15 سم تضبط الفتحة الضيقة عند المستوى البؤرى لها و E مرشح يسمح لخط الطيف الأخضر بالنفاذ وطوله الموجى 5352 انجستروم F ميكروسكوب مستقطب يواجه مدخله عاكس يصنع زاوية 45° مع اتجاه السقوط وثمة عاكس آخر يوجد بين الشئية والعينية للميكروسكوب . يسمح بحزمة من الضوء المتوازي بالمرور إلى العاكس الذى يواجهها نحو الشئية عندئذ تسقط الحزمة على مقياس التداخل حيث تتكون هذب فيزو بالانعكاس والصورة مكبرة يتم اسقاطها بواسطة الشئية والعينية على اللوح الفوتوغرافى G.



H هي القاعدة التي يرتكز عليها مقياس التداخل والشريحة الرقيقة المطلوب تعيين سمكها مرسية على نصف القاعدة ويطلق على حافة الشريحة الفاصلة بينها وبين السطح العارى للقاعدة / سم الخطوة (Step) ويوضح الشكل (٤ - ٣) شكلاً تخطيطياً وصورة فوتوغرافية لهدف فيزو عبر الخطوة .

وتضبط الهدف عمودية على حافة الخطوة كما يتم التحكم في المسافات الفاصلة بين الهدف بواسطة المسامير المحواة لحامل مقياس التداخل ويكون شرط التداخل هو

$$(١٩-٤) \quad (n + \Delta n) \lambda = 2t - \frac{\delta_1}{2} - \frac{\delta_2}{2}$$

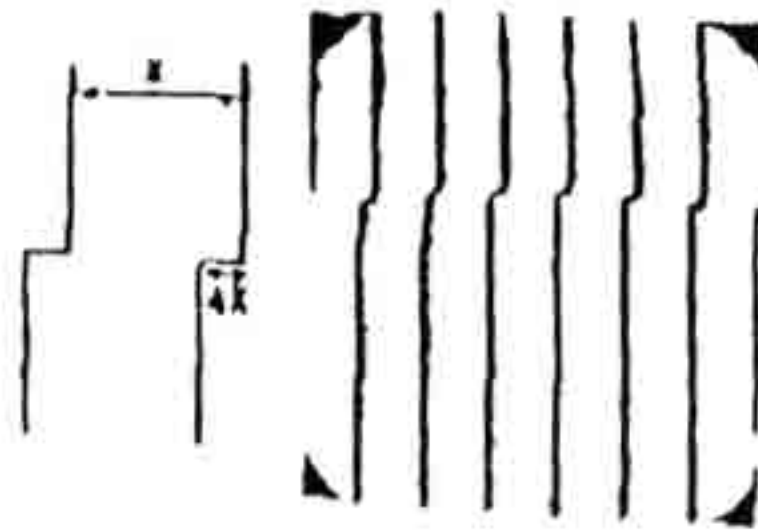
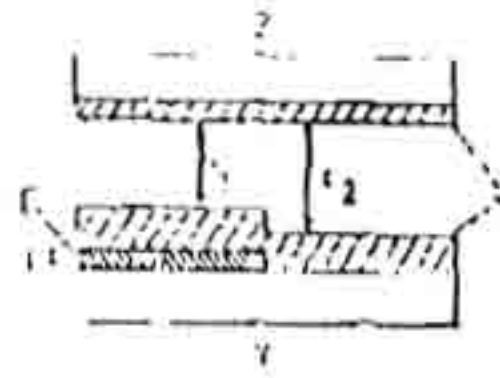
$$(٢٠-٤) \quad \frac{\delta_1}{2} \quad n \lambda = 2t_2 - \frac{\delta_2}{2} -$$

حيث n رتبة هدبة التداخل ، Δn كسر من رتبة الهدبة و δ_1 التغير في الطور بالانعكاس عند سطح (هواء-فضة) للمركبة العليا بمقياس التداخل و δ_2 هي التغير في الطور بالانعكاس (هواء - فضة) للمركبة السفلى . مع ملاحظة أن شريحة الفضة التي تغطي المركبة العليا تكون انعكاسيتها في حدود 70 % من المعادلتين الأخيرتين نتبين أن:

$$2(t - t_2) = 2t = \Delta n \lambda$$

$$(٢١-٤) \quad \frac{\Delta n \lambda t}{2} =$$

حيث t سمك الشريحة الرقيقة موضع الاختبار لكن من



الشكل (٤)

الشكل (٤-٤)

$\Delta n =$ حيث x المسافة الفاصلة بين أى هديتين متتاليتين ،

Δx إزاحة الهدبة بسبب وجود الخطوة

$$t = \frac{\Delta x}{x} \cdot \frac{\lambda}{2} \quad (٢٢-٤)$$

لهذا يمكن بقياس Δx ، x بدقة وبمعرفة الطول الموجي

المستخدم يمكن تعيين سمك الشريحة t فى هذه الطريقة لا يتجاوز

الخطأ فى القياس 5 % وهى صالحة لقياس سمك شرائح تتراوح

بين (0.02 – 2.0) ميكرومتر

(أ) تعيين معامل انكسار العازل ب

بعد تعيين سمك الشريحة يمكن حل معادلة مورمان بواسطة

الحاسبات الآلية باستخدام برامج خاصة معدة لهذا الغرض

(ب) منحنى التفريق الطيفى لمعامل الانكسار

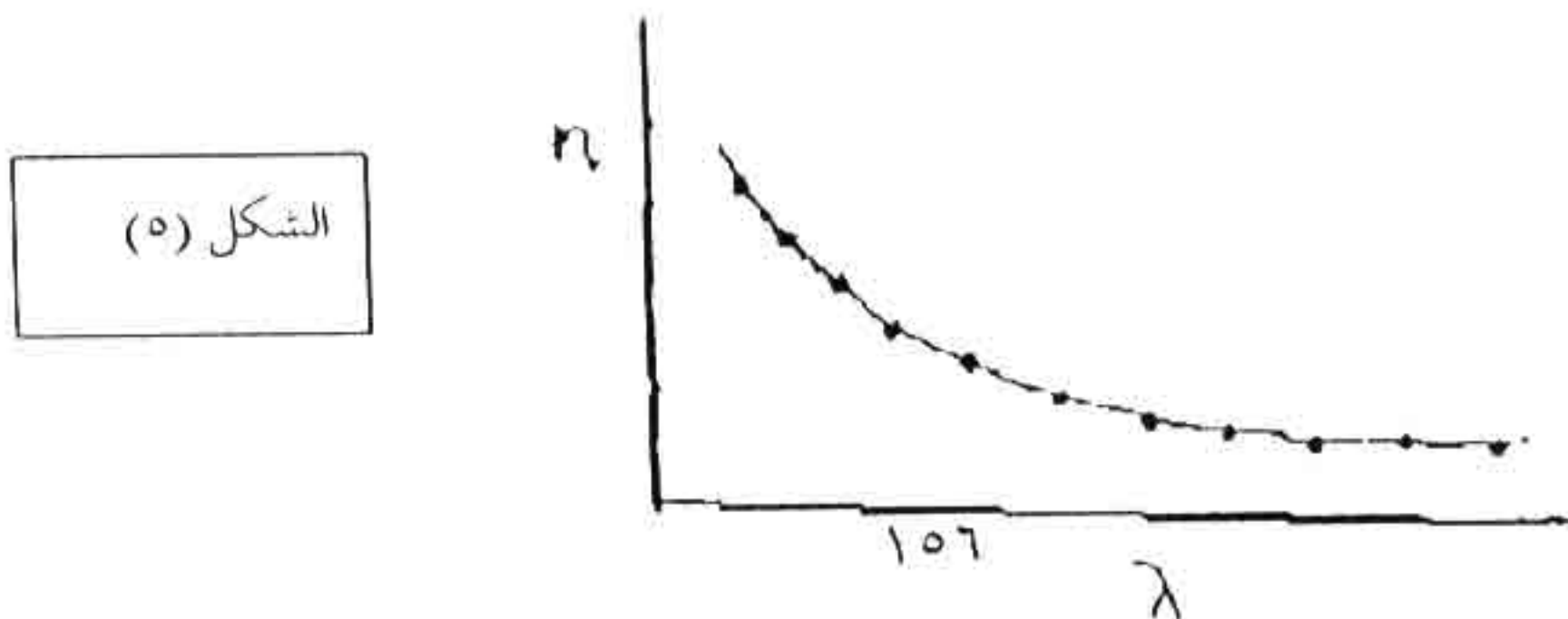
بعد تعيين معاملات انكسار شريحة العازل الرقيقة فى مدى

مناسب من الأطوال الموجية يمكن برسم العلاقة بين معامل الانكسار

n ممثلاً على المحور الرأسى والطول الموجى λ ممثلاً على

المحور الأفقى الصورة على منحنى يعرف باسم منحنى التفريق

الطيفى لمعامل الانكسار (كما فى الشكل ٥)



(حـ) ثابت العزل للعازلات :

يتعين ثابت العزل لمادة عازلة من العلاقة $E = n^2$ وعلى

سبيل المثال ثابت العزل للزجاج $E = (1.5)^2 = 2.25$

(٢) أشباه الموصلات

الكميات المجهولة في معادلتى مورمان المعبرتين عن الانعكاسية R والنفاذية T لشريحة رقيقة من أشباه الموصلات هي سمك الشريحة ومعامل الانكسار الحقيقي n ومعامل الانكسار التخيلي K

(أ) تعيين سمك الشريحة

يتم تعيين سمك الشريحة بطريقة تولانسكى الموضحة في

الفقرة السابقة ويبقى مجولان هما K, n

(ب) حساب n, k

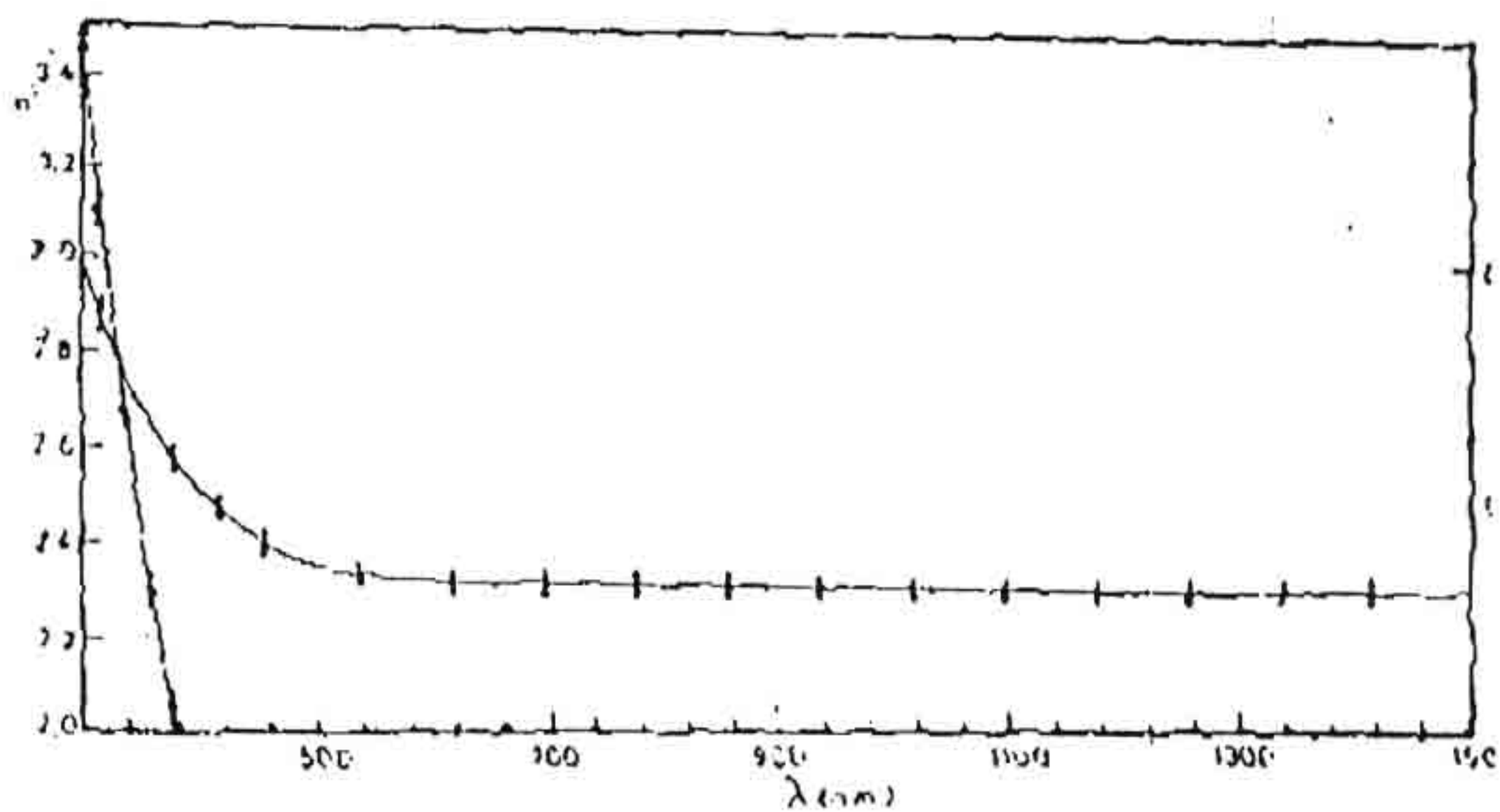
من قياسات الانعكاسية R والنفاذية T لشريحة رقيقة من أشباه الموصلات في مدى مناسب من الأطوال الموجبة بواسطة الاسكترومتر ثم يحل معادلتى مورمان بواسطة الحاسب الآلى باستخدام برامج خاصة معدة لهذا الغرض يتم حساب كل من n, k

(جـ) ملحنى التفريق الطيفى لكل من n, k

بعد تعيين قيمة كل من معامل الانكسار الحقيقي n ومعامل

الانكسار التخيلى k فى مدى مناسب من الأطوال الموجبة يتم رسم

العلاقتين $n(\lambda), k(\lambda)$ كما فى الشكل (٦)

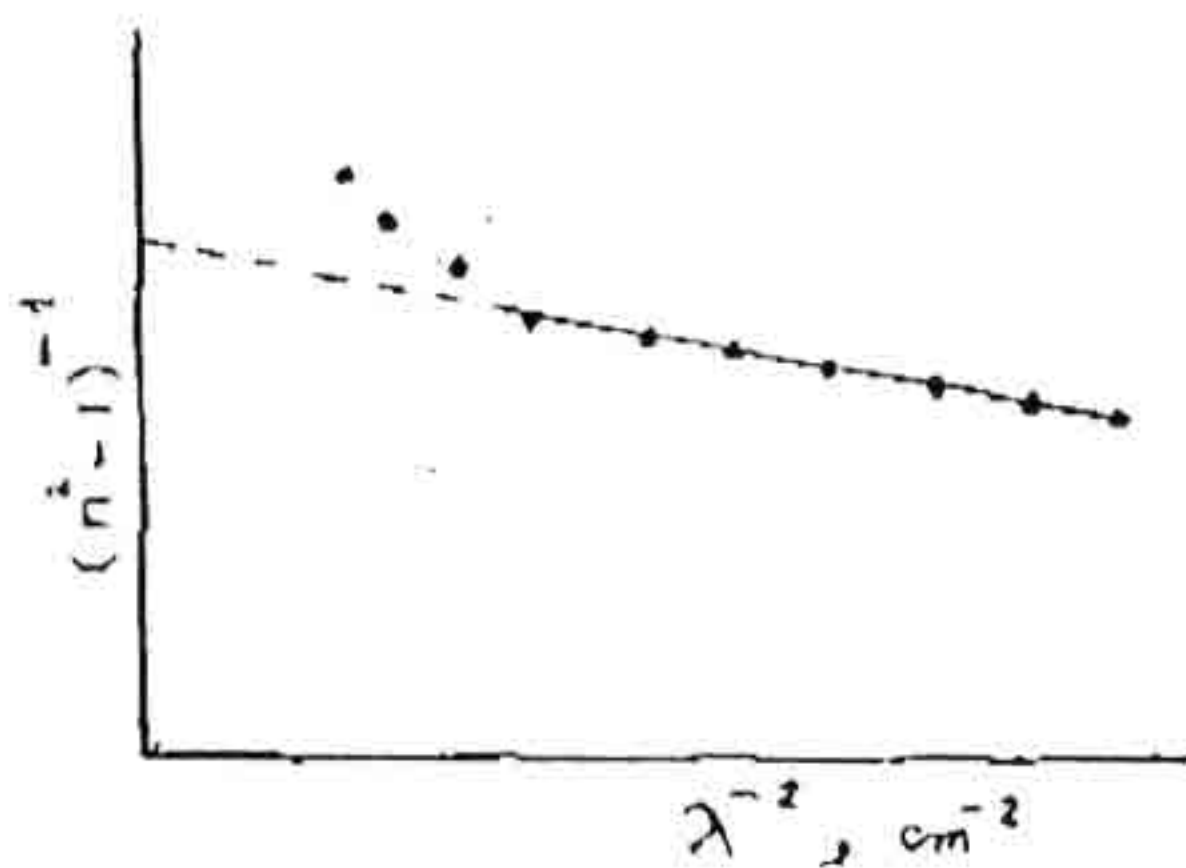


شكل (٦)

التمثيل البياني للعلاقة $n(\lambda)$ يعرف باسم منحنى التفريق

الطيفي لمعامل الانكسار التخلي

(د) تعيين ثابت العزل عند ترددات عالية E_{∞}

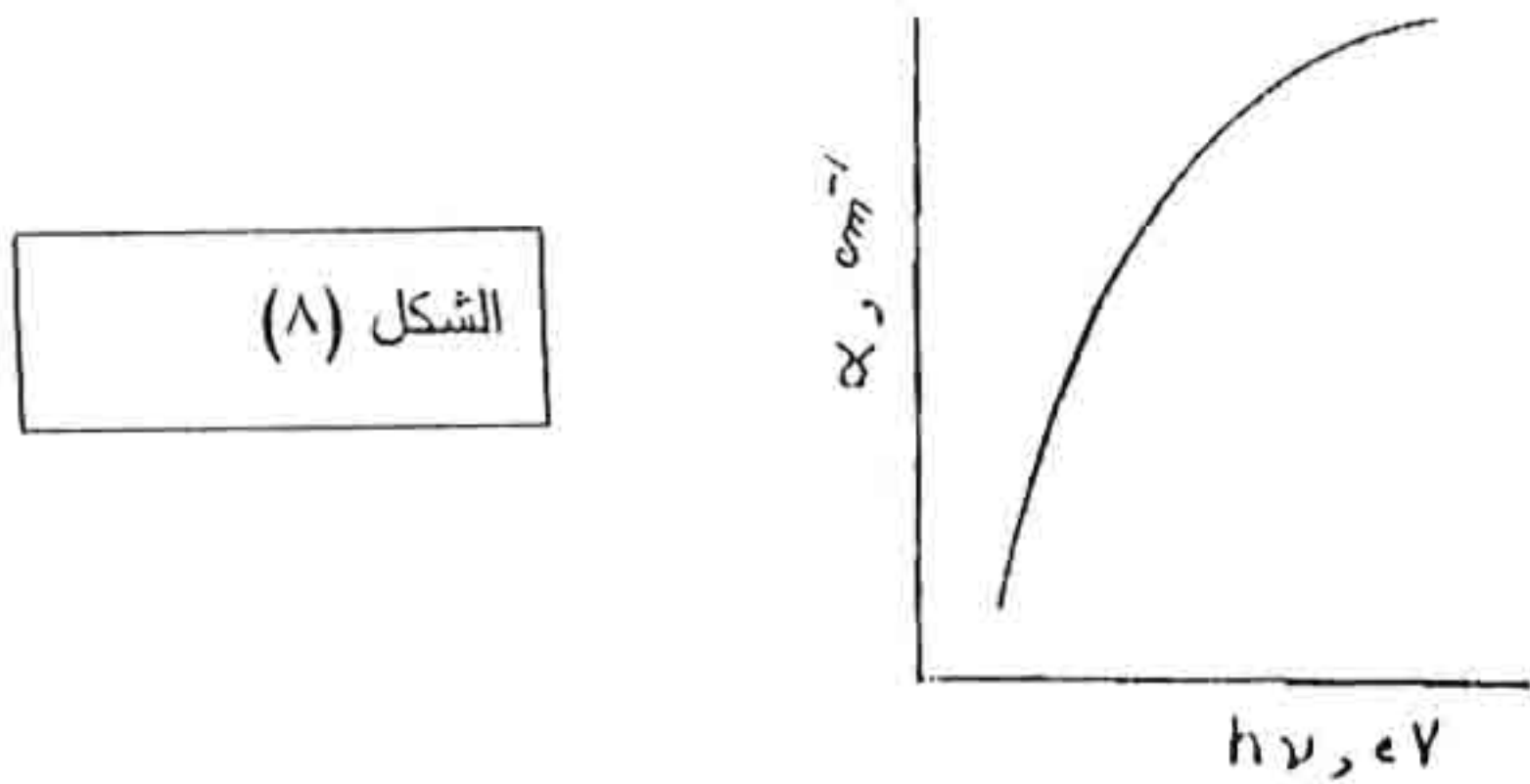


الشكل (٧)

عن طريق التمثيل البياني للعلاقة $(n^2 - 1)$ على المحور الرأسى (λ)⁻² على المحور الأفقى نحصل على خط مستقيم المبين في الشكل (٧) بـمده نحو المحور الرأسى تدل نقطة التقاطع بين هذا الخط والمحور الرأسى على قيمة $(n_{\infty}^2 - 1)^{-1}$ ومنها يمكن تعيين n_{∞}^2 وبالتالي يمكن تعيين ثابت العزل عند الترددات العالية .

(هـ) منحنى التفريق الطيفى لمعامل الامتصاص λ تعيين λ من العلاقة $\alpha = \frac{4\pi K}{\lambda}$ ، وبمعرفة K فى مدى مناسب من الأطوال الموجية بالقرب من حافة الامتصاص الأساسى يمكن رسم علاقة بيانية بين α ممثلة على المحور الرأسى وطاقة الفوتونات $h\nu$ على المحور الأفقى بالشكل (٨)

(طاقة الفوتون = $\frac{1.243}{\lambda \text{ micro}} \times$) والوحدة التى تقاس بها طاقة الفوتونات هى الإلكترون فولت .



ويستفاد من معرفة معامل الامتصاص α بالقرب من حافة الامتصاص الأساسى فيما يلى :

(١) معرفة نوع الانتقالات الضوئية سواء كانت مباشرة أو غير مباشرة مسموحة أو غير مسموحة .

(٢) تعيين قيمة الفراغ الطاقى E_0 المناظرة واتساع نطاق الطاقة

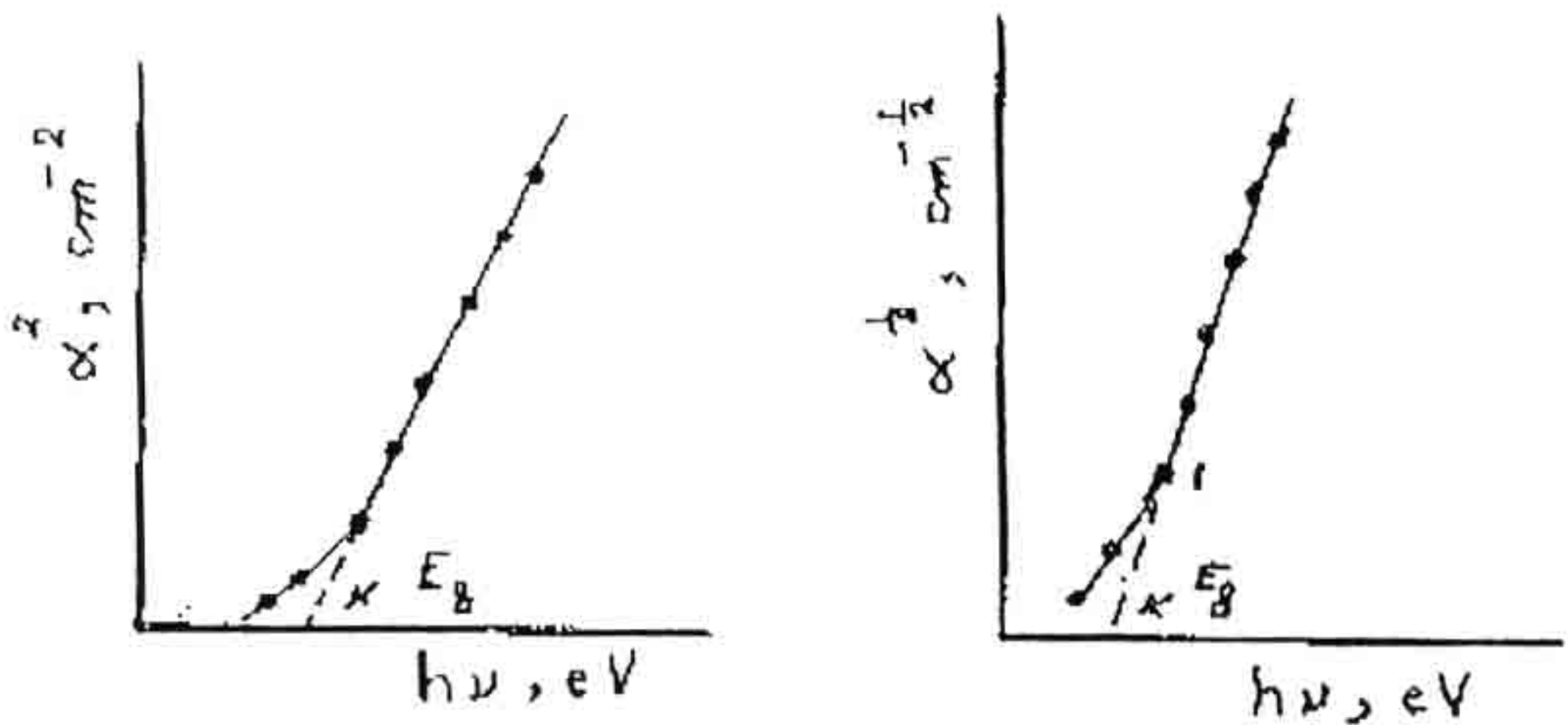
المملوع

يتم هذا وذاك بالتمثيل البياني للعلاقة :

$$\alpha = A (h\lambda - E_0)^r$$

حيث

فى حالة الانتقالات المباشرة المسموحة	$\frac{1}{2} = r$
فى حالة الانتقالات غير المباشرة المسموحة	$\frac{4}{2} = r$
فى حالة الانتقالات المباشرة الممنوعة	$\frac{3}{2} = r$
فى حالة الانتقالات غير المباشرة الممنوعة	$\frac{2}{3} = r$



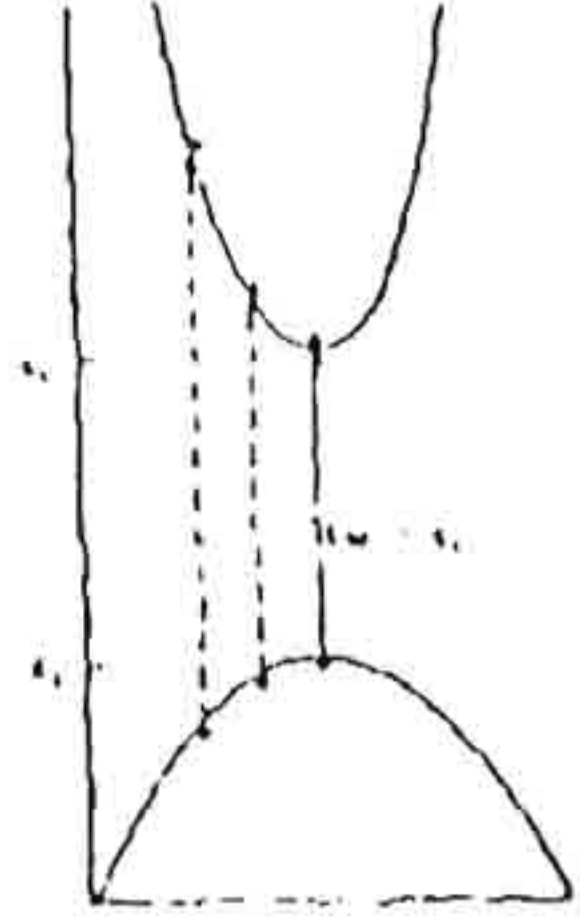
الشكل (٩)

الشكل (٩) ويمثل الشكل (٩) العلاقة بين $(\alpha)^2$ ممثلة على المحور الرأس و $h \lambda$ على المحور الأفقى . تدل العلاقة الخطية بين هذين المتغيرين على أن الانتقالات الحادثة هي انتقالات مباشرة مسموحة وبمد الجزء المستقيم من هذه العلاقة ليقابل المحور الأفقى نحصل على قيمة الفراغ الطاقى E_0 أو قيمة اتساع نطاق الطاقة الممنوع .

ويمثل الشكل (١٠) العلاقة بين α ممثلة المحور الرأسى و $h \frac{1}{\lambda}$ على المحور الأفقى تدل العلاقة الخطية بين هذين المتغيرين على أن الانتقالات التى تحدث هي انتقالات ضوئية غير مباشرة مسموحة . وبمد الجزء المستقيم من هذه العلاقة نحو محور $h \frac{1}{\lambda}$

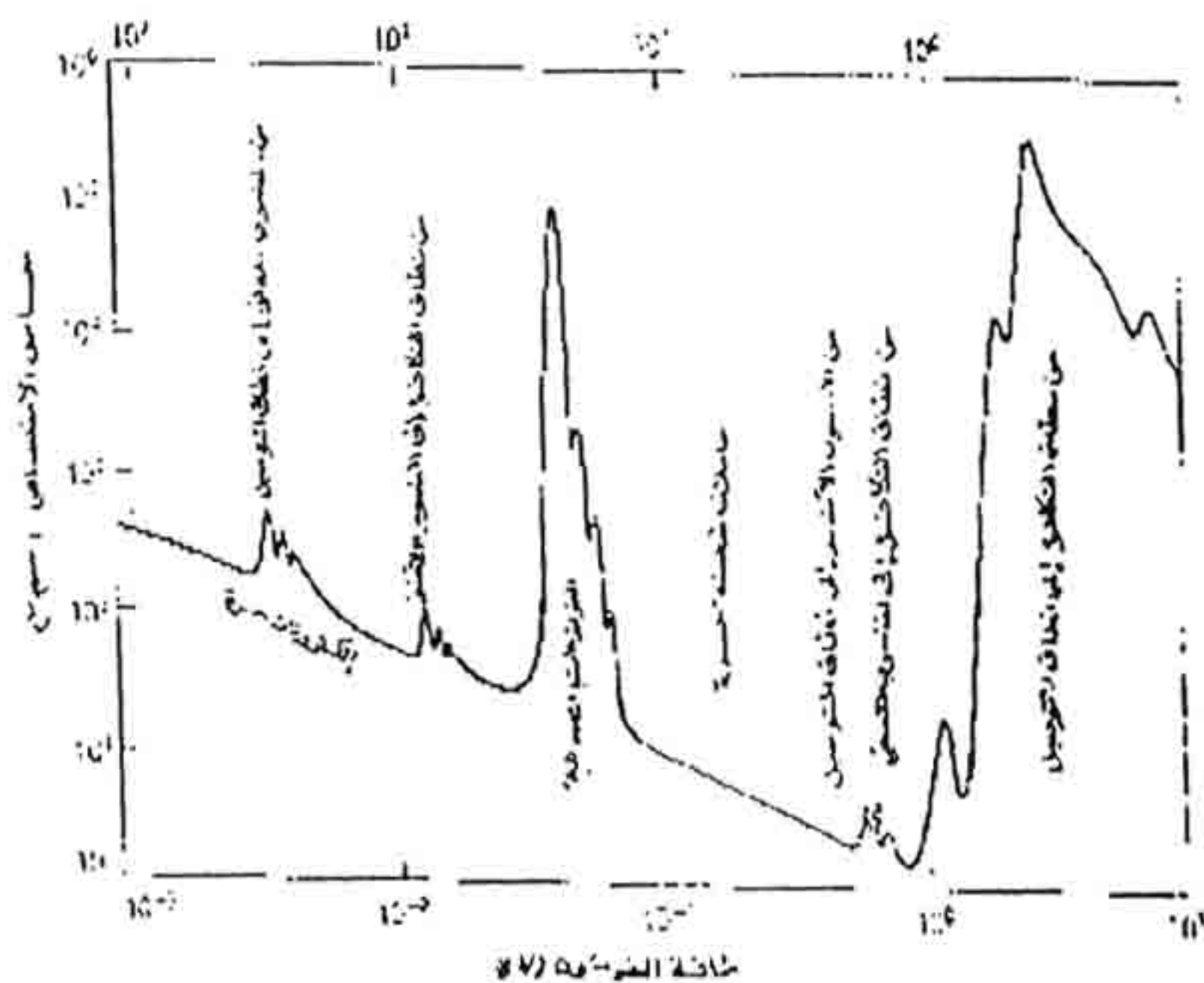
تُدل نقطة التقاطع على فترة الفراغ الطاقى E_0 المناظر أو قيمة
اتساع نطاق الطاقة الممنوع .

الشكل (١١)



ويوضح الشكل (١١) حالة انتقال مباشر مسموح حيث ينتقل الإلكترون
من قمة نطاق التكافؤ إلى قاع نطاق التوصيل .

ويتضح من الشكل أن قمة نطاق التكافؤ تقع عند متجه موجي معين بينما يقع عند متجه موجي آخر.



شكل (١١)

الأنواع الرئيسية لامتنصاص الضوء فى أشباه الموصلات :
علما يسقط الضوء على شبه موصل ، يمكن ملاحظة
الظواهر الضوئية لامتنصاص والانعكاس والنفاز . ويمكن أن نستمد
العديد من المعلومات المتعلقة بها من التركيب النطاقي والعمليات
الإلكترونية فى أشباه الموصلات . ويوضح الشكل (١٣) طيف
 $h\nu$ امتصاص افتراضى لشبه موصل نموذجى كدالة فى طاقة الضوء .

فعدد الطاقات العليا تمتص الفونونات بواسطة انتقال
الإلكترونات من نطاق التكافؤ الذى تكون مناسبيه ممتلئة إلى المناسيب
الخالية فى نطاق التوصيل (امتصاص من نطاق إلى نطاق). ولطاقات
أدنى بالضبط من قيمة الفراغ الطاقى يمتص الإشعاع بسبب تكوين
الأكزيوتونات وانتقال الإلكترونات بين النطاق ومناسيب الشوائب
(الانتقال من المنسوب المعطى إلى نطاق التوصيل والانتقال من نطاق
التكافؤ إلى المنسوب الأخذ) . وانتقال الإلكترونات الحرة داخل نطاق
التوصيل أو داخل نطاق التكافؤ تسبب امتصاص يزداد مع نقص طاقة
الفوتون . ويمكن أيضاً للبلورة نفسها أن تمتص إشعاعاً وتفقد الطاقة
على هيئة فونونات (امتصاص الشبكة) . وفى النهاية ، عند الطاقات
المنخفضة أو عند الأطوال الموجية الطويلة يمكن ملاحظة انتقالات
الإلكترونات بين الشوائب والأنطقة المصاحبة لها.
ولقد أعطينا اهتماماً ملحوظاً فى الفقرة السابقة للانتقالات
الضوئية المباشرة وغير المباشرة من قمة نطاق التكافؤ إلى قاع نطاق
التوصيل.

٣) الفلزات :

الكميات المجهولة في معادلتى مورمان المعبرتين عن الانعكاسية R والنفاذية T شريحة رقيقة من فلز هي سمك الشريحة t ومعامل الانكسار الحقيقى 12 ومعامل انكسار التخليلى k

أ- تعيين سمك الشريحة :

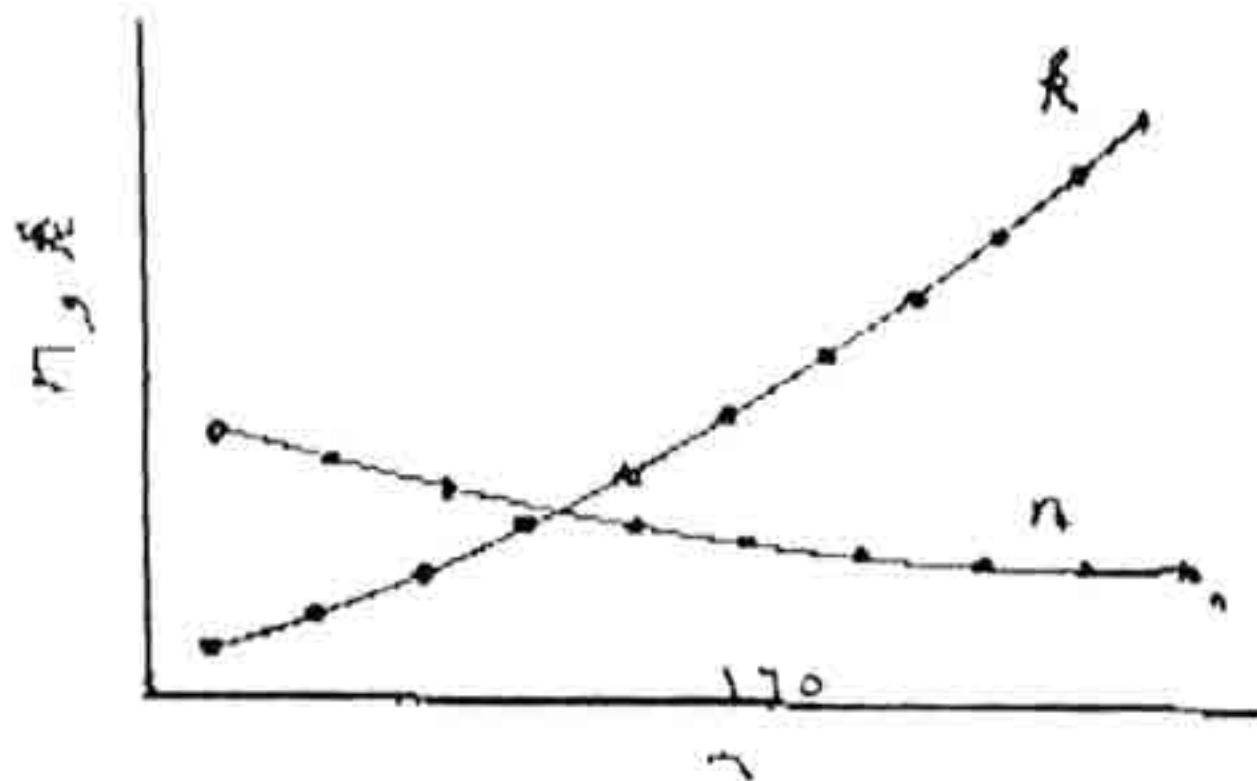
يتم تعيين سمك الشريحة بطريقة تولانسكى الموضحة فى فقرة سابقة ويبقى مجهولان هما K و n .

ب - حساب $k \cdot n$:

من القياسات الانعكاسية R والنفاذية T لشريحة رقيقة من فلز فى مدى مناسب من الأطوال الموجبة بواسطة الاسبكترومتر ثم يحل معادلتى مورمان بواسطة الحاسب الآلى استخدام برامج خاصه معده لهذا الغرض يتم حساب كل من K و n

ب - منحنى التفريق لكل من $k \cdot R$:

بعد تعيين $K \cdot n$ لشريحة رقيقة من فلز فى مدى مناسب من الأطوال البروجسيم يمكن رسم علاقة بيانية بين R و λ المنحنى الناتج يسمى ملحقى التفريق الطيفى لمعامل انكسار n



كما يمكن رسم العلاقة البيانية بين K , γ نحصل على منحنى يسمى منحنى التفريق الطيفى لمعامل الانكسار التخيلي K يمثل الشكل (١٤) ملحنى التفريق الطيفى لمعامل انكسار " الملحنى " ومنحنى التفريق الطيفى لمعامل الانكسار التخيلي K .

د - تعين بعض الخصائص الميكروسكوبية لشريحة رقيقة من فلز :
تبعاً لنظرية الإلكترون الحر التى اقترحها دورو Drude المتعلقة بالثوابت الضوئية فى الفلزات فى منطقة الأشعة تحت الحمراء يتبين أن المعادلات التالية تربط بين الثوابت الضوئية

$$\frac{1}{(k^2 - n^2 + 1)} = \frac{\gamma}{(\gamma_0)^2} \quad \text{والعدد الموجى } \gamma \text{ الاشعاع الساقط :}$$

$$\frac{1}{(2N k \gamma)} = \frac{1}{(\gamma_0)^2} [(\gamma)^2 + (\gamma k)^2]$$

حيث تعطى $(\gamma_0)^2$ و (γ_R) بالعلاقة

$$(\gamma_0)^2 = \frac{Ne^2}{\pi m^* c^2}$$

$$(\gamma_R) = \frac{1}{2\pi C \tau}$$

حيث N تركيز الإلكترونات الحرة "عدد الإلكترونات التوصيل في وحدة الحجم" γ ، e هي شحنة الإلكترونات مقدرة لوحدات الكهروستاتية و m ستار الكتلة الفعالة للإلكترون "تؤخذ عادة مساوية الكتلة m هي زمن الاسترخاء وسرعة الضوء في الفراغ .

لهذا يمكن برسم $(k^2 - n^2 - 1)^{-1}$ كدالة في v^2 يمكن الحصول على علاقة خطية ، ميل هذه العلاقة يساوي هو $-(\bar{v})^2$ وبرسم علاقة بيانية " $V \times k-n-n$ " كدالة في γ عبارة عن خط مستقيم $2V$ ميلو " V_0 " x^2 " VR "¹ ويربط ميل العلاقة الأولى بميل العلاقة الثانية يمكن حساب تركيز الإلكترونات الحرة R وزمن الاسترخاء τ بفرض معرفة محل من c, M^*, e

وبمعرفة $\tau.n$ ويمكن حساب الموصلية الكهرستاتيكية σ باستخدام العلاقة :

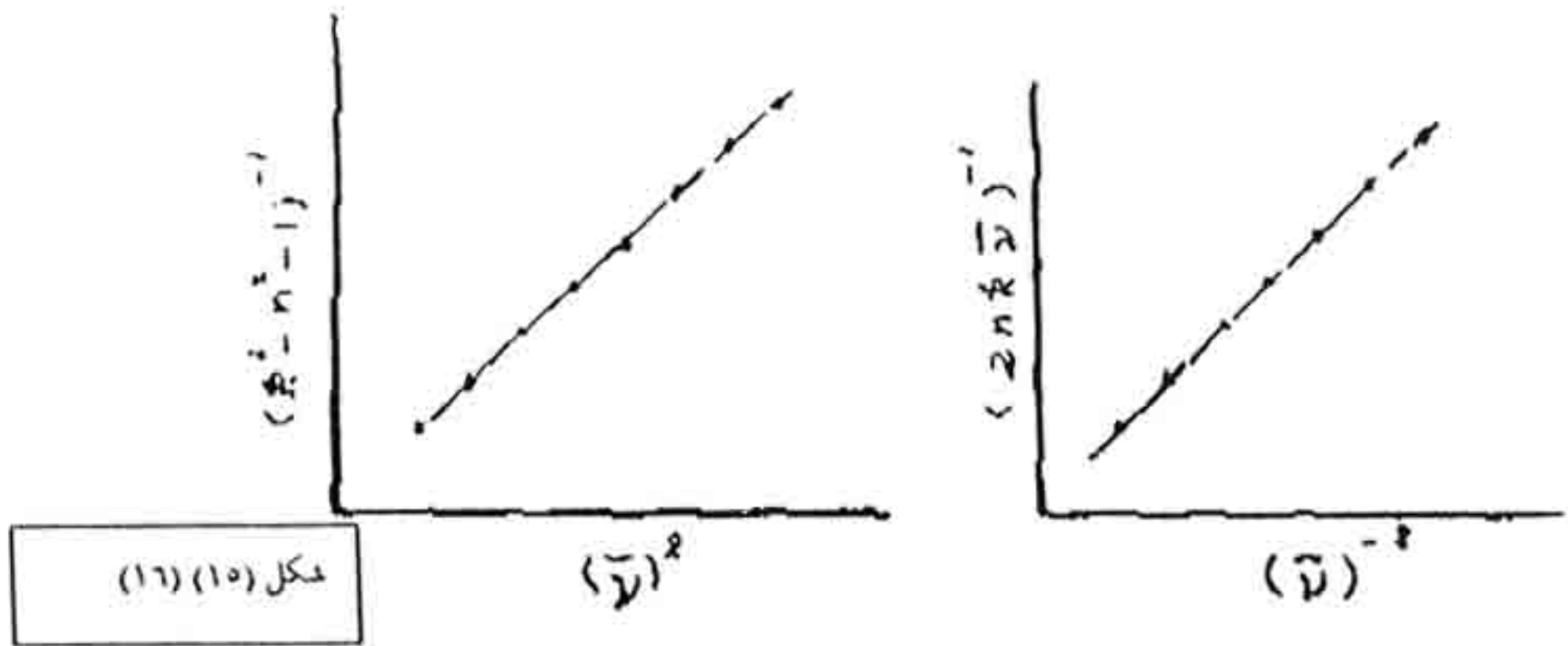
$$\sigma = \frac{Ne^2\tau}{m} \quad (28)$$

كما يمكن حساب سرعة الإلكترون عند سطح V_F باستخدام العلاقة :

$$v_F = \left[\frac{3 (V_0)^2 h^3 C^2}{8 m^{*2} e^2} \right]^{1/3}$$

أو العلاقة :

$$v_F = \left[\frac{3 NH^3}{8 m^{*2} C^2} \right]^{1/2} \quad (29)$$



وبوضح الشكلان (١٥) و (١٦) كذا " الأشكال البيانية للعلاقتين $F = (K^2 + n^2 - 1) v^2$ والعلاقة $(2nk\gamma)^{-1} = g(\gamma)^2$ على الترتيب التي يتم منهما تعيين σ , τ , N في كل حالة ثم حساب الخصائص الميكروسكوبية السابقة تبعاً لنموذج درود.

ويمكن أيضاً حسابه المساحة الفعالة لسطح فيرمي من العلاقة :

$$(30) \quad AF = 4 \pi (3 \pi^2 N)^{2/3}$$

$$(31) \quad E_F = \frac{h^2}{2m} (3 \pi^2 N)^{2/3}$$

كما يمكن حساب طاقة فيرمي من العلاقة

$$(32) \quad G(E_F) = \frac{3N}{2E_F}$$

وكذلك كثافة المناسب عند سطح فيرمي من العلاقة

ويمكن استخلاص أن الثوابت الضوئية لشريحة رقيقة من الفلز

يمكن استخدامها في تعيين:

١- تركيز الإلكترونات الحرة

- ٢ زمن الاسترخاء
- ٣ الموصلية الكهروستاتيكية
- ٤ سرعة الإلكترون عند سطح فيرمي
- ٥ المساحة الفعالة لسطح فيرمي
- ٦ طاقة فيرمي
- ٧ كثافة المناسب عند سطح فيرمي

تتردد البلازما :

يمكن تعيين تردد البلازما $W_p = 2\pi\gamma_p = 2\pi c/\lambda_p$ من التوزيع الطيفي لكل من n , k ويكون الطول الموجي الذي تكون عنده $k = n$ هو λ_p وبالتالي يمكن حساب W_p :
لكن ،

$$(33) \quad (W_p)^2 = \frac{4\pi N e^2}{m^*} = \frac{4\pi^2 C^2}{\lambda^2 p}$$

$$(33) \quad N = \frac{(W_p)^2 m^*}{4\pi e^2} = \frac{\pi m^* C^2}{\pi^2 e^2} \quad \text{لذلك يكون :}$$

ثابت العزل للشبيكة ϵ_L :

تدل العلاقة الآتية على ثابت العزل الحقيقي :

$$(35) \quad \epsilon_1 = \epsilon_L - B \lambda^2$$

حيث

$$\epsilon_1 = n^2 - K^2$$

ϵ_L ثابت العزل للشبيكة

B مقدار ثابت

λ الطول الموجى الذى تم عنده تعيين ϵ_1

العلاقة السابقة علاقة خط مستقيم ميله

$$(36) \quad B = \frac{e^2 N}{4\pi^2 \epsilon_0 m C^2}$$

حيث e شحنة الإلكترون

N تركيز حاملات الشحنة

ϵ_0 النفاذية فى الفراغ = 8.85×10^{-12} فاراد / م

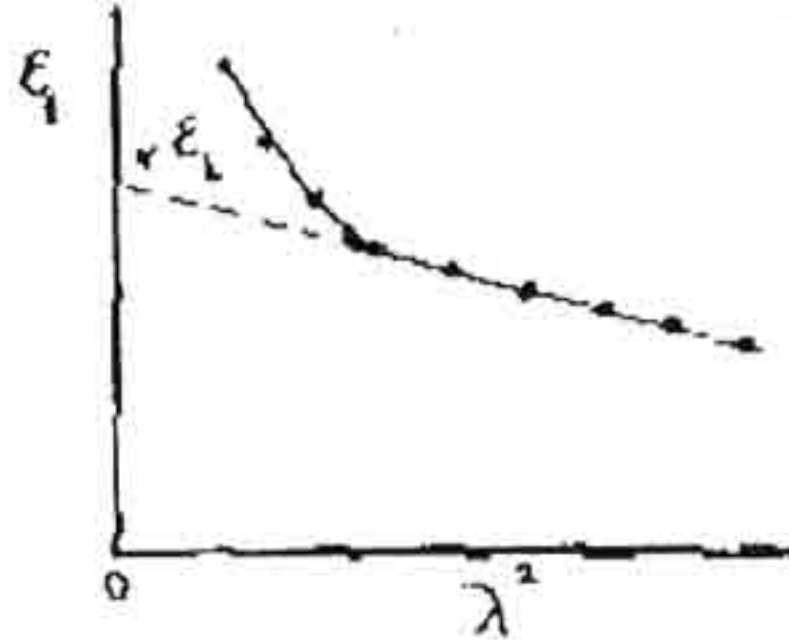
m^* الكتلة الفعالة للإلكترون

C سرعة الضوء = 3×10^8 م / ث

وتعطى نقطة تقاطع هذا الخط المستقيم أو امتداده مع المحور الرأسى

عد $\lambda = 0$ قيمة ϵ_L ويوضح الشكل (١٧) العلاقة البيانية بين λ^2 و

ϵ_1 وهى علاقة يمثلها خط مستقيم .



شكل (١٧)

ثابت العزل التخيلي ϵ_2

يُستعين بثابت العزل التخيلي ϵ_2 من العلاقة $\epsilon_2 = 2n k$ وترتبط المركبتان الحقيقية والتخيلية لثابت العزل بالعلاقة الآتية

$$E = E_1 - iE_n = (n^2 - K^2) - i(2nk) \quad (37)$$

أوجه الاستفادة من تعيين مركبتى ثابت العزل وهما:

$$\epsilon_2 = 2kn, \quad \epsilon_1 = n^2 - k^2$$

فى تعيين:

- ١- دالة فقد الطاقة السطحية
- ٢- دالة فقد الطاقة الحجمية
- ٣- الموصلية الضوئية الحقيقية
- ٤- الموصلية الضوئية التخيلية

أولاً: دالة فقد الطاقة السطحية ودالة فقد الطاقة الحجمية:

نتعين دالة فقد الطاقة السطحية

$$- \operatorname{Im} \left(\frac{1}{\epsilon + 1} \right)$$

من العلاقة

$$- \operatorname{Im} \left(\frac{1}{\epsilon + 1} \right) = \frac{\epsilon_2}{|\epsilon_1^2 + \epsilon_2^2|}$$

ونتعين دالة فقط الطاقة الحجمية

$$\frac{1}{\epsilon}$$

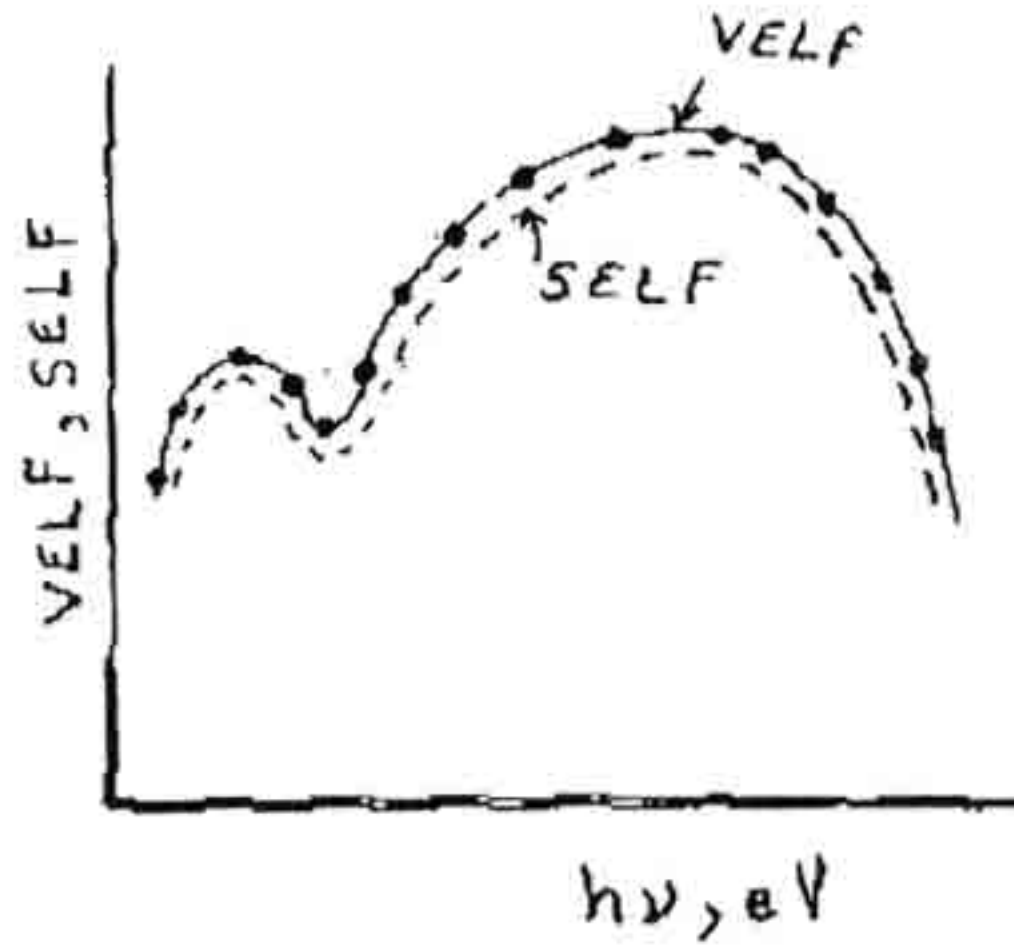
Im

من العلاقة

$$- \operatorname{Im} \left(\frac{1}{\epsilon} \right) = \left[\frac{\epsilon_2}{|\epsilon_1^2 + \epsilon_2^2|} \right]$$

وتدل هاتان الدالتان على أن الإلكترونات السريعة ستفقد جانباً من طاقتها خلال مرورها بسطح المادة وخلال المادة نفسها على الترتيب وترتبط هاتان الدالتان بمركبتى ثابت العزل المركب الحقيقية والتخيلية بالعلاقين السابقتين .

شكل (١٨)



ويوضح الشكل (١٨) كلاً من دالة فقد الطاقة السطحية ودالة فقد الطاقة الحجمية كل منهما ممثل على المحور الرأسى وطاقة الفوتون للإشعاع الساقط ممثلة على المحور الأفقى ويوضح التمثيل البياني للدالتين وجود بعض النهايات العظمى وتوضح مواضع هذه النهايات العظمى طاقة بعض الانتقالات التى يوضحها عادة التركيب النطاقي للفلزات وهو تركيب معقد غالباً .

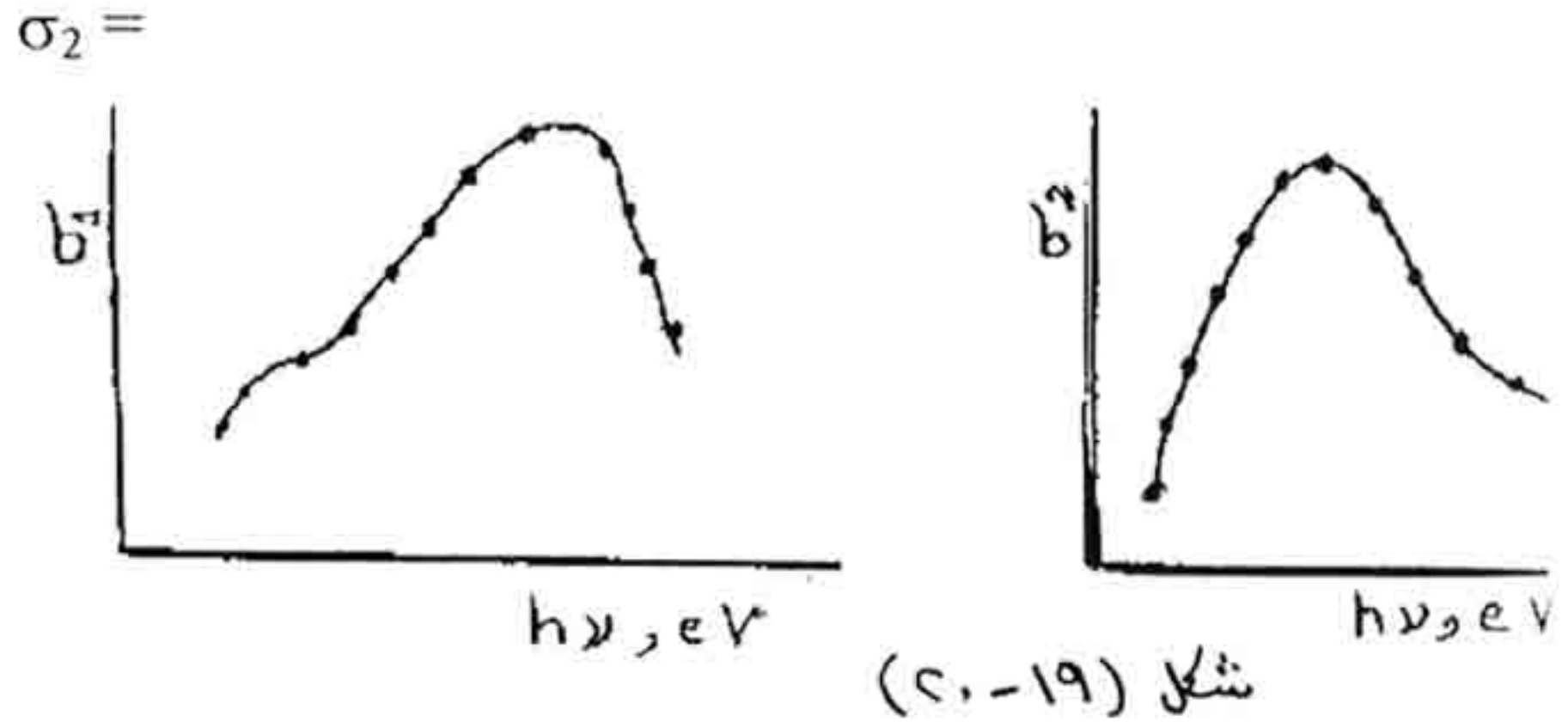
الموصلية الضوئية الحقيقية والتخيلية

تستخدم المركبتان الحقيقية والتخيلية ϵ_2 , ϵ_1 لثابت العزل

فى حساب الموصلية الضوئية الحقيقة σ_1 والموصلية الضوئية التخيلية

$$\sigma_1 = \frac{\epsilon_2 W}{4\pi} \quad \sigma_2 \text{ بالعلاقين التاليين على الترتيب}$$

$$\frac{(\epsilon_1 - 1)W}{4\pi}$$



حيث W التردد الزاوي للإشعاع الساقط والتمثيل البياني لكل من هاتين الكميتين كدالة في طاقة الفونونات موضح في الشكلين (١٩) ، (٢٠) على الترتيب . قد تظهر في هذه الأشكال البيانية بعض النهايات العظمى . وتحدد مواضعها طاقة بعض الانتقالات بين أنطمة الطاقة وفقاً للتركيب الطاقى المعقد للفلات .

تأثير ديمبر - الظاهرة الفولت ضوئية الشاذة :

Dember effect – Anomalous photovoltage

نأخذ شبه موصل متجانس مضاد عند اختراق الضوء لشبه الموصل يتناقص تمشياً مع قانون بوجير مولا مبات :

$$J_X = J_0 e^{-\alpha X}$$

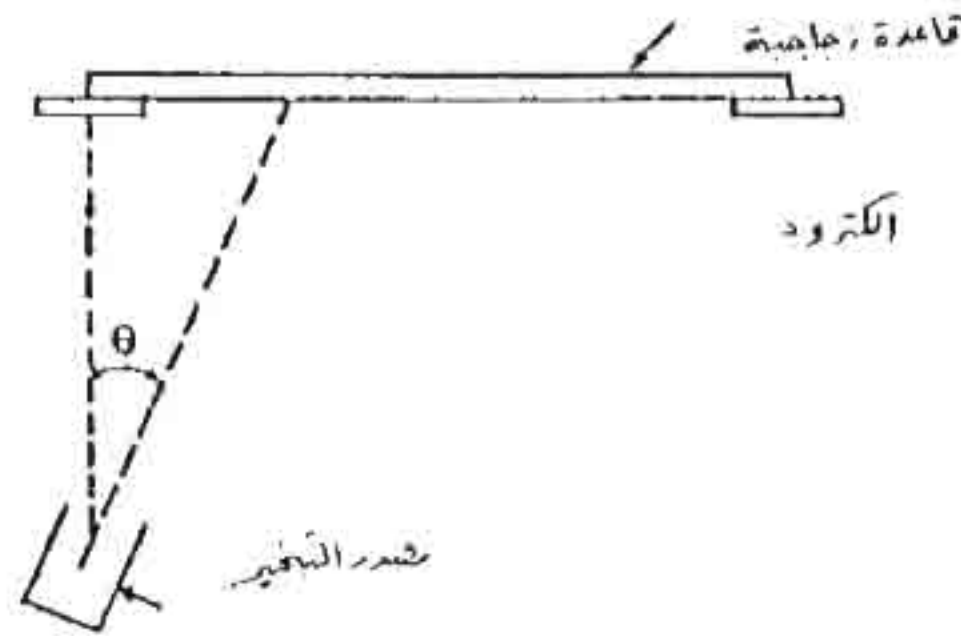
$$q(x) = q(0) e^{-\alpha X}$$

ينشأ عن امتصاص الضوء توليد حاملات شحنة يقل أسياً مع المسافة المقطوعة في شبه الموصل تبعاً للعلاقة التالية :

$$G(x) = G(0) e^{-\alpha x}, \quad G(0) = \alpha q(0)$$

ويسبب توليد حاملات الشحنة غير المنتظم انتشار حاملات الشحنة في شبه الموصل لكن نظر الآن معاملي انتشار الإلكترونات والفجوات مختلفان فإن حاملات الشحنة المتحركة يتم فصلها بعضها عن بعض فالإلكترونات ذات الحركية الأكبر تخترق شبه الموصل إلى أعماق أكبر مما تخترقها الفجوات ويتولد على السطح المضاد شحنة موجبة وعلى السطح المظلم شحنة سالبة ويتولد مجال كهربى موجه على طول الحزمة الضوئية . وظهور المجال الكهربى داخل شبه الموصل المتجانس المضاد يعرف باسم تأثير ديمبر .

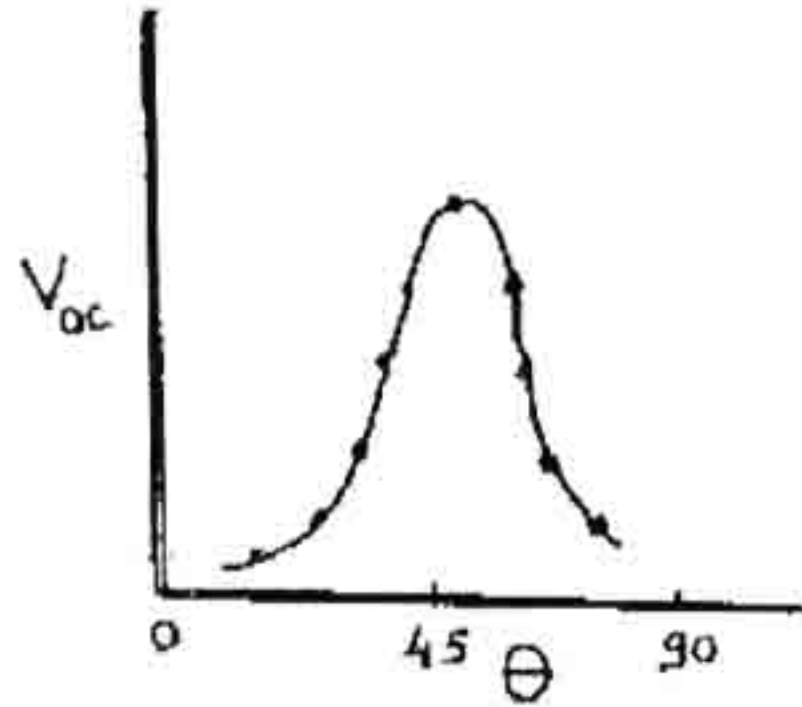
ولقد لاقى تأثير ديمبر اهتماما كبيراً فى حالة شرائح رقيقة من



شكل (٢١)

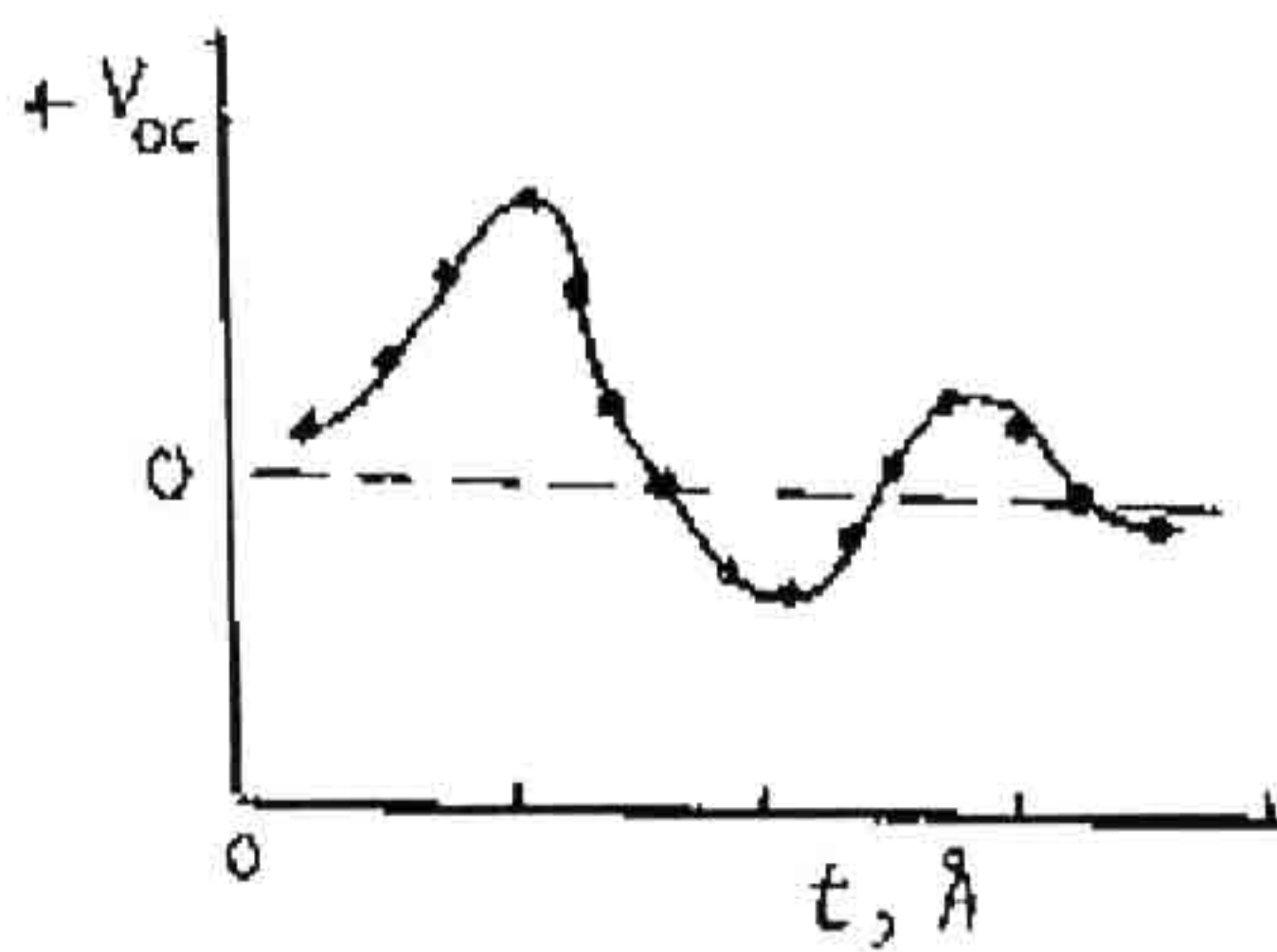
أشباه الموصلات التى تتميز بمقاومات نوعية كبيرة جداً هذه الشرائح تحضر فى الفراغ تميل على حوامل زجاجية حتى يتدرج سمك الشريحة من أحد طرفيها إلى الطرف الآخر وبوضع إلكترونين من الألومنيوم بالتبخير أيضاً على السطح العلوى للشريحة بحيث يفصل أحدهما عن الآخر مسافة مناسبة وعند إضاءة هذه الشريحة سواء فى

الاتجاه الأمامى أو الاتجاه الخلفى يتولد مجال كهربى داخل الشريحة يظهر على صورة فرق فى الجهد يمكن قياسه بين الإلكترونين. مثل هذه الظاهرة تعرف باسم الظاهرة الفولت ضوئية الشاذة . ويمكن أن تستخدم هذه الظاهرة فى تصميم كاشفات للإشعاع Radiation detectors ومن أمثلة المواد التى تصلح لهذا الغرض تلوريد الكادميوم - كبريتيد الأنيمون - سيلينيد الكادميوم وأيوديد الرصاص وغيرها .



الشكل (٢٢)

ويوضح الشكل (٢١) توقف جهد الدائرة المفتوحة على زاوية ترسيب الشريحة ومنها يتضح وجود نهاية عظمى لقيمة V_{oc} عند الزاوية 45 لذلك يفضل تحضير عينات الفولت ضوئية عند هذه الزاوية ويوضح الشكل (٢٢) توقف V_{oc} على سمك الشريحة ومنه نتبين أن V_{oc} يزداد أولاً مع زيادة السمك حتى يصل إلى النهاية العظمى ثم يقل تدريجياً إلى الصفر ثم تنعكس القطبية مع الاستمرار فى زيادة السمك .



شکل (۶۳)

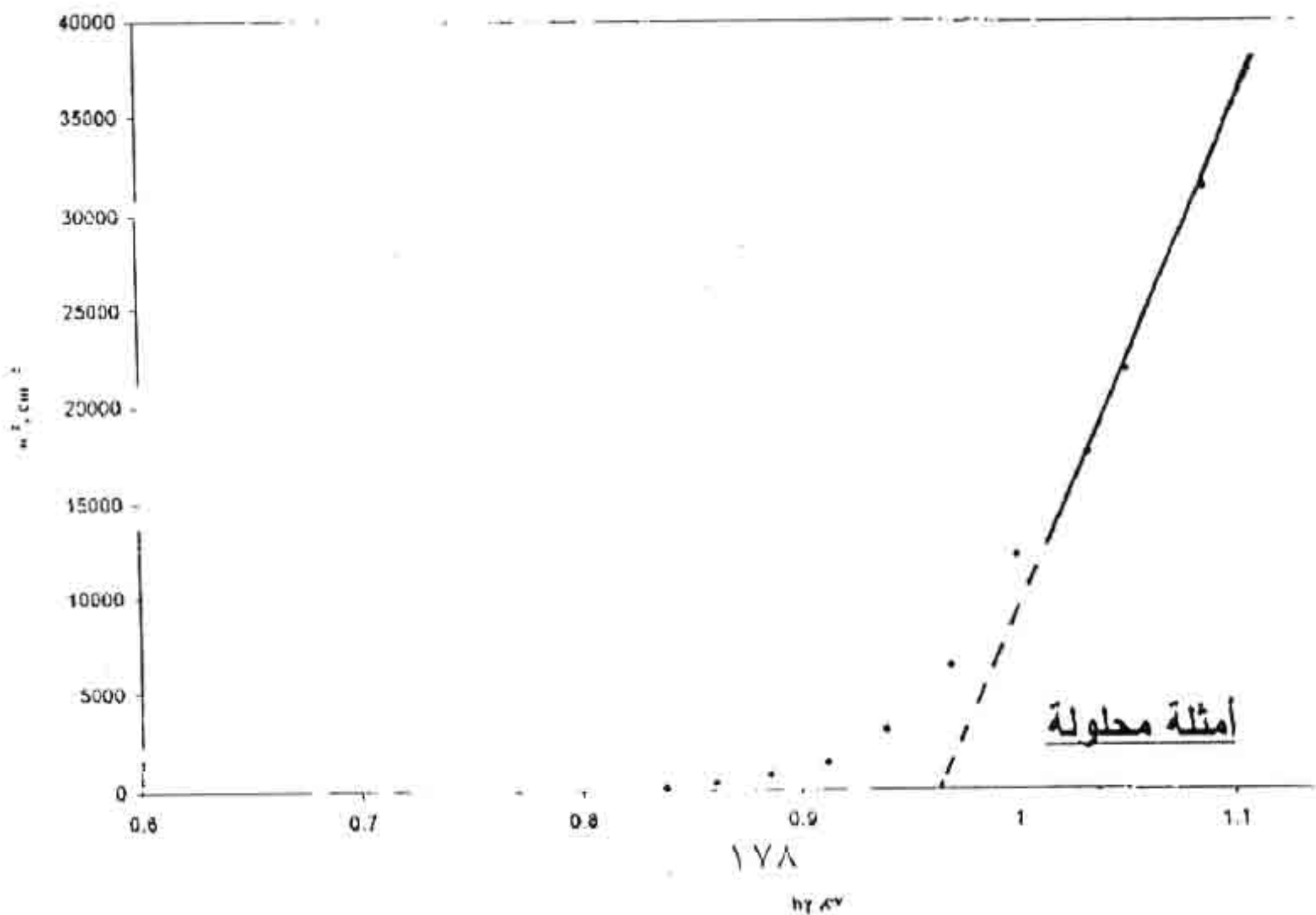
مثال (١) :

في تجربة لتعيين معامل الانكسار التخيلي k كدالة في الطول الموجي λ سجلت النتائج كما في الجدول التالي :

$\lambda, \mu\text{m}$	k	$\alpha \text{ E}+04$	α^2	$h\nu, \text{eV}$
1.12	0.331	3.704	37040	1.107
1.14	0.285	3.143	31430	1.088
1.18	0.205	2.184	21840	1.051
1.20	0.167	1.750	17500	1.033
1.24	0.123	1.217	12170	1
1.28	0.065	0.638	6380	0.969
1.32	0.032	0.305	3050	0.939
1.36	0.015	0.139	1390	0.912
1.40	0.009	0.081	810	0.886
1.44	0.004	0.035	350	0.861
1.48	0.001	0.009	90	0.838

و المطلوب رسم العلاقة البيانية بين كل من α^2 و $h\nu$ الكترون فولت.

مثلا $h\nu$ على المحور الأفقي و α^2 على المحور الرأسي و من الرسم البياني تعرف على نوع الانتقالات الضوئية الحادثة و كذلك قيمة الفراغ الطاقى المناظر .



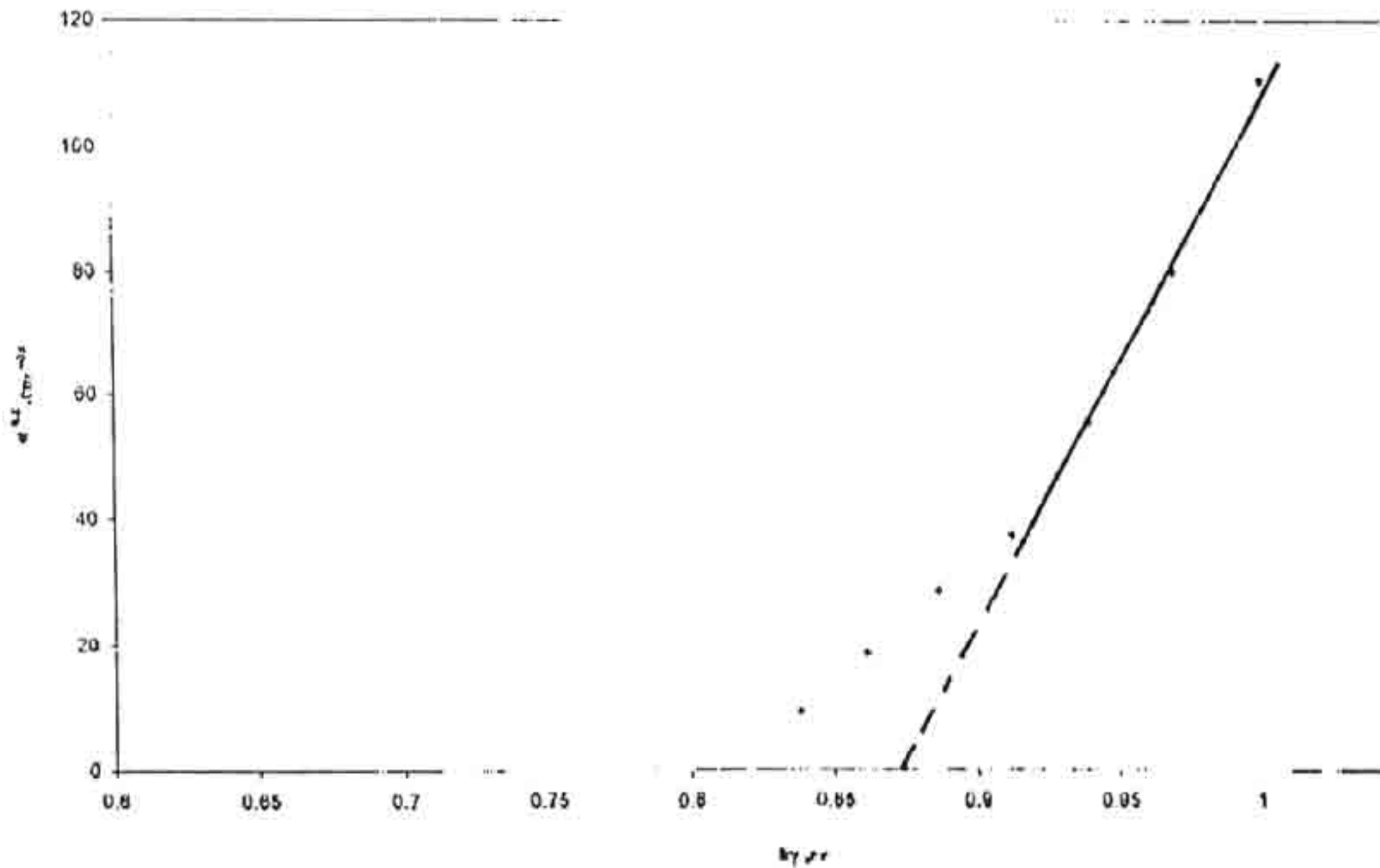
مثال (٢) :

في تجربة لتعيين معامل الانكسار التخيلي k كدالة في الطول الموجي λ سجلت النتائج كما في الجدول التالي :

$\lambda, \mu\text{m}$	k	$\alpha \text{ E}+04$	$\alpha^{1/2}$	$h\nu, \text{ev}$
1.24	0.123	1.217	110.32	1
1.28	0.065	0.638	79.87	0.969
1.32	0.032	0.305	55.23	0.939
1.36	0.015	0.139	37.28	0.912
1.40	0.009	0.081	28.46	0.886
1.44	0.004	0.035	18.71	0.861
1.48	0.001	0.009	9.49	0.838

و المطلوب رسم العلاقة البيانية بين كل من $\alpha^{0.5}$, $h\nu$ الكترون فولت.

مثلاً $h\nu$ على المحور الأفقي و $\alpha^{0.5}$ على المحور الرأسى و من الرسم البياني تعرف على نوع الانتقالات الضوئية الحادثة و كذلك قيمة الفراغ الطاقى المناظر .

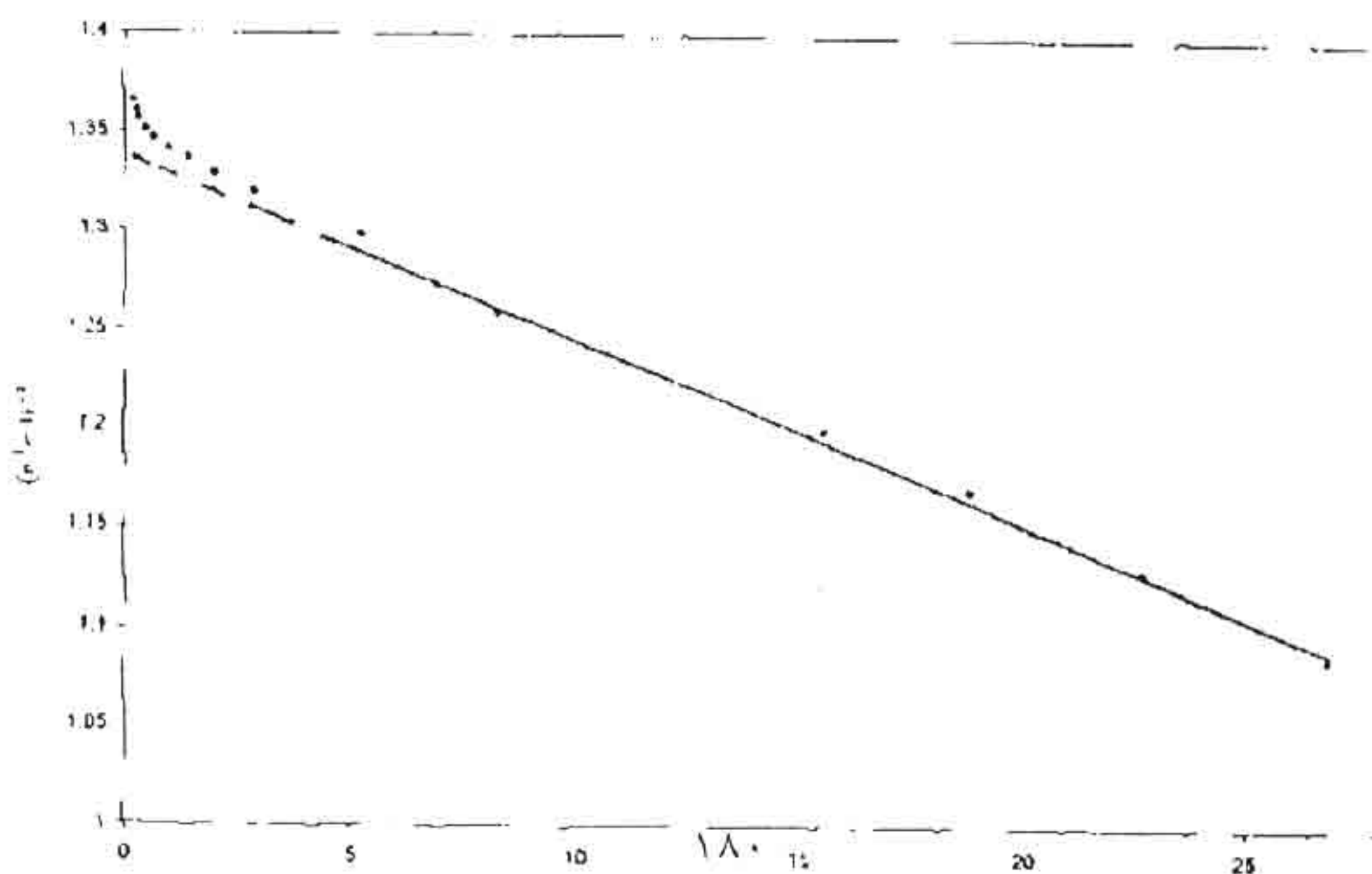


ال (٣) :

تجربة لتعيين معامل الانكسار الحقيقي n كدالة في الطول الموجي λ سجلت النتائج كما في

جدول التالي :

$\lambda, \mu\text{m}$	$\lambda^{-2}, \mu\text{m}^{-2}$	n	$(n^2-1)^{-1}$
0.193	26.8	1.3854	1.087
0.210	22.67	1.3718	1.13
0.231	18.74	1.3606	1.17
0.254	15.5	1.353	1.2
0.389	6.6	1.344	1.23
0.436	5.2	1.33	1.299
0.589	2.88	1.325	1.32
0.707	2	1.323	1.329
0.842	1.41	1.322	1.337
1.014	0.97	1.321	1.342
1.270	0.62	1.32	1.347
1.480	0.456	1.319	1.351
1.830	0.298	1.318	1.357
2.000	0.25	1.317	1.361
2.400	0.173	1.316	1.366



(:

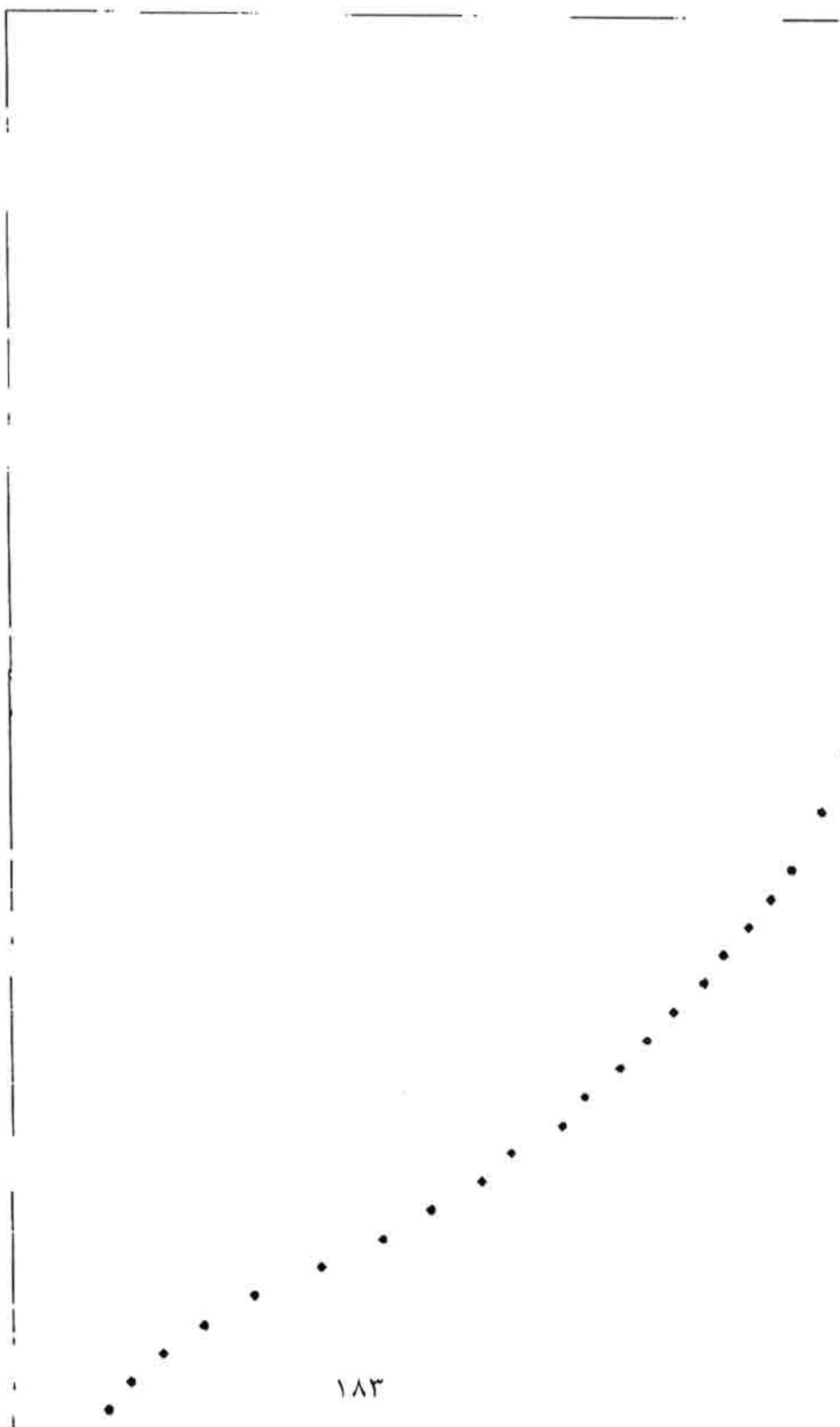
تعيين معامل الانكسار التخيلي k و كذلك معامل الانكسار الحقيقي n كدالة في الطول
سجلت النتائج كما في الجدول التالي :

λ, nm	n	k
760	7.864	1.520
780	6.933	1.478
800	6.419	1.452
820	5.993	1.423
840	5.667	1.382
860	5.408	1.323
880	5.198	1.246
900	5.023	1.154
920	4.875	1.029
940	4.748	0.914
960	4.638	0.823
980	4.542	0.729
1000	4.457	0.673
1020	4.382	0.578
1040	4.314	0.537
1060	4.245	0.470
1080	4.199	0.420
1100	4.149	0.370
1120	4.103	0.312
1140	4.062	0.276
1160	4.032	0.229
1180	3.988	0.188
1200	3.955	0.149
1240	3.897	0.092
1280	3.847	0.047
1320	3.802	0.018
1360	3.763	0.006
1400	3.729	0.002
1440	3.698	0.001
1480	3.671	0.000
1520	3.67	0.000
1560	3.67	0.000
1600	3.67	0.000
1650	3.66	0.000
1700	3.66	0.000
1750	3.66	0.000
1800	3.66	0.000
1850	3.66	0.000
1900	3.66	0.000
1950	3.66	0.000

U
•

182

• k



183

ثابت العزل الحقيقي ϵ_r و ثابت العزل التخيلي ϵ_i كدالة في طاقة الفوتون

$\lambda, \mu m$	ϵ_r	ϵ_i	A (SELF)	B (VELF)	$h \gamma$
0.76	59.62	23.43	0.0058	0.0056	1.632
0.78	45.91	20.38	0.0081	0.0078	1.590
0.80	39.01	18.84	0.0099	0.0095	1.550
0.82	33.90	17.03	0.012	0.011	1.512
0.84	30.17	15.82	0.014	0.013	1.476
0.86	27.40	14.69	0.015	0.014	1.442
0.88	25.27	13.76	0.016	0.015	1.409
0.90	23.62	12.74	0.0164	0.0154	1.378
0.92	22.34	11.66	0.0163	0.0151	1.348
0.94	21.35	10.36	0.0159	0.0147	1.319
0.96	20.55	9.099	0.0155	0.0143	1.292
0.98	19.93	7.621	0.0148	0.0135	1.265
1.00	19.36	6.329	0.0145	0.0133	1.240
1.02	18.84	5.302	0.0133	0.0121	1.216
1.04	18.32	4.633	0.0129	0.0117	1.192
1.06	17.80	3.990	0.0119	0.011	1.170
1.08	17.46	3.527	0.0111	0.0099	1.148
1.10	17.08	3.070	0.0102	0.0091	1.127
1.12	16.74	2.560	0.0089	0.0079	1.107
1.14	16.42	2.242	0.0082	0.0073	1.088
1.16	16.20	1.847	0.0069	0.0062	1.069
1.18	15.87	1.499	0.0059	0.0052	1.051
1.20	15.62	1.186	0.0048	0.0042	1.033
1.24	15.18	0.717	0.0031	0.0027	1.000
1.28	14.80	0.362	0.00165	0.0014	0.969
1.32	14.45	0.137	0.00066	0.00057	0.939
1.36	14.16	0.052	0.00023	0.000196	0.912
1.40	13.91	0.007	7.71E-05	6.71E-05	0.886
1.44	13.68	0.004	3.95E-05	3.46E-05	0.861
1.48	13.47	0.000	0	0	0.838

تم العلاقة البيانية بين كل من دالة فقد الطاقة السطحية (A (SELF)) و $h \gamma$ ثم رسم العلاقة
 لة الحجمية (B (VELF)) و $h \gamma$ مع توضيح مواضع النهاية العظمى على كل منحنى لن وجدت.



مؤلف الكتاب :

أ.د. عبد الفتاح أحمد الشاذلي رئيس قسم الفيزياء
الأسبق بكلية التربية – جامعة عين شمس

حاصل على جائزة الدولة التشجيعية

حاصل على وسام الاستحقاق للعلوم و الفنون من
الطبقة الأولى

شارك في تأليف أكثر من ٣٥ كتاباً في العلوم و الفيزياء
العامة

شارك في ترجمة كتاب أساسيات البصريات لجينكز و
هوايت

شارك في وضع معجم البصريات و الصوتيات

له أكثر من ٩٠ بحثاً في فيزياء الجوامد و تطبيقاتها

أشرف على أكثر من 50 رسالة ماجستير في فيزياء
الجوامد و كذلك أكثر من 40 رسالة دكتوراه فلسفة في
العلوم تخصص فيزياء الجوامد